

QC 1 1812 V.41 INDEX 1980 PER

JOURNAL de PHYSIQUE



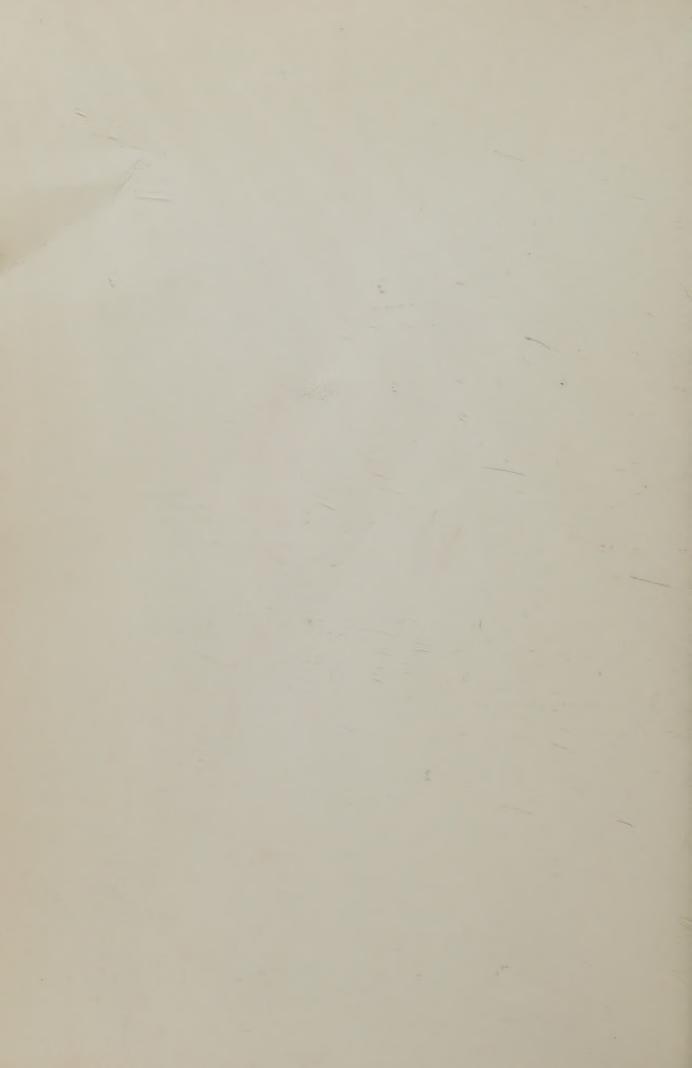
Index Général des
Publications 1980



PUBLICATION DE LA SOCIÉTÉ FRANÇAISE DE PHYSIQUE SUBVENTIONNÉE PAR LE C.N.R.S.



EUROPHYSICS JOURNAL



JOURNAL DE PHYSIQUE

Tome 41 — 1980

PHYSIQUE MATHÉMATIQUE

Manneville (P.). — Intermittency, self-similarity and 1/f spectrum in dissipative dynamical systems	to the « maximal subgroup rule » for continuous crystalline transitions	189
MÉCANIQUE, HY	DRODYNAMIQUE	
Allain (C.). — Voir Lallemand (P.)	Lallemand (P.) et Allain (C.). — Excitations thermiques propagatives dans une couche de fluide stratifié	1 315 1245
MÉCANIQUE	STATISTIQUE	
Bidaux (R.). — Voir Villain (J.)	Gabay (M.). — Voir De Dominicis (C.) Garel (T.). — Voir De Dominicis (C.) Mitescu (C. D.). — Voir Blanc (R.) Nattermann (T.). — The influence of fluctuations on the incommensurate-commensurate transition Nozières (Ph.) and Blandin (A.). — Kondo effect in real metals	923 923 387 1251 193
De Dominicis (C.), Gabay (M.), Garel (T.) and Orland (H.). — White and weighted averages over solutions of Thouless Anderson Palmer equations for the Sherrington Kirkpatrick spin glass	Orland (H.). — Voir De Dominicis (C.)	923 213
Derrida (B.), Pomeau (Y.), Toulouse (G.) and Vannimenus (J.). — Fully frustrated simple cubic lattices and phase transitions	ral polydispersity	459 1081
elements of a long polymer in a good solvent 223	Thevenot (G.). — Voir Blanc (R.)	387
Des Cloizeaux (J.). — A description of the physical properties of polymer solutions in terms of irreducible diagrams (I)	Vannimenus (J.). — Voir Derrida (B.) Villain (J.), Bidaux (R.), Carton (J. P.) and Conte (R.).	213
Des Cloizeaux (J.). — Polymers in poor solvents : loop expansion of irreducible diagrams (II)	— Order as an effect of disorder	1263 459
	WICLÉAIDE	
PHYSIQUE N	NUCLEAIRE	
Avron (Y.). — The non-measurability of nuclear energy level shifts due to pion diamagnetism in the Mössbauer effect	Haas (B.). — Voir Chevallier (A.)	239
Bricault (P.). — Voir Lahlou (F.)	Lahlou (F.), Slobodrian (R. J.), Bricault (P.), Dasgupta (S. S.), Roy (R.) et Rioux (C.). — Variation des déphasages de la diffusion p-d près du seuil de	
tions in ⁴⁵ Ti	cassure du deuton	485
Chevallier (J.). — Voir Chevallier (A.)	Rioux (C.). — Voir Lahlou (F.)	485
Coquette (A.). — Mesure absolue de la section efficace totale de création de paires, près du seuil, au moyen	Roy (R.). — Voir Lahlou (F.)	485
d'une source d'énergie variable	Schulz (N.). — Voir Chevallier (A.)	239
Dasgupta (S. S.). — Voir Lahlou (F.)	Slobodrian (R. J.). — Voir Lahlou (F.)	485
Giraud (B. G.) and Nagarajan (M. A.). — A symmetric theory of collisions	Toulemonde (M.). — Voir Chevallier (A.)	239 1391

PHYSIQUE ATOMIQUE ET MOLÉCULAIRE

Adde (R.). — Voir Lourtioz (JM.)	251	Gounand (F.), Hugon (M.) and Fournier (P. R.). — Radiative lifetimes of highly excited states in rubidium 11	19
tion study of high Rydberg levels of the configura-		Gousset (G.). — Voir Cernogora (G.) 24	13
tions 4f ¹⁴ 6snd of Yb I	947	Grynberg (G.), Devaud (M.), Flytzanis (C.) and Ca-	
Baudinet-Robinet (Y.). — Voir Garnir-Monjoie (F. S.)	599	gnac (B.). — Doppler-free two-photon dispersion 93	
Baudon (J.). — Voir Rahmat (G.)	319	Hugon (M.). — Voir Gounand (F.)	9
Bousquet (C.) et Bras (N.). — Profil de la raie 1 849 À du		Inokuchi (H.). — Voir Utuno (M.)	57
mercure autoélargie par effet de pression. Détermina-	10	Jost (R.). — Voir Derouard (J.)	19
tion des potentiels d'interaction Hg-Hg	19	Kimura (K.).— Voir Utuno (M.) 95	57
Bras (N.). — Voir Bousquet (C.)	19	Laloë (F.). — Voir Pinard (M.)	
Cagnac (B.). — Voir Grynberg (G.)	931	Larzillière (M.), Launay (F.) and Roncin (JY.).	
Cernogora (G.), Gousset (G.) and Ricard (A.). — N(2D)		High resolution emission spectra of H_2 and D_2 near	
and N(² P) metastable production by electron collisions in a D.C. glow discharge	243	80 nm	31
Champeau (RJ.). — Voir Barbier (L.)	947	Launay (F.). — Voir Larzillière (M.)	
Champion (J. P.). — Voir Pierre (C.)	393	Lombardi (M.). — Voir Derouard (J.) 81	9
Chéron (B.). — Relaxation des atomes de mercure	3,3	Lourtioz (JM.) and Adde (R.). — Diagnostic experiments	
	1091	and modeling of the 118 µm CH ₃ OH laser	1
Cossart (D.). — Rotational analysis of the d ${}^{3}\Delta_{j}$ -a ${}^{3}\Pi_{r}$ tran-		Luc (P.). — Voir Gerstenkorn (S.)	9
sition of carbon monosulfide	489	Luc-Koenig (E.). — Fine-structure splitting for the 3d	
Cukier (M.), Gauthe (B.) and Wehenkel (C.). — Interband,		and 4d terms in the sodium isoelectronic sequence 127	13
collective and atomic (p, d) excitations from 2 to		Macke (B.). — Voir Rohart (F.) 83	7
160 eV in Sc, Y, lanthanides and actinides and in some		Margerie (J.). — Voir Vienne-Casalta (D.) 50	13
of their compounds by FEELS	603	Ôno (K.). — Voir Utuno (M.)	7
Delplanque (M.). — Voir Pierre (C.)	393	Pannetier (J.). — Voir Durand (M.)	1
Dembczyński (J.). — Experimental proof of configura-		Pierre (C.), Pierre (G.), Champion (J. P.), Fontanella (J.	
tion interaction on the hyperfine structure of the ⁵⁷ Fe		C.) et Delplanque (M.). — Les bandes de différence	
atom	109	des molécules tétraédriques. Application : les bandes	
Denes (G.). — Voir Durand (M.)	831	chaudes $2\nu_4 - \nu_4$ et $\nu_2 + \nu_4 - \nu_2$ de ¹² CH ₄ 39	
Derouard (J.), Lombardi (M.) and Jost (R.). — Forbidden		Pierre (G.). — Voir Pierre (C.)	13
singlet-triplet anticrossings in ³ He: precise determi-		Pinard (M.) and Laloë (F.). — The role of the Pauli prin-	
nation of n^1D-n^3D ($n=3-6$) intervals	819	ciple in spin exchange collisions	,9
Desclaux (JP.) and Fricke (B.). — Relativistic predic-	0.10	Pinard (M.) and Laloë (F.). — The role of the Pauli	10
tion of the ground state of atomic Lawrencium	943	principle in metastability exchange collisions 79	19
Devaud (M.). — Voir Grynberg (G.)	931	Rahmat (G.), Vassilev (G.) and Baudon (J.). — Excitation	
Dumont (P. D.). — Voir Garnir-Monjoie (F. S.)	599	of 2 ¹ S, 2 ¹ P and 3 ¹ P, 3 ³ P levels of helium in He ⁺ on	10
Durand (M.), Pannetier (J.) et Denes (G.). — Etude par R.M.N. du mouvement des fluors dans la solution		He collisions at a few hundreds eV	
solide Pb _{0.9} Sn _{0.1} F ₂	831	Robart (F.) and Macke (B.). — Optical nutation in a	13
Flytzanis (C.). — Voir Grynberg (G.)	931	the state of the s	27
Fontanella (J. C.). — Voir Pierre (C.)	393		
Fournier (P. R.). — Voir Gounand (F.)	119	Roncin (JY.). — Voir Larzillière (M.) 143 Shukla (G. C.). — Voir Yousif (F. N.) 10	
Fricke (B.). — Voir Desclaux (JP.)	943	Sinzelle (J.). — Voir Gerstenkorn (S.)	
	1-599	Utuno (M.), Ôno (K.), Kimura (K.), Yagi (T.) and	7
Garnir-Monjoie (F. S.) and Garnir (H. P.). — Empirical	11717	Inokuchi (H.). — Heme-Heme magnetic interaction	
relations for nuclear stopping power	31	of cytochrome c ₃ studied by Mössbauer effect 95	57
Garnir-Monjoie (F. S.), Garnir (H. P.), Baudinet-		Vassilev (G.). — Voir Rahmat (G.)	
Robinet (Y.) and Dumont (P. D.). — Empirical rela-		Vienne-Casalta (D.), Margerie (J.) and Gay (J. C.).	
tion for electronic stopping power of heavy ions in		Rare gas collisional perturbation of the (6 ³ D ₁ , 6 ¹ D ₂)	
carbon	599	1 1 0	03
Gauthe (B.). — Voir Cukier (M.)	603	TT: 1 1 1 (C) 1: 1 C 11 (T)	03
Gay (J. C.). — Voir Vienne-Casalta (D.)	503	NY 1/m \ NY 1 NI. /NE \	57
Gerstenkorn (S.), Luc (P.) and Sinzelle (J.) Study		Yousif (F. N.) and Shukla (G. C.). — Dispersion interac-	
of the iodine absorption spectrum by means of Fourier		tion between the hydrogen atom and hydrogen like	
spectroscopy in the region 12 600-14 000 cm ⁻¹	1419	ions 10	01

PHYSIQUE DES PLASMAS

Auphelle (D.). — Voir Pointu (A. M.)			
Euve (F.). — Voir Pointu (A. M.)	1101	1 " 6 " 6	
Fitaire (M.). — Voir Pointu (A. M.)			1101
Pointy (A M) Auphelle (D) Fuve (F) Fitaine (M)		(12.1/2.)	1101

PHYSIQUE DE LA MATIÈRE CONDENSÉE

Abadli (L.). — Voir Krill (G.)	1121	Bouligand (Y.). — Defects and textures of hexagonal	
Abragam (A.). — Voir Bouffard (V.)	1447	discotics	1200
Adam (M.) and Delsanti (M.). — Temperature dependence		Boutard (J. L.), De Novion (C. H.) and Alloul (H.).	1307
of hydrodynamic lengths in the polystyrene-cyclo			
hexane system	713	¹³ C and ¹⁵ N N.M.R. in thorium carbides and carbo-	0.46
Aguero (G.). — Voir Poure (A.)	707	nitrides	845
Aicardi (J. P.). — Voir Leyris (J. P.)	305	Braga (M. E.). — Voir Sousa (J. B.)	573
Aicardi (J. P.). — Voir Poure (A.)		Brand (H.) and Pleiner (H.). — Nonlinear reversible	
Alloul (H.). — Voir Boutard (J. L.)	707	hydrodynamics of liquid crystals and crystals	553
Almairae (D.) Voir El Aleani Bi-bai (D.)	845	Bruson (A.) et Gerl (M.). — Diffusion d'impuretés dans	
Almairac (R.). — Voir El Alaoui-Bichri (R.)	543	le cuivre et l'étain liquides	533
Amado (M. M.). — Voir Sousa (J. B.)	573	Buevoz (J. L.). — Voir Pannetier (J.)	1019
Amaral (H.). — Voir Chaves (R.)	259	Buisson (R.). — Voir Nahmani (A.)	59-67
Armand (G.). — Scattering of neutral particles by a two-		Bulou (A.), Ridou (C.), Rousseau (M.), Nouet (J.)	
dimensional exponential corrugated potential	1475	and Hewat (A. W.). — The temperature dependence of	
Ayant (Y.), Besson (R.) et Casalegno (R.). — Interpré-		the structures of RbCaF ₃ , and the determination of	
tation théorique de la forme des raies obtenues par		the low temperature phases	87
polarisation dynamique dans les solutions de radicaux		Burger (J. P.). — Voir Gupta (M.)	1009
libres	1183	Burlet (P.). — Voir Ravot (D.)	
Baffier (N.). — Voir Lassegues (J. C.)	273		1117
Balibar (S.). — Voir Castaing (B.)	897	Buttet (J.). — Voir Joyes (P.)	299
Balkanski (M.). — Voir Charfi (F.)	83	Candau (S.), Munch (J. P.) and Hild (G.). — Swelling	
Barbezat (S.). — Voir Meyer (M.)	403	equilibrium and light spectroscopy in swollen polyme-	
Barland (M.), Duval (E.) et Nouailhat (A.). — Migration	403	ric networks at theta conditions	1031
et recombinaison des porteurs de charge dans KI:		Canny (B.). — Voir Hitier (G.)	981
TI	75	Carlos (H.). — Voir Leyris (J. P.)	305
Barra (O.). — Voir Bartolino (R.)	365	Casalegno (R.). — Voir Ayant (Y.)	1183
Bartolino (R.), Malthete (J.) and Barra (O.). — Molecular		Castaing (B.), Balibar (S.) et Laroche (C.). — Mobilité	
structure and elastic behaviour of SA liquid crys-	2.5	à 1 MHz du front de fusion de ⁴ He	897
tals	365	Castaing (B.) and Nozières (P.). — Transmission of sound	
Béal-Monod (M. T.). — Spin fluctuations effects on		at the liquid-solid interface of helium: a new probe	
the low temperature properties of paramagnetic inter-		of melting kinetics	701
mediate valence and Kondo compounds	1109	Chandrasekhar (S.). — Voir Frank (F. C.)	1285
Bechgaard (K.). — Voir Mihaly (G.)	1495	Charfi (F.), Zouaghi (M.), Joullie (A.), Balkanski (M.)	1200
Benattar (J. J.), Moussa (F.) and Lambert (M.). — Two		et Hirlimann (Ch.). — Spectres Raman du 2° ordre	
dimensional order in the smectic F phase	1371		83
Benguigui (L.). — Dielectric anisotropy in the smectic		dans les cristaux mixtes $Ga_{1-x}Al_xSb$	03
phases of liquid crystals	341	Chaves (R.), Amaral (H.) and Ziolkiewicz (S.). — Critical	
Parait (C) Vair El Alaqui Diahri (D)			
Benoit (C.). — Voir El Alaoui-Bichri (R.)	543	behaviour of dark current and spontaneous polariza-	
Bernier (J. C.). — Voir Fruchart (D.)	543 141	tion in ferroelectric SbSI	259
			259 905
Bernier (J. C.). — Voir Fruchart (D.)	141	tion in ferroelectric SbSI	905
Bernier (J. C.). — Voir Fruchart (D.)	141 141	tion in ferroelectric SbSI Chédin (MP.). — Voir Dumas (G.) Chevalier (B.). — Voir Tarascon (J. M.) 1135	905
Bernier (J. C.). — Voir Fruchart (D.)	141 141	tion in ferroelectric SbSI Chédin (MP.). — Voir Dumas (G.) Chevalier (B.). — Voir Tarascon (J. M.) Chieux (P.). — Voir Jal (J. F.)	905 5-1141
Bernier (J. C.). — Voir Fruchart (D.)	141 141	tion in ferroelectric SbSI Chédin (MP.). — Voir Dumas (G.) Chevalier (B.). — Voir Tarascon (J. M.) Chieux (P.). — Voir Jal (J. F.) Colomban (Ph.). — Voir Lassegues (J. C.)	905 5-1141 657
Bernier (J. C.). — Voir Fruchart (D.)	141 141 723	tion in ferroelectric SbSI Chédin (MP.). — Voir Dumas (G.) Chevalier (B.). — Voir Tarascon (J. M.) Chieux (P.). — Voir Jal (J. F.) Colomban (Ph.). — Voir Lassegues (J. C.) Comes (R.). — Voir Robin (P.)	905 5-1141 657 273
Bernier (J. C.). — Voir Fruchart (D.)	141 141	tion in ferroelectric SbSI Chédin (MP.). — Voir Dumas (G.) Chevalier (B.). — Voir Tarascon (J. M.) Chieux (P.). — Voir Jal (J. F.) Colomban (Ph.). — Voir Lassegues (J. C.) Comes (R.). — Voir Robin (P.) Conde (O.), Leblond (J.) and Teixeira (J.). — Analysis	905 5-1141 657 273
Bernier (J. C.). — Voir Fruchart (D.)	141 141 723 1183	tion in ferroelectric SbSI Chédin (MP.). — Voir Dumas (G.) Chevalier (B.). — Voir Tarascon (J. M.) Chieux (P.). — Voir Jal (J. F.) Colomban (Ph.). — Voir Lassegues (J. C.) Comes (R.). — Voir Robin (P.) Conde (O.), Leblond (J.) and Teixeira (J.). — Analysis of the dispersion of the sound velocity in supercool-	905 5-1141 657 273 415
Bernier (J. C.). — Voir Fruchart (D.)	141 141 723 1183	tion in ferroelectric SbSI Chédin (MP.). — Voir Dumas (G.) Chevalier (B.). — Voir Tarascon (J. M.) Chieux (P.). — Voir Jal (J. F.) Colomban (Ph.). — Voir Lassegues (J. C.) Comes (R.). — Voir Robin (P.) Conde (O.), Leblond (J.) and Teixeira (J.). — Analysis of the dispersion of the sound velocity in supercooled water	905 5-1141 657 273 415
Bernier (J. C.). — Voir Fruchart (D.) Bertaut (E. F.). — Voir Fruchart (D.)	141 141 723 1183	tion in ferroelectric SbSI Chédin (MP.). — Voir Dumas (G.) Chevalier (B.). — Voir Tarascon (J. M.) Chieux (P.). — Voir Jal (J. F.) Colomban (Ph.). — Voir Lassegues (J. C.) Comes (R.). — Voir Robin (P.) Conde (O.), Leblond (J.) and Teixeira (J.). — Analysis of the dispersion of the sound velocity in supercooled water Conte (R.). — Voir Bidaux (R.)	905 5-1141 657 273 415 997 1317
Bernier (J. C.). — Voir Fruchart (D.) Bertaut (E. F.). — Voir Fruchart (D.)	723 1183 1317 1155	tion in ferroelectric SbSI Chédin (MP.). — Voir Dumas (G.) Chevalier (B.). — Voir Tarascon (J. M.) Chieux (P.). — Voir Jal (J. F.) Colomban (Ph.). — Voir Lassegues (J. C.) Comes (R.). — Voir Robin (P.) Conde (O.), Leblond (J.) and Teixeira (J.). — Analysis of the dispersion of the sound velocity in supercooled water Conte (R.). — Voir Bidaux (R.) Cooper (J. R.). — Voir Miljak (M.)	905 5-1141 657 273 415 997 1317 639
Bernier (J. C.). — Voir Fruchart (D.) Bertaut (E. F.). — Voir Fruchart (D.)	141 141 723 1183	tion in ferroelectric SbSI Chédin (MP.). — Voir Dumas (G.) Chevalier (B.). — Voir Tarascon (J. M.) Chieux (P.). — Voir Jal (J. F.) Colomban (Ph.). — Voir Lassegues (J. C.) Comes (R.). — Voir Robin (P.) Conde (O.), Leblond (J.) and Teixeira (J.). — Analysis of the dispersion of the sound velocity in supercooled water Conte (R.). — Voir Bidaux (R.) Cooper (J. R.). — Voir Miljak (M.) Cotrait (M.). — Voir Pesquer (M.)	905 5-1141 657 273 415 997 1317
Bernier (J. C.). — Voir Fruchart (D.) Bertaut (E. F.). — Voir Fruchart (D.) Besnard (M.), Lascombe (J.) and Nery (H.). — Molecular dynamics in liquid cyclopropane. II. — Raman and magnetic nuclear resonance studies of orientational motion Besson (R.). — Voir Ayant (Y.) Bidaux (R.), Conte (R.) and Nasser (J. A.). — More on spin orientation in MnO at 0 K and zero applied field: theoretical predictions Bienfait (M.). — Voir Coulomb (J. P.) Blanc (C.). — Voir Roger (G.) Blinowski (J.) and Rigaux (C.). — Band structure	723 1183 1317 1155 169	tion in ferroelectric SbSI Chédin (MP.). — Voir Dumas (G.) Chevalier (B.). — Voir Tarascon (J. M.) Chieux (P.). — Voir Jal (J. F.) Colomban (Ph.). — Voir Lassegues (J. C.) Comes (R.). — Voir Robin (P.) Conde (O.), Leblond (J.) and Teixeira (J.). — Analysis of the dispersion of the sound velocity in supercooled water Conte (R.). — Voir Bidaux (R.) Cooper (J. R.). — Voir Miljak (M.) Cotrait (M.). — Voir Pesquer (M.) Coulomb (J. P.), Suzanne (J.), Bienfait (M.), Matecki (M.),	905 5-1141 657 273 415 997 1317 639
Bernier (J. C.). — Voir Fruchart (D.) Bertaut (E. F.). — Voir Fruchart (D.) Besnard (M.), Lascombe (J.) and Nery (H.). — Molecular dynamics in liquid cyclopropane. II. — Raman and magnetic nuclear resonance studies of orientational motion Besson (R.). — Voir Ayant (Y.) Bidaux (R.), Conte (R.) and Nasser (J. A.). — More on spin orientation in MnO at 0 K and zero applied field: theoretical predictions Bienfait (M.). — Voir Coulomb (J. P.) Blanc (C.). — Voir Roger (G.) Blinowski (J.) and Rigaux (C.). — Band structure model and electrostatic effects in third and fourth	723 1183 1317 1155 169	tion in ferroelectric SbSI Chédin (MP.). — Voir Dumas (G.) Chevalier (B.). — Voir Tarascon (J. M.) Chieux (P.). — Voir Jal (J. F.) Colomban (Ph.). — Voir Lassegues (J. C.) Comes (R.). — Voir Robin (P.) Conde (O.), Leblond (J.) and Teixeira (J.). — Analysis of the dispersion of the sound velocity in supercooled water Conte (R.). — Voir Bidaux (R.) Cooper (J. R.). — Voir Miljak (M.) Cotrait (M.). — Voir Pesquer (M.) Coulomb (J. P.), Suzanne (J.), Bienfait (M.), Matecki (M.), Thomy (A.), Croset (B.) and Marti (C.). — Two-	905 5-1141 657 273 415 997 1317 639
Bernier (J. C.). — Voir Fruchart (D.) Bertaut (E. F.). — Voir Fruchart (D.) Besnard (M.), Lascombe (J.) and Nery (H.). — Molecular dynamics in liquid cyclopropane. II. — Raman and magnetic nuclear resonance studies of orientational motion Besson (R.). — Voir Ayant (Y.) Bidaux (R.), Conte (R.) and Nasser (J. A.). — More on spin orientation in MnO at 0 K and zero applied field: theoretical predictions. Bienfait (M.). — Voir Coulomb (J. P.) Blanc (C.). — Voir Roger (G.) Blinowski (J.) and Rigaux (C.). — Band structure model and electrostatic effects in third and fourth stages of graphite acceptor compounds.	723 1183 1317 1155 169	tion in ferroelectric SbSI Chédin (MP.). — Voir Dumas (G.) Chevalier (B.). — Voir Tarascon (J. M.) Chieux (P.). — Voir Jal (J. F.) Colomban (Ph.). — Voir Lassegues (J. C.) Comes (R.). — Voir Robin (P.) Conde (O.), Leblond (J.) and Teixeira (J.). — Analysis of the dispersion of the sound velocity in supercooled water Conte (R.). — Voir Bidaux (R.) Cooper (J. R.). — Voir Miljak (M.) Cotrait (M.). — Voir Pesquer (M.) Coulomb (J. P.), Suzanne (J.), Bienfait (M.), Matecki (M.), Thomy (A.), Croset (B.) and Marti (C.). — Two-dimensional polymorphism and melting in a mono-	905 5-1141 657 273 415 997 1317 639 1039
Bernier (J. C.). — Voir Fruchart (D.) Bertaut (E. F.). — Voir Fruchart (D.) Besnard (M.), Lascombe (J.) and Nery (H.). — Molecular dynamics in liquid cyclopropane. II. — Raman and magnetic nuclear resonance studies of orientational motion Besson (R.). — Voir Ayant (Y.) Bidaux (R.), Conte (R.) and Nasser (J. A.). — More on spin orientation in MnO at 0 K and zero applied field: theoretical predictions Bienfait (M.). — Voir Coulomb (J. P.) Blanc (C.). — Voir Roger (G.) Blinowski (J.) and Rigaux (C.). — Band structure model and electrostatic effects in third and fourth stages of graphite acceptor compounds Blinowski (J.), Nguyen Hy Hau, Rigaux (C.), Vieren (J.	723 1183 1317 1155 169	tion in ferroelectric SbSI Chédin (MP.). — Voir Dumas (G.) Chevalier (B.). — Voir Tarascon (J. M.) Chieux (P.). — Voir Jal (J. F.) Colomban (Ph.). — Voir Lassegues (J. C.) Comes (R.). — Voir Robin (P.) Conde (O.), Leblond (J.) and Teixeira (J.). — Analysis of the dispersion of the sound velocity in supercooled water Conte (R.). — Voir Bidaux (R.) Cooper (J. R.). — Voir Miljak (M.) Cotrait (M.). — Voir Pesquer (M.) Coulomb (J. P.), Suzanne (J.), Bienfait (M.), Matecki (M.), Thomy (A.), Croset (B.) and Marti (C.). — Two-dimensional polymorphism and melting in a monolayer of nitric oxide adsorbed on graphite	905 5-1141 657 273 415 997 1317 639 1039
Bernier (J. C.). — Voir Fruchart (D.) Bertaut (E. F.). — Voir Fruchart (D.) Besnard (M.), Lascombe (J.) and Nery (H.). — Molecular dynamics in liquid cyclopropane. II. — Raman and magnetic nuclear resonance studies of orientational motion Besson (R.). — Voir Ayant (Y.) Bidaux (R.), Conte (R.) and Nasser (J. A.). — More on spin orientation in MnO at 0 K and zero applied field: theoretical predictions. Bienfait (M.). — Voir Coulomb (J. P.) Blanc (C.). — Voir Roger (G.) Blinowski (J.) and Rigaux (C.). — Band structure model and electrostatic effects in third and fourth stages of graphite acceptor compounds. Blinowski (J.), Nguyen Hy Hau, Rigaux (C.), Vieren (J. P.), Le Toullec (R.), Furdin (G.), Herold (A.) and	723 1183 1317 1155 169	tion in ferroelectric SbSI Chédin (MP.). — Voir Dumas (G.) Chevalier (B.). — Voir Tarascon (J. M.) Chieux (P.). — Voir Jal (J. F.) Colomban (Ph.). — Voir Lassegues (J. C.) Comes (R.). — Voir Robin (P.) Conde (O.), Leblond (J.) and Teixeira (J.). — Analysis of the dispersion of the sound velocity in supercooled water Conte (R.). — Voir Bidaux (R.) Cooper (J. R.). — Voir Miljak (M.) Cotrait (M.). — Voir Pesquer (M.) Coulomb (J. P.), Suzanne (J.), Bienfait (M.), Matecki (M.), Thomy (A.), Croset (B.) and Marti (C.). — Two-dimensional polymorphism and melting in a monolayer of nitric oxide adsorbed on graphite Croset (B.). — Voir Coulomb (J. P.)	905 5-1141 657 273 415 997 1317 639 1039
Bernier (J. C.). — Voir Fruchart (D.) Bertaut (E. F.). — Voir Fruchart (D.) Besnard (M.), Lascombe (J.) and Nery (H.). — Molecular dynamics in liquid cyclopropane. II. — Raman and magnetic nuclear resonance studies of orientational motion Besson (R.). — Voir Ayant (Y.) Bidaux (R.), Conte (R.) and Nasser (J. A.). — More on spin orientation in MnO at 0 K and zero applied field: theoretical predictions Bienfait (M.). — Voir Coulomb (J. P.) Blanc (C.). — Voir Roger (G.) Blinowski (J.) and Rigaux (C.). — Band structure model and electrostatic effects in third and fourth stages of graphite acceptor compounds Blinowski (J.), Nguyen Hy Hau, Rigaux (C.), Vieren (J. P.), Le Toullec (R.), Furdin (G.), Herold (A.) and Melin (J.). — Band structure model and dynamical	723 1183 1317 1155 169	tion in ferroelectric SbSI Chédin (MP.). — Voir Dumas (G.) Chevalier (B.). — Voir Tarascon (J. M.) Chieux (P.). — Voir Jal (J. F.) Colomban (Ph.). — Voir Lassegues (J. C.) Comes (R.). — Voir Robin (P.) Conde (O.), Leblond (J.) and Teixeira (J.). — Analysis of the dispersion of the sound velocity in supercooled water Conte (R.). — Voir Bidaux (R.) Cooper (J. R.). — Voir Miljak (M.) Cotrait (M.). — Voir Pesquer (M.) Coulomb (J. P.), Suzanne (J.), Bienfait (M.), Matecki (M.), Thomy (A.), Croset (B.) and Marti (C.). — Two-dimensional polymorphism and melting in a monolayer of nitric oxide adsorbed on graphite Croset (B.). — Voir Coulomb (J. P.) Daniels (W. B.). — Voir Lin (W. J.)	905 5-1141 657 273 415 997 1317 639 1039
Bernier (J. C.). — Voir Fruchart (D.) Bertaut (E. F.). — Voir Fruchart (D.) Besnard (M.), Lascombe (J.) and Nery (H.). — Molecular dynamics in liquid cyclopropane. II. — Raman and magnetic nuclear resonance studies of orientational motion Besson (R.). — Voir Ayant (Y.) Bidaux (R.), Conte (R.) and Nasser (J. A.). — More on spin orientation in MnO at 0 K and zero applied field: theoretical predictions Bienfait (M.). — Voir Coulomb (J. P.) Blanc (C.). — Voir Roger (G.) Blinowski (J.) and Rigaux (C.). — Band structure model and electrostatic effects in third and fourth stages of graphite acceptor compounds Blinowski (J.), Nguyen Hy Hau, Rigaux (C.), Vieren (J. P.), Le Toullec (R.), Furdin (G.), Herold (A.) and Melin (J.). — Band structure model and dynamical dielectric function in lowest stages of graphite	723 1183 1317 1155 169	tion in ferroelectric SbSI Chédin (MP.). — Voir Dumas (G.) Chevalier (B.). — Voir Tarascon (J. M.) Chieux (P.). — Voir Jal (J. F.) Colomban (Ph.). — Voir Lassegues (J. C.) Comes (R.). — Voir Robin (P.) Conde (O.), Leblond (J.) and Teixeira (J.). — Analysis of the dispersion of the sound velocity in supercooled water Conte (R.). — Voir Bidaux (R.) Cooper (J. R.). — Voir Miljak (M.) Cotrait (M.). — Voir Pesquer (M.) Coulomb (J. P.), Suzanne (J.), Bienfait (M.), Matecki (M.), Thomy (A.), Croset (B.) and Marti (C.). — Two-dimensional polymorphism and melting in a monolayer of nitric oxide adsorbed on graphite Croset (B.). — Voir Coulomb (J. P.) Daniels (W. B.). — Voir Lin (W. J.) D'Anterroches (C.). — Voir Desseaux (J.).	905 5-1141 657 273 415 997 1317 639 1039
Bernier (J. C.). — Voir Fruchart (D.) Bertaut (E. F.). — Voir Fruchart (D.) Besnard (M.), Lascombe (J.) and Nery (H.). — Molecular dynamics in liquid cyclopropane. II. — Raman and magnetic nuclear resonance studies of orientational motion Besson (R.). — Voir Ayant (Y.) Bidaux (R.), Conte (R.) and Nasser (J. A.). — More on spin orientation in MnO at 0 K and zero applied field: theoretical predictions Bienfait (M.). — Voir Coulomb (J. P.) Blanc (C.). — Voir Roger (G.) Blinowski (J.) and Rigaux (C.). — Band structure model and electrostatic effects in third and fourth stages of graphite acceptor compounds Blinowski (J.), Nguyen Hy Hau, Rigaux (C.), Vieren (J. P.), Le Toullec (R.), Furdin (G.), Herold (A.) and Melin (J.). — Band structure model and dynamical dielectric function in lowest stages of graphite acceptor compounds	723 1183 1317 1155 169	tion in ferroelectric SbSI Chédin (MP.). — Voir Dumas (G.) Chevalier (B.). — Voir Tarascon (J. M.) Chieux (P.). — Voir Jal (J. F.) Colomban (Ph.). — Voir Lassegues (J. C.) Comes (R.). — Voir Robin (P.) Conde (O.), Leblond (J.) and Teixeira (J.). — Analysis of the dispersion of the sound velocity in supercooled water Conte (R.). — Voir Bidaux (R.) Cooper (J. R.). — Voir Miljak (M.) Cotrait (M.). — Voir Pesquer (M.) Coulomb (J. P.), Suzanne (J.), Bienfait (M.), Matecki (M.), Thomy (A.), Croset (B.) and Marti (C.). — Two-dimensional polymorphism and melting in a monolayer of nitric oxide adsorbed on graphite Croset (B.). — Voir Coulomb (J. P.) Daniels (W. B.). — Voir Lin (W. J.) D'Anterroches (C.). — Voir Desseaux (J.). Delsanti (M.). — Voir Adam (M.)	905 5-1141 657 273 415 997 1317 639 1039
Bernier (J. C.). — Voir Fruchart (D.) Bertaut (E. F.). — Voir Fruchart (D.) Besnard (M.), Lascombe (J.) and Nery (H.). — Molecular dynamics in liquid cyclopropane. II. — Raman and magnetic nuclear resonance studies of orientational motion Besson (R.). — Voir Ayant (Y.) Bidaux (R.), Conte (R.) and Nasser (J. A.). — More on spin orientation in MnO at 0 K and zero applied field: theoretical predictions Bienfait (M.). — Voir Coulomb (J. P.) Blanc (C.). — Voir Roger (G.) Blinowski (J.) and Rigaux (C.). — Band structure model and electrostatic effects in third and fourth stages of graphite acceptor compounds Blinowski (J.), Nguyen Hy Hau, Rigaux (C.), Vieren (J. P.), Le Toullec (R.), Furdin (G.), Herold (A.) and Melin (J.). — Band structure model and dynamical dielectric function in lowest stages of graphite acceptor compounds Boissier (M.), Vacher (R.), Fontaine (D.) and Pick (R.)	723 1183 1317 1155 169 667	tion in ferroelectric SbSI Chédin (MP.). — Voir Dumas (G.) Chevalier (B.). — Voir Tarascon (J. M.) Chieux (P.). — Voir Jal (J. F.) Colomban (Ph.). — Voir Lassegues (J. C.) Comes (R.). — Voir Robin (P.) Conde (O.), Leblond (J.) and Teixeira (J.). — Analysis of the dispersion of the sound velocity in supercooled water Conte (R.). — Voir Bidaux (R.) Cooper (J. R.). — Voir Miljak (M.) Cotrait (M.). — Voir Pesquer (M.) Coulomb (J. P.), Suzanne (J.), Bienfait (M.), Matecki (M.), Thomy (A.), Croset (B.) and Marti (C.). — Two-dimensional polymorphism and melting in a monolayer of nitric oxide adsorbed on graphite Croset (B.). — Voir Coulomb (J. P.) Daniels (W. B.). — Voir Lin (W. J.) D'Anterroches (C.). — Voir Desseaux (J.). Delsanti (M.). — Voir Adam (M.) Demangeat (C.), Khan (M. A.), Moraitis (G.) and	905 5-1141 657 273 415 997 1317 639 1039
Bernier (J. C.). — Voir Fruchart (D.) Bertaut (E. F.). — Voir Fruchart (D.) Besnard (M.), Lascombe (J.) and Nery (H.). — Molecular dynamics in liquid cyclopropane. II. — Raman and magnetic nuclear resonance studies of orientational motion Besson (R.). — Voir Ayant (Y.) Bidaux (R.), Conte (R.) and Nasser (J. A.). — More on spin orientation in MnO at 0 K and zero applied field: theoretical predictions Bienfait (M.). — Voir Coulomb (J. P.) Blanc (C.). — Voir Roger (G.) Blinowski (J.) and Rigaux (C.). — Band structure model and electrostatic effects in third and fourth stages of graphite acceptor compounds Blinowski (J.), Nguyen Hy Hau, Rigaux (C.), Vieren (J. P.), Le Toullec (R.), Furdin (G.), Herold (A.) and Melin (J.). — Band structure model and dynamical dielectric function in lowest stages of graphite acceptor compounds Boissier (M.), Vacher (R.), Fontaine (D.) and Pick (R. M.). — The elastic anomaly of NaCN at 284 K.	723 1183 1317 1155 169	tion in ferroelectric SbSI Chédin (MP.). — Voir Dumas (G.) Chevalier (B.). — Voir Tarascon (J. M.) Chieux (P.). — Voir Jal (J. F.) Colomban (Ph.). — Voir Lassegues (J. C.) Comes (R.). — Voir Robin (P.) Conde (O.), Leblond (J.) and Teixeira (J.). — Analysis of the dispersion of the sound velocity in supercooled water Conte (R.). — Voir Bidaux (R.) Cooper (J. R.). — Voir Miljak (M.) Cotrait (M.). — Voir Pesquer (M.) Coulomb (J. P.), Suzanne (J.), Bienfait (M.), Matecki (M.), Thomy (A.), Croset (B.) and Marti (C.). — Two-dimensional polymorphism and melting in a monolayer of nitric oxide adsorbed on graphite Croset (B.). — Voir Coulomb (J. P.) Daniels (W. B.). — Voir Lin (W. J.) D'Anterroches (C.). — Voir Desseaux (J.). Delsanti (M.). — Voir Adam (M.) Demangeat (C.), Khan (M. A.), Moraitis (G.) and Parlebas (J. C.). — Chemical binding energies of	905 5-1141 657 273 415 997 1317 639 1039
Bernier (J. C.). — Voir Fruchart (D.) Bertaut (E. F.). — Voir Fruchart (D.) Besnard (M.), Lascombe (J.) and Nery (H.). — Molecular dynamics in liquid cyclopropane. II. — Raman and magnetic nuclear resonance studies of orientational motion Besson (R.). — Voir Ayant (Y.) Bidaux (R.), Conte (R.) and Nasser (J. A.). — More on spin orientation in MnO at 0 K and zero applied field: theoretical predictions Bienfait (M.). — Voir Coulomb (J. P.) Blanc (C.). — Voir Roger (G.) Blinowski (J.) and Rigaux (C.). — Band structure model and electrostatic effects in third and fourth stages of graphite acceptor compounds Blinowski (J.), Nguyen Hy Hau, Rigaux (C.), Vieren (J. P.), Le Toullec (R.), Furdin (G.), Herold (A.) and Melin (J.). — Band structure model and dynamical dielectric function in lowest stages of graphite acceptor compounds Boissier (M.), Vacher (R.), Fontaine (D.) and Pick (R. M.). — The elastic anomaly of NaCN at 284 K. Bonville (P.), Hodges (J. A.) and Imbert (P.). —	723 1183 1317 1155 169 667	tion in ferroelectric SbSI Chédin (MP.). — Voir Dumas (G.) Chevalier (B.). — Voir Tarascon (J. M.) Chieux (P.). — Voir Jal (J. F.) Colomban (Ph.). — Voir Lassegues (J. C.) Comes (R.). — Voir Robin (P.) Conde (O.), Leblond (J.) and Teixeira (J.). — Analysis of the dispersion of the sound velocity in supercooled water Conte (R.). — Voir Bidaux (R.) Cooper (J. R.). — Voir Miljak (M.) Cotrait (M.). — Voir Pesquer (M.) Coulomb (J. P.), Suzanne (J.), Bienfait (M.), Matecki (M.), Thomy (A.), Croset (B.) and Marti (C.). — Two-dimensional polymorphism and melting in a monolayer of nitric oxide adsorbed on graphite Croset (B.). — Voir Coulomb (J. P.) Daniels (W. B.). — Voir Lin (W. J.) D'Anterroches (C.). — Voir Desseaux (J.). Delsanti (M.). — Voir Adam (M.) Demangeat (C.), Khan (M. A.), Moraitis (G.) and Parlebas (J. C.). — Chemical binding energies of point defects in palladium doped with hydrogen and	905 5-1141 657 273 415 997 1317 639 1039 1155 633 565 713
Bernier (J. C.). — Voir Fruchart (D.) Bertaut (E. F.). — Voir Fruchart (D.) Besnard (M.), Lascombe (J.) and Nery (H.). — Molecular dynamics in liquid cyclopropane. II. — Raman and magnetic nuclear resonance studies of orientational motion Besson (R.). — Voir Ayant (Y.) Bidaux (R.), Conte (R.) and Nasser (J. A.). — More on spin orientation in MnO at 0 K and zero applied field: theoretical predictions Bienfait (M.). — Voir Coulomb (J. P.) Blanc (C.). — Voir Roger (G.) Blinowski (J.) and Rigaux (C.). — Band structure model and electrostatic effects in third and fourth stages of graphite acceptor compounds Blinowski (J.), Nguyen Hy Hau, Rigaux (C.), Vieren (J. P.), Le Toullec (R.), Furdin (G.), Herold (A.) and Melin (J.). — Band structure model and dynamical dielectric function in lowest stages of graphite acceptor compounds Boissier (M.), Vacher (R.), Fontaine (D.) and Pick (R. M.). — The elastic anomaly of NaCN at 284 K.	723 1183 1317 1155 169 667	tion in ferroelectric SbSI Chédin (MP.). — Voir Dumas (G.) Chevalier (B.). — Voir Tarascon (J. M.) Chieux (P.). — Voir Jal (J. F.) Colomban (Ph.). — Voir Lassegues (J. C.) Comes (R.). — Voir Robin (P.) Conde (O.), Leblond (J.) and Teixeira (J.). — Analysis of the dispersion of the sound velocity in supercooled water Conte (R.). — Voir Bidaux (R.) Cooper (J. R.). — Voir Miljak (M.) Cotrait (M.). — Voir Pesquer (M.) Coulomb (J. P.), Suzanne (J.), Bienfait (M.), Matecki (M.), Thomy (A.), Croset (B.) and Marti (C.). — Two-dimensional polymorphism and melting in a monolayer of nitric oxide adsorbed on graphite Croset (B.). — Voir Coulomb (J. P.) Daniels (W. B.). — Voir Lin (W. J.) D'Anterroches (C.). — Voir Desseaux (J.). Delsanti (M.). — Voir Adam (M.) Demangeat (C.), Khan (M. A.), Moraitis (G.) and Parlebas (J. C.). — Chemical binding energies of point defects in palladium doped with hydrogen and dimpurities	905 5-1141 657 273 415 997 1317 639 1039 1155 633 565 713
Bernier (J. C.). — Voir Fruchart (D.) Bertaut (E. F.). — Voir Fruchart (D.) Besnard (M.), Lascombe (J.) and Nery (H.). — Molecular dynamics in liquid cyclopropane. II. — Raman and magnetic nuclear resonance studies of orientational motion Besson (R.). — Voir Ayant (Y.) Bidaux (R.), Conte (R.) and Nasser (J. A.). — More on spin orientation in MnO at 0 K and zero applied field: theoretical predictions Bienfait (M.). — Voir Coulomb (J. P.) Blanc (C.). — Voir Roger (G.) Blinowski (J.) and Rigaux (C.). — Band structure model and electrostatic effects in third and fourth stages of graphite acceptor compounds Blinowski (J.), Nguyen Hy Hau, Rigaux (C.), Vieren (J. P.), Le Toullec (R.), Furdin (G.), Herold (A.) and Melin (J.). — Band structure model and dynamical dielectric function in lowest stages of graphite acceptor compounds Boissier (M.), Vacher (R.), Fontaine (D.) and Pick (R. M.). — The elastic anomaly of NaCN at 284 K. Bonville (P.), Hodges (J. A.) and Imbert (P.). —	723 1183 1317 1155 169 667	tion in ferroelectric SbSI Chédin (MP.). — Voir Dumas (G.) Chevalier (B.). — Voir Tarascon (J. M.) Chieux (P.). — Voir Jal (J. F.) Colomban (Ph.). — Voir Lassegues (J. C.) Comes (R.). — Voir Robin (P.) Conde (O.), Leblond (J.) and Teixeira (J.). — Analysis of the dispersion of the sound velocity in supercooled water Conte (R.). — Voir Bidaux (R.) Cooper (J. R.). — Voir Miljak (M.) Cotrait (M.). — Voir Pesquer (M.) Coulomb (J. P.), Suzanne (J.), Bienfait (M.), Matecki (M.), Thomy (A.), Croset (B.) and Marti (C.). — Two-dimensional polymorphism and melting in a monolayer of nitric oxide adsorbed on graphite Croset (B.). — Voir Coulomb (J. P.) Daniels (W. B.). — Voir Lin (W. J.) D'Anterroches (C.). — Voir Desseaux (J.). Delsanti (M.). — Voir Adam (M.) Demangeat (C.), Khan (M. A.), Moraitis (G.) and Parlebas (J. C.). — Chemical binding energies of point defects in palladium doped with hydrogen and d impurities. Denes (G.). — Voir Pannetier (J.)	905 5-1141 657 273 415 997 1317 639 1039 1155 633 565 713
Bernier (J. C.). — Voir Fruchart (D.) Bertaut (E. F.). — Voir Fruchart (D.) Besnard (M.), Lascombe (J.) and Nery (H.). — Molecular dynamics in liquid cyclopropane. II. — Raman and magnetic nuclear resonance studies of orientational motion Besson (R.). — Voir Ayant (Y.) Bidaux (R.), Conte (R.) and Nasser (J. A.). — More on spin orientation in MnO at 0 K and zero applied field: theoretical predictions Bienfait (M.). — Voir Coulomb (J. P.) Blanc (C.). — Voir Roger (G.) Blinowski (J.) and Rigaux (C.). — Band structure model and electrostatic effects in third and fourth stages of graphite acceptor compounds Blinowski (J.), Nguyen Hy Hau, Rigaux (C.), Vieren (J. P.), Le Toullec (R.), Furdin (G.), Herold (A.) and Melin (J.). — Band structure model and dynamical dielectric function in lowest stages of graphite acceptor compounds Boissier (M.), Vacher (R.), Fontaine (D.) and Pick (R. M.). — The elastic anomaly of NaCN at 284 K. Bonville (P.), Hodges (J. A.) and Imbert (P.). — Yb ³⁺ RAlO ₃ (R = Eu, Gd, Tb, Dy, Ho, Er).	723 1183 1317 1155 169 667	tion in ferroelectric SbSI Chédin (MP.). — Voir Dumas (G.) Chevalier (B.). — Voir Tarascon (J. M.) Chieux (P.). — Voir Jal (J. F.) Colomban (Ph.). — Voir Lassegues (J. C.) Comes (R.). — Voir Robin (P.) Conde (O.), Leblond (J.) and Teixeira (J.). — Analysis of the dispersion of the sound velocity in supercooled water Conte (R.). — Voir Bidaux (R.) Cooper (J. R.). — Voir Miljak (M.) Cotrait (M.). — Voir Pesquer (M.) Coulomb (J. P.), Suzanne (J.), Bienfait (M.), Matecki (M.), Thomy (A.), Croset (B.) and Marti (C.). — Two-dimensional polymorphism and melting in a monolayer of nitric oxide adsorbed on graphite Croset (B.). — Voir Coulomb (J. P.) Daniels (W. B.). — Voir Lin (W. J.) D'Anterroches (C.). — Voir Desseaux (J.). Delsanti (M.). — Voir Adam (M.) Demangeat (C.), Khan (M. A.), Moraitis (G.) and Parlebas (J. C.). — Chemical binding energies of point defects in palladium doped with hydrogen and d impurities. Denes (G.). — Voir Pannetier (J.) De Novion (C. H.). — Voir Boutard (J. L.)	9055-1141 657-273 415 997 1317-639 1039 1155-633 5655 713
Bernier (J. C.). — Voir Fruchart (D.) Bertaut (E. F.). — Voir Fruchart (D.) Besnard (M.), Lascombe (J.) and Nery (H.). — Molecular dynamics in liquid cyclopropane. II. — Raman and magnetic nuclear resonance studies of orientational motion Besson (R.). — Voir Ayant (Y.) Bidaux (R.), Conte (R.) and Nasser (J. A.). — More on spin orientation in MnO at 0 K and zero applied field: theoretical predictions Bienfait (M.). — Voir Coulomb (J. P.) Blanc (C.). — Voir Roger (G.) Blinowski (J.) and Rigaux (C.). — Band structure model and electrostatic effects in third and fourth stages of graphite acceptor compounds Blinowski (J.), Nguyen Hy Hau, Rigaux (C.), Vieren (J. P.), Le Toullec (R.), Furdin (G.), Herold (A.) and Melin (J.). — Band structure model and dynamical dielectric function in lowest stages of graphite acceptor compounds Boissier (M.), Vacher (R.), Fontaine (D.) and Pick (R. M.). — The elastic anomaly of NaCN at 284 K Bonville (P.), Hodges (J. A.) and Imbert (P.). — Yb³+ RAIO₃ (R = Eu, Gd, Tb, Dy, Ho, Er). A 170 Yb Mössbauer effect study of the hyperfine parameters, magnetic ordering and relaxation	723 1183 1317 1155 169 667	tion in ferroelectric SbSI Chédin (MP.). — Voir Dumas (G.) Chevalier (B.). — Voir Tarascon (J. M.) Chieux (P.). — Voir Jal (J. F.) Colomban (Ph.). — Voir Lassegues (J. C.) Comes (R.). — Voir Robin (P.) Conde (O.), Leblond (J.) and Teixeira (J.). — Analysis of the dispersion of the sound velocity in supercooled water Conte (R.). — Voir Bidaux (R.) Cooper (J. R.). — Voir Miljak (M.) Cotrait (M.). — Voir Pesquer (M.) Coulomb (J. P.), Suzanne (J.), Bienfait (M.), Matecki (M.), Thomy (A.), Croset (B.) and Marti (C.). — Two-dimensional polymorphism and melting in a monolayer of nitric oxide adsorbed on graphite Croset (B.). — Voir Coulomb (J. P.) Daniels (W. B.). — Voir Lin (W. J.) D'Anterroches (C.). — Voir Desseaux (J.). Delsanti (M.). — Voir Adam (M.) Demangeat (C.), Khan (M. A.), Moraitis (G.) and Parlebas (J. C.). — Chemical binding energies of point defects in palladium doped with hydrogen and d impurities Denes (G.). — Voir Pannetier (J.) De Novion (C. H.). — Voir Boutard (J. L.) Desoyer (J. C.). — Voir Dinhut (J. F.)	905 5-1141 657 273 415 997 1317 639 1039 1155 633 565 713
Bernier (J. C.). — Voir Fruchart (D.) Bertaut (E. F.). — Voir Fruchart (D.) Besnard (M.), Lascombe (J.) and Nery (H.). — Molecular dynamics in liquid cyclopropane. II. — Raman and magnetic nuclear resonance studies of orientational motion Besson (R.). — Voir Ayant (Y.) Bidaux (R.), Conte (R.) and Nasser (J. A.). — More on spin orientation in MnO at 0 K and zero applied field: theoretical predictions. Bienfait (M.). — Voir Coulomb (J. P.) Blanc (C.). — Voir Roger (G.) Blinowski (J.) and Rigaux (C.). — Band structure model and electrostatic effects in third and fourth stages of graphite acceptor compounds. Blinowski (J.), Nguyen Hy Hau, Rigaux (C.), Vieren (J. P.), Le Toullec (R.), Furdin (G.), Herold (A.) and Melin (J.). — Band structure model and dynamical dielectric function in lowest stages of graphite acceptor compounds Boissier (M.), Vacher (R.), Fontaine (D.) and Pick (R. M.). — The elastic anomaly of NaCN at 284 K. Bonville (P.), Hodges (J. A.) and Imbert (P.). — Yb3+ RAlO3 (R = Eu, Gd, Tb, Dy, Ho, Er). A 170Yb Mössbauer effect study of the hyperfine parameters, magnetic ordering and relaxation Bouffard (S.). — Voir Mihaly (G.)	141 141 723 1183 1317 1155 169 667 47 1437	tion in ferroelectric SbSI Chédin (MP.). — Voir Dumas (G.) Chevalier (B.). — Voir Tarascon (J. M.) Chieux (P.). — Voir Jal (J. F.) Colomban (Ph.). — Voir Lassegues (J. C.) Comes (R.). — Voir Robin (P.) Conde (O.), Leblond (J.) and Teixeira (J.). — Analysis of the dispersion of the sound velocity in supercooled water Conte (R.). — Voir Bidaux (R.) Cooper (J. R.). — Voir Miljak (M.) Cotrait (M.). — Voir Pesquer (M.) Coulomb (J. P.), Suzanne (J.), Bienfait (M.), Matecki (M.), Thomy (A.), Croset (B.) and Marti (C.). — Two-dimensional polymorphism and melting in a monolayer of nitric oxide adsorbed on graphite Croset (B.). — Voir Coulomb (J. P.) Daniels (W. B.). — Voir Lin (W. J.) D'Anterroches (C.). — Voir Desseaux (J.). Delsanti (M.). — Voir Adam (M.) Demangeat (C.), Khan (M. A.), Moraitis (G.) and Parlebas (J. C.). — Chemical binding energies of point defects in palladium doped with hydrogen and d impurities. Denes (G.). — Voir Pannetier (J.) De Novion (C. H.). — Voir Boutard (J. L.)	9055-1141 657-273 415 997 1317-639 1039 1155-633 5655 713
Bernier (J. C.). — Voir Fruchart (D.) Bertaut (E. F.). — Voir Fruchart (D.) Besnard (M.), Lascombe (J.) and Nery (H.). — Molecular dynamics in liquid cyclopropane. II. — Raman and magnetic nuclear resonance studies of orientational motion Besson (R.). — Voir Ayant (Y.) Bidaux (R.), Conte (R.) and Nasser (J. A.). — More on spin orientation in MnO at 0 K and zero applied field: theoretical predictions. Bienfait (M.). — Voir Coulomb (J. P.). Blanc (C.). — Voir Roger (G.). Blinowski (J.) and Rigaux (C.). — Band structure model and electrostatic effects in third and fourth stages of graphite acceptor compounds. Blinowski (J.), Nguyen Hy Hau, Rigaux (C.), Vieren (J. P.), Le Toullec (R.), Furdin (G.), Herold (A.) and Melin (J.). — Band structure model and dynamical dielectric function in lowest stages of graphite acceptor compounds Boissier (M.), Vacher (R.), Fontaine (D.) and Pick (R. M.). — The elastic anomaly of NaCN at 284 K. Bonville (P.), Hodges (J. A.) and Imbert (P.). — Yb³+ RAlO₃ (R = Eu, Gd, Tb, Dy, Ho, Er). A 170 Yb Mössbauer effect study of the hyperfine parameters, magnetic ordering and relaxation. Bouffard (S.). — Voir Mihaly (G.). Bouffard (V.), Roinel (Y.), Roubeau (P.) and Abra-	141 141 723 1183 1317 1155 169 667 47 1437	tion in ferroelectric SbSI Chédin (MP.). — Voir Dumas (G.) Chevalier (B.). — Voir Tarascon (J. M.) Chieux (P.). — Voir Jal (J. F.) Colomban (Ph.). — Voir Lassegues (J. C.) Comes (R.). — Voir Robin (P.) Conde (O.), Leblond (J.) and Teixeira (J.). — Analysis of the dispersion of the sound velocity in supercooled water Conte (R.). — Voir Bidaux (R.) Cooper (J. R.). — Voir Miljak (M.) Cotrait (M.). — Voir Pesquer (M.) Coulomb (J. P.), Suzanne (J.), Bienfait (M.), Matecki (M.), Thomy (A.), Croset (B.) and Marti (C.). — Two-dimensional polymorphism and melting in a monolayer of nitric oxide adsorbed on graphite Croset (B.). — Voir Coulomb (J. P.) Daniels (W. B.). — Voir Lin (W. J.) D'Anterroches (C.). — Voir Desseaux (J.). Delsanti (M.). — Voir Adam (M.) Demangeat (C.), Khan (M. A.), Moraitis (G.) and Parlebas (J. C.). — Chemical binding energies of point defects in palladium doped with hydrogen and d impurities Denes (G.). — Voir Pannetier (J.) De Novion (C. H.). — Voir Boutard (J. L.) Desoyer (J. C.). — Voir Dinhut (J. F.)	9055-1141 657-273 415 997 1317-639 1039 1155-633 5655 713
Bernier (J. C.). — Voir Fruchart (D.) Bertaut (E. F.). — Voir Fruchart (D.) Besnard (M.), Lascombe (J.) and Nery (H.). — Molecular dynamics in liquid cyclopropane. II. — Raman and magnetic nuclear resonance studies of orientational motion Besson (R.). — Voir Ayant (Y.) Bidaux (R.), Conte (R.) and Nasser (J. A.). — More on spin orientation in MnO at 0 K and zero applied field: theoretical predictions Bienfait (M.). — Voir Coulomb (J. P.) Blanc (C.). — Voir Roger (G.) Blinowski (J.) and Rigaux (C.). — Band structure model and electrostatic effects in third and fourth stages of graphite acceptor compounds Blinowski (J.), Nguyen Hy Hau, Rigaux (C.), Vieren (J. P.), Le Toullec (R.), Furdin (G.), Herold (A.) and Melin (J.). — Band structure model and dynamical dielectric function in lowest stages of graphite acceptor compounds Boissier (M.), Vacher (R.), Fontaine (D.) and Pick (R. M.). — The elastic anomaly of NaCN at 284 K Bonville (P.), Hodges (J. A.) and Imbert (P.). — Yb ³⁺ RAIO ₃ (R = Eu, Gd, Tb, Dy, Ho, Er). A 170 Yb Mössbauer effect study of the hyperfine parameters, magnetic ordering and relaxation Bouffard (S.). — Voir Mihaly (G.). Bouffard (V.), Roinel (Y.), Roubeau (P.) and Abragam (A.). — Dynamic nuclear polarization in 6LiD	141 141 723 1183 1317 1155 169 667 47 1437	tion in ferroelectric SbSI Chédin (MP.). — Voir Dumas (G.) Chevalier (B.). — Voir Tarascon (J. M.) Chieux (P.). — Voir Jal (J. F.) Colomban (Ph.). — Voir Lassegues (J. C.) Comes (R.). — Voir Robin (P.) Conde (O.), Leblond (J.) and Teixeira (J.). — Analysis of the dispersion of the sound velocity in supercooled water Conte (R.). — Voir Bidaux (R.) Cooper (J. R.). — Voir Miljak (M.) Cotrait (M.). — Voir Pesquer (M.) Coulomb (J. P.), Suzanne (J.), Bienfait (M.), Matecki (M.), Thomy (A.), Croset (B.) and Marti (C.). — Two-dimensional polymorphism and melting in a monolayer of nitric oxide adsorbed on graphite Croset (B.). — Voir Coulomb (J. P.) Daniels (W. B.). — Voir Lin (W. J.) D'Anterroches (C.). — Voir Desseaux (J.). Delsanti (M.). — Voir Adam (M.) Demangeat (C.), Khan (M. A.), Moraitis (G.) and Parlebas (J. C.). — Chemical binding energies of point defects in palladium doped with hydrogen and d impurities. Denes (G.). — Voir Pannetier (J.) De Novion (C. H.). — Voir Boutard (J. L.) Desoyer (J. C.). — Voir Dinhut (J. F.) Desseaux (J.), D'Anterroches (C.), Penisson (J. M.) and	9055-1141 657-273 415 997 1317-639 1039 1155-633 5655 713
Bernier (J. C.). — Voir Fruchart (D.) Bertaut (E. F.). — Voir Fruchart (D.) Besnard (M.), Lascombe (J.) and Nery (H.). — Molecular dynamics in liquid cyclopropane. II. — Raman and magnetic nuclear resonance studies of orientational motion Besson (R.). — Voir Ayant (Y.) Bidaux (R.), Conte (R.) and Nasser (J. A.). — More on spin orientation in MnO at 0 K and zero applied field: theoretical predictions. Bienfait (M.). — Voir Coulomb (J. P.) Blanc (C.). — Voir Roger (G.) Blinowski (J.) and Rigaux (C.). — Band structure model and electrostatic effects in third and fourth stages of graphite acceptor compounds. Blinowski (J.), Nguyen Hy Hau, Rigaux (C.), Vieren (J. P.), Le Toullec (R.), Furdin (G.), Herold (A.) and Melin (J.). — Band structure model and dynamical dielectric function in lowest stages of graphite acceptor compounds. Boissier (M.), Vacher (R.), Fontaine (D.) and Pick (R. M.). — The elastic anomaly of NaCN at 284 K Bonville (P.), Hodges (J. A.) and Imbert (P.). — Yb³+ RAlO₃ (R = Eu, Gd, Tb, Dy, Ho, Er). A 170 Yb Mössbauer effect study of the hyperfine parameters, magnetic ordering and relaxation. Bouffard (S.). — Voir Mihaly (G.) Bouffard (V.), Roinel (Y.), Roubeau (P.) and Abragam (A.). — Dynamic nuclear polarization in 6LiD Bouffard (S.). — Voir Zuppiroli (L.)	141 141 723 1183 1317 1155 169 667 47 1437	tion in ferroelectric SbSI Chédin (MP.). — Voir Dumas (G.) Chevalier (B.). — Voir Tarascon (J. M.) Chieux (P.). — Voir Jal (J. F.) Colomban (Ph.). — Voir Lassegues (J. C.) Comes (R.). — Voir Robin (P.) Conde (O.), Leblond (J.) and Teixeira (J.). — Analysis of the dispersion of the sound velocity in supercooled water Conte (R.). — Voir Bidaux (R.) Cooper (J. R.). — Voir Miljak (M.) Cotrait (M.). — Voir Pesquer (M.) Coulomb (J. P.), Suzanne (J.), Bienfait (M.), Matecki (M.), Thomy (A.), Croset (B.) and Marti (C.). — Two-dimensional polymorphism and melting in a monolayer of nitric oxide adsorbed on graphite Croset (B.). — Voir Coulomb (J. P.) Daniels (W. B.). — Voir Lin (W. J.) D'Anterroches (C.). — Voir Desseaux (J.). Delsanti (M.). — Voir Adam (M.) Demangeat (C.), Khan (M. A.), Moraitis (G.) and Parlebas (J. C.). — Chemical binding energies of point defects in palladium doped with hydrogen and d impurities. Denes (G.). — Voir Pannetier (J.) De Novion (C. H.). — Voir Boutard (J. L.) Desoyer (J. C.). — Voir Dinhut (J. F.) Desseaux (J.), D'Anterroches (C.), Penisson (J. M.) and Renault (A.). — Filtering of electron images of	905 5-1141 657 273 415 997 1317 639 1039 1155 633 565 713
Bernier (J. C.). — Voir Fruchart (D.) Bertaut (E. F.). — Voir Fruchart (D.) Besnard (M.), Lascombe (J.) and Nery (H.). — Molecular dynamics in liquid cyclopropane. II. — Raman and magnetic nuclear resonance studies of orientational motion Besson (R.). — Voir Ayant (Y.) Bidaux (R.), Conte (R.) and Nasser (J. A.). — More on spin orientation in MnO at 0 K and zero applied field: theoretical predictions Bienfait (M.). — Voir Coulomb (J. P.) Blanc (C.). — Voir Roger (G.) Blinowski (J.) and Rigaux (C.). — Band structure model and electrostatic effects in third and fourth stages of graphite acceptor compounds Blinowski (J.), Nguyen Hy Hau, Rigaux (C.), Vieren (J. P.), Le Toullec (R.), Furdin (G.), Herold (A.) and Melin (J.). — Band structure model and dynamical dielectric function in lowest stages of graphite acceptor compounds Boissier (M.), Vacher (R.), Fontaine (D.) and Pick (R. M.). — The elastic anomaly of NaCN at 284 K Bonville (P.), Hodges (J. A.) and Imbert (P.). — Yb ³⁺ RAIO ₃ (R = Eu, Gd, Tb, Dy, Ho, Er). A 170 Yb Mössbauer effect study of the hyperfine parameters, magnetic ordering and relaxation Bouffard (S.). — Voir Mihaly (G.). Bouffard (V.), Roinel (Y.), Roubeau (P.) and Abragam (A.). — Dynamic nuclear polarization in 6LiD	141 141 723 1183 1317 1155 169 667 47 1437	tion in ferroelectric SbSI Chédin (MP.). — Voir Dumas (G.) Chevalier (B.). — Voir Tarascon (J. M.) Chieux (P.). — Voir Jal (J. F.) Colomban (Ph.). — Voir Lassegues (J. C.) Comes (R.). — Voir Robin (P.) Conde (O.), Leblond (J.) and Teixeira (J.). — Analysis of the dispersion of the sound velocity in supercooled water Conte (R.). — Voir Bidaux (R.) Cooper (J. R.). — Voir Miljak (M.) Cotrait (M.). — Voir Pesquer (M.) Coulomb (J. P.), Suzanne (J.), Bienfait (M.), Matecki (M.), Thomy (A.), Croset (B.) and Marti (C.). — Two-dimensional polymorphism and melting in a monolayer of nitric oxide adsorbed on graphite Croset (B.). — Voir Coulomb (J. P.) Daniels (W. B.). — Voir Lin (W. J.) D'Anterroches (C.). — Voir Desseaux (J.). Delsanti (M.). — Voir Adam (M.) Demangeat (C.), Khan (M. A.), Moraitis (G.) and Parlebas (J. C.). — Chemical binding energies of point defects in palladium doped with hydrogen and d impurities Denes (G.). — Voir Pannetier (J.) De Novion (C. H.). — Voir Boutard (J. L.) Desseaux (J.), D'Anterroches (C.), Penisson (J. M.) and Renault (A.). — Filtering of electron images of crystal defects	905 5-1141 657 273 415 997 1317 639 1039 1155 633 565 713 1001 1019 845 135

Dianoux (A. J.) and Volino (F.). — Molecular conforma-	Hartman-Boutron (F.). — On the use of Liouville relaxa-	
tional changes in the smectic C, smectic A and nematic	tion supermatrices in Mössbauer studies III: applica-	1300
phases of TBBA 1147	tion to Mössbauer relaxation in superconductors	1289
Dinhut (J. F.), Rivière (J. P.) et Desoyer (J. C.). —	Hartzstein (C.), Zevin (V.) and Weger (M.). — Landau	(77
Recombinaison des paires proches après irradiation	theory of phase transitions in TTF-TCNQ	677
aux neutrons à 20 K d'alliages $Fe_{50}Co_{50}$ et $Fe_{49}Co_{49}V_2$ 135	Henry (L.). — Voir Peyre (H.)	1353
Doussineau (P.), Frénois (C.), Leisure (R. G.), Levelut (A.)	Herold (A.). — Voir Blinowski (J.)	47
and Prieur (JY.). — Amorphous-like acoustical pro-	Herr (A.). — Voir Vigneron (F.)	123 87
perties of Na doped β -Al ₂ O ₃	Hewat (A. W.). — Voir Bulou (A.)	1031
Dubois-Violette (E.), Pieranski (P.), Rothen (F.) and	Hild (G.). — Voir Candau (S.)	869
Strzelecki (L.). — Shear waves in colloidal crystals:	Hillner (B.). — Voir Limmer (St.)	83
I. — Determination of the elastic modulus	Hirlimann (Ch.). — Voir Charfi (F.)	0.5
Ducastelle (F.). — Voir Treglia (G.)	Hitier (G.). — Emission excitonique dans ZnSe: largeurs de raies, énergies d'activation thermiques et opti-	
Dumas (G.), Chédin (MP.) and Vovelle (F.). — Dyna-		443
mical matrix eigenvectors in crystals: experimental	ques	115
determination for naphthalene and anthracene 905	térisation des émissions donneur accepteur dans	
Dupin (J. P.). — Voir Jal (J. F.)	ZnSe	981
Dupuy (J.). — Voir Jal (J. F.)	Hodges (J. A.). — Voir Bonville (P.)	1213
Durand (M.). — Voir Pannetier (J.)	Hoffmann (H. J.). — On the analogy between local modes	
Duval (E.). — Voir Barland (M.)	and color center absorption bands	359
Duval (P.). — Voir Peyre (H.)	Holczer (K.). — Voir Miljak (M.)	639
El Alaoui-Bichri (R.), Giordano (J.), Almairac (R.), Benoit (C.) et Nassiri (P.). — Propriétés diélectriques	Hornreich (R. M.) and Shtrikman (S.). — A body-centered	
du fluorure de fer : spectres infrarouges et modèle	cubic structure for the cholesteric blue phase	335
du mairque de lei spectres infrarouges et modele dynamique	Imbert (P.). — Voir Bonville (P.)	
El Houch (C.). — Voir Meyer (M.)	Isikawa (Y.). — Voir Tarascon (J. M.) 1135-	
Emery (J.) and Fayet (J. C.). — Analysis of transferred	Jal (J. F.), Chieux (P.), Dupuy (J.) and Dupin (J. P.).	
spin densities in the $3d^3 \mid VF_6 \mid^{4-}$ complex, through	- A small angle neutron scattering investigation of	
L.C.A.OM.O. calculations	the concentration fluctuations in the solutions of	
Etourneau (J.). — Voir Tarascon (J. M.)	potassium in molten potassium bromide	657
Fayet (J. C.). — Voir Emery (J.)	Jánossy (I.). — Shear flow induced propagating domains	
Fontaine (D.). — Voir Boissier (M.)	in cholesterics	437
Fouassier (N.). — Voir Lassegues (J. C.)	Jánossy (A.). — Voir Miljak (M.)	639
François (B.). — Voir Mermilliod (N.)	Joffrin (C.). — Voir Lajzerowicz (J.)	1375
Frank (F. C.) and Chandrasekhar (S.). — Evidence of a	Joliclerc (M. J.). — Voir Prejean (J. J.)	427
tilted columnar structure for mesomorphic phases of	Joullie (A.). — Voir Charfi (F.)	83
benzene-hexa-n-alkanoates 1285	Joyes (P.) et Buttet (J.). — Utilisation d'une solution	
Frénois (C.). — Voir Doussineau (P.)	à un électron exacte pour le calcul du facteur g d'une	MALE
Fripiat (J. J.). — Voir Nicol (A. T.)	chaîne finie perturbée	
Fruchart (D.), Montmory (M. C.), Bertaut (E. F.) et	Kalos (M. H.). — Voir Webman (I.)	
Bernier (J. C.). — Structures magnétiques de	Kappler (J. P.). — Voir Krill (G.)	
Mn ₂ TeO ₆ et V ₂ WO ₆ . Stabilité des modes magné-	Kasaya (M.). — Voir Tarascon (J. M.)	-1141
tiques observés	Kasting (G. B.), Garland (C. W.) and Lushington (K. J.).	
Furdin (G.). — Voir Blinowski (J.)	- Critical heat capacity of octylcyanobiphenyl (8 CB)	0=0
Gaillard (J.) et Gloux (P.). — Etude par RPE et ENDOR des conséquences de la transition de phase para-	near the nematic-smectic A transition	
ferroélectrique sur le comportement de radicaux	Keyes (P. H.). — Voir Lin (W. J.)	
libres dans le cristal de KH ₂ AsO ₄ irradié	Khan (M. A.). — Voir Demangeat (C.)	1001
Garland (C. W.). — Voir Kasting (G. B.) 879	Kléman (M.). — Developable domains in hexagonal liquid crystals	727
Gasgnier (M.) et Sénateur (J. P.). — Caractérisation par	Korin (B.). — Voir Miljak (M.)	737 639
diffraction X, microscopie électronique et fluores-	Krauzman (M.) and Pick (R. M.). — The low frequency	039
cence X, des couches minces obtenues par évaporation	Raman spectrum in relation to the phase transition	
de SmS. Structures cristallographiques après recuits	of KH ₃ (SeO ₃) ₂	1441
par le faisceau électronique 1127	Krill (G.), Abadli (L.), Ravet (M. F.), Kappler (J. P.)	1 771
Gerl (M.). — Voir Bruson (A.)	and Meyer (A.). — Anomalous temperature behaviour	
Gheorghiu (A.). — Voir Theye (ML.)	of the mixed valence state of CePd3 studied by	
Giordano (J.). — Voir El Alaoui-Bichri (R.) 543	XPS	1121
Gloux (P.). — Voir Gaillard (J.)	TO I I I A A A A A A A A A A A A A A A A	1487
Goldman (M.). — Use of neutron diffraction for the	Kunert (H.) and Suffczynski (M.). — Vector-coupling	
study of domains in nuclear magnetic ordering 885	coefficients for space groups based on simple subic	
Goodby (J. W.), Gray (G. W.), Leadbetter (A. J.) and	lattices	1361
Mazid (M. A.). — The unclassified smectic phase of	Labbe (J.). — Voir Quazza (J.)	525
N-(4-n-pentyloxybenzylidene)-4-n-hexylaniline (50.6) 591	Lajzerowicz (J.), Legrand (J. F.) and Joffrin (C.).	
Grande (S.). — Voir Limmer (St.)	Ferroelastic and ferroelectric phase transition in a	
Gray (G. W.). — Voir Goodby (J. W.)	molecular crystal: tanane. 1. — Neutron and Brillouin	
Gupta (M.) and Burger (J. P.). — Electronic structure	scattering studies of the acoustic and pseudo-spin	
and electron-phonon interaction in aluminium	coupled modes	1375
hydrides	Lambert (M.). — Voir Benattar (J. J.)	1371
Hagenmuller (P.). — Voir Tarascon (J. M.)	Landi (A.), Deville (A.) and Ranvaud (R.). — Influence	
reentrant polymorphism N-S _A -N-S _A in a pure liquid	of the Jahn-Teller effect on the Zeeman splittings of	
Activity polymorphism 14-5A-14-5A in a pure iiquid	the ⁴ T ₂ level of Mn ²⁺ in ZnS	161
crystal compound	Larica (C.). — Voir Tari (A.)	35

Laroche (C.). — Voir Castaing (B.)	897	Moussa (F.) Voir Benattar (J. J.)	137
Lascombe (J.). — Voir Besnard (M.)	723	Mouttet (C.). — Voir Mathiez (P.)	51
Lassegues (J. C.), Fouassier (N.), Baffier (N.), Colom-		Munch (J. P.). — Voir Candau (S.)	103
ban (Ph.) and Dianoux (A. J.). — Neutron scattering		Nahmani (A.) and Buisson (R.). — Intermediate Jahn-	
study of the proton dynamics in NH $_4^+$ and OH $_3^+$ β alumina		Teller effect within an orbital triplet. II. — Appli-	
mina	273	cation to the acoustic paramagnetic resonance of V ³⁺	
Leadbetter (A. J.). — Voir Goodby (J. W.)	591	in CaO	6
Leblond (J.) Voir Conde (O.)	997	Nahmani (A.), Buisson (R.) and Romestain (R.). —	
Lebowitz (J. L.). — Voir Webman (I.) Legrand (J. F.). — Voir Lajzerowicz (J.)	579	Intermediate Jahn-Teller effect within an orbital tri-	
Leisure (R. G.). — Voir Doussineau (P.)	1375	plet. I. — Theoretical analysis of the paramagnetic	
Lemonnier (M.). — Voir Robelin (E.)	1193	resonance	59
T. T. H. (D.) TI ' DH. TA (T.)	47	Nassari (P.). — Voir El Alaoui-Bichri (R.)	543
Levelut (A.). — Voir Doussineau (P.)		Nasser (J. A.). — Reorientation of magnetic moments	
Levelut (A. M.). — Voir Hardouin (F.)	41	under mechanical stresses in FeCl ₂ at 0 K: theoretical	1027
Lewis (A.). — Voir Theye (ML.)	1173	predictions	627
Leyris (J. P.), Carlos (H.) and Aicardi (J. P.).		Nasser (J. A.). — Voir Bidaux (R.)	1317
Determination of certain trapping parameters in		Nery (H.). — Voir Besnard (M.)	
mercury sulphide (α-HgS) by thermally stimulated		Nguyen Ai Viet. — Voir Nguyen Ba An	1067
conductivity	305	Nguyen Ba An, Nguyen Van Hieu, Nguyen Toan Thang	
Limmer (St.), Schmiedel (H.), Hillner (B.), Lösche (A.)		and Nguyen Ai Viet. — Polariton theory of resonant	
and Grande (S.). — Ordering and intramolecular		electronic Raman scattering on neutral donor levels in	1000
mobility in the nematic phase of PAA investigated by		semiconductors with a direct band gap	1067
means of NMR lineshape analysis and computer		Nguyen Hy Hau. — Voir Blinowski (J.)	47
simulations of the lineshape	869	Nguyen Toan Thang. — Voir Nguyen Ba An	1067
Lin (W. J.), Keyes (P. H.) and Daniels (W. B.). —		Nguyen Van Hieu. — Voir Nguyen Ba An	1067
The nematic-isotropic transition at high pressures II:	4-171	Nicol (A. T.), Tinet (D.) and Fripiat (J. J.). — Proton shift tensors in hydrogen molybdenum bronze	423
turbidity measurements	633	THE STATE OF THE S	
Lösche (A.). — Voir Limmer (St.)	869	Nouailhat (A.). — Voir Barland (M.) Nouet (J.). — Voir Bulou (A.)	75 87
Loupias (G.) and Petiau (J.). — Anisotropic Compton	265	Nozières (P.). — Voir Castaing (B.)	701
scattering in LiF using synchrotron radiation	265	Okano (K.) and Mitaku (S.). — On the anomalous vis-	/01
Lushington (K. J.). — Voir Kasting (G. B.)	879	cosity of monodisperse latex in the disordered state	585
Malthete (J.). — Voir Bartolino (R.)	365	Païdassi (S.). — Voir Rullier (F.)	515
transparentes de baryum	971	Paniutin (V. L.), Ponedelnikov (B. E.), Rosenson (A. E.)	210
Marsau (P.). — Voir Pesquer (M.)	1039	et Tchijikov (V. I.). — Structures de bande des solu-	
Marti (C.). — Voir Coulomb (J. P.)	1155	tions solides $Cd_{1-x}Hg_xGa_2S_4$ et $CdGa_2(S_{1-x}Se_x)_4$	1025
Mathiez (P.), Mouttet (C.) and Weisbuch (G.). — On	1100	Paniutin (V. L.), Ponedelnikov (B. E.), Rosenson (A. E.)	
the nature of the slow modes appearing in quasi-		et Tchijikov (V. I.). — Structure de bande de la solu-	
elastic light scattering by semi-dilute polymer solu-		tion solide $AgGa(S_xSe_{1-x})_2$ en $\kappa = 0$	1225
tions	519	Pannetier (J.), Denes (G.), Durand (M.) and Buevoz	
Masse (G.). — Voir Poure (A.)	707	(J. L.). $-\beta \neq \gamma \operatorname{SnF}_2$ phase transition : neutron dif-	
Matecki (M.). — Voir Coulomb (J. P.)	1155	fraction and N.M.R. study	1019
Mazid (M. A.). — Voir Goodby (J. W.)	591	Parlebas (J. C.). — Voir Demangeat (C.)	1001
Melin (J.). — Voir Blinowski (J.)	47	Pelletier (R.). — Voir Pelletier-Allard (N.)	33-86.
Meriel (P.). — Voir Vigneron (F.)	123	Pelletier-Allard (N.) and Pelletier (R.). — Laser induced fluorescence in Nd ³⁺ : LaCl ₃ . I. — Hyperfine struc-	Wide of
Mermilliod (N.), Zuppiroli (L.) and François (B.). — Thermal conductivity and specific heat of pure and iodine		tures	855
doped polyacetylene (CH) $_x$	1453	Pelletier-Allard (N.) and Pelletier (R.). — Laser induced	30
Meyer (A.). — Voir Krill (G.)	1121	fluorescence in Nd ³⁺ : LaCl ₃ . II. — Energy transfer	
Meyer (A.). — Voir Vigneron (F.)	123	phenomena	861
Meyer (M.). — Implantation of ¹⁸ O ⁺ ions in channelling		Penisson (J. M.). — Voir Desseaux (J.)	565
directions of aluminium, copper and nickel single		Perrin (N.). — Phonons in thin optically irradiated super-	
crystals. II Stopping power determination by		conductors; spectrum and possible definition of a	Intel
maximum range measurements	409	phonon temperature	615
Meyer (M.), El Houch (C.) and Barbezat (S.). — Implanta-		Pesquer (M.), Cotrait (M.), Marsau (P.) and Volpilhac	
tion of ¹⁸ O+ ions in channelling directions of alumi-		(V.). — Molecular conformation and arrangement of a	1020
nium, copper and nickel single crystals. I. — Experi-	402	disc like compound by semi-empirical calculations	1039
mental conditions and range profile determination	403	Petiau (J.). — Voir Loupias (G.)	200
Mihaly (G.), Bouffard (S.), Zuppiroli (L.) and Bechgaard		Fresnel des électrons diffusés élastiquement et inélasti-	
(K.). — Transverse and longitudinal resistivities of	1495	quement par des écrans semi-transparents	1353
pure and irradiated TMTSF-DMTCNQ	1495	Pick (R. M.). — Voir Boissier (M.)	1437
Jánossy (A.). — Low temperature magnetic suscepti-		Pick (R. M.). — Voir Krauzman (M.)	1441
bility of quasi one-dimensional conductors	639	Pick (R. M.). — Voir Yvinec (M.)	1045
Mitaku (S.). — Voir Okano (K.)			1040
Monod (P.). — Voir Prejean (J. J.)	427	Pick (R. M.) and Yvinec (M.). — Orientational disorder in plastic molecular crystals. II. — Neutron scattering	
Montmory (M. C.). — Voir Fruchart (D.)	141	and orientational dynamics	1053
Moradpour (A.). — Voir Robin (P.)	415	Pieranski (P.). — Voir Dubois-Violette (E.)	369
Moraitis (G.). — Voir Demangeat (C.)	1001		573
More (C.). — Voir Roger (G.)	169	Pinheiro (M. F.). — Voir Sousa (J. B.)	
Margira (I M) - Voir Sousa (I. B.)	573	Pinto (R. P.). — Voir Sousa (J. B.)	573

The state of the s	Sotton (M.). — Voir Rault (J.)	1459
Pisarski (R. D.) and Stein (D. L.). — Surface singularities	Solion (N.). — von Raut (o.)	122
in nematics and some notes on cholesterics 345	Sougi (M.). — Voir Vigneron (F.)	123
Pleiner (H.). — Voir Brand (H.) 553	Souletie (J.). — Voir Prejean (J. J.)	1335
Ponedelnikov (B. E.). — Voir Paniutin (V. L.) 1025-1225	Sousa (J. B.), Pinto (R. P.), Amado (M. M.), Pinheiro	
	(M. F.), Moreira (J. M.) and Braga (M. E.). — Critical	
Pouget (J. P.). — Voir Robin (P.) 415		
Poure (A.), Aguero (G.), Masse (G.) and Aicardi (J. P.). —	behaviour of the thermal conductivity near the Curie	
Evidence of a donor-acceptor type transition in	point of gadolinium	573
CuGaSe ₂ 707	Spanjaard (D.). — Voir Treglia (G.)	281
Prejean (J. J.), Joliclerc (M. J.) and Monod (P.). — Hys-	Stein (D. L.) Voir Pisarski (R. D.)	345
teresis in CuMn: the effect of spin orbit scattering on	Stieb (A. E.). — Structure of elongated and spherulitic	
the anisotropy in the spin glass state	domains in long pitch cholesterics with homeotropic	
Prejean (J. J.) and Souletie (J.). — Two-level-systems in		961
	boundary alignment	
spin glasses: a dynamical study of the magnetizations	Strzelecki (L.). — Voir Dubois-Violette (E.)	
below $T_{\rm G}$, application to CuMn systems	Suffczynski (M.). — Voir Kunert (H.)	1361
Prieur (JY.). — Voir Doussineau (P.)	Suzanne (J.). — Voir Coulomb (J. P.)	
Quazza (J.) and Labbe (J.). — Raman tensor calculations	Tarascon (J. M.), Isikawa (Y.), Chevalier (B.), Etourneau	
in mixed fluoride crystals with rutile structure. Co++	(J.), Hagenmuller (P.) and Kasaya (M.). — Valence	
ion as an isolated impurity in a diamagnetic	transitions of samarium in hexaboride solid solutions	
matrix 525	$Sm_{1-x}M_xB_6$ (M = Yb ²⁺ , Sr ²⁺ , La ³⁺ , Y ³⁺ , Th ⁴⁺)	1135
Quere (Y.). — Voir Rullier (F.)		
	Tarascon (J. M.), Isikawa (Y.), Chevalier (B.), Etourneau	
	(J.), Hagenmuller (P.) and Kasaya (M.). — Tempera-	
Raj (P.) and Kulshreshtha (S. K.). — Magnetically induced	ture dependence of the samarium oxidation state in	
quadrupole interactions and anisotropic hyperfine		1141
fields at Fe-sites in RFe ₂ -compounds		
Rajput (A.). — Voir Ramji Rao (R.)	Tari (A.) and Larica (C.). — Magnetization and electron	
	spin resonance studies of GdRh ₂ -GdFe ₂ alloys	35
Ramji Rao (R.) and Rajput (A.). — Some aspects of ther-	Tchijikov (V. I.). — Voir Paniutin (V. L.) 1025	-1225
mal and elastic properties of thallium 177	Teixeira (J.). — Voir Conde (O.)	997
Ranvaud (R.). — Voir Landi (A.)		771
Rappeneau (T.). — Voir Theye (ML.)	Theye (ML.), Gheorghiu (A.), Rappeneau (T.) and Lewis	
	(A.). — Transport properties of evaporated versus	
(-),	sputtered amorphous germanium films	1173
Rault (J.), Sotton (M.), Rabourdin (C.) and Robelin (E.).	Tholence (J. L.) Voir Ravot (D.)	
— Crystallization of polymers. Part I. — Polydis-		
persed polymers quenched from the liquid state 1459	Thomy (A.). — Voir Coulomb (J. P.)	
	Tinet (D.). — Voir Nicol (A. T.)	423
	Treglia (G.), Ducastelle (F.) and Spanjaard (D.)	
Ravot (D.), Burlet (P.), Rossat-Mignod (J.) and Tholence	Perturbation treatment of correlations in transition	
(J. L.). — Magnetic properties of cerium mono-		201
telluride	metals	
Renault (A.). — Voir Desseaux (J.)	Vacher (R.). — Voir Boissier (M.)	1437
	Van Eck (D. C.) and Zijlstra (R. J. J.) Spectral	
Ridou (C.). — Voir Bulou (A.)	analysis of light intensity fluctuations caused by orien-	
Rigaux (C.). — Voir Blinowski (J.)		251
Rivière (J. P.). — Voir Dinhut (J. F.)	tational fluctuations in nematics	351
Robelin (E.). — Voir Rault (J.)	Vieren (J. P.). — Voir Blinowski (J.)	47
	Vigneron (F.), Sougi (M.), Meriel (P.), Herr (A.) et Meyer	
Robelin (E.), Rousseaux (F.), Lemonnier (M.) and Rault	(A.). — Etude par diffraction de neutrons des struc-	
(J.). — Crystallization of polymers. Part II. — Frac-	tures magnétiques de TbBe ₁₃ à basse température	122
tionated polyethylene quenched from the liquid		123
state	Villain (J.). — Frustration dans un verre de spins quan-	
Robin (P.), Pouget (J. P.), Comes (R.) et Moradpour (A.).	tique	149
	Volino (F.). — Voir Dianoux (A. J.)	1147
Etude par diffusion des rayons X du mécanisme	Volpilhac (V.). — Voir Pesquer (M.)	1039
de polymérisation et des transitions de phase du dia-		
cétylène : bis-(p-toluène sulfonate) de 2,4 hexadiyne 1,6	Vovelle (F.). — Voir Dumas (G.)	905
diol	Wallis (G. P.) and Roy (S. K.). — Nuclear magnetic	
Roger (G.), More (C.) and Blanc (C.). — Evidence for a	resonance studies of liquid crystals under pressure	1165
	Webman (I.), Lebowitz (J. L.) and Kalos (M. H.)	
spin-lattice relaxation process with two optical pho-	Monte-Carlo studies of a polymer between planes,	
nons: Mn ²⁺ in ZnS		EMO
Roinel (Y.). — Voir Bouffard (V.)	crossover between dimensionalities	579
Romestain (R.). — Voir Nahmani (A.)	Weger (M.). — Voir Hartzstein (C.)	677
	Weisbuch (G.). — Voir Mathiez (P.)	519
	Yvinec (M.) and Pick (R. M.). — Orientational disorder	
Rosenson (A. E.). — Voir Paniutin (V. L.) 1025-1225		
Rossat-Mignod (J.). — Voir Ravot (D.)	in plastic molecular crystals. I. — Group theory and	40.
Rothen (F.). — Voir Dubois-Violette (E.) 369	ODIC description	1045
Roubeau (P.). — Voir Bouffard (V.)	Yvinec (M.). — Voir Pick (R. M.)	1053
	Zevin (V.). — Voir Hartzstein (C.)	677
	Zijlstra (R. J. J.). — Voir Van Eck (D. C.)	351
Rousseaux (F.). — Voir Robelin (E.)		
Roy (S. K.). — Voir Wallis (G. P.)	Ziolkiewicz (S.). — Voir Chaves (R.)	259
Rullier (F.), Païdassi (S.) et Quere (Y.) Irradiations, à	Zouaghi (M.). — Voir Charfi (F.)	83
basses températures, de Nb ₃ Ge aux neutrons et aux	Zuppiroli (L.) and Bouffard (S.). — The effects of a low	in the
électrons 515	temperature irradiation on TTF-TCNQ and related	
Schmiedel (H.). — Voir Limmer (St.)	compounds	291
Sénateur (J. P.). — Voir Gasgnier (M.)	Zuppiroli (L.). — Voir Mermilliod (N.)	
Shtrikman (S.). — Voir Hornreich (R. M.)	Zuppiroli (L.). — Voir Mihaly (G.)	1453
233	Dappinon (2.). Von Minary (G.)	1495

COMMENTAIRES ET ADDENDA

Bordé (Ch. J.). — Voir Druet (S. A. J.)	183	Meyer (C.). — Voir Hartmann-Boutron (F.)	
Doppler broadening in Raman gain spectroscopy at electronic resonance	183	Varotsos (P.). — The dielectric loss of X-irradiated LiD + Mg ⁺²	
Hartmann-Boutron (F.) and Meyer (C.). — ¹⁷⁰ Yb Mössbauer study of the crystalline electric field and			
exchange interaction in YbFe ₂ : addendum	1075		

SHOW HE AND GOOD IN A PROPERTY OF

Charles of the contract of the

Constitution of the Consti

	Account to the Secretary was the last
· · · · · · · · · · · · · · · · · · ·	
	Doppler broadening to 11 to a gain systematic gardening and a deciron resonance.
No. of the last of	and the property and the state panel
	Transport to the state of the same
	Tell, \$40 (a) (4) (1)
	The control desired as well as the control of the c
	Telephoral Albert & Commission purpose
	A CONTRACT OF THE CONTRACT OF

JOURNAL DE PHYSIQUE — LETTRES

Tome 41 — 1980

PHYSIQUE MATHÉMATIQUE

of a cylindrical Couette flow and of an electrically induced secondary flow	Asymmetrical loading of a penny-shaped finite transversely isotropic medium Voir Bergé (P.) Voir Bergé (P.) Voir Bergé (P.) d Bossis (G.) Local order theory of tipolar expansion	L-495 L-341 L-1 L-341 L-341 L-105
of a cylindrical Couette flow and of an electrically induced secondary flow	finite transversely isotropic medium Voir Bergé (P.) Voir Atten (P.) Voir Bergé (P.) Voir Bergé (P.) d Bossis (G.) — Local order theory of tipolar expansion	L-341 L-341 L-341
Carton (J. P.). — Surface effects and percolation: the repulsive case	E	
repulsive case L-175 Guilmin (P.). — V		
solutions of the linearized Boltzmann equation for neutron thermalization and hard sphere interactions . L-581 Dahan (M.). — Stress intensity factor for an infinite transversely isotropic solid containing a penny-shaped crack . L-213 Daoud (M.) and Jannink (G.). — Diffusion of a chain : concentration effects . L-217 Derrida (B.) and Vannimenus (J.). — Transfer-matrix approach to percolation and phenomenological renormalization . L-473 Des Cloizeaux (J.). — A method for determining by direct renormalization the properties of long polymers in Salmon (J.) of bi-particle Jannink (G.). — Valiagle (P.). — Volaigle (P.). — Volaigl	Woir Hoffmann (P.) Woir Turban (L.) Guillaume (JL.), Laigle (P.), Roger (C.), and Valton (M.). — The relaxation time correlations in a gas Woir Daoud (M.) For Hoffmann (P.) For Hoffmann (P.) For Hoffmann (P.) For Parisi (G.) Guilmin (P.). — Ising spin glasses in the raction-approximation For Hoffmann (P.)	L-271 L-145 L-271 L-217 L-271 L-403 L-271 L-403 L-145 L-271 L-473
PHYSIQUE NUCLÉAIRE		
	ois Naulin (F.)	L-79
Blaizot (JP.) and Orland (H.). — Path integrals and time-dependent mean-field theories. L-53 laizot (J. P.) and Orland (H.). — Boson representations for systems of fermions L-523 L-52	Voir Détraz (C.) Porrelation functions of a 2D fully frustrat- m on a square lattice Voir Détraz (C.) Voir Naulin (F.) Prançon (J.), Blachot (J.), Lhospice (G.), Prapport isomérique du 136I dans la fission par neutrons de 3 MeV de 235U Poir Poenaru (D. N.) Prin Naulin (F.) Voir Détraz (C.)	L-585 L-459 L-427 L-459 L-79 L-223 L-589 L-79 L-459 L-459 L-79
Turban (L.) and effective-inter valton (M.). — Voir Naulin (F.) Blachot (J.). — Voir Hamelin (Ch.). — Path integrals and time-dependent mean-field theories. — L-523 Blaizot (J. P.) and Orland (H.). — Boson representations for systems of fermions — L-523 Blaizot (J. P.). — Voir Hamelin (Ch.) — L-223 Blaizot (J. P.). — Voir Hamelin (Ch.) — L-223 Blaizot (J. P.). — Voir Hamelin (Ch.) — L-223 Blaizot (J. P.). — Voir Hamelin (Ch.) — Boson representations for systems of fermions — L-523 Blaizot (J. P.). — Voir Hamelin (Ch.) — L-223 Blaizot (J. P.). — Voir Hamelin (Ch.) — L-223 Blaizot (J. P.). — Voir Hamelin (Ch.) — L-223 Blaizot (J. P.) — Voir Hamelin (Ch.) — L-223 Blaizot (J. P.) — Voir Chevallier (A.) — L-181 Blaizot (J.). — Voir Chevallier (A.) — L-181 L-223 Blait-Simon (M.). — Voir Détraz (C.) — Voir Hamelin (Ch.) — L-181 L-223 Blait-Simon (M.). — Voir Détraz (C.) — Voir Hamelin (Ch.) — L-181 L-223 Blait-Simon (M.), — Voir Détraz (C.) — Voir Hamelin (Ch.) — L-181 L-223 Blait-Simon (M.), — Voir Détraz (C.) — Voir Hamelin (Ch.) — L-181 L-223 Blait-Simon (M.), — Voir Détraz (C.) — Voir Hamelin (Ch.) — L-181 L-223 Blait-Simon (M.), — Voir Détraz (C.) — Langevin (M.) — Voir Détraz (D.) — The v activity from — Langevin (M.) —	Guilmin (P.). — Ising spin glasses in the raction-approximation Foir Hoffmann (P.) Voir Derrida (B.) Raduta (A. A.). — Sur l'utilisation de la rme dans l'étude des systèmes nucléaires ion pionique Voir Détraz (C.) Correlation functions of a 2D fully frustratm on a square lattice Voir Détraz (C.) Voir Naulin (F.) Cançon (J.), Blachot (J.), Lhospice (G.), C.) et Moussa (A.). — Détermination expérapport isomérique du 1361 dans la fission par neutrons de 3 MeV de 235U oir Poenaru (D. N.) oir Naulin (F.) Voir Détraz (C.)	

Laurent (D.) Vois Chavellian (A.)	L-181	Orland (H.). — Voir Blaizot (JP.) L-5.	3-L-523
Leroux (B.). — Voir Chevallier (A.) Lhospice (G.). — Voir Hamelin (Ch.)	L-223	Pape (A.). — Voir Chevallier (A.)	L-181
Lönnroth (T.). — Semiempirical calculations of shell model	1 225	Poenaru (D. N.), Ivascu (M.) and Mazilu (D.). — A new	
states in ²¹² Rn	L-185	semiempirical formula for the alpha decay half-lives	L-589
Mazilu (D.). — Voir Poenaru (D. N.)	L-589	Pougheon (F.). — Voir Naulin (F.)	L-79
Moussa (A.). — Voir Hamelin (Ch.)	L-223	Raduta (A. A.). — Voir Do Dang (G.)	L-585
Naulin (F.), Détraz (C.), Bernas (M.), Guillemaud (D.),		Roussel (P.). — Voir Naulin (F.)	L-79 L-79
Kashy (E.), Langevin (M.), Pougheon (F.), Roussel (P.)		Roy-Stephan (M.). — Voir Naulin (F.)	L-459
and Roy-Stephan (M.). — Mass excess and excited sta-		Thibault (C.). — Voir Détraz (C.) Touchard (F.). — Voir Détraz (C.)	L-459
tes of ¹⁴ B and ¹⁸ N from the (¹⁴ C, ¹⁴ B) and (¹⁸ O, ¹⁸ N)	L-79	Tzara (C.). — On the low energy photon scattering on	2
reactions. Naulin (F.). — Voir Détraz (C.).	L-459	nuclei	L-221
Nifenecker (H.). — A dynamical treatment of isobaric	100	indicate the second sec	
widths in fission: an example of frozen quantal fluc-			
tuations	L-47		
PHYSIOLIE ATO	MIOH	E ET MOLÉCULAIRE	
THISIQUE ATO	MIQU	E EI MOLECCLAIRE	
A 2 0 0 0 0 0 0 0 0 0 0 0 0 0 0 0 0 0 0	1 272	Lahman Banani (A.) Voir Duquet (A.)	I 225
Adam (M. Y.). — Voir Wuilleumier (F.)	L-373	Lahmam-Bennani (A.). — Voir Duguet (A.) Laloë (F.). — Voir Julien (L.)	L-325 L-479
clock using laser optical pumping. Preliminary tests	L-379	Landais (J.). — Voir Chantepie (M.).	L-433
Bachet (G.). — Voir Moynault (J. M.)	L-551	Laniepce (B.). — Voir Chantepie (M.)	L-433
Bachet (G.). — Voir Occelli (R.)	L-527	Leboucher (E.) et Nguyen Hoe. — Terme de Van der Waals	
Bazin (C.), Billardon (M.), Deacon (D.), Farge (Y.), Ortega		intervenant dans le potentiel du couple Hg 6 ¹ S ₀ -Hg 6	
(J. M.), Perot (J.), Petroff (Y.) and Velghe (M.).		¹ P ₁	L-57
First results of a superconducting undulator on the		Le Coz (G.). — Voir Tuffin (F.)	L-109
ACO storage ring	L-547	Lécuiller (M.). — Voir Bonnet (J.)	L-477
Bhaduri (R. K.), Brack (M.), Gräf (H.) and Schuck (P).		Lutz (B. L.). — Voir Pierre (C.).	L-319 L-23
A semiquantal approximation to the bound-state Coulomb problem	L-347	Maillard (JP.). — Voir Camy-Peyret (C.)	L-23
Billardon (M.). — Voir Bazin (C.)	L-547	- Experimental measurements of the shape and the	
Bonnet (J.), Fournier (G.), Pigache (D.) and Lécuiller		parameters of the spectral line $J = 0-1$ of HF perturbed	
(M.). — Kinetics of species produced by an electron-		by argon and CO ₂	L-551
beam controlled discharge in oxygen at atmospheric		Moynault (J. M.). — Voir Occelli (R.)	L-527
pressure	L-477	Nguyen Hoe, — Voir Leboucher (E.)	L-57
Bouchiat (M. A.), Guéna (J.) and Pottier (L.). — Can a		Occelli (R.), Bachet (G.) et Moynault (J. M.), — Détermina-	
stray static electric field mimic parity violation in Stark experiments on forbidden M ₁ transitions?	L-299	tion des paramètres d'une raie spectrale d'absorption soumise à des effets de pression	L-527
Brack (M.). — Voir Bhaduri (R. K.)	L-347	Occelli (R.). — Voir Moynault (J. M.)	L-551
Camy-Peyret (C.), Flaud (JM.) and Maillard (JP.).		Omnès (R.). — On the laser snow effect	L-63
The 4 v_2 band of $H_2^{16}O$	L-23	Ortega (J. M.). — Voir Bazin (C.)	L-547
Champion (J. P.). — Voir Pierre (C.)	L-319	Peresse (J.). — Voir Tuffin (F.)	
Chantepie (M.), Cojan (JL.), Landais (J.) et Laniepce (B.).	T 400	Perot (J.). — Voir Bazin (C.)	L-547
— Durées de vie des niveaux $n^{1}S_{0}$ et $n^{1}D_{2}$ du cadmium Cojan (JL.). — Voir Chantepie (M.)	L-433	Petroff (Y.). — Voir Bazin (C.)	
Coulon (R.). — Voir Moynault (J. M.)	L-433 L-551	Peuriot (A.). — Voir Gorlicki (M.) Picqué (J. L.). — Voir Arditi (M.)	
Deacon (D.). — Voir Bazin (C.).	L-547	Picqué (J. L.), Vergès (J.) and Vetter (R.). — Resonant	L-3/9
Duguet (A.), Lahmam-Bennani (A.) and Rouault (M.).		character of laser-induced formation of particles in	
Experimental electron Compton profile beyond the		a Cs-H ₂ vapour	L-305
impulse approximation. Comparison of results on		Pierre (C.), Pierre (G.), Champion (J. P.) et Lutz (B. L.).	
NH ₃ and Ne.	L-325	Extension de l'analyse simultanée des bandes v_2 et v_4 de	
Dumont (M.). — Voir Gorlicki (M.)	L-275	Piorro (C) Voir Piorro (C)	L-319
resonances by observation of fluorescence light emitted		Pierre (G.). — Voir Pierre (C.) Pigache (D.). — Voir Bonnet (J.).	L-319
from a fast atomic beam when optical pumping occurs.	L-407	Pinard (M.). — Voir Julien (L.).	L-477
Farge (Y.). — Voir Bazin (C.)	L-547	Pottier (L.). — Voir Bouchiat (M. A.)	L-299
Flaud (JM.). — Voir Camy-Peyret (C.)	L-23	Rouault (M.). — Voir Duguet (A.)	L-325
Fournier (G.). — Voir Bonnet (J.)	L-477	Sandner (N.). — Voir Wuilleumier (F.)	L-373
Giraud-Cotton (S.), Kaftandjian (V. P.) and Talin (B.).		Schmidt (V.). — Voir Wuilleumier (F.)	L-373
Doppler-free magnetic optical activity	L-591	Schuck (P.). — Voir Bhaduri (R. K.)	L-347
Gorlicki (M.), Peuriot (A.) and Dumont (M.). — Study of		Talin (B.). — Voir Giraud-Cotton (S.) Tuffin (F.), Le Coz (G.) et Peresse (J.). — Ionisation Penn-	L-591
velocity-changing collisions by time resolved saturated		ing de l'azote moléculaire par He 2 ¹ S et 2 ³ S	T 100
absorption	L-275	Velghe (M.). — Voir Bazin (C.)	L-109 L-547
Gräf (H.) Voir Bhaduri (R. K.)	L-347	Vergès (J.). — Voir Picqué (J. L.) 33,	L-305
Guéna (J.). — Voir Bouchiat (M. A.)	L-299	Vetter (R.). — Voir Picqué (J. L.)	L-305
Julien (L.), Pinard (M.) and Laloë (F.). — Hyperfine		Vialle (JL.). — Voir Duong (H. T.)	L-407
structure and isotope shift of the 640.2 and 626.6 nm	1 470	Wuilleumier (F.), Adam (M. Y.), Sandner (N.) and Schmidt	
lines of neon	L-479 L-591	(V.). — Photoionization of helium above the $n=2$	
Voli Girauu-Cuttuli (S.)	L-391	photoionization threshold	L-373

PHYSIQUE DES PLASMAS

Abdel-Gawad (H.). — Voir Tu Khiet	L-189	Maignan (J.). — Voir Garban-Labaune (C.)	L-463
David (F.). — Voir Garban-Labaune (C.)	L-463	Michard (A.). — Voir Garban-Labaune (C.)	L-463
Fabre (E.). — Voir Garban-Labaune (C.)	L-463	Tu Khiet and Abdel-Gawad (H.). — Self-similar solutions	
Garban-Labaune (C.), Fabre (E.), David (F.), Maignan (J.)		of the quasilinear relaxation of a kinetic electron beam.	L-189
and Michard (A.). — Resonance absorption in CO ₂			
laser-plane targets interaction experiments	L-463		
PHYSIQUE DE	T.A. M	IATIÈRE CONDENSÉE	
THISIQUE DE	AUZ X IV	MITTERE CONDENSEE	
Abbes (M.), Gérard (R.), Gérard (P.), Meton (M.) et Picard		Bruyère (J. C.) and Deneuville (A.). — Effect of a hydrogen	
(E. J.). — Effet Hall dans des solutions électrolytiques	Y 606	plasma on various a-Si: H _x structures at low tempera-	
de concentration variable	L-575	tures	L-31
Abou-Ghantous (M.) and Bates (C. A.). — Ground state Jahn-Teller effects for V ³⁺ : Al ₂ O ₃	T 262	Bruyère (J. C.). — Voir Hamdi (H.)	L-483
Abragam (A.), Bouffard (V.), Roinel (Y.) and Roubeau (P.).	L-263	Bunge (H. J.), — Voir Esling (C.)	L-543
— A new polarized target material: ⁶ LiD	L-309	Burkov (S. E.) and Talapov (A. L.). — One-dimensional incommensurate structures at finite temperatures	L-387
Allan (G.), Friedel (J.) and Sayers (C. M.). — On the	L-307	Bziouet (M.). — Voir Almairac (R.)	L-315
intraatomic Coulomb and exchange energies in dege-		Cabos (C.) and Delord (P.). — Study, by neutron small	L-313
nerate narrow bands	L-287	angle scattering, of addition of an electrolyte to revers-	
Alloul (H.) and Hippert (F.). — Macroscopic magnetic		ed micellar solution	L-455
anisotropy in spin glasses: transverse susceptibility		Cabrera-Cano (J.) and Castaing (J.). — Point defects and	
and zero field NMR enhancement	L-201	high temperature creep of NiO single crystals	L-119
Almairac (R.), Ribet (M.), Ribet (J. L.) et Bziouet (M.).		Cailleau (H.). — Voir Dworkin (A.)	L-83
Etude de la phase non commensurable de $\{ N(CH_3)_4 \}_2$		Candille (M.). — Voir Régis (M.)	L-423
ZnCl ₄ par Laüe monochromatique	L-315	Canet (R.). — Voir Carmona (F.)	L-531
Arneodo (A.). — Voir Tresser (C.)	L-243	Carmona (F.), Barreau (F.), Delhaes (P.) and Canet (R.).	
Avenel (O.). — Voir Roinel (Y.)	L-123	An experimental model for studying the effect of ani-	T 521
Bacchella (G. L.). — Voir Roinel (Y.)	L-123	sotropy on percolative conduction	L-531 L-333
Bachellerie (A.) and Legros (P.). — Low temperature		Castaing (B.). — A model for exchange in liquid ³ He L-283	
variation of the dielectric constant of the amorphous			L-119
glycerol at 9.15 GHz	L-603	Cazabat (A. M.), Chatenay (D.), Langevin (D.) and Pou-	
Bachheimer (J. P.). — An anomaly in the β phase near the		chelon (A.). — Light scattering study of micro-	
α - β transition of quartz	L-559	emulsions and its relation to percolation phenomena	L-441
Bacri (JC.), Courdille (JM.), Dumas (J.) and Rajaona-		Cazabat (A. M.). — Voir Pouchelon (A.)	L-239
rison (R.). — Ultrasonic waves: a tool for gelation	Y 260	Ceccaldi (D.), Denoyer (F.), Lambert (M.) and Szwarc (H.).	
process measurements	L-369	- Diffuse X-ray scattering by glassy crystalline cyclo-	* 0.5
Bacri (JC.). — Voir Dumas (J.) Balibar (S.), Castaing (B.) and Laroche (C.). — Nucleation	L-279		L-365
and orientation of ⁴ He crystals	L-283	Cereze (A.), Henry (M.) and Varret (F.). — Isotropy of the	
Balibar (S.) and Castaing (B.). — Possible observation of	11-203	Lamb-Mössbauer factor in ferrous fluosilicate single crystals (Debye model)	L-157
the roughening transition in helium	L-329	Charvolin (J.). — Voir Deloche (B.)	L-39
Ballini (Y.). — Voir Palmier (J. F.)	L-539	Charvolin (J.) and Hendrikx (Y.). — Superstructures in	
Barreau (F.). — Voir Carmona (F.)	L-531	magnetically oriented lyotropic nematics, a hydrody-	
Barrau (J.). — Voir Voillot (F.)	L-415	namic effect ?	L-597
Bartis (F. J.). — Acoustic absorption by the soft modes	~	Chatenay (D.). — Voir Cazabat (A. M.)	L-441
of defects in NH ₄ Cl	L-161	Chouteau (G.). — Voir Monod (P.)	L-511
Bates (C. A.). — Voir Abou-Ghantous (M.)	L-263	Chouteau (G.). — Voir Palleau (J.)	L-227
Bechgaard (K.). — Voir Jérôme (D.)	L-95	Cotton (J. P.). — Polymer excluded volume ν : an experi-	T 221
Bechgaard (K.). — Voir Ribault (M.) L-39		mental verification of the <i>n</i> vector model for $n = 0$ Coullet (P.). — Voir Tresser (C.)	L-231 L-243
Benedek (G.). — Voir Ribault (M.)	L-397 L-165	Coullet (P.) and Tresser (C.). — Critical transition to sto-	L-2-13
Bernier (P.), — Voir Rolland (M.). Blot (J.), — Voir Rousselle (C.).	L-103	chasticity for some dynamical systems	L-255
Bouffard (V.). — Voir Abragam (A.)	L-309	Courdille (JM.). — Voir Bacri (JC.)	L-369
Bouffard (V.). — Voir Roinel (Y.).	L-123	Cros (A.). — Voir Salvan (F.)	L-337
Brabant (J. C.). — Voir Voillot (F.).	L-415	Deblieck (R.) and Lekkerkerker (H. N. W.) Phase transi-	
Brand (H.). — Voir Pleiner (H.)	L-383	tion in a solution of rodlike particles with different	
Brand (H.). — Voir Pleiner (H.)	L-491	lengths	L-351
Brener (R.). — Voir Shechter (H.)	L-295	De Gennes (P. G.). — Voir Hayter (J.)	L-451
Brini (J.). — Semiconductors: critical exponents of the	¥ 05	Delhaes (P.). — Voir Carmona (F.)	L-531
unijunction transistor transition	L-87	Deloche (B.) and Charvolin (J.). — Deuteron magnetic	
Brochard-Wyart (F.). — Voir Hayter (J.)	L-451	resonance in liquid crystals: the interplay of mole-	L-39
Brousseau (M.). — Voir Voillot (F.)	L-415	cular ordering and conformational changes Delord (P.). — Voir Cabos (C.)	L-455
Brun (B.). — Voir Larche (F.)	L-437	Delord (P.). — Voir Larche (F.).	L-437
Bruyère (J. C.) and Deneuville (A.). — Ohmic contacts on		Delois (2.3)	E 120

sputtered a-Si:H. L-27

Delrieu (J. M.). — Voir **Roger (M.)** L-139

Denbigh (J. S.). — From frustrationless models to spin	sion yields from Al thin films in the photon energy	
	-13 domain 1.5 to 4 c v	127
Deneuville (A.). — Voir Bruyère (J. C.) L-27-L-		201
Deneuville (A.). — Voir Hamdi (H.) L-4	Hueber (D.), Valette (C.) and Waysand (G.). — Density of	
Denoyer (F.). — Voir Ceccaldi (D.) L-3	nucleation centres of the normal state and magnetic	
Derrien (J.). — Voir Salvan (F.) L-3	interactions in superheated superconducting granules . L-	611
Di-Persio (J.). — Voir Kesteloot (R.) L-2	Isaacson (J.) and Lubensky (T. C.). — Flory exponents	
Disi (M.). — Voir Rolland (M.)L-1	for generalized polymer problems L-	469
		-69
Dorner (B.). — Voir Joffrin (C.) L-3	Jamin (12,), Von Paret (17k)	451
Doussineau (P.), Leisure (R. G.), Levelut (A.) and Prieur	Jérôme (D.), Mazaud (A.), Ribault (M.) and Bechgaard (K.).	
(JY.). — Is non-stoichiometric crystalline Na β-alu-	— Superconductivity in a synthetic organic conductor	
mina an ideal amorphous material? An ultrasonic	(TMTSF) ₂ PF ₆ L	95
	-65 Jérôme (D.). — Voir Ribault (M.) L-397-L-	
Dumas (J.) and Bacri (JC.). — New method of viscosity	Joffrin (C.), Dorner (B.) et Joffrin (J.). — Activité acousti-	007
measurement near the gelatin sol-gel transition L-2	que et loi de dispersion : le quartz et le chlorate de	
Dumas (J.). — Voir Bacri (JC.) L-3		391
Duplantier (B.). — Tricritical properties of polymer chains		391
in a poor solvent L-4	Joyes (P.) et Ortoli (S.). — Sur de nouvelles applications	571
Durand (J.). — Voir Garoche (P.) L-3		193
Durand (G.). — Voir Martinot-Lagarde (Ph.) L-	/3	419
Dussossoy (J. L.). — Voir Larche (F.) L-4		417
Dworkin (A.) and Cailleau (H.). — Heat capacity of biphe-	Kesteloot (R.) and Di-Persio (J.). — X-ray topographic evi-	
nyl around its phase transitions at low temperature L-	dence of an asymmetrical pre-yield behaviour in indium	259
Emery (J.). — Voir Pezeril (M.) L-4		239
Escribe (C.). — Voir Petitgrand (D.)	T (MA) V-'- C	-365
Esling (C.), Bunge (H. J.) and Muller (J.). — Description	Lambert (B.), Legros (P.) and Salin (D.). — High fre-	
of the texture by distribution functions on the space of	quency critical attenuation of sound in pressurized	
orthogonal transformations. Implications on the inver-	4 He near T_{λ} L-	-507
sion centre L-5	Lambert (B.), Perzynski (R.) and Salin (D.). — Critical	
	attenuation of sound of liquid helium in restricted	
Fabre (J. M.). — Voir Rolland (M.) L-1	geometries	19
Fayet (J. C.). — Voir Pezeril (M.) L-4	Lambert (b.) and Saim (b.). — Low temperature attenua-	
	tion of sound in restricted geometries L-	487
Felner (I.). — Voir Monod (P.) L-5	Langevin (D.). — von Cazabat (A. W.)	441
Felner (I.). — Voir Shaltiel (D.). L-5	Langevin (D.). — Voir Pouchelon (A.) L-	-239
François (J.), Schwartz (T.) and Weill (G.). — Existence	Larche (F.), Rouvière (J.), Delord (P.), Brun (B.) and Dus-	
and interpretation of too high excluded volume	sossoy (J. L.). — Existence of a bicontinuous zone in	
exponents in the apparent scaling laws for polymer	microemulsion systems L-	437
_		-283
Friedel (J.). — Instabilité d'une interface en présence de gradients de potentiel chimique L-2	Lasjaunias (J. C.), Penn (G.), Ravex (A.) and Vandorpe (M.).	
Friedel (J.). — Voir Allan (G.).	— Effect of thermal treatments on the low tempera-	
	ture specific heat of $\mathbf{b}_2\mathbf{O}_3$ and \mathbf{SiO}_2 glasses	131
Garland (C. W.). — Voir Lushington (K. J.) L-4	, 1	
Garoche (P.), Veyssié (J. J.) and Durand (J.). — Calori-	la formation de l'effet piézoélectrique du poly (fluo-	
metric investigation of the low temperature excitations	rure de vinylidène)	
of Pr^{3+} ions in the amorphous matrix $La_{80}Au_{20}$ L-3		
Gauthier-Manuel (B.) and Guyon (E.). — Critical elasti-	Legros (P.). — Voir Lambert (B.) L-	507
city of polyacrylamide above its gel point L-5		L-65
Gérard (P.). — Voir Abbes (M.) L-5		351
Gérard (R.). — Voir Abbes (M.) L-5		L-65
Giral (L.). — Voir Rolland (M.) L-1	()	-515
Goldman (M.). — Voir Roinel (Y.) L-1		-165
Gouyet (JF.), Sapoval (B.) and Pfeuty (P.). — Antifer-		-555
roelectric transition in β -alumina, a realization of the		-469
D = 2, $s = 3$ Potts model?	8 ()	
Guyon (E.). — Voir Gauthier-Manuel (B.) L-5	The first of the f	
Hamdi (H.), Deneuville (A.) and Bruyère (J. C.). — Effect	crystal butyloxybenzylidene octylaniline (40.8) L-	-419
of substrate temperature and deposition rate on the	Martinot-Lagarde (Ph.) and Durand (G.). — Flexoelectric	
photoconductivity of sputtered a-Si: H L-4	403	L-43
Havette (A.) and Slodzian (G.). — Matrix effects in secon-	Marty (D.), Poitrenaud (J.) and Williams (F. I. B.)	
dary ion emission: quantitative analysis of silicates L-2		
Havette (A.). — Voir Slodzian (G.) L-5		-311
Hayter (J.), Janninck (G.), Brochard-Wyart (F.) and De	Maurer (J.) and Libchaber (A.). — Effect of the Prandtl	
	,	E10
Gennes (P. G.). — Correlations and dynamics of poly-	number on the onset of turbulence in liquid ⁴ He. I.	-212
Gennes (P. G.). — Correlations and dynamics of polyelectrolyte solutions		-515
Gennes (P. G.). — Correlations and dynamics of polyelectrolyte solutions L-4 Hendrikx (Y.). — Voir Charvolin (J.) L-5	Maynard (R.), Rammal (R.) and Suchail (R.). — Spectral	-515
Gennes (P. G.). — Correlations and dynamics of polyelectrolyte solutions L-4 Hendrikx (Y.). — Voir Charvolin (J.) L-5 Hennion (B.). — Voir Petitgrand (D.) L-1	Maynard (R.), Rammal (R.) and Suchail (R.). — Spectral diffusion decay of spontaneous echoes in disordered	
Gennes (P. G.). — Correlations and dynamics of polyelectrolyte solutions	Maynard (R.), Rammal (R.) and Suchail (R.). — Spectral diffusion decay of spontaneous echoes in disordered systems	-291
Gennes (P. G.). — Correlations and dynamics of polyelectrolyte solutions	Maynard (R.), Rammal (R.) and Suchail (R.). — Spectral diffusion decay of spontaneous echoes in disordered systems. L. Mazaud (A.). — Voir Jérôme (D.).	-291 L-95
Gennes (P. G.). — Correlations and dynamics of polyelectrolyte solutions . L-4 Hendrikx (Y.). — Voir Charvolin (J.) . L-5 Hennion (B.). — Voir Petitgrand (D.) . L-1 Henry (M.). — Voir Cereze (A.) . L-1	Maynard (R.), Rammal (R.) and Suchail (R.). — Spectral diffusion decay of spontaneous echoes in disordered systems. Long Mazaud (A.). — Voir Jérôme (D.). — Meriel (P.). — Voir Roinel (Y.).	-291

Monod (P.), Felner (I.), Chouteau (G.) and Shaltiel (D.). — High field magnetization of TiBe ₂ and related compounds	L-511	Roinel (Y.), Bacchella (G. L.), Avenel (O.), Bouffard (V.), Pinot (M.), Roubeau (P.), Meriel (P.) and Goldman (M.).	
Monod (P.). — Voir Shaltiel (D.)	L-567	Neutron diffraction study of nuclear magnetic ordered phases and domains in lithium hydride	L-123
Mosseri (R.) and Dixmier (J.). — Dimensionality of subnetworks in amorphous covalent alloys	L-5	Rolland (M.), Bernier (P.), Disi (M.), Linaya (C.), Sledz (J.), Schue (F.), Fabre (J. M.) and Giral (L.). — Electrical	
Muller (J.). — Voir Esling (C.)	L-543	conductivity of SbF ₅ doped polyacetylene	L-165
Navet (M.), Jamin (E.) and Feix (M. R.). — « Virial » pres-	*	Roubeau (P.). — Voir Abragam (A.) Roubeau (P.). — Voir Roinel (Y.)	L-309 L-123
sure of the classical one-component plasma	L-69	Rousselle (C.), Blot (J.) et Pellan (Y.). — Mesure résistive	L-123
duce superdiamagnetic currents?	L-197	des champs de surchauffe et de surrefroidissement sur	T 01
Ortoli (S.). — Voir Joyes (P.)	L-193	des films supraconducteurs divisés	L-91 L-437
Palleau (J.) and Chouteau (G.). — Low temperature susceptibility of LaNi ₅ hydrides	T 227	Saint-James (D.). — Voir Nozières (P.)	L-197
Palmier (J. F.) and Ballini (Y.). — Near equilibrium mobi-	L-227	Saint-Paul (M.). — Short-time-scale specific heat experiments on smoky quartz	L-169
lity tensor in a semiconductor superlattice: scattering	T 520	Salin (D.). — Voir Lambert (B.) L-19-L-487	
by acoustical phonons	L-539	Salvan (F.), Cros (A.) and Derrien (J.). — Electron energy loss measurements on the gold-silicon interface	L-337
the spin glass phase of the infinite-ranged SK model	L-361	Sapoval (B.). — Voir Gouyet (JF.)	L-115
Pellan (Y.). — Voir Rousselle (C.). Penn (G.). — Voir Lasjaunias (J. C.).	L-91 L-131	Sayers (C. M.). — Voir Allan (G.)	L-287
Perzynski (R.). — Voir Lambert (B.)	L-19	Schue (F.). — Voir Rolland (M.) Schwartz (T.). — Voir François (J.)	L-165 L-9
Petitgrand (D.), Hennion (B.) and Escribe (C.). — Evidence		Senoussi (S.). — New relaxation effects in the AuFe and	
of a first order magnetic phase transition in FeI ₂ by neutron scattering	L-135	CuMn spin glass investigated by magnetoresistance measurements	L-571
Pezeril (M.), Emery (J.) and Fayet (J. C.). — E.P.R. inves-		Septier (A.). — Voir Hincelin (G.)	L-127
tigations of commensurate-incommensurate structu- ral phase transitions through «forbidden hyperfine		Shaltiel (D.). — Voir Monod (P.)	L-511
lines ». Application to Rb ₂ ZnCl ₄ : Mn ²⁺	L-499	exchange enhancement of TiBe ₂ from ESR	L-567
Pfeuty (P.). — Voir Gouyet (JF.) Picard (E. J.). — Voir Abbes (M.).	L-115 L-575	Shechter (H.), Brener (R.) and Suzanne (J.). — On the	
Pinot (M.). — Voir Roinel (Y.)	L-123	nature of the 2 D diffusion of tetramethyltin $Sn(CH_3)_4$ on graphite	L-295
Pleiner (H.) and Brand (H.). — Oscillatory convective	T 202	Sievers (D.). — Viscosity calculation of polydisperse	T #0#
instabilities in cholesteric and smectic A liquid crystals. Pleiner (H.) and Brand (H.). — On the influence of higher	L-383	branching polymers near gel point	L-535 L-165
order gradient terms on the hydrodynamics of liquid		Slodzian (G.). — Voir Havette (A.)	L-247
crystals	L-491 L-311	Slodzian (G.), Lorin (J. C.) and Havette (A.). — Isotopic effect on the ionization probabilities in secondary ion	
Pouchelon (A.). — Voir Cazabat (A. M.)	L-441	emission	L-555
Pouchelon (A.), Meunier (J.), Langevin (D.) and Cazabat (A. M.). — Light scattering from oil-water interfaces:		St-Grégoire (P.). — Voir Régis (M.)	L-423 L-291
measurements of low interfacial tensions	L-239	Suzanne (J.). — Voir Shechter (H.).	L-295
Pouget (JP.). — Voir Ribault (M.)	L-607	Szwarc (H.). — Voir Ceccaldi (D.)	L-365
Prieur (JY.). — Voir Doussineau (P.)	L-65 L-369	Talapov (A. L.). — Voir Burkov (S. E.)	L-387
Rammal (R.). — Voir Maynard (R.).	L-291	glass-ferromagnetic phases	L-447
Ravex (A.). — Voir Lasjaunias (J. C.)	L-131	Toulouse (G.). — Voir Parisi (G.) Tresser (C.). — Voir Coullet (P.)	L-361 L-255
Régis (M.), Candille (M.) and St-Grégoire (P.). — Optical study of the structural phase transition of BaMnF ₄	L-423	Tresser (C.), Coullet (P.) and Arneodo (A.). — On the	
Ribault (M.), Benedek (G.), Jérôme (D.) and Bechgaard		existence of hysteresis in a transition to chaos after a single bifurcation	L-243
(K.). — Diamagnetic AC susceptibility in the quasi- one dimensional organic conductor: (TMTSF) ₂ PF ₆	L-397	Valette (C.). — Voir Hueber (D.)	L-611
Ribault (M.). — Voir Jérôme (D.)	L-95	Vandorpe (M.). — Voir Lasjaunias (J. C.)	L-131 L-157
Ribault (M.), Pouget (JP.), Jérôme (D.) and Bechgaard (K.). — Superconductivity and absence of a Kohn		Veyssié (J. J.). — Voir Garoche (P.)	L-357
anomaly in the quasi-one-dimensional organic conduc-		Villain (J.). — Effect of substrate defects on commensurate-	T 267
tor: (TMTSF) ₂ AsF ₆	L-607 L-315	incommensurate transitions of adsorbed layers Voillot (F.), Barrau (J.), Brousseau (M.) and Brabant (J. C.).	L-267
Ribet (M.). — Voir Almairac (R.)	L-315	— The fine structure and the origin of the 0.84 eV no-	
Roger (M.), Delrieu (J. M.) and Hetherington (J. H.).		phonon luminescence in GaAs: Cr	L-415 L-611
Most experimental magnetic properties of solid bcc ³ He are described by a two parameter model: three and		Weill (G.). — Voir François (J.)	L-9
four spin exchange	L-139	Williams (F. I. B.). — Voir Marty (D.)	L-311
Roinel (Y.). — Voir Abragam (A.)	L-309	Wohlfarth (E. P.). — Itinerant metamagnetism in TiBe ₂	L-563
PHYS	IQUE	APPLIQUÉE	
D(I) V-i-E(C)	L-173	Charmet (J. C.). — Voir Fermigier (M.)	L-519
Bonnet (J.). — Voir Fournier (G.)	L-75	Chédin (A.). — Voir Roulleau (M.)	L-99

Chehikian (A.). — Voir Hérault (J.)	L-75	Guyon (E.). — Voir Fermigier (M.)	L-519
phire Schottky magnetodiode	L-235	of neural nets	L-75
De Pontcharra (J.). — Voir Cristoloveanu (S.)	L-235	Jenffer (P.). — Voir Fermigier (M.)	L-519
Fermigier (M.), Jenffer (P.), Charmet (J. C.) and Guyon (E.).		Mohaghegh (A.). — Voir Cristoloveanu (S.)	L-235
— A non-perturbative anemometric and flow visuali-		Pigache (D.). — Voir Fournier (G.)	L-173
zation technique	L-519	Poc (MM.), — Voir Roulleau (M.)	L-99
Fournier (G.), Bonnet (J.) and Pigache (D.). — Comparison		Roulleau (M.), Poc (MM.), Scott (N.) and Chédin (A.).	
of the macroscopic properties of field-accelerated		Response of METEOSAT water vapour channel	L-99
electrons in dry air and in pure oxygen	L-173	Scott (N.). — Voir Roulleau (M.)	L-99

REVUE DE PHYSIQUE APPLIQUÉE

Tome 15 — 1980

PHYSIQUE APPLIQUÉE

ARTICLES DE REVUE		Brousseau (M.). — Voir Voillot (F.)	717
D L(T. M) D		Bussière (P.). — Facteurs de Lamb-Mössbauer d'oxydes	1140
Brunetaud (J. M.), Decomps (B.) et Griesemann (J. C.).		d'étains finement divisés	1143
Les applications thérapeutiques des lasers	1417	Calas (G.). — Voir Levitz (P.)	1169
Decomps (B.). — Voir Brunetaud (J. M.)	1417	Calas (G.), Levitz (P.), Petiau (J.), Bondot (P.) et Lou- pias (G.). — Etude de l'ordre local autour du fer	
Fauchais (P.). — Utilisation industrielle actuelle et poten-		dans des verres silicatés naturels et synthétiques à	
tielle des plasmas : synthèses, traitement des poudres, traitements métallurgiques, traitements de surface	1281	l'aide de la spectrométrie d'absorption X	1161
Griesemann (J. C.). — Voir Brunetaud (J. M.)		Calas (G.). — Voir Raoux (D.)	1079
Priester (L.). — Approche géométrique des joints de	1417	Carcelle (J. E.), Cartujo (P.), Morante (J. R.), Barbolla	10/2
grain. Intérêt et limite	789	(J.), Brabant (J. C.) et Brousseau (M.). — Section	
gram. medici et minite	109	de capture des trous sur le niveau $E_v + 0.34$ eV de	
		Si : Pt	843
		Cartujo (P.). — Voir Carcelle (J. E.)	843
PHYSIQUE ET MÉCANIQUE		Castaing (J.), Spendel (M.), Philibert (J.), Dominguez	
DES MATÉRIAUX		Rodriguez (A.) and Marquez (R.). — Plastic defor-	
DES MITTERITOR		mation of CoO single crystals	277
		Chantre (A.). — Voir Bois (D.)	631
APPLICATIONS DE L'EFFET MÖSSBAUER		Chappert (J.) Effet Mössbauer et techniques complé-	
		mentaires. I. — La spectroscopie du muon positif	1063
Alcouffe (G.) Voir Legros de Mauduit (B.)	307	Chevrel (R.). — Voir Bonville (P.)	1139
Audebert (C.) Voir Kellershohn (C.)	1175	Clément (N.), Coujou (A.), Coulomb (P.) et Martin	
Baldy (M.). — Voir Guillot (G.)	679	(J. L.). — Déformation plastique d'alliages c.f.c. à	
Barbolla (J.). — Voir Carcelle (J. E.)	843	teneur moyenne ou élevée en soluté	831
Bardet (J. P.). — Voir Ormancey (G.)	927	Clerjaud (B.). — Voir Hennel (A. M.)	697
Barrau (J.). — Voir Mazzaschi (J.)	861	Coey (J. M. D.). — Voir Rodmacq (B.)	1179
Barrau (J.). — Voir Voillot (F.)	717	Coujou (A.). — Voir Clément (N.)	831
Bastick (M.). — Voir Dubois (J. M.)	1103	Coulomb (P.). — Voir Clément (N.)	831
Beltran-Porter (D.), Olazcuaga (R.), Fournes (L.),		Courbion (G.). — Voir Varret (F.)	1149
Menil (F.) et Le Flem (G.). — Etude magnétique		Coussement (R.). — Voir Van Rossum (M.)	311
et par résonance Mössbauer de l'orthophosphate	1155	Cox (R. T.). — Détection optique de la résonance magné-	652
Na ₃ Fe ₂ (PO ₄) ₃ α et d'une phase vitreuse dérivée	1155 1133	tique de centres profonds dans les semiconducteurs	653 311
Bernier (J. C.). — Voir Laville (H.)	1133	De Bruyn (J.). — Voir Van Rossum (M.)	511
Bletry (J.). — Deuxième partie. — Structure des métaux	1019	fonction de Green aux défauts dans les semiconduc-	
et alliages amorphes	1017	teurs	661
optique des niveaux profonds : application à l'étude		Delobelle (P.), Mermet (A.) et Oytana (C.). — Etude	001
de leur relaxation de réseau	631	rhéologique de l'influence de l'ordre et de la trans-	
Boissy (M. C.). — Voir Mazzaschi (J.)	861	formation ordre-désordre sur le fluage à haute tempé-	
Bondot (P.). — Voir Calas (G.)	1161	rature des solutions solides de surstructure du type B ₂	
Bondot (P.). — Voir Raoux (D.)	1079	(Cu-Zn, Fe-Co, Ag-Mg, Fe ₃ -Al et Ni-Al)	1323
Bonnin (D.). — Voir Levitz (P.)	1169	De Potter (M.). — Voir Van Rossum (M.)	311
Bontemps (A.). — Voir Magnea (N.)	701	Deveaud (B.), Hennel (A. M.), Szuszkiewicz (W.), Picoli	
Bonville (P.), Hodges (J. A.), Imbert (P.), Jehanno (G.),		(G.) and Martinez (G.). — YAG photoluminescence	
Chevrel (R.) and Sergent (M.). — Low temperature		of GaAs: Cr	671
Mössbauer study and magnetic susceptibility measu-		Dominguez Rodriguez (A.). — Voir Castaing (J.)	277
rements on YbMo ₆ S ₈ and TmMo ₆ S ₈	1139	Dormann (J. L.). — Etude par spectrométrie Mössbauer	
Bouley (J. C.). — Voir Voillot (F.)	717	de ferrites de lithium substitués. Influence des champs	
Bourguet (P.) et Dupart (J. M.). — Implantation d'azotes		hyperfins supertransférés et de la relaxation	1113
à fortes doses dans le silicium monocristallin : doses		Dubois (J. M.), Bastick (M.), Le Caer (G.) et Tete (C.).—	
et conditions de recuit pour l'obtention en profondeur		Etude par spectrométrie Mössbauer d'alliages Fe-Si-B	1103
d'une couche homogène isolante	647	amorphes Dubois (J. M.). — Voir Le Caer (G.)	1103
Brabant (J. C.). — Voir Carcelle (J. E.)	843		
Brabant (J. C.). — Voir Mazzaschi (J.)	861	Dupart (J. M.). — Voir Bourguet (P.)	647
Brabant (J. C.). — Voir Voillot (F.)	717	magnétiques moyennes des métaux et alliages amor-	
Brousseau (M.). — Voir Carcelle (J. E.)	843	nhes	1036

Farmer (B. N.) Voir Toulouse (B.)	869	Le Caer (G.) et Dubois (J. M.) Sixième partie	
Favennec (P. N.). — Voir Toulouse (B.)	009	Etude par spectrométrie Mössbauer des alliages métal-	
Ferey (G.). — Cinquième partie. — Propriétés magné-		Etude par spectrometric wossbauer des amages metar	1049
tiques des amorphes ioniques	1043	liques amorphes et des semiconducteurs amorphes	
Flanck (A. M.), Harmelin (M.), Jaulin (M.) et Naudon		Le Caer (G.). — Voir Dubois (J. M.)	1103
(A.). — Différences observées dans l'alliage métallique		Le Flem (G.). — Voir Beltran-Porter (D.)	1155
amorphe Cu-Zr selon son mode d'élaboration	1427	Legrand (A. P.). — Voir Levitz (P.)	1169
Fontaine (A.). — Voir Raoux (D.)	1079	Legros de Mauduit (B.), Alcouffe (G.) et Reynaud (F.). —	
Fortier (D.). — Voir Kellershohn (C.)	1175	Irradiation de l'antimoine dans un microscope électro-	
Fournes (L.). — Voir Beltran-Porter (D.)	1155	nique à haute tension et observation de boucles de	
Friedt (J. M.). — Voir Laville (H.)	1133	défauts ponctuels	307
Froment (M.). — Mécanisme de croissance et formation	1133		1161
		Levitz (P.). — Voir Calas (G.)	1101
des défauts dans les couches minces en microscopie et	271	Levitz (P.), Calas (G.), Bonnin (D.) et Legrand (A. P.).	
diffraction électroniques	271	Etude par spectroscopie Mössbauer du fer (III) dans	
Georges-Gibert (H.), Janot (Chr.) et Nalovic (Lj.). —		des verres silicatés multicomposants d'intérêt géologi-	
Caractérisation d'oxydes ferriques mixtes du type		que	1169
$(Fe_{1-x}M_x)_2O_3$, yH_2O	1123	Levitz (P.). — Voir Raoux (D.)	1079
Gerl (M.). — Voir Kauffer (E.)	849	Loupias (G.). — Voir Calas (G.) :	1161
Godefroy (G.). — Voir Ormancey (G.)	927	Loupias (G.). — Voir Raoux (D.)	1079
Goltzene (A.), Poiblaud (G.) and Schwab (C.). — Thermal		Maaref (H.). — Voir Mazzaschi (J.)	861
treatment effects on Cr centers in GaAs: Cr	675	Magnea (N.), Pautrat (J. L.), Saminadayar (K.), Pajot (B.),	
Granger (R.). — Voir Kulvitit (Y.)	1501	Martin (P.) and Bontemps (A.). — Impurity identification	
Guillot (G.), Nouailhat (A.), Vincent (G.) et Baldy (M.). —		and characterization by electrical optical and nuclear	
Caractérisation des défauts produits dans GaAs irradié		methods. The ZnTe: Au case	701
aux protons par analyse des transitoires thermiques et		Mai (C.). — Voir Tatibouet (J.)	835
optiques de capacité	679	Mandi (N.). — Voir Voillot (F.)	717
Hafid (L.) Voir Tellier (C. R.)	1573	Mangin (P.). — Troisième partie. — Propriétés électriques	/1/
Harmelin (M.). — Voir Flank (A. M.)	1427		1032
Hassanian (N). — Voir Laville (H.)	1133	des matériaux amorphes métalliques	277
Heitz (R. J.) et Szwarc (H.). — Thermocourants et dépo-		Martin (J. L.). — Comportement collectif des dislo-	211
larisation et distribution de temps de relaxation diélec-		*	052
trique	687	cations	853
Hennel (A. M.). — Voir Deveaud (B.)	671	Martin (J. L.). — Voir Clément (N.)	831
Hennel (A. M.), Szuszkiewicz (W.), Martinez (G.) and Cler-		Martin (P.). — Voir Magnea (N.)	701
jaud (B.). — Photoionization transition $Cr^{3+} \rightarrow Cr^{2+}$		Martinez (G.). — Voir Deveaud (B.)	671
in GaAs: Cr	697	Martinez (G.). — Voir Hennel (A. M.)	697
Henry (M.), Teillet (J.) et Varret (F.) Effets d'épais-		Mazzaschi (J.), Barrau (J.), Brabant (J. C.), Brousseau	
seur et de polarisation dans les spectres d'absorption		(M.), Maaref (H.), Voillot (F.) and Boissy (M. C.).	
Mössbauer; essai d'une formule simple	1095	Effect of compensation on recombination into Si	
Henry (M.). — Voir Varret (F.)	1057	doped (Ga, Al) As	
Hinov (H. P.) and Sainov (S.). — Total internal reflection		Mazzaschi (J.). — Voir Voillot (F.)	
from nematic liquid crystals	1307	Menil (F.). — Voir Beltran-Porter (D.)	1155
Hodges (J. A.). — Voir Bonville (P.)	1139	Mermet (A.). — Voir Delobelle (P.)	1323
Howie (A.). — Radiation damage problems in electron		Morante (J. R.). — Voir Carcelle (J. E.)	843
microscopy	291	Muller (J. C.), Scharager (C.), Toulemonde (M.) and Sif-	
Hubert (C.). — Voir Kellershohn (C.)	1175	fert (P.). — Recrystallization of silicon by pulsed	
Imbert (P.). — Voir Bonville (P.)	1139	lasers	865
	1579	Nalovic (Lj.). — Voir Georges-Gibert (H.)	1123
Jabra (R.). — Voir Phalippou (J.)	1377	Naudon (A.). — Voir Flank (A. M.)	1427
Janot (Chr.). — Les matériaux amorphes : que peut appor-		Nouailhat (A.). — Voir Guillot (G.)	679
ter la spectrométrie Mössbauer. Première partie. —	1012	Olazcuaga (R.). — Voir Beltran-Porter (D.)	1155
Généralités	1013	Ormancey (G.), Bardet (J. P.) et Godefroy (G.). — Simu-	
Janot (Chr.). — Effet Mössbauer et techniques complé-	1073	lation numérique des courants et des distributions de	
mentaires. II. — L'annihilation de positons	1073	porteurs dans les diélectriques contenant des impu-	
Janot (Chr.). — Voir Georges-Gibert (H.)	1123	retés	927
Jaulin (M.). — Voir Flank (A. M.)	1427	Oytana (C.). — Voir Delobelle (P.)	1323
Jehanno (G.). — Voir Bonville (P.)	1139	Pajot (B.). — Voir Magnea (N.)	701
Kauffer (E.), Pecheur (P.) and Gerl (M.). — Electronic		Pautrat (J. L.). — Voir Magnea (N.)	701
structure of complex defects in silicon: divacancy and	0.40	Pecheur (P.). — Voir Kauffer (E.)	849
split 100 interstitial	849	Pelletier (C. M.). — Voir Kulvitit (Y.)	1501
Kellershohn (C.), Audebert (C.), Fortier (D.), Rimbert		Perez (J.). — Voir Tatibouet (J.)	835
(J. N.) and Hubert (C.). — A Mössbauer spectrometry		Petiau (J.). — Voir Calas (G.)	1161
study of iron in hepatic and splenic tissues. Preli-		Petiau (J.). — Voir Raoux (D.)	
minary results	1175	Pfister (J. C.). — Stoichiometry and doping in large gap	1079
Kubin (L. P.). — Observation de la dynamique des dis-		storemomeny and doping in large gap	
locations. Comparaison de différentes méthodes		compound semiconductors	
Kulvitit (Y.), Rolland (S.), Granger (R.) et Pelletier (C. M.)	285	compound semiconductors	707
		Phalippou (J.), Jabra (R.) et Zarzycki (J.). — Frotte-	707
— Relation entre composition paramètre de maille et		Phalippou (J.), Jabra (R.) et Zarzycki (J.). — Frottement interne des verres de borates et de borosilicates	
Relation entre composition paramètre de maille et bande interdite des composés Pb _{1-x} Cd _x Te		Phalippou (J.), Jabra (R.) et Zarzycki (J.). — Frottement interne des verres de borates et de borosilicates alcalins	0000
bande interdite des composés Pb _{1-x} Cd _x Te	285	Phalippou (J.), Jabra (R.) et Zarzycki (J.). — Frottement interne des verres de borates et de borosilicates alcalins Philibert (J.). — Voir Castaing (J.)	
bande interdite des composés Pb _{1-x} Cd _x Te	285 0000 1079	Phalippou (J.), Jabra (R.) et Zarzycki (J.). — Frottement interne des verres de borates et de borosilicates alcalins Philibert (J.). — Voir Castaing (J.) Pichard (C. R.), Tellier (C. R.), Tosser (A. J.) and Vau-	0000
bande interdite des composés Pb _{1-x} Cd _x Te	285	Phalippou (J.), Jabra (R.) et Zarzycki (J.). — Frottement interne des verres de borates et de borosilicates alcalins Philibert (J.). — Voir Castaing (J.) Pichard (C. R.), Tellier (C. R.), Tosser (A. J.) and Vautier (C.). — Thickness variations in extraordinary and	0000 277
bande interdite des composés Pb _{1-x} Cd _x Te	285 0000 1079	Phalippou (J.), Jabra (R.) et Zarzycki (J.). — Frottement interne des verres de borates et de borosilicates alcalins Philibert (J.). — Voir Castaing (J.) Pichard (C. R.), Tellier (C. R.), Tosser (A. J.) and Vautier (C.). — Thickness variations in extraordinary and spontaneous Hall coefficients of iron films	0000 277 1303
bande interdite des composés Pb _{1-x} Cd _x Te	285 0000 1079	Phalippou (J.), Jabra (R.) et Zarzycki (J.). — Frottement interne des verres de borates et de borosilicates alcalins Philibert (J.). — Voir Castaing (J.) Pichard (C. R.), Tellier (C. R.), Tosser (A. J.) and Vautier (C.). — Thickness variations in extraordinary and	0000 277 1303 671

Poiblaud (G.). — Voir Goltzene (A.)	675	du photocourant primaire dans les photodiodes à ava-	
Raoux (D.), Petiau (J.), Bondot (P.), Calas (G.), Fon-	075	lanche $N^+P\pi P^+$ au silicium	1201
taine (A.), Lagarde (P.), Levitz (P.), Loupias (G.) et		Allgaier (R. S.). — Voir Kyriakos (D. S.)	733
Sadoc (A.). — Effet Mössbauer et techniques complé-		Bacri (JC.) and Dumas (J.). — Light beam positional	
mentaires. III. — L'EXAFS appliqué aux détermi-		modulation by gel rod dilatational mode	875
nations structurales de milieux désordonnés	1079	Barrau (J.). — Voir Mazzaschi (J.)	9
Reynaud (F.). — Etude des phénomènes prémonitoires des		Bastide (G.), Sagnes (G.) and Merlet (C.). — Uniaxial	
transitions de phases dans les alliages, par microscopie	205	stress dependence of the « EL2 » and « EL3 » deep	
et diffraction électroniques	297	levels in bulk GaAs	1517
Rimbert (J. N.). — Voir Kellershohn (C.)	307 1175	Batailler (G.), Garcia (P.) et Bernard (J.). — Comportement des diodes vertes au GaP en régime multiplexé.	
Rioux (C.). — Aspects préliminaires de la théorie des	1175	Influence de la température	1339
machines électriques comportant des matériaux ferro-		Bernard (J.). — Voir Batailler (G.)	1339
magnétiques	1505	Berty (J.). — Voir Buxo (J.)	961
Rodmacq (B.), Pineri (M.) and Coey (J. M. D.). — Möss-		Bielle-Daspet (D.), Espioussas (F.), Johan (A.) and	
bauer investigations of Nafion membranes	1179	Roux (M.). — High injection effects on conductivity	
Rolland (S.). — Voir Kulvitit (Y.)	1501	and carrier lifetime in P-type silicon material	945
Sadoc (A.). — Voir Raoux (D.) Sainov (S.). — Voir Hinov (H. P.)	1079	Blasquez (G.) et Roux-Nogatchewsky (M.). — Effets d'un	
Saminadayar (K.). — Voir Magnea (N.)	1307 701	rayonnement ionisant sur les mécanismes de conduc- tion et de bruit de fond basse fréquence des tran-	
Scharager (C.). — Voir Muller (J. C.)	865	sistors bipolaires	1599
Schwab (C.). — Voir Goltzene (A.)	675	Bourgoin (J. C.) Voir Poulin (F.)	15
Sergent (M.). — Voir Bonville (P.)	1139	Brabant (JC.). — Rôle des centres profonds dans la	
Siffert (P.). — Voir Muller (J. C.)	865	dégradation lente des dispositifs électroluminescents	1
Spendel (M.). — Voir Castaing (J.)	277	Brabant (J. C.). — Voir Mazzaschi (J.)	9
Szuszkiewicz (W.). — Voir Deveaud (B.)	671	Brieu (M.). — Voir Buxo (J.)	961
Szuszkiewicz (W.). — Voir Hennel (A. M.) Szwarc (H.). — Voir Heitz (R. J.)	697 687	Brousseau (M.). — Voir Mazzaschi (J.)	9
Tatibouet (J.), Mai (C.), Perez (J.) et Vassoille (R.).	007	Buxo (J.), Saleh (M.), Sarrabayrouse (G.), Dorville (G.),	
Atténuation des ondes ultrasonores par les dislocations		Berty (J.) and Brieu (M.). — Structural study of bismuth films and its consequences on their electrical	
dans la glace I _h . Application à l'étude de la plasti-		properties	961
cité	835	Buxo (J.). — Voir Sarrabayrouse (G.)	941
Teillet (J.). — Voir Henry (M.)	1095	Caquot (E.), Guégan (G.), Gamboa (M.), Tranduc (H.) et	
Tellier (C. R.), Hafid (L.) and Tosser (A. J.). — Iden-		Rossel (P.). — Phénomène de « quasi-saturation »	
tification of imperfections contribution to electronic	1.550	dans les transistors M.O.S.	1445
conductivity in monocrystalline metal film	1573	Chovet (A.). — Voir Cristoloveanu (S.)	725
Tetler (C. R.). — Voir Pichard (C. R.)		Cristoloveanu (S.), Lee (J. H.) et Chovet (A.). — Effets	
Tosser (A. J.). — Voir Pichard (C. R.)	1303	galvanomagnétiques dans les semiconducteurs aniso- tropes inhomogènes. Application à la caractérisation	
Tosser (A. J.). — Voir Tellier (C. R.)	1573	des films de silicium sur saphir	725
Toulemonde (M.). — Voir Muller (J. C.)	865	Dorville (G.). — Voir Buxo (J.)	961
Toulouse (B.) et Favennec (P. N.). — Niveaux profonds		Dumas (J.). — Voir Bacri (JC.)	875
dans le GaAs implanté bore	869	Duthoit (B.). — Voir Thery (P.)	741
Vanderschaeve (G.). — Observation et structure des parois		Economou (N. A.). — Voir Kyriakos (D. S.)	733
d'antiphase périodiques dans certains alliages or-	711	Espioussas (F.). — Voir Bielle-Daspet (D.)	945
Van Rossum (M.), Langouche (G.), De Bruyn (J.), De	/11	Farvacque (J. L.) et Ferre (D.). — Niveaux profonds associés aux dislocations « 60° » dans les semiconduc-	
Potter (M.) and Coussement (R.). — The study of		teurs de structure sphalérite	33
defects in type-IV semiconductors by Mössbauer spec-		Félix (MC.), Fornazero (J.), Mackovski (J. M.) et Onga-	
troscopy	311	ro (R.). — Etude de la conduction électrique dans le	
Varret (F.) et Courbion (G.). — Contribution Mössbauer à		semiconducteur chalcogénure As ₃₅ Te ₂₈ Ge ₁₆ S ₂₁ en liai-	
la recherche de l'ordre cationique dans les pyrochlores	1140	son avec la constitution de charges d'espace	37
CsNiFeF ₆ , CsLi _{0,5} Fe _{1,5} F ₆ et CsLi _{0,5} (Al, Fe) _{1,5} F ₆	1149	Ferré (D.). — Voir Farvacque (J. L.)	33
Varret (F.) et Henry (M.). — Septième partie. — Amorphes ioniques : caractères spécifiques d'une étude		Fornazero (J.). — Voir Félix (MC.)	37 1445
Mössbauer (isotope ⁵⁷ Fe)	1057	Gamboa (M.). — Voir Caquot (E.)	941
Varret (F.). — Voir Henry (M.)	1095	Gamboa (M.), Sarrabayrouse (G.), Tranduc (H.) et Ros-	, , ,
Vassoille (R.). — Voir Tatibouet (J.)	835	sel (P.). — Influence de la température sur la vitesse	
Vautier (C.). — Voir Pichard (C. R.)	1303	limite des porteurs dans un transistor MOS à canal	
Vincent (G.). — Voir Guillot (G.)	679	court	973
Voillot (F.), Brabant (J. C.), Barrau (J.), Brousseau (M.),		Garcia (P.). — Voir Batailler (G.)	1339
Mandi (N.), Mazzaschi (J.) et Bouley (J. C.). — Electroluminescence à 1 eV des diodes laser D.H.		Gervais (J.). — Voir Oualid (J.)	25
GaAS/(GaAl) As	717	Goltzene (A.), Muller (J. C.), Schwab (C.) and Siffert (P.) — Electron spin and cyclotron resonance of laser	
Voillot (F.). — Voir Mazzaschi (J.)	861	annealed silicon	21
Zarzycki (J.). — Voir Phalippou (J.)	1579	Guégan (G.). — Voir Caquot (E.)	1445
		Hausen (A.). — Voir Voss (G.)	323
PHYSIQUE DES DISPOSITIFS ELECT	TRO-	Jerisian (R.). — Voir Oualid (J.)	25
NIQUES		Johan (A.). — Voir Bielle-Daspet (D.)	945
		Kyriakos (D. S.), Economou (N. A.) and Allgaier (R. S.).	
Alabedra (R.), Maille (C.), Ratsira (D.) et Lecoy (G.)		— Weak field galvanomagnetic measurements to dis-	722
Utilisation des mesures de bruit pour la détermination		tinguish cubic from non-cubic environments	733

Lauer (A.). — Voir Oualid (J.)	25	Flaud (P.) et Quemada (D.). — Rôle des effets non	
Lecoy (G.). — Voir Alabedra (R.)	1201	newtoniens dans l'écoulement pulsé d'un fluide dans	= 40
Lecoy (G.). — Voir Rigaud (D.)	937	un tuyau viscoélastique	749
Lee (J. H.). — Voir Cristoloveanu (S.)	. 725	L'Huillier (J. P.). — Voir Vera (J. C.)	1347
Lopez (J. C.). — Voir Rigaud (D.)	937	Mills (P.). — Voir Dufaux (J.)	1367
Mackovski (J. M.). — Voir Félix (MC.)	37	Mills (P.), Quemada (D.) et Dufaux (J.). — Etude de la	
Maille (C.), Voir Alabedra (R.)	1201	cinétique d'agrégation érythrocytaire dans un écoule-	1357
Martinuzzi (S.). — Voir Oualid (J.)	25	ment de Couette	1367
Mazzaschi (J.), Barrau (J.), Brabant (JC.), Brous-		Quemada (D.). — Voir Dufaux (J.)	749
seau (M.) et Voillot (F.). — Cathodoluminescence de		Quemada (D.). — Voir Flaud (P.)	1357
défauts dans le diamant naturel	9	Vera (J. C.) et L'Huillier (J. P.). — Etude des écoule-	1337
Merckel (G.). — Une méthode simple de détermination		ments permanents en conduite cylindrique, d'une sus-	
de la vitesse limite des porteurs, dans les transistors	070	pension, à partir des données dés spectres Doppler	
MOS	879	obtenus en débitmétrie ultrasonore	1347
Merlet (C.). — Voir Bastide (G.)	1517	Weill (A.). — Un nouvel oscillateur de relaxation	1183
Muller (J. C.). — Voir Goltzene (A.)	21	Weni (A.). — On houver oscinatedi de retakation	1100
Oualid (J.), Gervais (J.), Jerisian (R.), Lauer (A.) et		DANISIONE DE LA PRODUCTION	
Martinuzzi (S.). — Caractérisation des niveaux pièges dans les jonctions graduelles P ⁺ N Si très dopées Au ou		PHYSIQUE DE LA PRODUCTION	
Pt	25	ET DE L'UTILISATION	
Ongaro (R.). — Voir Félix (MC.)	37	DE L'ÉNERGIE	
Pauquet (J.). — Voir Thery (P.)	741	Abbet (A) Chart term thermal energy storage	477
Poulin (F.) and Bourgoin (J. C.). — Threshold energy	,	Abhat (A.). — Short term thermal energy storage	4//
for atomic displacement in electron irradiated germa-		d'un champ d'héliostats d'un centrale solaire à tour.	383
nium	15	Amouroux (J.). — Voir Morvan (D.)	1229
Ratsira (D.). — Alabedra (R.)	1201	Amouroux (J.), Morvan (D.), Sauvestre (C.), Revel (G.),	1227
Rigaud (D.), Touboul (A.), Sodini (D.), Lopez (J. C.) and		Fedoroff (M.) et Rouchaud (J. C.). — Optimisation des	
Lecoy (G.). — Influence of the bulk electrode on the		conditions d'élaboration du silicium photovoltaïque	
characteristics and the channel noise of SOS-MOS		par fusion de zone sous plasma	1239
transistors	937	Aparissi (P. P.), Malevsky (I. A.), Tarnijevsky (B. V.),	
Rossel (P.). — Voir Caquot (E.)	1445	Goucev (V. K.) et Karpenko (A. M.). — Perspectives	
Rossel (P.). — Voir Gamboa (M.)	973	du développement de l'énergie solaire en U.R.S.S. :	
Rossel (P.). — Voir Sarrabayrouse (G.)	941	conversion thermodynamique en électricité	357
Roux (M.). — Voir Bielle-Daspet (D.)	945	Aparissi (R. R.). — Voir Malikoff (A. M.)	377
Roux-Nogatchewsky (M.). — Voir Blasquez (G.)	1599	Arconada (A.) et Papini (F.). — Bilan thermique des	
Sagnes (G.). — Voir Bastide (G.)	1517	convertisseurs de l'énergie solaire : rôle de la	
Saleh (M.). — Voir Buxo (J.)	961	sélectivité et de la concentration	163
Sarrabayrouse (G.). — Voir Buxo (J.)	961	Arnaud (G.). — Voir Vachon (M.)	427
Sarrabayrouse (G.). — Voir Gamboa (M.)	973	Avellaner (J. A.). — Optical characterization of the	
Sarrabayrouse (G.), Gamboa (M.), Buxo (J.) and Rossel (P.). — On the influence of ionizing radiation		facets of a heliostat	169
on the electrical properties of short-channel MOS		Ayoub (J. A.). — Voir Salagnac (J. L.)	213
transistors	941	Barlaud (M.), Sow (G.) et Masselot (Ch.). — Alimentation	
Schwab (C.). — Voir Goltzene (A.)	21	d'une pompe immergée à partir d'un générateur photo-	262
Siffert (P.). — Voir Goltzene (A.)	21	voltaïque à l'aide d'un onduleur triphasé à transistor.	263
Sodini (D.). — Voir Rigaud (D.)	937	Bartlett (D.). — Voir Gintz (J.)	363
Tarricone (L.). — Influence of the interfacial layer on		Bastos (J. P.), Goyet (R.) et Lucidarme (J.). — Performances intrinsèques des machines à réluctores variable	
the properties of the Au/ZnSe Schottky barrier	1617	mances intrinsèques des machines à réluctance variable à disques imbriqués	45
Thery (P.), Duthoit (B.) et Pauquet (J.) Propriétés		Bastos (J. P.), Jablon (C.), Quichaud (G.) et Rioux-	43
thermoélectriques des systèmes à deux couches minces		Damidau (F.). — Modélisation magnétique et numé-	
superposées. Application à la mesure des flux ther-		rique par éléments finis de feuilletages ferromagné-	
miques	741	tiques	1625
Touboul (A.). — Voir Rigaud (D.)	937	Baticle (A. M.). — Voir Sculfort (J. L.)	1209
Tranduc (H.). — Voir Caquot (E.)	1445	Behaghel (J. M.). — Voir Lafait (J.)	403
Tranduc (H.). — Voir Gamboa (M.)	973	Bénard (C.). — Voir Guerrier (B.)	93
Voillot (F.). — Voir Mazzaschi (J.)	9	Berger (X.). — Voir Henry (J. J.)	569
Voss (G.) and Hausen (A.). — Comparison of multiple		Bernard (C.). — Voir Ducarroir (M.)	513
flux quantum transition with the corresponding <i>I-U</i> -	222	Berthelot (P.). — Voir Lede (J.)	545
characteristic using Nb-point contacts	323	Berthier (S.). — Voir Lafait (J.)	403
spectra as an explanation for 1/f noise	1/25	Bielle-Daspet (D. M.), Johan (A. M.) and Espioussas (F.).	
Walma (A. A.). — Classical noise and nonlinear effects	1435	— Carrier lifetime measurements from transient	
in the ideal avalanche diode	1585	electrical photoresponses	219
		Blay (D.). — Voir Haziza (C.)	139
,		Bleijs (C. A.). — Voir Goyet (R.)	1451
		Boileau (E.). — Voir Guerrier (B.)	93
PHYSIQUE DES FLUIDES ET MÉCANIQUE	7	Bois (Ph.). — Voir Mejon (M. J.)	113
		Bougnot (J.). — Voir Perotin (M.)	585
		Pourse (A)	
Dufaux (J.). — Voir Mills (P.)	1357	Bourrasse (A.). — Voir Horowitz (G.)	463
Dufaux (J.). — Voir Mills (P.)	1357	Bourrasse (A.). — Voir Horowitz (G.) Bourdeau (C.). — Voir Achaibou (A.)	
Dufaux (J.), Quemada (D.) and Mills (P.). — Determi-	1357	Bourrasse (A.). — Voir Horowitz (G.) Bourdeau (C.). — Voir Achaibou (A.) Bourdeau (L.), Jaffrin (A.) et Moisan (A.). — Captage	463
	1357	Bourrasse (A.). — Voir Horowitz (G.) Bourdeau (C.). — Voir Achaibou (A.)	463

Bourée (J. E.) et Therez (F.). — Cellules solaires au		Gucher (P.). — Voir Roger (J. A.)	
GaAlAs/GaAs à faible et fort niveaux de courant.		Cuerries (D) Poiles (E) A.	603
Optimisation détaillée du rendement de conversion	215	Guerrier (B.), Boileau (E.) et Bénard (C.). — Analyse	
Proup (C. W.) and Eddle (C. R. R.)	245	statistique temporelle de l'irradiation solaire globale	
Braun (G. W.) and Edelstein (R. B.). — Review of the		quotidienne : modélisation d'une variable réduite à	
U.S. department of energy's solar thermal program.	1219	l'aide de modèles stochastiques A.R.M.A	93
Bresse (J. F.), Lumbreras-Ginter (M.), Rossi (A.) et		Guilleminot (J. J.), Meunier (F.) et Mischler (B.). —	
Cadène (M.). — Caractérisation par microsonde élec-			
tronique de courbes minces de Cd _{1-x} Zn _x S pour cellules		Etude de cycles intermittents à adsorption solide pour	
coloires		la réfrigération solaire	44]
solaires	257	Hadni (A.). — Voir Gerbaux (X.)	573
Bruyère (J. C.). — Voir Deneuville (A.)	233	Hamdi (H.). — Voir Deneuville (A.)	233
Cadène (M.). — Voir Bresse (J. F.)	257	Haziza (C.) and Blay (D.). — Analytical and experimental	
Chomarat (A.). — Voir Nizou (PY.)	143	determination of radiation and temperature distribu-	
Cowache (P.). — Voir Vedel (J.)	1521	tions inside solar receivers	120
Dachraoui (M.). — Voir Vedel (J.)			139
December (M.). — Von Veuer (J.)	1521	Henry (J. J.) et Berger (X.). — La maison solaire de	
Daguenet (M.). — Voir Genneviève (F.)	985	Grimaud	569
Daguenet (M.). — Voir Olalde (G.)	423	Horowitz (G.) et Bourrasse (A.). — Cellules photoélectro-	
Dalbert (AM.), Peube (JL.), Penot (F.) et Robert (J		chimiques à électrodes semiconductrices pour la con-	
F.). — Etude de l'écoulement dans un collecteur		version et le stockage de l'énergie solaire	463
plan	201	Jablon (C.). — Voir Bastos (J. P.)	1625
De Backer (M.), Richoux (M. C.), Leclercq (F.) et Le-	201	Jaffrin (A.). — Voir Bourdeau (L.)	559
poutre (G.). — Production photoélectrochimique d'hy-		Januari (A.). — von Bourdeau (L.)	
drogène à l'aide de colorante en lumière visible	530	Jeanniard (C.). — Voir Gerbaux (X.)	573
drogène à l'aide de colorants en lumière visible	529	Johan (A. M.). — Voir Bielle-Daspet (D. M.)	219
Deglise (X.). — Voir Lede (J.)	545	Kahil (H.). — Voir Deneuville (A.)	233
Deneuville (A.), Bruyère (J. C.), Mini (A.), Hamdi (H.)		Karouby (N.) et Larini (M.). — Etude de l'écoulement	
et Kahil (H.). — Cellules solaires : quelques aspects des		d'une suspension de fines particules en cours de cris-	
structures « Schottky » à base de silicium amorphe		tallisation	433
hydrogéné	233	Karpenko (A. M.). — Voir Aparissi (P. P.)	357
Desaulty (M.). — Etude d'un échangeur à contre-courant			
gaz-gouttes de chlorure de sodium en cours de cris-		Koudrachova (M.). — Voir Gouhman (G.)	393
		Koutchmy (S.). — Voir Falipou (M. A.)	151
tallisation	189	Lafait (J.), Behaghel (J. M.) et Berthier (S.). — Le	
Drevillon (B.) et Vanderhaghen (R.). — Comparaison des		chrome noir et la sélectivité aux moyennes tempé-	
performances des capteurs héliothermiques plans	131	ratures (100-250 °C)	403
Ducarroir (M.), Tmar (M.) et Bernard (C.). — Possibilités		Lahaye (J.). — Voir Dutault (F.)	579
de stockage de l'énergie solaire à partir de sulfates.	513	Larini (M.). — Voir Karouby (N.)	433
Dutault (F.) et Lahaye (J.). — Relation entre les pro-	0.10		452
· · · · · · · · · · · · · · · · · · ·		Laurent (B.). — Pompe à absorption à hydrures et cycle	
priétés chimique, cristallographique, et électronique		à vapeur	417
de films de sulfure de cadmium préparés par pulvé-		Leclercq (F.). — Voir De Backer (M.)	529
risation réactive	579	Lede (J.), Berthelot (P.), Villermaux (J.), Rolin (A.), Fran-	
Edelstein (R. B.). — Voir Braun (G. W.)	1219	cois (H.) et Deglise (X.). — Pyrolyse-flash de déchets	
Espioussas (F.). — Voir Bielle-Daspet (D. M.)	219	ligno-cellulosiques en vue de leur valorisation par	
Eydinova (F.). — Voir Gouhman (G.)	393	l'énergie solaire concentrée	545
		Lede (J.), Verzaro (F.) et Villermaux (J.). — Le cyclone :	545
Falipou (M. A.) et Koutchmy (S.). — Centre solaire et			
sécurité pour les navigations aériennes : photométrie		un nouveau réacteur chimique solaire gaz-solide.	
photographique de miroirs d'héliostats éblouissants	151	Application à la mise en œuvre en continu de la	
Fedoroff (M.). — Voir Amouroux (J.)	1239	pyrolyse flash de sciure de bois	535
Flamant (G.). — Thermochimie solaire à hautes tempéra-		Lepoutre (G.). — Voir De Backer (M.)	529
tures. Résultats expérimentaux. Quelques perspec-		Lestienne (R.). — Voir Mejon (M. J.)	113
tives d'application	503	Louat (R.). — Voir Schwartz (L. M.)	103
**	505	Lucidarme (J.). — Voir Bastos (J. P.)	45
Flechon (J.) et Machizaud (F.). — Réfrigération solaire par	000		
simulation en absorption sèche	909	Lumbreras-Ginter (M.). — Voir Bresse (J. F.)	257
Fogarassy (E.). — Voir Salles (D.)	889	Ly (K.), Quichaud (G.), Rioux (C.) et Sultanem (F.).	
François (H.). — Voir Lede (J.)	545	Simulation numérique globale de la décharge impul-	
Genneviève (F.), Olalde (G.) et Daguenet (M.)		sionnelle d'une génératrice asynchrone sans fer	1375
Chauffage solaire des gaz	985	Machizaud (F.). — Voir Flechon (J.)	909
Gerbaux (X.), Pianelli (A.), Hadni (A.), Jeanniard (C.)	, , ,	Malevsky (I. A.). — Voir Aparissi (P. P.)	357
		Malikoff (A. M.) et Aparissi (R. R.). — Commande auto-	
and Strimer (P.). — Epitaxial growth of CdTe orient-		matique du système d'orientation des héliostats d'une	
ed thin films, infrared characterization and possible			277
applications to photovoltaic cells	573	centrale solaire à tour	377
Gintz (J.), Bartlett (D.) and Zentner (R.) 1 MWt		Manasse (F. K.). — Comparison of costs for solar electric	
bench model solar receiver test program	363	sources with diesel generators in remote locations	369
	000	Marjan (M.). — Voir Perotin (M.)	585
Goma (J.), Oberlin (M.) et Oberlin (A.). — Etude d'une		Martinet (J.) Voir Saulnier (J. B.)	175
interface carbone-silicium dans un ruban de silicium	220	Marucchi (J.). — Voir Perotin (M.)	585
polycrystallin	229	Masselot (Ch.). — Voir Barlaud (M.)	263
Goucev (V. K.). — Voir Aparissi (P. P.)	357	Mejon (M. J.), Bois (Ph.) et Lestienne (R.). — Simulation	
Gouhman (G.), Koudrachova (M.), Milevskaya (N.) et		de l'énergie solaire directe au pas de temps de la	
Eydinova (F.). — Surfaces sélectives : propriétés			112
optiques et estimation de l'efficacité énergétique dans		minute. L'exemple de Saint-Chamas (Marseille)	113
Designed of the street of the	303	Menguy (G.). — Voir Schwartz (L. M.)	103
l'application aux récepteurs solaires	393	Meunier (F.). — Voir Guilleminot (J. J.)	441
Goyet (R.). — Voir Bastos (J. P.)	45	Milevskaya (N.). — Voir Gouhman (G.)	393
Goyet (R.), Bleijs (C. A.) et Rioux (C.). — Expérimen-		Mini (A.). — Voir Deneuville (A.)	233
tation d'un prototype d'essai de machine à réluctance		Mischler (B.). — Voir Guilleminot (J. J.)	441
variable à disques imbriques	1451	Moisan (A.). — Voir Bourdeau (L.)	559

Morvan (D.). — Voir Amouroux (J.)	1239	Rouchaud (J. C.). — Voir Amouroux (J.)	1239
Morvan (D.), Amouroux (J.) et Revel (G.). — Mise au		Salagnac (J. L.) et Ayoub (J. A.). — Dimensionnement et	
point d'une technique de fusion de zone sous plasma		performances d'un stockage d'énergie thermique	
appliquée à la préparation du silicium photovoltaïque.	1229	fluide/solides	213
Muller (J. C.) et Siffert (P.). — Emploi de lasers dans		Salles (D.), Fogarassy (E.), Stuck (R.) et Siffert (P.).	
la technologie des photopiles	611	Recuit laser de cellules solaires fonctionnant sous	
Nizou (PY.) et Chomarat (A.). — Détermination du point	011	concentration	889
de fonctionnement d'un capteur solaire plan sans		Saulnier (J. B.) et Martinet (J.). — Le verre et la thermo-	
concentration par une méthode graphique	143	cinétique des matériaux semi-transparents	175
	145	Sauvestre (C.). — Voir Amouroux (J.)	1239
Noguet (C.), Pierrat (D.), Tapiero (M.) et Zielinger (J. P.).		Savelli (M.). — Voir Perotin (M.)	585
- Longueur de diffusion des porteurs minoritaires		Schwartz (L. M.), Louat (R.) et Menguy (G.). — Etude	202
et structure de jonction des diodes Cu/Cu ₂ O	595	du rayonnement solaire global à Lyon et à Mâcon	103
Oberlin (A.). — Voir Goma (J.)	229		105
Oberlin (M.). — Voir Goma (J.)	229	Sculfort (J. L.) et Baticle (A. M.). — Etude expérimen-	
Olalde (G.). — Voir Genneviève (F.)	985	tale des réactions de transfert de charges sur électrodes	
Olaide (G.), Peuve (J. L.) and Daguenet (M.). — Theo-		semiconductrices: oxydoréduction des anions com-	
retical study of gas heated in a porous material sub-		plexes $M(CN)_6^{3-/4-}$ sur des électrodes de tellurure de	
jected to a concentrated solar radiation	433	zinc et de cadmium	1209
Oudeacoumar. — Voir Perotin (M.)	585	Siffert (P.). — Voir Muller (J. C.)	611
Pakdel (M.), Quichaud (G.) et Robert (J.). — Etude d'un		Siffert (P.). — Voir Salles (D.)	889
moteur à reluctance à feuilletage axial	331	Sow (G.). — Voir Barlaud (M.)	263
Papini (F.). — Voir Arconada	163	Spitz (J.). — Voir Valignat (J.)	397
Pasquetti (R.) et Peri (G.). — Etude des performances		Strimer (P.). — Voir Gerbaux (X.)	573
optiques des concentrateurs paraboliques à facettes		Stuck (R.). — Voir Salles (D.)	889
planes, développés dans le cadre du programme-		Sultanem (F.). — Voir Ly (K.)	1375
THEK	123		595
	553	Tapiero (M.). — Voir Noguet (C.)	
Pecheux (J.). — Voir Peube (J. L.)	333	Tarnijevsky (B. V.). — Voir Aparissi (P. P.)	357
Penot (F.). — Transfert de chaleur par convection		Therez (F.). — Voir Bourée (J. E.)	245
naturelle dans une cavité rectangulaire isotherme	205	Thomas (P. A.). — Comparison of dc and hf plasma treat-	
ouverte sur une face	207	ments for hydrogenation of amorphous silicon	241
Penot (F.). — Voir Dalbert (AM.)	201	Tmar (M.). — Voir Ducarroir (M.)	513
Penot (F.) et Peube (J. L.). — Sur le fonctionnement		Vachon (M.), Arnaud (G.) et Peube (J. L.). — Evaporation	
d'un thermosiphon résultant de la rupture d'équilibre		en convection naturelle	427
de fluide stratifié	903	Valignat (J.), Spitz (J.) et Ritchie (I. T.) Le dépôt	
Peri (G.). — Voir Pasquetti (R.)	123	électrolytique de chrome noir : caractérisation et sta-	
Perotin (M.), Bougnot (J.), Oudeacoumar, Marucchi (J.),		bilité thermique	397
Marjan (M.) et Savelli (M.). — CdS « spray » : éla-		Vanderhaghen (R.). — Voir Drevillon (B.)	131
boration. Propriétés physiques; applications aux		Vedel (J.), Cowache (P.) et Dachraoui (M.). — Prépara-	131
cellules solaires Cu ₂ S-CdS	585		
cellules solaires Cu ₂ S-CdS	585 201	tion du sulfure cuivreux par décomposition thermique	1521
Peube (J. L.). — Voir Dalbert (AM.)	201	tion du sulfure cuivreux par décomposition thermique d'aérosol (spray)	1521
Peube (J. L.). — Voir Dalbert (AM.) Peube (J. L.). — Voir Olalde (G.)		tion du sulfure cuivreux par décomposition thermique d'aérosol (spray) Verzaro (F.). — Voir Lede (J.)	535
Peube (J. L.). — Voir Dalbert (AM.) Peube (J. L.). — Voir Olalde (G.) Peube (J. L.), Pecheux (J.) et Plancq (E.). — Sur les	201	tion du sulfure cuivreux par décomposition thermique d'aérosol (spray) Verzaro (F.). — Voir Lede (J.) Villermaux (J.). — Voir Lede (J.)	535 535
Peube (J. L.). — Voir Dalbert (AM.) Peube (J. L.). — Voir Olalde (G.) Peube (J. L.), Pecheux (J.) et Plancq (E.). — Sur les conditions optimales d'utilisation de l'énergie solaire	201 423	tion du sulfure cuivreux par décomposition thermique d'aérosol (spray) Verzaro (F.). — Voir Lede (J.) Villermaux (J.). — Voir Lede (J.) Villermaux (J.). — Voir Lede (J.)	535
Peube (J. L.). — Voir Dalbert (AM.) Peube (J. L.). — Voir Olalde (G.) Peube (J. L.), Pecheux (J.) et Plancq (E.). — Sur les conditions optimales d'utilisation de l'énergie solaire pour le chauffage de l'habitat	201 423 553	tion du sulfure cuivreux par décomposition thermique d'aérosol (spray) Verzaro (F.). — Voir Lede (J.) Villermaux (J.). — Voir Lede (J.) Villermaux (J.). — Voir Lede (J.) Williams (O. M.). — A comparison of reversible chemical	535 535
Peube (J. L.). — Voir Dalbert (AM.) Peube (J. L.). — Voir Olalde (G.) Peube (J. L.), Pecheux (J.) et Plancq (E.). — Sur les conditions optimales d'utilisation de l'énergie solaire pour le chauffage de l'habitat Peube (J. L.). — Voir Penot (F.)	201 423 553 903	tion du sulfure cuivreux par décomposition thermique d'aérosol (spray) Verzaro (F.). — Voir Lede (J.) Villermaux (J.). — Voir Lede (J.) Villermaux (J.). — Voir Lede (J.) Williams (O. M.). — A comparison of reversible chemical reactions for solar thermochemical power genera-	535 535 545
Peube (J. L.). — Voir Dalbert (AM.) Peube (J. L.). — Voir Olalde (G.) Peube (J. L.), Pecheux (J.) et Plancq (E.). — Sur les conditions optimales d'utilisation de l'énergie solaire pour le chauffage de l'habitat Peube (J. L.). — Voir Penot (F.) Peube (J. L.). — Voir Vachon (M.)	201 423 553 903 427	tion du sulfure cuivreux par décomposition thermique d'aérosol (spray) Verzaro (F.). — Voir Lede (J.) Villermaux (J.). — Voir Lede (J.) Villermaux (J.). — Voir Lede (J.) Williams (O. M.). — A comparison of reversible chemical reactions for solar thermochemical power generation	535 535 545 453
Peube (J. L.). — Voir Dalbert (AM.) Peube (J. L.). — Voir Olalde (G.) Peube (J. L.), Pecheux (J.) et Plancq (E.). — Sur les conditions optimales d'utilisation de l'énergie solaire pour le chauffage de l'habitat Peube (J. L.). — Voir Penot (F.) Peube (J. L.). — Voir Vachon (M.) Pianelli (A.). — Voir Gerbaux (X.)	201 423 553 903	tion du sulfure cuivreux par décomposition thermique d'aérosol (spray) Verzaro (F.). — Voir Lede (J.) Villermaux (J.). — Voir Lede (J.) Villermaux (J.). — Voir Lede (J.) Williams (O. M.). — A comparison of reversible chemical reactions for solar thermochemical power generation Zentner (R.). — Voir Gintz (J.)	535 535 545
Peube (J. L.). — Voir Dalbert (AM.) Peube (J. L.). — Voir Olalde (G.) Peube (J. L.), Pecheux (J.) et Plancq (E.). — Sur les conditions optimales d'utilisation de l'énergie solaire pour le chauffage de l'habitat Peube (J. L.). — Voir Penot (F.) Peube (J. L.). — Voir Vachon (M.) Pianelli (A.). — Voir Gerbaux (X.) Pierrat (D.). — Voir Noguet (C.)	201 423 553 903 427	tion du sulfure cuivreux par décomposition thermique d'aérosol (spray) Verzaro (F.). — Voir Lede (J.) Villermaux (J.). — Voir Lede (J.) Villermaux (J.). — Voir Lede (J.) Williams (O. M.). — A comparison of reversible chemical reactions for solar thermochemical power generation	535 535 545 453
Peube (J. L.). — Voir Dalbert (AM.) Peube (J. L.). — Voir Olalde (G.) Peube (J. L.), Pecheux (J.) et Plancq (E.). — Sur les conditions optimales d'utilisation de l'énergie solaire pour le chauffage de l'habitat Peube (J. L.). — Voir Penot (F.) Peube (J. L.). — Voir Vachon (M.) Pianelli (A.). — Voir Gerbaux (X.) Pierrat (D.). — Voir Roger (J. A.)	201 423 553 903 427 573	tion du sulfure cuivreux par décomposition thermique d'aérosol (spray) Verzaro (F.). — Voir Lede (J.) Villermaux (J.). — Voir Lede (J.) Villermaux (J.). — Voir Lede (J.) Williams (O. M.). — A comparison of reversible chemical reactions for solar thermochemical power generation Zentner (R.). — Voir Gintz (J.)	535 535 545 453 363
Peube (J. L.). — Voir Dalbert (AM.) Peube (J. L.). — Voir Olalde (G.) Peube (J. L.), Pecheux (J.) et Plancq (E.). — Sur les conditions optimales d'utilisation de l'énergie solaire pour le chauffage de l'habitat Peube (J. L.). — Voir Penot (F.) Peube (J. L.). — Voir Vachon (M.) Pianelli (A.). — Voir Gerbaux (X.) Pierrat (D.). — Voir Noguet (C.)	201 423 553 903 427 573 595	tion du sulfure cuivreux par décomposition thermique d'aérosol (spray) Verzaro (F.). — Voir Lede (J.) Villermaux (J.). — Voir Lede (J.) Villermaux (J.). — Voir Lede (J.) Williams (O. M.). — A comparison of reversible chemical reactions for solar thermochemical power generation Zentner (R.). — Voir Gintz (J.) Zielinger (J. P.). — Voir Noguet (C.)	535 535 545 453 363
Peube (J. L.). — Voir Dalbert (AM.) Peube (J. L.). — Voir Olalde (G.) Peube (J. L.), Pecheux (J.) et Plancq (E.). — Sur les conditions optimales d'utilisation de l'énergie solaire pour le chauffage de l'habitat Peube (J. L.). — Voir Penot (F.) Peube (J. L.). — Voir Vachon (M.) Pianelli (A.). — Voir Gerbaux (X.) Pierrat (D.). — Voir Roger (J. A.) Plancq (E.). — Voir Peube (J. L.)	201 423 553 903 427 573 595 603	tion du sulfure cuivreux par décomposition thermique d'aérosol (spray) Verzaro (F.). — Voir Lede (J.) Villermaux (J.). — Voir Lede (J.) Villermaux (J.). — Voir Lede (J.) Williams (O. M.). — A comparison of reversible chemical reactions for solar thermochemical power generation Zentner (R.). — Voir Gintz (J.) Zielinger (J. P.). — Voir Noguet (C.)	535 535 545 453 363
Peube (J. L.). — Voir Dalbert (AM.) Peube (J. L.). — Voir Olalde (G.) Peube (J. L.), Pecheux (J.) et Plancq (E.). — Sur les conditions optimales d'utilisation de l'énergie solaire pour le chauffage de l'habitat Peube (J. L.). — Voir Penot (F.) Peube (J. L.). — Voir Vachon (M.) Pianelli (A.). — Voir Gerbaux (X.) Pierrat (D.). — Voir Noguet (C.) Pivot (J.). — Voir Roger (J. A.) Plancq (E.). — Voir Peube (J. L.) Quichaud (G.). — Voir Bastos (J. P.)	201 423 553 903 427 573 595 603 553	tion du sulfure cuivreux par décomposition thermique d'aérosol (spray) Verzaro (F.). — Voir Lede (J.) Villermaux (J.). — Voir Lede (J.) Villermaux (J.). — Voir Lede (J.) Williams (O. M.). — A comparison of reversible chemical reactions for solar thermochemical power generation Zentner (R.). — Voir Gintz (J.) Zielinger (J. P.). — Voir Noguet (C.)	535 535 545 453 363
Peube (J. L.). — Voir Dalbert (AM.) Peube (J. L.). — Voir Olalde (G.) Peube (J. L.), Pecheux (J.) et Plancq (E.). — Sur les conditions optimales d'utilisation de l'énergie solaire pour le chauffage de l'habitat Peube (J. L.). — Voir Penot (F.) Peube (J. L.). — Voir Vachon (M.) Pianelli (A.). — Voir Gerbaux (X.) Pierrat (D.). — Voir Noguet (C.) Pivot (J.). — Voir Roger (J. A.) Plancq (E.). — Voir Peube (J. L.) Quichaud (G.). — Voir Bastos (J. P.) Quichaud (G.). — Voir Ly (K.)	553 903 427 573 595 603 553 1625 1375	tion du sulfure cuivreux par décomposition thermique d'aérosol (spray) Verzaro (F.). — Voir Lede (J.) Villermaux (J.). — Voir Lede (J.) Williams (O. M.). — A comparison of reversible chemical reactions for solar thermochemical power generation Zentner (R.). — Voir Gintz (J.) Zielinger (J. P.). — Voir Noguet (C.) PHYSIQUE DES PARTICULES DANS LE VIDE ET LES PLASMAS	535 535 545 453 363 595
Peube (J. L.). — Voir Dalbert (AM.) Peube (J. L.). — Voir Olalde (G.) Peube (J. L.), Pecheux (J.) et Plancq (E.). — Sur les conditions optimales d'utilisation de l'énergie solaire pour le chauffage de l'habitat Peube (J. L.). — Voir Penot (F.) Peube (J. L.). — Voir Vachon (M.) Pianelli (A.). — Voir Gerbaux (X.) Pierrat (D.). — Voir Noguet (C.) Pivot (J.). — Voir Roger (J. A.) Plancq (E.). — Voir Peube (J. L.) Quichaud (G.). — Voir Bastos (J. P.) Quichaud (G.). — Voir Ly (K.) Quichaud (G.). — Voir Pakdel (M.)	201 423 553 903 427 573 595 603 553 1625	tion du sulfure cuivreux par décomposition thermique d'aérosol (spray) Verzaro (F.). — Voir Lede (J.) Villermaux (J.). — Voir Lede (J.) Williams (O. M.). — A comparison of reversible chemical reactions for solar thermochemical power generation Zentner (R.). — Voir Gintz (J.) Zielinger (J. P.). — Voir Noguet (C.) PHYSIQUE DES PARTICULES DANS LE VIDE ET LES PLASMAS Allis (W. P.). — Voir Moisan (M.)	535 535 545 453 363 595
Peube (J. L.). — Voir Dalbert (AM.) Peube (J. L.). — Voir Olalde (G.) Peube (J. L.), Pecheux (J.) et Plancq (E.). — Sur les conditions optimales d'utilisation de l'énergie solaire pour le chauffage de l'habitat Peube (J. L.). — Voir Penot (F.) Peube (J. L.). — Voir Vachon (M.) Pianelli (A.). — Voir Gerbaux (X.) Pierrat (D.). — Voir Noguet (C.) Pivot (J.). — Voir Roger (J. A.) Plancq (E.). — Voir Peube (J. L.) Quichaud (G.). — Voir Bastos (J. P.) Quichaud (G.). — Voir Ly (K.) Quichaud (G.). — Voir Pakdel (M.) Rauzier (E.). — Expérimentation de capteurs solaires à	553 903 427 573 595 603 553 1625 1375 331	tion du sulfure cuivreux par décomposition thermique d'aérosol (spray) Verzaro (F.). — Voir Lede (J.) Villermaux (J.). — Voir Lede (J.) Williams (O. M.). — A comparison of reversible chemical reactions for solar thermochemical power generation Zentner (R.). — Voir Gintz (J.) Zielinger (J. P.). — Voir Noguet (C.) PHYSIQUE DES PARTICULES DANS LE VIDE ET LES PLASMAS Allis (W. P.). — Voir Moisan (M.) Amouroux (J.). — Voir Rapakoulias (D.) 1251	535 535 545 453 363 595
Peube (J. L.). — Voir Dalbert (AM.) Peube (J. L.). — Voir Olalde (G.) Peube (J. L.), Pecheux (J.) et Plancq (E.). — Sur les conditions optimales d'utilisation de l'énergie solaire pour le chauffage de l'habitat Peube (J. L.). — Voir Penot (F.) Peube (J. L.). — Voir Vachon (M.) Pianelli (A.). — Voir Gerbaux (X.) Pierrat (D.). — Voir Noguet (C.) Pivot (J.). — Voir Roger (J. A.) Plancq (E.). — Voir Peube (J. L.) Quichaud (G.). — Voir Bastos (J. P.) Quichaud (G.). — Voir Ly (K.) Quichaud (G.). — Voir Pakdel (M.) Rauzier (E.). — Expérimentation de capteurs solaires à air à absorbeur poreux	553 903 427 573 595 603 553 1625 1375 331	tion du sulfure cuivreux par décomposition thermique d'aérosol (spray) Verzaro (F.). — Voir Lede (J.) Villermaux (J.). — Voir Lede (J.) Williams (O. M.). — A comparison of reversible chemical reactions for solar thermochemical power generation Zentner (R.). — Voir Gintz (J.) Zielinger (J. P.). — Voir Noguet (C.) PHYSIQUE DES PARTICULES DANS LE VIDE ET LES PLASMAS Allis (W. P.). — Voir Moisan (M.) Amouroux (J.). — Voir Rapakoulias (D.) 1251 Breton (C.), De Michelis (C.), Hecq (W.) and Mattioli (M.).	535 535 545 453 363 595
Peube (J. L.). — Voir Dalbert (AM.) Peube (J. L.). — Voir Olalde (G.) Peube (J. L.), Pecheux (J.) et Plancq (E.). — Sur les conditions optimales d'utilisation de l'énergie solaire pour le chauffage de l'habitat Peube (J. L.). — Voir Penot (F.) Peube (J. L.). — Voir Vachon (M.) Pianelli (A.). — Voir Gerbaux (X.) Pierrat (D.). — Voir Noguet (C.) Pivot (J.). — Voir Roger (J. A.) Plancq (E.). — Voir Peube (J. L.) Quichaud (G.). — Voir Bastos (J. P.) Quichaud (G.). — Voir Ly (K.) Quichaud (G.). — Voir Pakdel (M.) Rauzier (E.). — Expérimentation de capteurs solaires à air à absorbeur poreux Revel (G.). — Voir Amouroux (J.)	553 903 427 573 595 603 553 1625 1375 331 411 1239	tion du sulfure cuivreux par décomposition thermique d'aérosol (spray) Verzaro (F.). — Voir Lede (J.) Villermaux (J.). — Voir Lede (J.) Williams (O. M.). — A comparison of reversible chemical reactions for solar thermochemical power generation Zentner (R.). — Voir Gintz (J.) Zielinger (J. P.). — Voir Noguet (C.) PHYSIQUE DES PARTICULES DANS LE VIDE ET LES PLASMAS Allis (W. P.). — Voir Moisan (M.) Amouroux (J.). — Voir Rapakoulias (D.) 1251 Breton (C.), De Michelis (C.), Hecq (W.) and Mattioli (M.). Low energy neutral beam production by laser vapo-	535 535 545 453 363 595
Peube (J. L.). — Voir Dalbert (AM.) Peube (J. L.). — Voir Olalde (G.) Peube (J. L.), Pecheux (J.) et Plancq (E.). — Sur les conditions optimales d'utilisation de l'énergie solaire pour le chauffage de l'habitat Peube (J. L.). — Voir Penot (F.) Peube (J. L.). — Voir Vachon (M.) Pianelli (A.). — Voir Gerbaux (X.) Pierrat (D.). — Voir Noguet (C.) Pivot (J.). — Voir Roger (J. A.) Plancq (E.). — Voir Bastos (J. P.) Quichaud (G.). — Voir Bastos (J. P.) Quichaud (G.). — Voir Pakdel (M.) Rauzier (E.). — Expérimentation de capteurs solaires à air à absorbeur poreux Revel (G.). — Voir Amouroux (J.) Revel (G.). — Voir Morvan (D.)	201 423 553 903 427 573 595 603 553 1625 1375 331 411 1239 1229	tion du sulfure cuivreux par décomposition thermique d'aérosol (spray) Verzaro (F.). — Voir Lede (J.) Villermaux (J.). — Voir Lede (J.) Villermaux (J.). — Voir Lede (J.) Williams (O. M.). — A comparison of reversible chemical reactions for solar thermochemical power generation Zentner (R.). — Voir Gintz (J.) Zielinger (J. P.). — Voir Noguet (C.) PHYSIQUE DES PARTICULES DANS LE VIDE ET LES PLASMAS Allis (W. P.). — Voir Moisan (M.) Amouroux (J.). — Voir Rapakoulias (D.) 1251 Breton (C.), De Michelis (C.), Hecq (W.) and Mattioli (M.). Low energy neutral beam production by laser vaporization of metals	535 535 545 453 363 595 1383 -1261
Peube (J. L.). — Voir Dalbert (AM.) Peube (J. L.). — Voir Olalde (G.) Peube (J. L.), Pecheux (J.) et Plancq (E.). — Sur les conditions optimales d'utilisation de l'énergie solaire pour le chauffage de l'habitat Peube (J. L.). — Voir Penot (F.) Peube (J. L.). — Voir Vachon (M.) Pianelli (A.). — Voir Gerbaux (X.) Pierrat (D.). — Voir Noguet (C.) Pivot (J.). — Voir Roger (J. A.) Plancq (E.). — Voir Peube (J. L.) Quichaud (G.). — Voir Bastos (J. P.) Quichaud (G.). — Voir Ly (K.) Quichaud (G.). — Voir Pakdel (M.) Rauzier (E.). — Expérimentation de capteurs solaires à air à absorbeur poreux Revel (G.). — Voir Morvan (D.) Richoux (M. C.). — Voir De Backer (M.)	201 423 553 903 427 573 595 603 553 1625 1375 331 411 1239 1229 529	tion du sulfure cuivreux par décomposition thermique d'aérosol (spray) Verzaro (F.). — Voir Lede (J.) Villermaux (J.). — Voir Lede (J.) Villermaux (J.). — Voir Lede (J.) Williams (O. M.). — A comparison of reversible chemical reactions for solar thermochemical power generation Zentner (R.). — Voir Gintz (J.) Zielinger (J. P.). — Voir Noguet (C.) PHYSIQUE DES PARTICULES DANS LE VIDE ET LES PLASMAS Allis (W. P.). — Voir Moisan (M.) Amouroux (J.). — Voir Rapakoulias (D.) 1251 Breton (C.), De Michelis (C.), Hecq (W.) and Mattioli (M.). Low energy neutral beam production by laser vaporization of metals Cavadias (S.). — Voir Rapakoulias (D.)	535 535 545 453 363 595 1383 -1261
Peube (J. L.). — Voir Dalbert (AM.) Peube (J. L.). — Voir Olalde (G.) Peube (J. L.), Pecheux (J.) et Plancq (E.). — Sur les conditions optimales d'utilisation de l'énergie solaire pour le chauffage de l'habitat Peube (J. L.). — Voir Penot (F.) Peube (J. L.). — Voir Vachon (M.) Pianelli (A.). — Voir Gerbaux (X.) Pierrat (D.). — Voir Noguet (C.) Pivot (J.). — Voir Roger (J. A.) Plancq (E.). — Voir Bastos (J. P.) Quichaud (G.). — Voir Bastos (J. P.) Quichaud (G.). — Voir Pakdel (M.) Rauzier (E.). — Expérimentation de capteurs solaires à air à absorbeur poreux Revel (G.). — Voir Amouroux (J.) Revel (G.). — Voir Morvan (D.) Richoux (M. C.). — Voir De Backer (M.) Rioux (C.). — Voir Goyet (R.)	201 423 553 903 427 573 595 603 553 1625 1375 331 411 1239 1229 529 1451	tion du sulfure cuivreux par décomposition thermique d'aérosol (spray) Verzaro (F.). — Voir Lede (J.) Villermaux (J.). — Voir Lede (J.) Villermaux (J.). — Voir Lede (J.) Williams (O. M.). — A comparison of reversible chemical reactions for solar thermochemical power generation Zentner (R.). — Voir Gintz (J.) Zielinger (J. P.). — Voir Noguet (C.) PHYSIQUE DES PARTICULES DANS LE VIDE ET LES PLASMAS Allis (W. P.). — Voir Moisan (M.) Amouroux (J.). — Voir Rapakoulias (D.) 1251 Breton (C.), De Michelis (C.), Hecq (W.) and Mattioli (M.). Low energy neutral beam production by laser vaporization of metals Cavadias (S.). — Voir Rapakoulias (D.) De Michelis (C.). — Voir Breton (C.)	535 535 545 453 363 595 1383 -1261
Peube (J. L.). — Voir Dalbert (AM.) Peube (J. L.). — Voir Olalde (G.) Peube (J. L.), Pecheux (J.) et Plancq (E.). — Sur les conditions optimales d'utilisation de l'énergie solaire pour le chauffage de l'habitat Peube (J. L.). — Voir Penot (F.) Peube (J. L.). — Voir Vachon (M.) Pianelli (A.). — Voir Gerbaux (X.) Pierrat (D.). — Voir Noguet (C.) Pivot (J.). — Voir Roger (J. A.) Plancq (E.). — Voir Bastos (J. P.) Quichaud (G.). — Voir Bastos (J. P.) Quichaud (G.). — Voir Ly (K.) Quichaud (G.). — Voir Pakdel (M.) Rauzier (E.). — Expérimentation de capteurs solaires à air à absorbeur poreux Revel (G.). — Voir Morvan (D.) Richoux (M. C.). — Voir De Backer (M.) Rioux (C.). — Voir Goyet (R.) Rioux (C.). — Voir Ly (K.)	553 903 427 573 595 603 553 1625 1375 331 411 1239 1229 529 1451 1375	tion du sulfure cuivreux par décomposition thermique d'aérosol (spray) Verzaro (F.). — Voir Lede (J.) Villermaux (J.). — Voir Lede (J.) Villermaux (J.). — Voir Lede (J.) Williams (O. M.). — A comparison of reversible chemical reactions for solar thermochemical power generation Zentner (R.). — Voir Gintz (J.) Zielinger (J. P.). — Voir Noguet (C.) PHYSIQUE DES PARTICULES DANS LE VIDE ET LES PLASMAS Allis (W. P.). — Voir Moisan (M.) Amouroux (J.). — Voir Rapakoulias (D.) 1251 Breton (C.), De Michelis (C.), Hecq (W.) and Mattioli (M.). Low energy neutral beam production by laser vaporization of metals Cavadias (S.). — Voir Rapakoulias (D.) De Michelis (C.). — Voir Breton (C.) Galiouna Nassiopoulos (A.), Möller (P. A.) et Septier (A.).	535 535 545 453 363 595 1383 -1261
Peube (J. L.). — Voir Dalbert (AM.) Peube (J. L.). — Voir Olalde (G.) Peube (J. L.), Pecheux (J.) et Plancq (E.). — Sur les conditions optimales d'utilisation de l'énergie solaire pour le chauffage de l'habitat Peube (J. L.). — Voir Penot (F.) Peube (J. L.). — Voir Vachon (M.) Pianelli (A.). — Voir Gerbaux (X.) Pierrat (D.). — Voir Noguet (C.) Pivot (J.). — Voir Roger (J. A.) Plancq (E.). — Voir Pastos (J. P.) Quichaud (G.). — Voir Bastos (J. P.) Quichaud (G.). — Voir Ly (K.) Quichaud (G.). — Voir Pakdel (M.) Rauzier (E.). — Expérimentation de capteurs solaires à air à absorbeur poreux Revel (G.). — Voir Morvan (D.) Revel (G.). — Voir Morvan (D.) Richoux (M. C.). — Voir De Backer (M.) Rioux (C.). — Voir Goyet (R.) Rioux (C.). — Voir Ly (K.) Rioux-Damidau (F.). — Voir Bastos (J. P.)	201 423 553 903 427 573 595 603 553 1625 1375 331 411 1239 1229 529 1451 1375 1625	tion du sulfure cuivreux par décomposition thermique d'aérosol (spray) Verzaro (F.). — Voir Lede (J.) Villermaux (J.). — Voir Lede (J.) Villermaux (J.). — Voir Lede (J.) Williams (O. M.). — A comparison of reversible chemical reactions for solar thermochemical power generation Zentner (R.). — Voir Gintz (J.) Zielinger (J. P.). — Voir Noguet (C.) PHYSIQUE DES PARTICULES DANS LE VIDE ET LES PLASMAS Allis (W. P.). — Voir Moisan (M.) Amouroux (J.). — Voir Rapakoulias (D.) 1251 Breton (C.), De Michelis (C.), Hecq (W.) and Mattioli (M.). Low energy neutral beam production by laser vaporization of metals Cavadias (S.). — Voir Rapakoulias (D.) De Michelis (C.). — Voir Breton (C.) Galiouna Nassiopoulos (A.), Möller (P. A.) et Septier (A.).	535 535 545 453 363 595 1383 -1261
Peube (J. L.). — Voir Dalbert (AM.) Peube (J. L.). — Voir Olalde (G.) Peube (J. L.), Pecheux (J.) et Plancq (E.). — Sur les conditions optimales d'utilisation de l'énergie solaire pour le chauffage de l'habitat Peube (J. L.). — Voir Penot (F.) Peube (J. L.). — Voir Vachon (M.) Pianelli (A.). — Voir Gerbaux (X.) Pierrat (D.). — Voir Noguet (C.) Pivot (J.). — Voir Roger (J. A.) Plancq (E.). — Voir Peube (J. L.) Quichaud (G.). — Voir Bastos (J. P.) Quichaud (G.). — Voir Ly (K.) Quichaud (G.). — Voir Pakdel (M.) Rauzier (E.). — Expérimentation de capteurs solaires à air à absorbeur poreux Revel (G.). — Voir Amouroux (J.) Revel (G.). — Voir Morvan (D.) Richoux (M. C.). — Voir De Backer (M.) Rioux (C.). — Voir Goyet (R.) Rioux-Damidau (F.). — Voir Bastos (J. P.) Ritchie (I. T.). — Voir Valignat (J.)	553 903 427 573 595 603 553 1625 1375 331 411 1239 1229 529 1451 1375	tion du sulfure cuivreux par décomposition thermique d'aérosol (spray) Verzaro (F.). — Voir Lede (J.) Villermaux (J.). — Voir Lede (J.) Villermaux (J.). — Voir Lede (J.) Williams (O. M.). — A comparison of reversible chemical reactions for solar thermochemical power generation Zentner (R.). — Voir Gintz (J.) Zielinger (J. P.). — Voir Noguet (C.) PHYSIQUE DES PARTICULES DANS LE VIDE ET LES PLASMAS Allis (W. P.). — Voir Moisan (M.) Amouroux (J.). — Voir Rapakoulias (D.) 1251 Breton (C.), De Michelis (C.), Hecq (W.) and Mattioli (M.). Low energy neutral beam production by laser vaporization of metals Cavadias (S.). — Voir Rapakoulias (D.) De Michelis (C.). — Voir Breton (C.) Galiouna Nassiopoulos (A.), Möller (P. A.) et Septier (A.). — Confinement d'ions dans une cage cylindrique à	535 535 545 453 363 595 1383 -1261
Peube (J. L.). — Voir Dalbert (AM.) Peube (J. L.). — Voir Olalde (G.) Peube (J. L.), Pecheux (J.) et Plancq (E.). — Sur les conditions optimales d'utilisation de l'énergie solaire pour le chauffage de l'habitat Peube (J. L.). — Voir Penot (F.) Peube (J. L.). — Voir Vachon (M.) Pianelli (A.). — Voir Gerbaux (X.) Pierrat (D.). — Voir Noguet (C.) Pivot (J.). — Voir Roger (J. A.) Plancq (E.). — Voir Peube (J. L.) Quichaud (G.). — Voir Bastos (J. P.) Quichaud (G.). — Voir Bastos (J. P.) Quichaud (G.). — Voir Pakdel (M.) Rauzier (E.). — Expérimentation de capteurs solaires à air à absorbeur poreux Revel (G.). — Voir Mouroux (J.) Revel (G.). — Voir Morvan (D.) Richoux (M. C.). — Voir De Backer (M.) Rioux (C.). — Voir Goyet (R.) Rioux (C.). — Voir Ly (K.) Rioux-Damidau (F.). — Voir Bastos (J. P.) Ritchie (I. T.). — Voir Valignat (J.) Rivet (P.). — Analyse physique élémentaire de l'équation	201 423 553 903 427 573 595 603 553 1625 1375 331 411 1239 1229 529 1451 1375 1625	tion du sulfure cuivreux par décomposition thermique d'aérosol (spray) Verzaro (F.). — Voir Lede (J.) Villermaux (J.). — Voir Lede (J.) Williams (O. M.). — A comparison of reversible chemical reactions for solar thermochemical power generation Zentner (R.). — Voir Gintz (J.) Zielinger (J. P.). — Voir Noguet (C.) PHYSIQUE DES PARTICULES DANS LE VIDE ET LES PLASMAS Allis (W. P.). — Voir Moisan (M.) Amouroux (J.). — Voir Rapakoulias (D.) 1251 Breton (C.), De Michelis (C.), Hecq (W.) and Mattioli (M.). Low energy neutral beam production by laser vaporization of metals Cavadias (S.). — Voir Rapakoulias (D.) De Michelis (C.). — Voir Breton (C.) Galiouna Nassiopoulos (A.), Möller (P. A.) et Septier (A.). — Confinement d'ions dans une cage cylindrique à champ quadrupolaire HF. Application à la spectrométrie de masse. I. — Partie théorique	535 535 545 453 363 595 1383 -1261 1193 1261 1193
Peube (J. L.). — Voir Dalbert (AM.) Peube (J. L.). — Voir Olalde (G.) Peube (J. L.), Pecheux (J.) et Plancq (E.). — Sur les conditions optimales d'utilisation de l'énergie solaire pour le chauffage de l'habitat Peube (J. L.). — Voir Penot (F.) Peube (J. L.). — Voir Vachon (M.) Pianelli (A.). — Voir Gerbaux (X.) Pierrat (D.). — Voir Noguet (C.) Pivot (J.). — Voir Roger (J. A.) Plancq (E.). — Voir Peube (J. L.) Quichaud (G.). — Voir Bastos (J. P.) Quichaud (G.). — Voir Bastos (J. P.) Quichaud (G.). — Voir Pakdel (M.) Rauzier (E.). — Expérimentation de capteurs solaires à air à absorbeur poreux Revel (G.). — Voir Mouroux (J.) Revel (G.). — Voir Morvan (D.) Richoux (M. C.). — Voir De Backer (M.) Rioux (C.). — Voir Goyet (R.) Rioux (C.). — Voir Ly (K.) Rioux-Damidau (F.). — Voir Bastos (J. P.) Ritchie (I. T.). — Voir Valignat (J.) Rivet (P.). — Analyse physique élémentaire de l'équation simplifiée du capteur plan à air en régime station-	201 423 553 903 427 573 595 603 553 1625 1375 331 411 1239 1229 529 1451 1375 1625	tion du sulfure cuivreux par décomposition thermique d'aérosol (spray) Verzaro (F.). — Voir Lede (J.) Villermaux (J.). — Voir Lede (J.) Williams (O. M.). — A comparison of reversible chemical reactions for solar thermochemical power generation Zentner (R.). — Voir Gintz (J.) Zielinger (J. P.). — Voir Noguet (C.) PHYSIQUE DES PARTICULES DANS LE VIDE ET LES PLASMAS Allis (W. P.). — Voir Moisan (M.) Amouroux (J.). — Voir Rapakoulias (D.) 1251 Breton (C.), De Michelis (C.), Hecq (W.) and Mattioli (M.). Low energy neutral beam production by laser vaporization of metals Cavadias (S.). — Voir Rapakoulias (D.) De Michelis (C.). — Voir Breton (C.) Galiouna Nassiopoulos (A.), Möller (P. A.) et Septier (A.). — Confinement d'ions dans une cage cylindrique à champ quadrupolaire HF. Application à la spectrométrie de masse. I. — Partie théorique	535 535 545 453 363 595 1383 -1261
Peube (J. L.). — Voir Dalbert (AM.) Peube (J. L.). — Voir Olalde (G.) Peube (J. L.), Pecheux (J.) et Plancq (E.). — Sur les conditions optimales d'utilisation de l'énergie solaire pour le chauffage de l'habitat Peube (J. L.). — Voir Penot (F.) Peube (J. L.). — Voir Vachon (M.) Pianelli (A.). — Voir Gerbaux (X.) Pierrat (D.). — Voir Noguet (C.) Pivot (J.). — Voir Roger (J. A.) Plancq (E.). — Voir Peube (J. L.) Quichaud (G.). — Voir Bastos (J. P.) Quichaud (G.). — Voir Bastos (J. P.) Quichaud (G.). — Voir Pakdel (M.) Rauzier (E.). — Expérimentation de capteurs solaires à air à absorbeur poreux Revel (G.). — Voir Morvan (D.) Richoux (M. C.). — Voir De Backer (M.) Rioux (C.). — Voir Goyet (R.) Rioux (C.). — Voir Ly (K.) Rioux-Damidau (F.). — Voir Bastos (J. P.) Ritchie (I. T.). — Voir Valignat (J.) Rivet (P.). — Analyse physique élémentaire de l'équation simplifiée du capteur plan à air en régime stationnaire	201 423 553 903 427 573 595 603 553 1625 1375 331 411 1239 1229 529 1451 1375 1625	tion du sulfure cuivreux par décomposition thermique d'aérosol (spray) Verzaro (F.). — Voir Lede (J.) Villermaux (J.). — Voir Lede (J.) Williams (O. M.). — A comparison of reversible chemical reactions for solar thermochemical power generation Zentner (R.). — Voir Gintz (J.) Zielinger (J. P.). — Voir Noguet (C.) PHYSIQUE DES PARTICULES DANS LE VIDE ET LES PLASMAS Allis (W. P.). — Voir Moisan (M.) Amouroux (J.). — Voir Rapakoulias (D.) 1251 Breton (C.), De Michelis (C.), Hecq (W.) and Mattioli (M.). Low energy neutral beam production by laser vaporization of metals Cavadias (S.). — Voir Rapakoulias (D.) De Michelis (C.). — Voir Breton (C.) Galiouna Nassiopoulos (A.), Möller (P. A.) et Septier (A.). — Confinement d'ions dans une cage cylindrique à champ quadrupolaire HF. Application à la spectrométrie de masse. I. — Partie théorique Galiouna Nassiopoulos (A.), Möller (P. A.) et Septier (A.).	535 535 545 453 363 595 1383 -1261 1193 1261 1193
Peube (J. L.). — Voir Dalbert (AM.) Peube (J. L.). — Voir Olalde (G.) Peube (J. L.). Pecheux (J.) et Plancq (E.). — Sur les conditions optimales d'utilisation de l'énergie solaire pour le chauffage de l'habitat Peube (J. L.). — Voir Penot (F.) Peube (J. L.). — Voir Vachon (M.) Pianelli (A.). — Voir Gerbaux (X.) Pierrat (D.). — Voir Noguet (C.) Pivot (J.). — Voir Roger (J. A.) Plancq (E.). — Voir Peube (J. L.) Quichaud (G.). — Voir Bastos (J. P.) Quichaud (G.). — Voir Pakdel (M.) Rauzier (E.). — Expérimentation de capteurs solaires à air à absorbeur poreux Revel (G.). — Voir Morvan (D.) Richoux (M. C.). — Voir De Backer (M.) Rioux (C.). — Voir Goyet (R.) Rioux (C.). — Voir Ly (K.) Rioux (C.). — Voir Dalbert (AM.)	553 903 427 573 595 603 553 1625 1375 331 411 1239 1229 529 1451 1375 1625 397	tion du sulfure cuivreux par décomposition thermique d'aérosol (spray) Verzaro (F.). — Voir Lede (J.) Villermaux (J.). — Voir Lede (J.) Williams (O. M.). — A comparison of reversible chemical reactions for solar thermochemical power generation Zentner (R.). — Voir Gintz (J.) Zielinger (J. P.). — Voir Noguet (C.) PHYSIQUE DES PARTICULES DANS LE VIDE ET LES PLASMAS Allis (W. P.). — Voir Moisan (M.) Amouroux (J.). — Voir Rapakoulias (D.) 1251 Breton (C.), De Michelis (C.), Hecq (W.) and Mattioli (M.). Low energy neutral beam production by laser vaporization of metals Cavadias (S.). — Voir Rapakoulias, (D.) De Michelis (C.). — Voir Breton (C.) Galiouna Nassiopoulos (A.), Möller (P. A.) et Septier (A.). — Confinement d'ions dans une cage cylindrique à champ quadrupolaire HF. Application à la spectrométrie de masse. I. — Partie théorique Galiouna Nassiopoulos (A.), Möller (P. A.) et Septier (A.). — Confinement d'ions dans une cage cylindrique à	535 535 545 453 363 595 1383 -1261 1193 1261 1193
Peube (J. L.). — Voir Dalbert (AM.) Peube (J. L.). — Voir Olalde (G.) Peube (J. L.). Pecheux (J.) et Plancq (E.). — Sur les conditions optimales d'utilisation de l'énergie solaire pour le chauffage de l'habitat Peube (J. L.). — Voir Penot (F.) Peube (J. L.). — Voir Vachon (M.) Pianelli (A.). — Voir Gerbaux (X.) Pierrat (D.). — Voir Noguet (C.) Pivot (J.). — Voir Roger (J. A.) Plancq (E.). — Voir Peube (J. L.) Quichaud (G.). — Voir Bastos (J. P.) Quichaud (G.). — Voir Pakdel (M.) Rauzier (E.). — Expérimentation de capteurs solaires à air à absorbeur poreux Revel (G.). — Voir Morvan (D.) Richoux (M. C.). — Voir De Backer (M.) Rioux (C.). — Voir Goyet (R.) Rioux (C.). — Voir Ly (K.) Rioux (C.). — Voir Dalbert (AM.)	553 903 427 573 595 603 553 1625 1375 331 411 1239 1229 529 1451 1375 1625 397	tion du sulfure cuivreux par décomposition thermique d'aérosol (spray) Verzaro (F.). — Voir Lede (J.) Villermaux (J.). — Voir Lede (J.) Williams (O. M.). — A comparison of reversible chemical reactions for solar thermochemical power generation Zentner (R.). — Voir Gintz (J.) Zielinger (J. P.). — Voir Noguet (C.) PHYSIQUE DES PARTICULES DANS LE VIDE ET LES PLASMAS Allis (W. P.). — Voir Moisan (M.) Amouroux (J.). — Voir Rapakoulias (D.) 1251 Breton (C.), De Michelis (C.), Hecq (W.) and Mattioli (M.). Low energy neutral beam production by laser vaporization of metals Cavadias (S.). — Voir Rapakoulias (D.) De Michelis (C.). — Voir Breton (C.) Galiouna Nassiopoulos (A.), Möller (P. A.) et Septier (A.). — Confinement d'ions dans une cage cylindrique à champ quadrupolaire HF. Application à la spectrométrie de masse. I. — Partie théorique Galiouna Nassiopoulos (A.), Möller (P. A.) et Septier (A.). — Confinement d'ions dans une cage cylindrique à champ quadrupolaire HF. Application à la spectromé-	535 535 545 453 363 595 1383 -1261 1193 1261 1193
Peube (J. L.). — Voir Dalbert (AM.) Peube (J. L.). — Voir Olalde (G.) Peube (J. L.). Pecheux (J.) et Plancq (E.). — Sur les conditions optimales d'utilisation de l'énergie solaire pour le chauffage de l'habitat Peube (J. L.). — Voir Penot (F.) Peube (J. L.). — Voir Vachon (M.) Pianelli (A.). — Voir Gerbaux (X.) Pierrat (D.). — Voir Noguet (C.) Pivot (J.). — Voir Roger (J. A.) Plancq (E.). — Voir Peube (J. L.) Quichaud (G.). — Voir Bastos (J. P.) Quichaud (G.). — Voir Pakdel (M.) Rauzier (E.). — Expérimentation de capteurs solaires à air à absorbeur poreux Revel (G.). — Voir Morvan (D.) Richoux (M. C.). — Voir De Backer (M.) Rioux (C.). — Voir Goyet (R.) Rioux (C.). — Voir Ly (K.) Rioux (C.). — Voir Ly (K.) Rioux (P.). — Analyse physique élémentaire de l'équation simplifiée du capteur plan à air en régime stationnaire Robert (JF.). — Voir Dalbert (AM.) Robert (J.). — Voir Pakdel (M.)	553 903 427 573 595 603 553 1625 1375 331 411 1239 1229 529 1451 1375 1625 397	tion du sulfure cuivreux par décomposition thermique d'aérosol (spray) Verzaro (F.). — Voir Lede (J.) Villermaux (J.). — Voir Lede (J.) Williams (O. M.). — A comparison of reversible chemical reactions for solar thermochemical power generation Zentner (R.). — Voir Gintz (J.) Zielinger (J. P.). — Voir Noguet (C.) PHYSIQUE DES PARTICULES DANS LE VIDE ET LES PLASMAS Allis (W. P.). — Voir Moisan (M.) Amouroux (J.). — Voir Rapakoulias (D.) 1251 Breton (C.), De Michelis (C.), Hecq (W.) and Mattioli (M.). Low energy neutral beam production by laser vaporization of metals Cavadias (S.). — Voir Breton (C.) Galiouna Nassiopoulos (A.), Möller (P. A.) et Septier (A.). — Confinement d'ions dans une cage cylindrique à champ quadrupolaire HF. Application à la spectrométrie de masse. I. — Partie théorique Galiouna Nassiopoulos (A.), Möller (P. A.) et Septier (A.). — Confinement d'ions dans une cage cylindrique à champ quadrupolaire HF. Application à la spectrométrie de masse. II. — Partie expérimentale	535 535 545 453 363 595 1383 -1261 1193 1261 1193
Peube (J. L.). — Voir Dalbert (AM.) Peube (J. L.). — Voir Olalde (G.) Peube (J. L.), Pecheux (J.) et Plancq (E.). — Sur les conditions optimales d'utilisation de l'énergie solaire pour le chauffage de l'habitat Peube (J. L.). — Voir Penot (F.) Peube (J. L.). — Voir Vachon (M.) Pianelli (A.). — Voir Gerbaux (X.) Pierrat (D.). — Voir Noguet (C.) Pivot (J.). — Voir Roger (J. A.) Plancq (E.). — Voir Peube (J. L.) Quichaud (G.). — Voir Bastos (J. P.) Quichaud (G.). — Voir Pakdel (M.) Rauzier (E.). — Expérimentation de capteurs solaires à air à absorbeur poreux Revel (G.). — Voir Morvan (D.) Richoux (M. C.). — Voir De Backer (M.) Rioux (C.). — Voir Goyet (R.) Rioux (C.). — Voir Ly (K.) Rioux (P.). — Voir Valignat (J.) Rivet (P.). — Analyse physique élémentaire de l'équation simplifiée du capteur plan à air en régime stationnaire Robert (JF.). — Voir Pakdel (M.) Roche (M.). — L'utilisation d'un mélange de sels fondus	553 903 427 573 595 603 553 1625 1375 331 411 1239 1229 529 1451 1375 1625 397	tion du sulfure cuivreux par décomposition thermique d'aérosol (spray) Verzaro (F.). — Voir Lede (J.) Villermaux (J.). — Voir Lede (J.) Williams (O. M.). — A comparison of reversible chemical reactions for solar thermochemical power generation Zentner (R.). — Voir Gintz (J.) Zielinger (J. P.). — Voir Noguet (C.) PHYSIQUE DES PARTICULES DANS LE VIDE ET LES PLASMAS Allis (W. P.). — Voir Moisan (M.) Amouroux (J.). — Voir Rapakoulias (D.) 1251 Breton (C.), De Michelis (C.), Hecq (W.) and Mattioli (M.). Low energy neutral beam production by laser vaporization of metals Cavadias (S.). — Voir Breton (C.) Galiouna Nassiopoulos (A.), Möller (P. A.) et Septier (A.). — Confinement d'ions dans une cage cylindrique à champ quadrupolaire HF. Application à la spectrométrie de masse. I. — Partie théorique Galiouna Nassiopoulos (A.), Möller (P. A.) et Septier (A.). — Confinement d'ions dans une cage cylindrique à champ quadrupolaire HF. Application à la spectrométrie de masse. II. — Partie expérimentale Geller (R.), Jacquot (B.) et Pauthenet (R.). — Micro-	535 535 545 453 363 595 1383 -1261 1193 1261 1193
Peube (J. L.). — Voir Dalbert (AM.) Peube (J. L.). — Voir Olalde (G.) Peube (J. L.). Pecheux (J.) et Plancq (E.). — Sur les conditions optimales d'utilisation de l'énergie solaire pour le chauffage de l'habitat Peube (J. L.). — Voir Penot (F.) Peube (J. L.). — Voir Vachon (M.) Pianelli (A.). — Voir Gerbaux (X.) Pierrat (D.). — Voir Noguet (C.) Pivot (J.). — Voir Roger (J. A.) Plancq (E.). — Voir Peube (J. L.) Quichaud (G.). — Voir Bastos (J. P.) Quichaud (G.). — Voir Bastos (J. P.) Quichaud (G.). — Voir Pakdel (M.) Rauzier (E.). — Expérimentation de capteurs solaires à air à absorbeur poreux Revel (G.). — Voir Morvan (D.) Richoux (M. C.). — Voir De Backer (M.) Rioux (C.). — Voir Goyet (R.) Rioux (C.). — Voir Ly (K.) Rioux (C.). — Voir Valignat (J.) Rivet (P.). — Analyse physique élémentaire de l'équation simplifiée du capteur plan à air en régime stationnaire Robert (JF.). — Voir Pakdel (M.) Roche (M.). — L'utilisation d'un mélange de sels fondus pour le stockage de chaleur	553 903 427 573 595 603 553 1625 1375 331 411 1239 1229 529 1451 1375 1625 397	tion du sulfure cuivreux par décomposition thermique d'aérosol (spray) Verzaro (F.). — Voir Lede (J.) Villermaux (J.). — Voir Lede (J.) Williams (O. M.). — A comparison of reversible chemical reactions for solar thermochemical power generation Zentner (R.). — Voir Gintz (J.) Zielinger (J. P.). — Voir Noguet (C.) PHYSIQUE DES PARTICULES DANS LE VIDE ET LES PLASMAS Allis (W. P.). — Voir Moisan (M.) Amouroux (J.). — Voir Rapakoulias (D.) 1251 Breton (C.), De Michelis (C.), Hecq (W.) and Mattioli (M.). Low energy neutral beam production by laser vaporization of metals Cavadias (S.). — Voir Breton (C.) Galiouna Nassiopoulos (A.), Möller (P. A.) et Septier (A.). — Confinement d'ions dans une cage cylindrique à champ quadrupolaire HF. Application à la spectrométrie de masse. I. — Partie théorique Galiouna Nassiopoulos (A.), Möller (P. A.) et Septier (A.). — Confinement d'ions dans une cage cylindrique à champ quadrupolaire HF. Application à la spectrométrie de masse. II. — Partie expérimentale Geller (R.), Jacquot (B.) et Pauthenet (R.). — Micromafios source d'ions multichargés basée sur la réso-	535 535 545 453 363 595 1383 -1261 1193 1261 1193
Peube (J. L.). — Voir Dalbert (AM.) Peube (J. L.). — Voir Olalde (G.) Peube (J. L.). Pecheux (J.) et Plancq (E.). — Sur les conditions optimales d'utilisation de l'énergie solaire pour le chauffage de l'habitat Peube (J. L.). — Voir Penot (F.) Peube (J. L.). — Voir Vachon (M.) Pianelli (A.). — Voir Gerbaux (X.) Pierrat (D.). — Voir Noguet (C.) Pivot (J.). — Voir Roger (J. A.) Plancq (E.). — Voir Peube (J. L.) Quichaud (G.). — Voir Bastos (J. P.) Quichaud (G.). — Voir Bastos (J. P.) Quichaud (G.). — Voir Pakdel (M.) Rauzier (E.). — Expérimentation de capteurs solaires à air à absorbeur poreux Revel (G.). — Voir Morvan (D.) Richoux (M. C.). — Voir De Backer (M.) Rioux (C.). — Voir Goyet (R.) Rioux (C.). — Voir Ly (K.) Rioux-Damidau (F.). — Voir Bastos (J. P.) Ritchie (I. T.). — Voir Valignat (J.) Rivet (P.). — Analyse physique élémentaire de l'équation simplifiée du capteur plan à air en régime stationnaire Robert (JF.). — Voir Pakdel (M.) Roche (M.). — L'utilisation d'un mélange de sels fondus pour le stockage de chaleur Roger (J. A.), Pivot (J.) et Gucher (P.). — Les généra-	201 423 553 903 427 573 595 603 553 1625 1375 331 411 1239 1229 529 1451 1375 1625 397	tion du sulfure cuivreux par décomposition thermique d'aérosol (spray) Verzaro (F.). — Voir Lede (J.) Villermaux (J.). — Voir Lede (J.) Williams (O. M.). — A comparison of reversible chemical reactions for solar thermochemical power generation Zentner (R.). — Voir Gintz (J.) Zielinger (J. P.). — Voir Noguet (C.) PHYSIQUE DES PARTICULES DANS LE VIDE ET LES PLASMAS Allis (W. P.). — Voir Moisan (M.) Amouroux (J.). — Voir Rapakoulias (D.) 1251 Breton (C.), De Michelis (C.), Hecq (W.) and Mattioli (M.). Low energy neutral beam production by laser vaporization of metals Cavadias (S.). — Voir Rapakoulias (D.) De Michelis (C.). — Voir Breton (C.) Galiouna Nassiopoulos (A.), Möller (P. A.) et Septier (A.). — Confinement d'ions dans une cage cylindrique à champ quadrupolaire HF. Application à la spectrométrie de masse. I. — Partie théorique Galiouna Nassiopoulos (A.), Möller (P. A.) et Septier (A.). — Confinement d'ions dans une cage cylindrique à champ quadrupolaire HF. Application à la spectrométrie de masse. II. — Partie expérimentale Geller (R.), Jacquot (B.) et Pauthenet (R.). — Micromafios source d'ions multichargés basée sur la résonance cyclotronique des électrons	535 535 545 453 363 595 1383 -1261 1193 1261 1193 1529
Peube (J. L.). — Voir Dalbert (AM.) Peube (J. L.). — Voir Olalde (G.) Peube (J. L.). Pecheux (J.) et Plancq (E.). — Sur les conditions optimales d'utilisation de l'énergie solaire pour le chauffage de l'habitat Peube (J. L.). — Voir Penot (F.) Peube (J. L.). — Voir Vachon (M.) Pianelli (A.). — Voir Gerbaux (X.) Pierrat (D.). — Voir Noguet (C.) Pivot (J.). — Voir Roger (J. A.) Plancq (E.). — Voir Peube (J. L.) Quichaud (G.). — Voir Bastos (J. P.) Quichaud (G.). — Voir Pakdel (M.) Rauzier (E.). — Expérimentation de capteurs solaires à air à absorbeur poreux Revel (G.). — Voir Morvan (D.) Richoux (M. C.). — Voir De Backer (M.) Rioux (C.). — Voir Goyet (R.) Rioux (C.). — Voir Ly (K.) Rioux-Damidau (F.). — Voir Bastos (J. P.) Ritchie (I. T.). — Voir Valignat (J.) Rivet (P.). — Analyse physique élémentaire de l'équation simplifiée du capteur plan à air en régime stationnaire Robert (JF.). — Voir Dalbert (AM.) Roche (M.). — L'utilisation d'un mélange de sels fondus pour le stockage de chaleur Roger (J. A.), Pivot (J.) et Gucher (P.). — Les générateurs photovoltaïques autonomes sans batteries	201 423 553 903 427 573 595 603 553 1625 1375 331 411 1239 1229 529 1451 1375 1625 397	tion du sulfure cuivreux par décomposition thermique d'aérosol (spray) Verzaro (F.). — Voir Lede (J.) Villermaux (J.). — Voir Lede (J.) Williams (O. M.). — A comparison of reversible chemical reactions for solar thermochemical power generation Zentner (R.). — Voir Gintz (J.) Zielinger (J. P.). — Voir Noguet (C.) PHYSIQUE DES PARTICULES DANS LE VIDE ET LES PLASMAS Allis (W. P.). — Voir Moisan (M.) Amouroux (J.). — Voir Rapakoulias (D.) 1251 Breton (C.), De Michelis (C.), Hecq (W.) and Mattioli (M.). Low energy neutral beam production by laser vaporization of metals Cavadias (S.). — Voir Rapakoulias (D.) De Michelis (C.). — Voir Breton (C.) Galiouna Nassiopoulos (A.), Möller (P. A.) et Septier (A.). — Confinement d'ions dans une cage cylindrique à champ quadrupolaire HF. Application à la spectrométrie de masse. I. — Partie théorique Galiouna Nassiopoulos (A.), Möller (P. A.) et Septier (A.). — Confinement d'ions dans une cage cylindrique à champ quadrupolaire HF. Application à la spectrométrie de masse. II. — Partie expérimentale Geller (R.), Jacquot (B.) et Pauthenet (R.). — Micromafios source d'ions multichargés basée sur la résonance cyclotronique des électrons Glaude (V. M. M.). — Voir Moisan (M.)	535 535 545 453 363 595 1383 -1261 1193 1261 1193 1529 1543
Peube (J. L.). — Voir Dalbert (AM.) Peube (J. L.). — Voir Olalde (G.) Peube (J. L.). Pecheux (J.) et Plancq (E.). — Sur les conditions optimales d'utilisation de l'énergie solaire pour le chauffage de l'habitat Peube (J. L.). — Voir Penot (F.) Peube (J. L.). — Voir Vachon (M.) Pianelli (A.). — Voir Gerbaux (X.) Pierrat (D.). — Voir Noguet (C.) Pivot (J.). — Voir Roger (J. A.) Plancq (E.). — Voir Peube (J. L.) Quichaud (G.). — Voir Bastos (J. P.) Quichaud (G.). — Voir Bastos (J. P.) Quichaud (G.). — Voir Pakdel (M.) Rauzier (E.). — Expérimentation de capteurs solaires à air à absorbeur poreux Revel (G.). — Voir Morvan (D.) Richoux (M. C.). — Voir De Backer (M.) Rioux (C.). — Voir Goyet (R.) Rioux (C.). — Voir Ly (K.) Rioux-Damidau (F.). — Voir Bastos (J. P.) Ritchie (I. T.). — Voir Valignat (J.) Rivet (P.). — Analyse physique élémentaire de l'équation simplifiée du capteur plan à air en régime stationnaire Robert (JF.). — Voir Pakdel (M.) Roche (M.). — L'utilisation d'un mélange de sels fondus pour le stockage de chaleur Roger (J. A.), Pivot (J.) et Gucher (P.). — Les généra-	201 423 553 903 427 573 595 603 553 1625 1375 331 411 1239 1229 529 1451 1375 1625 397	tion du sulfure cuivreux par décomposition thermique d'aérosol (spray) Verzaro (F.). — Voir Lede (J.) Villermaux (J.). — Voir Lede (J.) Williams (O. M.). — A comparison of reversible chemical reactions for solar thermochemical power generation Zentner (R.). — Voir Gintz (J.) Zielinger (J. P.). — Voir Noguet (C.) PHYSIQUE DES PARTICULES DANS LE VIDE ET LES PLASMAS Allis (W. P.). — Voir Moisan (M.) Amouroux (J.). — Voir Rapakoulias (D.) 1251 Breton (C.), De Michelis (C.), Hecq (W.) and Mattioli (M.). Low energy neutral beam production by laser vaporization of metals Cavadias (S.). — Voir Rapakoulias (D.) De Michelis (C.). — Voir Breton (C.) Galiouna Nassiopoulos (A.), Möller (P. A.) et Septier (A.). — Confinement d'ions dans une cage cylindrique à champ quadrupolaire HF. Application à la spectrométrie de masse. I. — Partie théorique Galiouna Nassiopoulos (A.), Möller (P. A.) et Septier (A.). — Confinement d'ions dans une cage cylindrique à champ quadrupolaire HF. Application à la spectrométrie de masse. II. — Partie expérimentale Geller (R.), Jacquot (B.) et Pauthenet (R.). — Micromafios source d'ions multichargés basée sur la résonance cyclotronique des électrons	535 535 545 453 363 595 1383 -1261 1193 1261 1193

Leprince (P.). — Voir Moisan (M.) Leprince (P.). — Voir Spyrou (N.) Mattioli (M.). — Voir Breton (C.) Milleon (H.). — Voir Spyrou (N.) Moisan (M.), Pantel (R.), Ricard (A.), Glaude (V. M. M.),	1383 1459 1193 1459	Hennequin (JF.). — Voir Inglebert (RL.) Herzog (R. F.). — Voir Caron (F.) Inglebert (RL.) et Hennequin (JF.). — Transmission d'un filtre de masse quadrupolaire. II. — Calcul de la transmission globale d'un spectromètre quadru-	1489 1267
Leprince (P.) et Allis (W. P.). — Distribution radiale de la densité électronique et de la densité des atomes excités dans une colonne de plasma produite par une onde de surface	1383	polaire	1489 919 61
Möller (P. A.). — Voir Galiouna Nassiopoulos (A.). 1529 Pantel (R.). — Voir Moisan (M.)	9-1543 1383 995	déchargeur électrostatique pour hélicoptère Lebeau (C.). — Voir Pinel (J.) Le Beyec (Y.), Della Negra (S.), Deprun (C.), Vigny (P.) and Ginot (Y. M.). — Mass determination of molecules of biological interest by fast heavy ions induced	81 75
 I. — Fixation de l'azote dans le système N₂-CH₄ Rapakoulias (D.), Cavadias (S.) et Amouroux (J.). — Processus catalytiques dans un réacteur à plasma hors d'équilibre. II. — Fixation de l'azote dans le système N₂-O₂	1251	desorption mass spectrometry Le Coze (J.). — Voir Rogez (J.) Leisure (R. G.) and Prieur (J. Y.). — An improved interferometer for ultrasonic attenuation or velocity measu-	1631 341
Ricard (A.). — Voir Moisan (M.) Septier (A.). — Voir Galiouna Nassiopoulos (A.). 1529 Spyrou (N.), Leprince (P.) et Milleon (H.). — Description d'une décharge impulsionnelle transverse. Application		Marquestaut (E.). — Voir Dordor (P.) Martin (C.) et Fauchais (P.). — Mesure par thermographie infrarouge de l'émissivité de matériaux bons conducteurs de chaleur. Influence de l'état de surface,	781 1607
au laser N ₂	1459	de l'oxydation et de la température	1469
INSTRUMENTATION		domaine de température (77 K-380 K) et dans l'inter- valle continu de fréquence (500 Hz-1 MHz)	1563
Audiffren (M.) et Bardon (J.). — Chauffage à faible temps de montée d'une pointe d'émission de champ Bardon (J.). — Voir Audiffren (M.)	353 353	Moliton (J. P.). — Voir Moliton (A.) Nadeau (A.). — Voir Petit (J.) Nevot (L.) et Croce (P.). — Caractérisation des surfaces	1563 919
Baril (M.). — Voir Berger (C.)	61	par réflexion rasante de rayons X. Application à l'étude du polissage de quelques verres silicates	761 1267
de cylindres de même rayon et à charge d'espace nulle	61	(N.). — Réalisation d'un caisson hermétique pour	010
Blasquez (G. A.). — Une méthode de mesure simple et directe du facteur de bruit pour les amplificateurs et		essais dynamiques Pinel (J.), Lebeau (C.) et Raboutou (A.). — Mesures auto-	919
les transistors	1007	matisés de chaleur spécifique à basse température Piquet (A.), Roux (H.), Pralong (G.) et Dupin (J. P.). —	75
recette simple pour accroître aux basse fréquences l'efficacité d'un asservissement linéaire	1275	Dosage d'une couche adsorbée sur une pointe à émission de champ à l'aidè de méthodes de micro-analyse nucléaire (Pd ou C adsorbé sur W)	67
Bouchiat (M. A.), Pottier (L.) and Trenec (G.). — A cesium cell with laser beam multipass	785 1553	Popescu (I. M.). — Voir Stanciu (Gh. A.) Pottier (L.). — Voir Bouchiat (M. A.)	55 785
Carles (C.). — Voir Treffé (F.)	1409	Pottier (L.). — Voir Bouchiat (M. A.) Pralong (G.). — Voir Piquet (A.) Prieur (J. Y.). — Voir Leisure (R. G.)	1275 67 781
Herzog (R. F.). — A high resolution multipurpose FT nmr spectrometer	1267	Raboutou (A.). — Voir Pinel (J.)	75 919
Clouqueur (A.). — Voir Bouchiat (M. A.) Coles (H. J.). — Voir Duval (M.) Condat (R.). — Voir Gazanhes (C.)	1275 1399 1553	Ranganathan (N.). — Voir Petit (J.)	717
Croce (P.). — Voir Nevot (L.) Decossas (F.). — Voir Moliton (A.) Della Negra (S.). — Voir Le Beyec (Y.) Deprun (C.). — Voir Le Beyec (Y.)	761 1563 1631 1631	1 800 K) Roux (H.). — Voir Piquet (A.) Stanciu (Gh. A.), Popescu (I. M.) et Stoichita (C. M.). — Un système à commande digitale pour l'étude des dis-	341 67
Dordor (P.), Marquestaut (E.) et Villeneuve (G.). — Dispositif de mesures du pouvoir thermoélectrique sur des	1607	positifs semiconducteurs par le balayage d'un faisceau de lumière laser	55
échantillons très résistants entre 4 et 300 K Dupin (J. P.). — Voir Piquet (A.) Duval (P.). — Problèmes pratiques posés par la production du vide dans les systèmes d'attaques sous plasma	67	Stoichita (C. M.). — Voir Stanciu (Gh. A.)	55
et L.P.C.V.D	1479	rapide d'un spectre lumineux Trenec (G.). — Voir Bouchiat (M. A.) Vigny (P.). — Voir Le Beyec (Y.) Villeneuve (G.). — Voir Dordor (P.)	785 1631 1607
meter for polymer characterization Fauchais (P.). — Voir Martin (C.)	1399 1469	ADDENDUM	
Felici (N.). — Voir Larigaldie (S.)	81	Baticle (A. M.). — Voir Sculfort (J. L.) Sculfort (JL.) et Baticle (AM.). — Etude expérimentale	1571
Gazanhes (C.), Calaora (A.) et Condat (R.). — Mesure de rugosité par interférométrie acoustique et corrélation de « speckles »	1553	des réactions de transfert de charges sur électrodes semiconductrices : oxydoréduction des anions com-	
Ginot (Y. M.). — Voir Le Beyec (Y.)	1631	plexes M(CN) ³ - ¹⁴ - sur des électrodes de tellurure de	1571
Gueron (M.). — Voir Caron (F.)	1267	zinc et de cadmium	1571



International Conference on Mössbauer Spectroscopy

Portorož (Yugoslavia), 1979

ABD-ELMEGUID (M.M.), MICKLITZ (H.) and BUSCHOW (K.J.H.) High pressure Mössbauer studies on 151Eu in selected Eu intermetallic compounds	BALOGH (J.), DEZSI (I.), FOGARASSY (F.), GRANASSY (L.), NAGY (D.L.), VINCZE (I.) and ARAJS (S.) In- fluence of atomic substitution on short range order in amor- phous Fe _{8 4} B _{16-x} C _x	
(L.J.), KOBZHASOV (A.K.) and AB-DRAKHMANOVA (D.K.) Mössbauer study of thermal decomposition processes of pycite-bearing polymetallic-Ores	BALTRUNAS (D.) Voir AMULEVICIUS (A.)	27
ABDRAKHMANOVA (D.K.) Voir ABISHEV (D.N.)	BARA (J.J.), STADNIK (Z.M.), CZJ- ZEK (G.), FINK (J.) OESTREICH (V.) and SCHMIDT (H.) ⁵⁷ Fe and ⁶¹ Ni Mössbauer effect inves- tigations of nickel ferrite- aluminates	
phous polymer polymethyl-methacrylate	BARA (J.J.) and GOGAZC (B.F.) So- me unconventional aspects of the nuclear resonance scattering of	
AMIRKHANOV (Kh.J.), ANOKHINA (L.K.) and CHALABOV (R.I.) On the pos- sibility of applying the Fe ⁵⁷	gamma rays	3
isotope to geochronology C1-413 AMTHAUER (G.), GRODZICKI (M.), HAF- NER (S.S.), MARATHE (V.R.) and TRAUTWEIN (A.X.) Calculation	laxation phenomena in M_3^I Fe $(C_2O_4)_3$ XH_2O $(M^I = Li, Na, K, Rb, Cs, NH_4)$	7
of hyperfine parameters in some garnets	BARB (D.), CONSTANTINESCU (S.) Mössbauer spectroscopy investi- gations of phase-transitions in ferroelectrics	
BRODIN (I), FREIK (D.), MAKA- RIUNAS (K.) and SOLONICHNYJ (J.) Mössbauer study of re- sistivity to oxidation of thin	BARB (D.), CONSTANTINESCU (S.), ZHELUDEV (I.S.) and IARMUHAME- DOV (I.N.) Magnetic hyperfine interactions in Ni _{0.6} Fe _{2.4} -I	
films Sn _{1-X} Pb _X Te and Sn _{1-X} Pb _X Se C1-327 ANOKHINA (L.K.) Voir AMIRKHANOV	boracite	
(Kh.J.) C1-413 ARAJS (S.) Voir BALOGH (J.) C1-253	BATAIL (P.) Voir MARIOT (J.P.) C1-319	9
ARENTS (K.A.) Voir MAKSIMOV (Yu.V.)	BAUMINGER (E.R.), LEVY (A.) LABEN- SKI DE KANTER (F.), OFER (S.) and HEITNER-WIRGUIN (C.) MÖSS-	
ASTRUC (P.) Voir MARIOT (J.P.) C1-319	bauer spectra of iron nafion mem- branes	9
AURIC (P.), CHAPPERT (J.), BANDYO- PADYAY (A.K.) and ZARZYCKI (J.) Mössbauer study of crystalli- te formation in basalt glass ceramics	BAUMINGER (E.R.), COHEN (S.G.), LABENSKI DE KANTER (F.), LEVY (A.), OFER (S.) and ROTTEM (S.) Evidence for the occurence of a universal type of iron sto- rage in prokaryotic cells : bac- teria and mycoplasmas	1
BACK (P.J.) Voir PRICE (D.C.) C1-263 BAINES (J.A.) Voir GUPTA (G.P.) C1-187 BALOGH (J.) Voir VINCZE (I.) C1-257 BALOGH (J.), FAIGEL (Gy.), TEGZE	BECKHOFF (H.), PAFFE (J.) and DUEL- BERG (R.) A ⁶⁷ Zn spectrometer using a double frequency inter- ferometer for absolute velocity	0
(M.), KEMENY (T.), SCHAAFSMA (A.S.), VINCZE (I.) and VAN DER WOUDE (F.) Comparison of the short-range order of amorphous and crystalline (Fe,Ni)Balloys C1-255	calibration	
	BELOGUROV (V.N.) and SENKOV (P.E.) The state of the impurity iron cations in Linb03	5

BERLIN(H.) and SCHMAND (J.) Time dependence of Ec- After effects in cobalt sulphate measured by	Lamb- Mössbauer factor of finely dispersed SnO ₂
time differential Mössbauer coin- cidence technique	CADEVILLE (M.C.), FRIEDT (J.M.), MAURER (M.) and SANCHEZ (J.P.) - Interactions and precipita-
BERNHARDT (F.M.) Voir BILL (E.) C1-485	tions in dilute ternary Fe SbM alloys (M=Ti, V, Cr, Mn, Co and
BERNIER (J.C.) Voir FRIEDT (J.M.).C1-273	Ni)
BILINKIN(V.A.) Voir BELOGUROV (V.N.)	CALIS (G.H.) and TROOSTER (S.M.) 57Fe Mössbauer measurements in high magnetic fields : A study
THE (V.R.) and TRAUTWEIN (A.)	of magnetic phase transitions in FeI ₂
Mössbauer study of a new type of Fe-S protein in different	CAMPBELL (S.J.) Voir PRICE (D.C.).C1-263
oxidation states	CAPPONI (J.J.) Voir MEYER (C.) C1-191
BIRCHALL (T.) and RUEBENHAUER (K.) $^{12.9}$ I transferred magnetic hyperfine field in the β -Iron telluride (Fe _{1+$\dot{\chi}$} Te)	CEREZE (A.) and VARRET (F.) Asymmetrical quadrupole spectra of Fe(H ₂ O) ²⁺ . In crystals and frozen aqueous solutions
BLAAUW (C.), STROINK (G.) and LEIPER (W.) Mössbauer analy-	CHALABOV (R.I.) Voir AMIRKHANOV
sis of talc and chlorite C1-411	(Kh.J.) C1-413
BLAISE (A.) Voir BOGE (M.) C1-167	CHAMBAERE (D.) Voir DE GRAVE (E.). C1-407
BLACKEMORE (R.P.) Voir FRANKEL	CHARDEDT (I) Wärshauer groot too.
(R.B.)	CHAPPERT (J.) Mössbauer spectros- copy and complementary techni- ques: exafs and µSR
(G.J.)	CHAPPERT (J.) Voir AURIC (P.) C1-277
BOGE (M.), CHAPPERT (J.), BLAISE (A.), FOURNIER (J.M.), DAMIEN	CHAPPERT (J.) Voir CHAVEZ-RIVAS C1-275
(D.), REBIZANT (J.) and SPIRLET	CHAPPERT (J.) Voir BONVILLE (P.). C1-235
(J.C.) Magnetic properties of Np As ₂	CHAPPERT (J.) Voir BOGE (M.) C1-167
BOGNER (L.), PARAK (F.) and GER- SONDE (K.) Mössbauer effect, ESR and magnetic susceptiblity investigations of ferredoxin	CHAVEZ-RIVAS (F.), REGNARD (J.R.) and CHAPPERT (J.) Mössbauer study of natural glasses: Lipari and teotihuacan obsi- dians
SONDE (K.) Mössbauer effect, ESR and magnetic susceptiblity investigations of ferredoxin from clostridium pasteurianum Cl-483	and CHAPPERT (J.) Mössbauer study of natural glasses: Lipari and teotihuacan obsi- dians
SONDE (K.) Mössbauer effect, ESR and magnetic susceptiblity investigations of ferredoxin	and CHAPPERT (J.) Mössbauer study of natural glasses: Lipari and teotihuacan obsidians
SONDE (K.) Mössbauer effect, ESR and magnetic susceptiblity investigations of ferredoxin from clostridium pasteurianum C1-483 BONCHEV (T. S.) Voir TSANKOV (L.)	and CHAPPERT (J.) Mössbauer study of natural glasses: Lipari and teotihuacan obsidians
SONDE (K.) Mössbauer effect, ESR and magnetic susceptiblity investigations of ferredoxin from clostridium pasteurianum C1-483 BONCHEV (T. S.) Voir TSANKOV (L.)	and CHAPPERT (J.) Mössbauer study of natural glasses: Lipari and teotihuacan obsidians
SONDE (K.) Mössbauer effect, ESR and magnetic susceptiblity investigations of ferredoxin from clostridium pasteurianum C1-483 BONCHEV (T. S.) Voir TSANKOV (L.)	and CHAPPERT (J.) Mössbauer study of natural glasses: Lipari and teotihuacan obsidians
SONDE (K.) Mössbauer effect, ESR and magnetic susceptiblity investigations of ferredoxin from clostridium pasteurianum C1-483 BONCHEV (T. S.) Voir TSANKOV (L.)	and CHAPPERT (J.) Mössbauer study of natural glasses: Lipari and teotihuacan obsidians
SONDE (K.) Mössbauer effect, ESR and magnetic susceptiblity investigations of ferredoxin from clostridium pasteurianum C1-483 BONCHEV (T. S.) Voir TSANKOV (L.)	and CHAPPERT (J.) Mössbauer study of natural glasses: Lipari and teotihuacan obsidians
SONDE (K.) Mössbauer effect, ESR and magnetic susceptiblity investigations of ferredoxin from clostridium pasteurianum C1-483 BONCHEV (T. S.) Voir TSANKOV (L.)	and CHAPPERT (J.) Mössbauer study of natural glasses: Lipari and teotihuacan obsidians
SONDE (K.) Mössbauer effect, ESR and magnetic susceptiblity investigations of ferredoxin from clostridium pasteurianum C1-483 BONCHEV (T. S.) Voir TSANKOV (L.)	and CHAPPERT (J.) Mössbauer study of natural glasses: Lipari and teotihuacan obsidians
SONDE (K.) Mössbauer effect, ESR and magnetic susceptiblity investigations of ferredoxin from clostridium pasteurianum C1-483 BONCHEV (T. S.) Voir TSANKOV (L.)	and CHAPPERT (J.) Mössbauer study of natural glasses: Lipari and teotihuacan obsidians
SONDE (K.) Mössbauer effect, ESR and magnetic susceptiblity investigations of ferredoxin from clostridium pasteurianum C1-483 BONCHEV (T. S.) Voir TSANKOV (L.)	and CHAPPERT (J.) Mössbauer study of natural glasses: Lipari and teotihuacan obsidians
SONDE (K.) Mössbauer effect, ESR and magnetic susceptiblity investigations of ferredoxin from clostridium pasteurianum C1-483 BONCHEV (T. S.) Voir TSANKOV (L.)	and CHAPPERT (J.) Mössbauer study of natural glasses: Lipari and teotihuacan obsidians
SONDE (K.) Mössbauer effect, ESR and magnetic susceptiblity investigations of ferredoxin from clostridium pasteurianum C1-483 BONCHEV (T. S.) Voir TSANKOV (L.)	and CHAPPERT (J.) Mössbauer study of natural glasses: Lipari and teotihuacan obsidians
SONDE (K.) Mössbauer effect, ESR and magnetic susceptiblity investigations of ferredoxin from clostridium pasteurianum C1-483 BONCHEV (T. S.) Voir TSANKOV (L.)	and CHAPPERT (J.) Mössbauer study of natural glasses: Lipari and teotihuacan obsidians
SONDE (K.) Mössbauer effect, ESR and magnetic susceptiblity investigations of ferredoxin from clostridium pasteurianum C1-483 BONCHEV (T. S.) Voir TSANKOV (L.)	and CHAPPERT (J.) Mössbauer study of natural glasses: Lipari and teotihuacan obsidians
SONDE (K.) Mössbauer effect, ESR and magnetic susceptiblity investigations of ferredoxin from clostridium pasteurianum C1-483 BONCHEV (T. S.) Voir TSANKOV (L.)	and CHAPPERT (J.) Mössbauer study of natural glasses: Lipari and teotihuacan obsidians
SONDE (K.) Mössbauer effect, ESR and magnetic susceptiblity investigations of ferredoxin from clostridium pasteurianum C1-483 BONCHEV (T. S.) Voir TSANKOV (L.)	and CHAPPERT (J.) Mössbauer study of natural glasses: Lipari and teotihuacan obsidians
SONDE (K.) Mössbauer effect, ESR and magnetic susceptiblity investigations of ferredoxin from clostridium pasteurianum C1-483 BONCHEV (T. S.) Voir TSANKOV (L.)	and CHAPPERT (J.) Mössbauer study of natural glasses: Lipari and teotihuacan obsidians

COUSSEMENT (R.) Voir DE BRUYN (J.)	DEZSI (I.), COUSSEMENT (R.), LAN- GOUCHE (G.), MOLNAR (B.), NAGY (D.L.) and DE POTTER (M.) On the localization of Co atoms in
COUSSEMENT (R.) Voir LANGOUCHE	silicon C1-425
(G.)	DEZSI (I.) Voir BALOGH (J.) C1-253
CRUZ (C.) Voir WIESER (E.) C1-365	DEZSI (I.) Voir LANGOUCHE (G.) C1-421
CZAKO-NAGY (I.) Voir LEIDHEISER (H.Jr.)	DIAMANDESCU (L.) Voir BARB (D.). C1-227
CZJZEK (G.) Voir BARA (S.J.) C1-173	DICKSON (D.P.E.) Voir GUPTA (G.P.) C1-187
DAFNI (E.) Voir VAPIREV (E.) C1-473	DICKSON (D.P.E.), HELLER-KALLAI (L.)
DAMGAARD (S.) Voir PETERSEN (J.W.) C1-443	and ROZENSON (I.) Mössbauer spectroscopic studies of humic acid and fulric acid soil frac-
DAMGAARD (S.), PETERSEN (J.W.) and WEYER (G.).— Annealing and stripping studies on ^{5 7} Fe in silicon	tions
DAMGAARD (S.), PETRIKIN (Yu.V.), ORON (M.), PETERSEN (J.W.) and WEYER (G.) Laser implantation of Fe in silicon C1-423	Mössbauer study of the ion- chromium type catalyst for CO conversion under the reaction conditions
DAMIEN (D.) Voir BOGE (M.) C1-167	DIXON (N.S.), FRITZ (L.S.), MAHMUD
DANCE (J.M.) Voir MENIL (F.) C1-271	(Y.), TRIPLETT (B.B.), HANNA (S.S.) and VON EYNATTEN (G.)
DANON (J.) Voir SCORZELLI	Electronic relaxation in rare earth metals and alloys. A non-
(R.B.)	kramers example: Tm ³⁺
DANON (J.), SCORZELLI (R.B.) and AZEVEDO (I.S.) Mössbauer stu-	DIXON (N.S.) Voir LANGOUCHE (G.). C1-445
dies of the Fe-Ni ordered phase (superstructure LIo) in meteo-	DOERFLER (R.) Voir ZIMMERMANN
rites C1-363	(R.) C1-107
DAUTOV (L.M.), KASYMBALINOV (R.N.), KAIPOV (D.K.) and KADYKENOV (M.M.) Isomer and isotope shifts in spherical nuclei on	DORMANN (J.L.), MERCERON (T.), RE- NAUDIN (P.) and BRABERS (V.A.M.) Mössbauer studies of Fe _{3-X} Mg _X O ₄ : Appearance of Verwey
the basis of the theory of fi- nite Fermi systems C1-141	transition
DE BATIST (R.) Voir DE GRAVE	of substituted lithium ferrites
(E.)	DRAGCEVIC (Z.) Voir MUSIC (S.) C1-305
DE BRUYN (J.) Voir VAN ROSSUM (M.)	DRAGUNAS (A.) Voir VAICIULIENE
DE BRUYN (J.). LANGOUCHE (G.),	(0.) C1-321
VAN ROSSUM (M.), DE POTTER (M.)	DRAGUNAS (A.) Voir MAKARIUNAS (K.)
and COUSSEMENT (R.) Laser an- nealing of Te implanted in	DRENTJE (S.A.) Voir KEMERINK
silicon C1-433	(G.J.) C1-435
DE BRUYN (J.) Voir LANGOUCHE (G.)	DROFENIK (M.) and HANZEL (D.) Cha- racterisation of Sr ₂ Fe Eu O ₅ by
DE GRAVE (E.), VAN ISEGHEM (P.),	Mössbauer spectra of ⁵⁷ Fe C1-301
DE BATIST (R.) and CHAMBAERE	DRWIEGA (M.) Voir KOWALSKI (I.) C1-451
(D.) Mössbauer spectroscopic study of some complexe $M_2O-MO-M_2O_3$ -SiO ₂ glasses	DUBOIS (J.M.), LE CAER (G.), AMAMOU (A.) and HEROLD (U) Mössbauer study of amorphous Fe-B, (Fe,Ni)
DE GRAVE (E.) Voir VANLEERBERGHE (R.) C1-179	SiB, (Fe,Ni)PB alloys C1-247 DUELBERG (R.) Voir BECKHOFF (H.). C1-119
DE GRAVE (E.), VOCHTEN (R.), DES-	DUNCAN (S.W.), SEMPER (R.J.), OWENS
SEYN (H.) and CHAMBAERE (D.) Analysis of some oxidized vi- vianites	(A.H.) and WALKER (J.C.) Möss- bauer spectroscopic studies of magnetic properties of ultra-thin
DEHE (G.) Voir MELZER (K.) C1-181	ferromagnetic films
DERIU (A.) Voir ALBANESE (G.) C1-133	EVANS (B.J.) Voir VOGEL (R.) C1-297
DESSEYN (H.) Voir DE GRAVE (E.). C1-407	EVANS (B.J.) Voir GALLIE (D.) C1-289
DEZSI (I.) Voir NAGY (D.L.) C1-283	EVANS (E.H.) Voir RUSH (J.D.) C1-481
DEZSI (I.) Mössbauer studies of implanted atoms	

	C \ C \ C \ C \ C \ C \ C \ C \ C \ C \
EVANS (M.C.W.) Voir RUSH (J.D.) C1-481	GAL (S.), MOSER (J.), WORTMANN (G.) DE NOVION (C.), SPIRLET (J.C.)
FAIGEL (Gy) Voir BALOGH (J.) C1-255	and KALVIUS (G.M.) High pres-
FANO (V.), MANIEZZI (E.) and ORTAL-	sure studies with the 237 Np(60)
LI (I.) Mössbauer studies of	resonance magnetic properties in
system Sn _{1-X} Ge _X Te C1-325	NpCo ₂ Si ₂
FEREY (G.) Voir HENRY (M.) C1-279	GALLIE (D.), VOGEL (R.H.) and EVANS
FINK (J.) Voir BARA (J.J.) C1-173	(B.J.) ⁵⁷ Fe Mössbauer investigation of local structures in
FISCHER (H.) Voir WILLEMS (H.) C1-487	mixed-valence Fe ₂ F ₅ .7H ₂ O and its
	agueous oxidation products, α-and
FITZSIMMONS (B.W.) Mössbauer spectroscopic studies of molecular	β-FeF ₃ .3H ₂ O
motion in solids	GANCEDO (J.R.), GRACIA (M.) and
FLEISCH (J.) GRIMM (R.), GRÜBLER	HERNANDEZ (A.) Mössbauer spec-
(J.) and GÜTLICH (P.) Determi-	troscopy study of iberian pottery
nation of the aluminum content	GANGULI (P.) and HASSELBACH (K.M.)
of natural and synthetic alumo- goethites using Mössbauer-spec-	The origin of the EFG in pen-
troscopy	ta coordinated Fe (III) dithio-
FOGARASSY (F.) - Voir BALOGH (J.) C1-253	carbamates exhibiting interme- diate and low spin ground states.C1-317
FONER (S.) Voir PAPAEFTHYMIOU	
(G.C.)	GANGULI (P.) and GÜTLICH (P.) In- vestigations of the spin crosso-
FONTCUBERTA (I.) Voir TEJADA	ver in Fey M _{1-X} (phen) ₂ (NCS) ₂
(J.) C1-461	(M=Mn, Co, Ni)
FORSTER (A.), POTZEL (W.) and KAL-	GARCIN (C.) Voir BONVILLE (P.) C1-235
VIUS (G.M.) Investigation of Zinc compounds with the 93.3	GARCIN (C.) Voir BONVILLE (P.) C1-237
keV Mössbauer transition in ⁶⁷ Zn C1-307	GARG (R.), VISHWAMITTER, GUPTA (V.
	P.) and GARG (V.K.) Mössbauer electric field gradient and mean
FOURNES (L.) Voir MENIL (F.) C1-271	square displacement in naturally
FOURNIER (J.M.) Voir BOGE (M.) C1-167	occuring FeS2 (pyrite) single
FRACKOWIAK, MORAWIEC (H.) PANEK (T.J.) and UHLIG (M.R.) Möss-	crystals
bauer effect study of K-effect	GARG (V.K.) Voir GARG (R.) C1-355
in Ni-Fe-Mo alloy C1-373	GARSANOV (I.Ya), LABUSHKIN (V.G.)
FRANKEL (R.B.), WOLFF (T.E.), PO-	and MAKAROV (E.F.) The appli-
WER (P.P.) and HOLM (R.H.)	cation of Mössbauer cassiterite analyser for the approximate ana-
Electronic properties of Molyb- denum-iron-sulfur-clusters:	lysis of tin containing ores of
approaches to the molybdenum	mixed composition C1-417
site in nitrogenase C1-495	GAUBMAN (E.E.) Voir WAGNER (F.M.).C1-261
FRANKEL (R.B.) Voir PAPAEFTHYMIOU	GAUBMAN (E.E.) Voir KRUPYANSKII
(G.C.)	(Yu.F.)
Magnetotaxis in bacteria C1-38	GENERALOV (O.N.) Voir VOITKOVSKII
FREEMAN (A.J.), WANG (C.S.), KRA-	(Yu.B.) C1-289
KAUER (H.) and POSTERNAK (M.)	GERADU (E.) Voir HANNON (J.P.) C1-59
Electronic structure of surfaces, surface magnetism and surface	GERSONDE (K.) Voir BOGNER (L.) C1-483
phase transitions	GETTNER (L.) Voir LANGOUCHE (G.). C1-445
FREIK (D.) Voir AMULEVICIUS (A.).C1-327	GETTYS (W.L.) and STEVENS (J.G.) -
FRIEDT (J.M.), BONNENFANT (A.),	Isomer shift reference scales C1-137
LAVILLE (H.) and BERNIER (J.C.)	GETTYS (W.L.) Voir STEVENS (V.E.).C1-138
°'Fe hyperfine interaction	GHEZZI (C.) Voir ALBANESE (G.) C1-133
measurements in an iron concentrated oxide glass Fe ₂ O ₃ (30)	
BaO (45) B_2O_3 (25)	(0.0.) CI-II
FRIEDT (J.M.) Voir DE JESUS FIL-	GOLDANSKII (V.I.) and STUKAN (R.A.)
HO (M.F.)	- Mössbauer emission spectrosco- py studies of tunneling chemical
FRIEDT (J.M.) Voir CADEVILLE	relaxation
(M.C.) C1-371	GOLDANSKII (V.I.) Voir KRUPYANS-
FRITZ (L.S.) Voir DIXON (N.S.) C1-25	KII (Yu.F.)
GABRILOV (B.M.) and ZEMSKOV (B.G.)	GONSER (U.) Amorphous metals and
The influence of errors of	γ-Fe
velocity measurements on the results of Mössbauer spectra	GONSER (U.) Voir WILLEMS (H.) C1-487
fitting	GONSER (U.) Voir NASU (S.) C1-385

GONSER (U.) Voir INO (H.) C1-377	HANNON (J.P.), TRAMMEL (G.T.), MUEL-
GONSER (U.) Voir KRISCHEL (K.) C1-417	LER (M.), GERADU (E.), WINKLER
GOROBCHENKO (V.D.) Voir LITTERST	(H.) and RUFFER (R.) Impedance
(F.J.)	<pre>matched grazing incidence films : pure nuclear reflections, reso-</pre>
GOROBCHENKO (V.D.) Voir WAGNER	nant filtering of synchrotron
(W.)	radiation; and X-Ray interfero-
GRACIA (M.) Voir GANCEDO (J.R.) C1-401	metry
GRANASSY (L.) Voir BALOGH (J.) C1-253	HANZEL (D.) and SEVSEK (F.) The Fe ²⁺ chelate of hydrazinecarbo-
GREENBERG (B.) and ROTHBERG (G.M.)	xylic acid studied by the Möss-
An X Ray diffraction study	bauer effect C1-353
of the thermal motion of atoms	HANZEL (D.) Voir DROFENIK (M.) C1-301
in β-Tin	HANZEL (D.) Study of Sr Eu Fe O4
GRIMM (R.) Voir FLEISCH (J.) C1-169	and Sr Gd FeO ₄ by Mössbauer ef- fect
GRITZNER (G.) Voir WIESINGER	1600 01
(G.) C1-293	HARTMANN-BOUTRON (F.) Some new re-
GRODZICKI (M.) Voir AMTHAUER (G.)	sults in Mössbauer relaxation
GROS (Y.) Voir MEYER (C.) C1-191	theory C1-223
GRÖSSINGER (R.) Voir WIESINGER	HARTMANN-BOUTRON (F.) Voir MEYER (C.)
(G.)	HASSELBACH (K.M.) Voir GANGULI
GRÖSSINGER (R.) Voir STEINER	(P.)
(W.) C1-193	HEIDEMANN (A.) Voir WORTMANN (G.). C1-233
GRÜBLER (J.) Voir FLEISCH (J.) C1-169	HEINEMA (H.A.) Voir STEVENS
GUBBENS (P.C.M.) Voir VAN DER	(J.G.) C1-329
KRAAN (A.M.)	HEITNER-WIRGUIN (C.) Voir BAUMIN-
GUBBENS (P.C.M.) Voir VAN DER	GER (E.R.)
KRAAN (A.M.) C1-189	HELISTÖ (P.) and HIRVONEN (M.T.)
GUPTA (G.P.), BAINES (J.A.), COOPER	Studies of corrosive reactions on steel surfaces by polarimetric
(D.M.), DICKSON (D.P.E.) and JOHNSON (C.E.) Mössbauer spec-	Mössbauer spectroscopy C1-409
troscopic studies of dimensiona-	HELLER-KALLAI (L.) Voir DICKSON
lity and spin reduction effects in the antiferromagnetic sys-	(D.P.E.)
tems: (AF) _n -FeF ₃	HENKE (J.) Voir WIESER (E.) C1-279
GUPTA (V.P.) Voir GARG (R.) C1-355	HENRY (M.), VARRET (F.), TEILLET (J.),
GÜTLICH (P.), RUMMEL (H.) and SPIE-	FEREY (G.), MASSENET (O.) and COEY (J.M.D.) Mössbauer study
RING (H.) 61Ni Mössbauer-effect	of amorphous FeIII fluorides C1-401
studies of the ferrimagnetic spi- nel Ni Cr ₂ O ₄ in an applied ma-	HERNANDEZ (A.) Voir GANCEDO
gnetic field	(J.R.) C1-247
GÜTLICH (P.) and KÖPPEN (H.) 57Fe	HEROLD (U.) Voir DUBOIS (J.M.) C1-209
Mössbauer emission spectroscopy	HILSCHER (G.) Voir WIESINGER (G.). C1-389
of an Iron (II) complex with temperature dependent spin sta-	HIRVONEN (M.T.) Voir HELISTÖ (P.). C1-495
te	HOLM (R.H.) Voir FRANKEL (R.B.) C1-495
GÜTLICH (P.) Voir GANGULI (P.) C1-313	HOLM (E.J.) Voir PAPAEFTHYMIOU
GÜTLICH (P.) Voir FLEISCH (J.) C1-169	(G.C.) C1-493
HAFERL(R.), STEINER (W.) and ORT-	HOY (G.R.) and CORSON (M.R.) Ob-
BAUER (H.) Magnetic field de-	servation of critical fluctua- tions using Mössbauer spectros-
pendence of the 57Fe hyperfine	copy
interaction in Y $(Fe_{0.1} Co_{0.9})_2$ and $(Ho_{0.1} Y_{0.9})$ $(Fe_{0.1} Co_{0.9})_2$ $C1-195$	HSIA YUAN-FU Voir DING YING-RU C1-341
HAFERL(R.) Voir STEINER (W.) Cl-193	HUCL (M.) Voir SITEK (J.) C1-403
HAFNER (S.S.) Voir AMTHAUER (G.). C1-291	IARMUHAMEDOV (I.N.) Voir BARB
HAMON (J.R.) Voir MARIOT (J.P.) C1-319	(D.) C1-163
	IBRAGIMOV (Sh.Sh.) Voir ZHETBAEV
HANEDA (K.) Voir MORRISH (A.M.) C1-171	(A.K.)
HANNA (S.S.) Voir DIXON (N.S.) C1-25	IMBERT (P.) Voir BONVILLE (P.) C1-237
HANNA (S.S.) Voir LANGOUCHE (G.). C1-445	IMBERT (P.) Voir BONVILLE (P.) C1-235

IMSHENNIK (V.K.), SUZDALEV (I.P.),	KANSY (J.) Voir UHLIG (M.R.) C1-381
MAKSIMOV (Yu.V.) and LITTERST (F.J.) Peculiarities of the spin state and the distribution	KARCZEWSKI (G.), KOPCEWICZ (M.) and KOTLICKI (A.) Skin depth effect in the RF collapse stu-
of Fe ³⁺ in sodium borate glasses Cl-267	dies C1-21/
INABA (M.), NOMURA (K.) and UJIHIRA	KARCZEWSKI (G.) Voir KOPCEWICZ (M.) C1-215
(Y.) Sensitive area of a back- scatter-type gas flow detector	KASYMBALINOV (R.N.) Voir DAUTOV (L.M.)
for conversion electron Möss- bauer spectrometry C1-115	KATILA (T.), RISKI (K.J.) and YLÄ-
INO (H.), NASU (S.) and GONSER (U.) On the structure of iron-car-	JÄÄSKI (J.) Precision determination of the isomer shift of Zn-67 in ZnO
bon martensite	KAZOVA (R.A.) Voir VOITKOVSKII (Yu.B.)
IZGORODIN (A.K.) and SHIPKO (M.N.)	KAZOV (M.N.) Voir VOITKOVSKII
The study of phase composition of highly coercive alloys with Fe-Ni-	(Yu.B.)
Al-Co-Ti As the base by means of γ-resonance spectroscopy C1-369	KEMERINK (G.J.), BOERMA (D.O.), DE
JAGGI (N.K.) and RAO (K.R.P.M.) Backscaller Mössbauer spectrosco- py study of high-chromium high-	WAARD (H.), DE WIT (J.C.) and DRENTJE (S.A.) Mössbauer and channeling experiments on TeSi and SmSi
carbon (HCHC) and ferritic 403 steels	KEUNE (W.) Voir PFANNES (H.D.) C1-453
JANOT (Chr.) Voir PIECUCH (M.) C1-251	KEUNE (W.) Voir KRISCHEL (K.) C1-417
JAPA (St.), KROP (K.) and PRZY- BYLSKI (M.) Hyperfine inter-	KHLYSTOV (A.D.), BRODSKII (A.R.), NOSKOVA (N.F.) and SOKOLSKY (D.V.) Gamma-Resonance spec-
JEHANNO (G.) Voir BONVILLE (D.). C1-237	troscopy of Ziegler-Natta type homogeneous-heterogeneous cata-
DE JESUS FILHO (M.F.), FRIEDT	lysts
(J.M.) and SANCHEZ (J.P.) ⁵⁷ Fe absorption and emission spectroscopy in some cobalt acetyl - acetonate complexes [Co(acac) ₃ , Co(acac) ₂ , Co(acac) ₂ .2H ₂ O] C1-463	KIKKERT (P.J.) and NIESEN (L.) Crystal field of Dy implanted in Al obtained by Mössbauer spectro- scopy
JIN YONG-SHU Voir DING YING-RU C1-341	
JOHNSON (C.E.) Voir RUSH (J.D.). C1-481	KITAHARA (T.) Voir KOBAYASHI (T) C1-239
JOHNSON (C.E.) Voir GUPTA (G.P.) C1-187	KNUDSEN (J.E.) and MØRUP (S.) The influence of the demagnetizing field on the magnetic splitting
KADYKENOV (M.M.) Voir DAUTOV (L.M.) C1-141	of Mössbauer spectra C1-155
KAINDL (G.) Voir PERSCHEID (B.). C1-139	KOBAYASHI (T.) and KITAHARA (T.) Time dependent phenomena caused
KAIPOV (D.K.) Voir DAUTOV (L.M.) C1-141	by the Ec decays in Co^{2+} Fe (CN) $_{6}$ $_{3}$
KALKOWSKI (G.) Voir WORTMANN (G.)	KOBZHASOV (A.K.) Voir ABISHEV (D.W.)
KALVIUS (G.M.), SCHRECKENBACH	KOCH (F.B.) - Voir COHEN (R.L.) C1-349
<pre>(K.) and MAIER-KOMOR (P.) Calibration of isomer shifts in the heavy Rare Earth by</pre>	KOPCEWICZ (M.) and KARCZEWSKI (G.) Spin pinning effect in the
conversion electron spectros-	RF collapse studies
KALVIUS (G.M.) Voir FORSTER (A.).C1-307	LIPSKA (M.) Mössbauer study of proton radiation effects in
KALVIUS (G.M.) Voir LITTERST	permalloy
(F.J.)	KOPCEWICZ (M.) Voir KARCZEWSKI (G.) C1-217
KALVIUS (G.M.) Voir WAGNER (F.M.)	KÖPPEN (H.) Voir GUTLICH (P.) C1-311
KALVIUS (G.M.) Voir WAGNER (W.). C1-261	KOSTIKAS (A.) Voir MARATHE (V.R.). C1-315
KALVIUS (G.M.) Voir LITTERST (F.J.)	KOTLICKI (A.) Voir KARCZEWISKI
KALVIUS (G.M.) Voir GAL (J.) C1-129	(G.)
KAMENOV (P.S.) Voir VAPIREV (E.). C1-473	111, 1 101 101 (II., 1 CT=419

KOWALSKI (J.), STANEK (J.), SAWICKA	LAUER (S.), MARATHE (V.R.) and
(B.D.), SAWICKI (J.A.) and	TRAUTWEIN (A.) Shielding of
DRWIEGA (M.) Cems of 57Fe im-	electric field gradients for
plants in alkali halides C1-451	various elements and electro-
KRAKAUER (M.) Voir FREEMAN (A.J.).C1-39	nic configurations C1-105
KREISLEROVA (Y.) Voir ZEMCIK (T) C1-361	LAUER (J.) Voir PFANNES (H.D.) C1-453
KREININ (S.M.) Voir VOITKOVSKII	LAUER (J.) Voir KRISCHEL (K.) C1-417
(Yu.B.)	LAVILLE (H.) Voir FRIEDT (J.M.) C1-273
KRISCHEL (K.), NASU (S.), GONSER	LE CAER (G.) Voir DUBOIS (J.M.) C1-247
(U.), KEUNE (W.), LAUER (J.) and WILLIAMSON (D.L.) Fe di-	LE FERER (H.Th.) Critical fluctuations in a 2D ising system Cl-241
mers and defects in Cu C1-417 KROP (K.) Voir JAPA (St.) C1-199	LEIDHEISER (H. Jr.), VERTES (A.),
KROP (K.) Voir ZUKROWSKI (J.) C1-359	CZAKO-NAGY (I.) and VARSANYI (M.) Mössbauer studies of
KRUPYANSKII (Yu.f.), PARAK (F.),	electroformed materials C1-351
GAUBMAN (E.E.), WAGNER (F.M.),	LEIDHEISER (H.Jr.) Provocative
GOLDANSKII (V.I.), MÖSSBAUER	questions in metal/solution
(R.L.), SUZDALEV (I.P.), LITTERST	reactions to which Mössbauer spectroscopy should be appliedC1-345
(F.J.) and VOGEL (H.) Investi- gation of the dynamics of metmyo-	LEIPER (W.) Voir BLAAUW (C.) C1-411
globin by Rayleigh scattering of Mössbauer radiation (RSMR) Cl-489	LEVY (A.) Voir BAUMINGER (E.R.). C1-329
	LEVY (A.) Voir BAUMINGER (E.R.) C1-491
KÜNDIG (W.) Voir MÜLLER (P.E.) C1-125	LINERT(W.) Voir WIESINGER (G.) C1-293
KURCHATOV (I.V.) Voir VOITOVETSKII (S.K.)	LIPSKA (M.) Voir KOPCEWICZ (M.) C1-419
	LITTERST(F.J.) Voir IMSHENNIK
LABENSKI DE KANTER (F.) Voir BAU- MINGER (E.R.)	(V.K.) C1-267
LABENSKI DE KANTER (F.) Voir BAU-	LITTERST (F.J.) Voir WAGNER (F.M.)
MINGER (E.R.)	LITTERST (F.J.), GOROBCHENKO (V.D.)
LABUSHKIN (V.G.), SARKISSYAN (V.A.) and SMIRNOV (E.V.) Dependence	and KALVIUS (G.M.) Alternati-
of Laue reflection of Mössbauer	ve explanation for Kondo-like deviations of the local magne-
radiation of magnetic field di-	tization from a free spin
rection in ⁵⁷ Fe BO ₃ single crystal	behaviour as found in dilute
tal	local moment systems C1-207
LABUSHKIN (V.G.) Voir GARSANOV	LITTERST (F.J.) Voir KRUPYANSKII (Yu.F.) C1-489
(I.Ya.)	LITTERST (F.J.), TEJADA (J.) and
LADRIERE (J.), MEYKENS (A.) and COGNEAU (J.) Isomer shift	KALVIUS (G.M.) Properties of
calibration of 129I and 127I	non crystalline EuIG and DyIG obtained from Mössbauer and
by life-time variations in the	magnetization measurements C1-281
electron-capture decay of 123I C1-131	LITTERST (F.J.) Voir POVITSKII
LANGOUCHE (G.) Voir VAN ROSSUM (M.)	(V.A.) C1-183
LANGOUCHE (G.), DIXON (N.S.), GET-	MAEDA (Y.) Voir WILLEMS (H.) C1-487
TNER (L.) and HANNA (S.S.)	MAEDA (Y.) Voir PFANNES (H.D.) C1-453
Recoil implantation Mössbauer on ⁵⁷ Fe in Ge in the presence	MAHMUD (Y.) Voir DIXON (N.S.) C1-25
of an external magnetic field C1-445	MAHNKE (H.E.) Voir VAPIREV (E.) C1-473
LANGOUCHE (G.), DE POTTER (M.), DE BRUYN (J.), VAN ROSSUM (M.),	MAIER-KOMOR (P.) Voir KALVIUS (G.M.) C1-61
COUSSEMENT (R.) and DEZSI (I.) Laser annealing of ⁵⁷ Co	MAKARIUNAS (D.) Voir AMULEVICIUS
sources implanted in Si and	(A.)
Ge C1-421	MAKARIUNAS (K.), MAKARIUNIENE (E.) and DRAGUNAS (A.) Complemen-
LANGOUCHE (G.) Voir DE BRUYN (J.)	tary data for isomer shift in-
LANGOUCHE (G.) Voir DEZSI (I.) C1-425	terpretation : chemical changes of the highly converted high
LAHODNY-SARC (O.) Voir MUSIC	multipolarity transitions pro- babilities
(S.) C1-305	MAKARIUNAS (K.) Voir VAICIULIENE
LASKOWSKI (E.J.) Voir PAPAEFTHY-	(0.)
MIOU (G.C.)	MAKARIUNIENE (E.) Voir MAKARIUNAS
	(K)

MAKAROV (E.F.) Voir GARSANOV (I.Ya.) C1-477	MEYER (C.), HARTMANN-BOUTRON (F.), GROS (Y.) and CAPPONI (J.J.)
MAKAROV (E.F.) Voir POVITSKII (V.A.)	Recent Mössbauer investigations on the RFe ₂ compounds C1-191
MAKSIMOV (Yu.V.) Voir IMSHENNIK	MEYKENS (A.) Voir LADRIERE (J.). C1-131
(V.K.)	MICHAUD (P.) Voir MARIOT (J.P.) C1-319
MAKSIMOV (Yu.K.), ARENTS (R.A.), SUIZDALEV (I.P.), YATSIMIRSKI	MICKLITZ (H.) Voir ABD-ELMEGUID (M.M.) C1-127
(V.K.) Structure and cataly- tical investigation of Fe-Mo	MIHAILA-TARABASANU (D.) Voir BARB (D.)
and Fe-Ni catalysts for ammonis synthesis	MOLNAR (B.) Voir DEZSI (I.) C1-425
MALYSHEVA (T.V.) The kinetics of	MONAHAN (J.E.) VOIR PERLOW
reduction of carbonaceous meteo- rites: Mössbauer study C1-405	(G.J.)
MANIEZZI (E.) Voir FANO (V.) C1-325	MORAWIEC (H.) Voir FRACKOWIACK
MARATHE (V.R.) Voir LAUER (S.) C1-105	(J.E.)
MARATHE (V.R.), TRAUTWEIN (A.) and KOSTIKAS (A.) Combined ⁵⁷ Fe	(0.)
and 129 I Mössbauer study of Fe (alkyl dithiocarbamate) ₂ $\chi(\chi =$	MORRISH (A.H.) and HANEDA (K.) Non-collinearity as a crystal- lite-size effect of γ-Fe ₂ O ₃
Cl,I)	small particles C1-171
MARATHE (V.R.) Voir AMTHAUER (G.).C1-291	MORRISH (A.H.) Voir SCHURER (P.J.)
MARATHE (V.R.) Voir BILL (E.) C1-485	MØRUP (S.), CLAUSEN (B.S.) and
MARCHAL (G.) Voir PIECUCH (M.) C1-251 MARIOT (J.P.); VARRET (F.), MICHAUD	TOPSØE (H.) Mössbauer studies
(P.), ASTRUC (D.), HAMON (J.R.),	of chemisorption of Co and H ₂ on small particles of metallic
ALTHOFF (G.) and BATAIL (P.) Mössbauer spectroscopic study of	iron
19 electron organometallic para-	MØRUP (S.) Voir KNUDSEN (J.E.) C1-155
magnetic sandwiches η^5 -C ₅ R ₅ Fe (I) η^6 -C ₆ R' ₆	MOSER (J.) Voir GAL (J.) C1-129
MASSENET (O.) Voir HENRY (M.) C1-279	MÖSSBAUER (R.L.) Voir KRUPYANSKII (Yu.T.) C1-489
MAURER (M.) Voir CADEVILLE	MÖSSBAUER (R.L.) Voir VAN BÜRCK
(M.C.)	(U.) C1-469
MEHNER (H.) VOIR MELZER (K.) C1-181	MUELLER (M.) Voir HANNON (J.P.). C1-59
MEHNER (H.), BERNDT (H.) and MEISEL (W.) On the applicability of Mössbauer spectroscopy in the	MÜLLER (P.E.) and KÜNDIG (W.) Calibration of the isomer shift of the two Mössbauer isotopes
field of friction, lubrication	127I and 129I
and wear (FLW)	MULLER (M.) Voir WIESER (E.) C1-365 MUSIC (S.), DRAGCEVIC (Z.), LAHO-
(J.G.)	DNY-SARC (0.), NAGY-CZAKO (I.) and VERTES (A.) Mössbauer ef-
tion of corrosion processes and products	fect study of some Yugoslav bauxites C1-305
produces	NAGY-CZAKO (I.) Voir MUSIC (S.). C1-305
MEISEL (W.) Voir MEHNER (H.) C1-395	NAGY (D.L.) Voir BALOGH (J.) C1-253
MELZER (K.), DEHE (G.) and MEHNER (H.) ⁵⁷ Fe and ¹¹⁹ Sn Mössbauer	NAGY (D.L.), BALOGH (J.), DEZSI
investigations of Fe_{3-X} Sn_X O_4 with x p to 0.3	(I.), RITTER (G.), SPIERING (H.) and VOGEL (H.) Ligand
MENIL (F.), FOURNES (L.), DANCE (J.M.) and VIDEAU (J.J.)	field calculation for the com- plex Fe(H ₂ O) ²⁺ in frozen aque- ous solution of Fe(ClO ₄) ₂ C1-283
Sodium iron fluorophosphite glasses Part.II. EPR and Möss-	NAGY (D.L.) Voir DEZSI (I.) C1-425
bauer resonance study C1-271	NAGY (D.L.) Voir PEEV (T.M.) C1-393
MENNENGA (G.) and NIESEN (L.) Mössbauer studies of ¹⁵⁵ Tb sour- ces produced by recoil implan-	NAHAON (N.), PERRICHON (V.), TUR- LIER (P.) and BUSSIERE (P.) A NGR study of iron catalysts
tation in iron and nickel C1-439	in CO hydrocondensation reactions
MERCERON (T.) Voir DORMANN (J.L.).C1-177	NASU (S.), GONSER (U.) and PRESTON
	(R.S.) Defects and phases of
	iron in aluminium

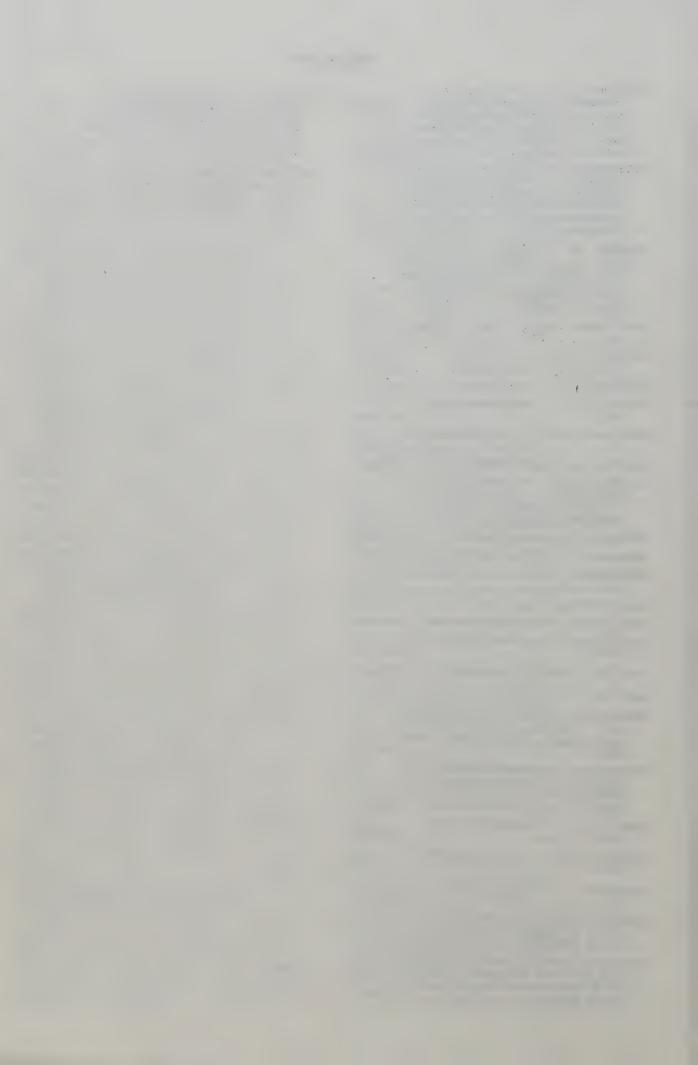
NASU (S.) Voir INO (H.) C1-377	PEEV (T.M.), IOVKOV (G.M.), VER-
NASU (S.) Voir KRISCHEL (K.) C1-417	TES (A.) and NAGY (S.) A Möss- bauer study of the interaction
NICOLINI (C.) and REIFF (W.M.) A Mössbauer spectroscopy study of	between α-ion and alumino- phosphate and alumino-chromo-
a structural phase transition	phosphate adhesives C1-393
in the Perovskite type layer- structure compound (CH3NH3)2 Fe-Cl4, A 2-D antiferromagnet C1-295	PERLOW (G.J.), MONAHAN (J.E.) and POTZEL (W.) Quantum beats of recoil-free γ-ra-
NICOLINI (C.) and REIFF (W.M.)	diation
Zero and high field Mössbauer	PERRICHON (V.) Voir NAHON (N.). C1-339
spectroscopy study of the ma- gnetic ordering and local coor-	PERSCHEID (B.) and KAINDL (G.)
dination environment of Fe ₂ (Po ₄)Cl C1-287	Electric quadrupole interaction of 178Hf in noncubic metals
NIELSEN (H.L.) Voir PETERSEN	PETERSEN (J.W.), DAMGAARD (S.),
(J.W.)	WEYER (G.), CHEVALLIER (J.)
NIESEN (L.) Voir KIKKERT (P.J.). C1-203	and NIELSEN (H.L.) Impurity
NIESEN (L.) Voir MENNENGA (G.) C1-439	defect structures of Sn, Sb and Te implanted α-Tin sin-
NOMURA (K.) Voir INABA (M.) C1-115	gle crystals C1-443
NOMURA (K.) Voir UJIHIRA (Y.) C1-391	PETERSEN (J.S.) Voir DAMGAARD
NOSKOVA (N.F.) Voir KHLYSTOV (A.S.)	(S.)
DE NOVION (C.) Voir GAL (J.) C1-129	PETERSEN (J.W.) Voir DAMGAARD (S.)
NOWIK (I) Voir SEH (M.)	PETRIKIN (Yu.V.) Voir DAMGAARD
OBRADORS (X.) Voir TEJADA (J.) C1-461	(S.)
ODEURS (J.), PATTYN (M.) and VER-	PFANNES (H.D.), LAUER (J.), KEUNE
BIEST (E.) Postimplantation effects on 133 XeW C1-449	(W.), MAEDA (Y.) and SAKAI (H.) - Influence of X-rays, light
effects on 133 XeW C1-449	and annealing on the Fe-charge-
ODEURS (J.) Voir VERBIEST (E.) C1-431	states in Li NbO ₃ :Fe C1-453
OESTREICH (V.) Voir BARA (J.J.). C1-173	PIECUCH (M.), JANOT (Chr.) and MARCHAL (G.) Charge transfer
OFER (S.) Voir BAUMINGER (E.R.). C1-329	and atomic volume effect in
OFER (S.) Voir BAUMINGER (E.R.). C1-491	Fe _X Sn _{1-X} amorphous alloys C1-251
OLIVA (H.) Voir TEJADA (J.) C1-461	PLEITER (F.) Voir SPIJKERVET (W.J.J.)
ORON (M.) Voir DAMGAARD (S.) C1-423	POSTERNAK (M.) Voir FREEMAN
ORTALLI (I.) Voir FANO (V.) C1-325	(A.J.)
ORTBAUER (H.) Voir HAFERL(R.) C1-195	DE POTTER (M.) Voir LANGOUCHE
OWENS (A.H.) Voir DUNCAN (S.W.). C1-213	(G.)
PAFFE (J.) Voir BECKHOFF (H.) C1-119	DE POTTER (M.) Voir DEZSI (I.). C1-425
PANEK (T.J.) Voir UHLIG (M.R.) C1-381	DE POTTER (M.) Voir DE BRUYN (J.)
PANEK (T.J.) Voir FRACKOWIAK (J.E.)	DE POTTER (M.) Voir VAN ROSSUM (M.) C1-447
PAPAEFTHYMIOU (G.C.), FRANKEL	POTZEL (W.) Voir FORSTER (A.) C1-307
(R.B.), FONER (S.), LASKOWSKI (E.J.) and HOLM (R.M.) Magne-	POTZEL (W.) Voir WAIBEL (F.) C1-231
tic properties of Fe, S, (SR,)	
clusters ·································	POTZEL (W.) Voir PERLOW (G.J.) C1-85
PARAK (F.) Voir KRUPYANSKII (Yu.F.)	POVITSKII (V.A.), LITTERS (F.J.) and MAKAROV (E.F.) Mössbauer study of the magnetic ordering
PARAK (F.) Voir WILLEMS (H.) C1-487	in the random garnets Ca3 (Fex
PARAK (F.) Voir BOGNER (L.) C1-483	$Cr_{2-X}) Ge_3 O_{12}$ (x=0.5, 1.0,1.5) C1-183
PARAK (F.) Determination of the	POWER (P.P.) Voir FRANKEL (R.B.).C1-495
static and dynamic structure of biomolecules C1-71	PRESTON (R.S.) Voir NASU (S.) C1-385
PASTERNAK (M.) and BARRETT (P.H.)	PRICE (D.C.), CAMPBELL (S.J.) and
- The interaction of naked	BACK (P.J.) Distribution of electric and magnetic hyperfine
iron atoms with small mole- cules	interactions in an amorphous
PATTYN (M.) Voir ODEURS (J.) C1-449	alloy C1-263
PATTYN (M.) VERBIEST (E.) C1-431	PRZYBYLSKI (M.) Voir JAPA (St.). C1-199
**** *** (***) * ****	

	1. 1. 1. 1. 1. 1. 1. 1. 1. 1. 1. 1. 1. 1
QIU JIN-HENG Voir DING YING-RU C1-341	SCHMAND (J.) Voir BERLIN (M.) C1-135
RAFAILOVICH (M.M.) Voir VAPIREV	SCHMIDT (H.) Voir BARA (J.J.) C1-173
(E.)	SCHNEEWEISS (O.), ZEMCIK (T.) and
RAO (K.R.P.M.) Voir JAGGI (N.K.). C1-379	ZAK (T.) Site preference of the 5 co impurites in the Fe ₃
RAZUMOVSKAYA (N.N.) Voir ABISHEV (D.N.)	(Si,Al) alloys Cl-3/3
REBIZANT (J.) Voir BOGE (M.) Cl-167	CCHOENBERG (I. N.) - Voir COHEN
REIFF (W.M.) Voir NICOLINI (C.). C1-287	(R.L.)
REIFF (W.M.) Voir NICOLINI (C.). C1-295	SCHRECKENBACH (K.) Voir KALVIUS (G.M.) C1-61
REGNARD (J.R.) Voir CHAVEZ-RIVAS	
(F.)	SCHURER (P.J.) and MORRISH (A.H.) Magnetic structure of some
REGNARD (J.R.) Voir BONVILLE (P.) £1-235	amorphous alloys C1-249
RENAUDIN (P.) Voir DORMANN (J.L.).C1-177	SCORZELLI (R.B.), SAITOVITCH
RISKI (K.Y.) Voir KATILA (T.) C1-121	(E.B.) and DANON (J.) Möss- bauer spectroscopy of electron
RITTER (G.) Voir NAGY (D.L.) C1-283	irradiation effects in ortho-
ROBBRECHT (G.G.) Voir VANLEERBER-	pyroxenes
GHE (R.)	SCORZELLI (R.B.) Voir DANON (J.) C1-363
RODRIGUEZ (J.) Voir TEJADA (J.). C1-461	SEH (M.), COHEN (S.) and NOWIK (I.) Origin of hyperfine
RODRIGUEZ (R.) Voir TEJADA (J.). C1-461	fields acting on 155Gd in
ROTHBERG (G.M.) Voir GREENBERG (B.)	$(Gd_{1-X})R_X)$ $(Co_{1-Y}M_Y)_5$ $(R=$ Rare Earth, M=Cu, N1,Pt) C1-201
ROTTEM (S.) Voir BAUMINGER (E.R.).C1-491	SEMIOSCHKINA (N.A.) Voir BÜRCK
ROZENSON (I.) Voir DICKSON	(U.)
(D.P.E.) C1-409	SEMPER (R.J.) Voir DUNCAN (S.W.) C1-213
RUEBENHAUER (K.) Voir BIRCHALL	SENKOV (P.E.) BELOGUROV (V.N.). C1-455
(T.)	SEGASINA (L.J.) Voir ABISHEV
RUFFER (R.) Voir HANNON (J.P.) C1-59 RUMMEL (H.) Voir GÜTLICH (P.) C1-185	(D.W.)
RUSH (J.D.), JOHNSON (C.E.), EVANS	SEVSEK (F.) Voir HANZEL (D.) C1-353
(E.H.) and EVANS (M.C.W.)	SHIMADA (M.) Voir SHINJO (T.) C1-157 SHINJO (T.), TAKANO (M.), TAGUCHI
Identification of menbrane bound ferredoxin-like centres in photo-	(H.) and SHIMADA (M.) Möss-
system I of bluegreen Algae by	bauer study of Fe ⁺⁺ in ferro-
Mössbauer and EPR spectroscopyC1-481	magnetic Sr Co O ₃ C1-157
SAITOVOTCH (E.B.) Voir SCORZELLI (R.B.) C1-459	SHIPKO (M.N.) Voir IZGORODIN (A.K.)
FAKAI (H.) Voir PFANNES (H.D.) C1-453	SHOKANOV (A.K.) Voir ZHETBAEV
SANCHEZ (J.P.) Voir DE JESUS	(A.K.)
FILHO (M.F.)	SIGUT (Z.) Voir ZEMCIK (T.) C1-383
SANCHEZ (J.P.) Voir CADEVILLE	SITEK (J.), HUCL (M.) and BREZINA (A.) A Mössbauer study of
(M.C.)	ancient Pottery iron eastern
EARKISSYAN (V.A.) Voir LABUSHKIN (V.G.)	slovakia
CARKULOV (J.M.) Voir VOITKOVSKII	SLAJS (Z.). Voir ZEMCIK (T.) C1-383
(Yu.B.)	SMIRNOV (E.V.) Voir LABUSHKIN
SAWICKA (B.D.) Residence site of	(V.G.) C1-471 SMIRNOV (G.V.) Voir VAN BÜRCK
iron implanted into metals C1-429	(U.)
GAWICKA (B.D.) Voir KOWALSKI (J.)	SOKOLOSKY (D.V.) Voir KHLYSTOV
FAWICKA (B.D.) Voir TYLISZCZAK	(A.S.)
(T.)	SOLONICHNYJ (J.) Voir AMULEVI- CIUS (A.)
SAWICKI (J.A.) Voir KOWALSKI	SPIERING (H.) Voir NAGY (D.L.). C1-283
(J.)	SPIERING (H.) Voir GÜTLICH (P.). C1-185
GAWICKI (J.A.) Voir TYLISZCZAK (T.) C1-117	SPIJKERVET (W.J.J.) and PLEITER
AZONOV (S.B.) Voir VOITOVSKII	(F.) - Calibration of the ico-
(V.K.)	mer shift of 129 I C1-123
CHAAFSMA (A.S.) Voir BALOGH	SPIRLET (J.C.) Voir BOGE (M.) C1-167
(J.) C1-255	SPIRLET (J.C.) Voir GAL (J.) C1-129

SPROUSE (G.D.) Voir VAPIREV (E.) C1-473	TRAUTWEIN (A.) Interpretation
STADNIK (Z.M.) Voir BARA (J.J.).C1-173	of data obtained from Möss- bauer, ESR, susceptibility,
STANEK (J.) Voir KOWALSKI (J.). C1-451	optical and XPS measurements. C1-95
STANEK (J.) Voir TYLISZCZAK (T.) C1-117	TRIPLETT (B.B.) Voir DIXON (N.S.)
STEINER (W.), HAFERL (R.) and GRÖS- SINGER (R.) Mössbauer and	TROOSTER (J.M.) Voir STEVENS (J.G.)
magnetic investigations of Y (Fe _x Al _{1-x}) ₂	TROOSTER (J.M.) Voir CALIS
STEINER (W.) Voir HAFERL (R.) C1-195	(G.H.) C1-165
STEVENS (J.G.), TROOSTER (J.M.) and MEINEMA (H.A.) Lone pair	TSANKOV (L.) and BONCHEV (T.S.) - The spectrum of the Möss- bauer radiation passed throu-
electrons and ¹²¹ Sb Mössbauer spectroscopy C1-323	gh a vibrating resonant me- dium
STEVENS (J.G.) Voir STEVENS	TURLIER (P.) Voir NAHON (N.) C1-339
(V.E.)	TYLISZCZAK (T.), SAWICKI (J.A.), STANEK (J.) and SAWICKA (B.D.)
(W.L.)	Mössbauer spectroscopy with electrons below 10 eV C1-117
STEVENS (V.E.), STEVENS (J.G.) and CETTYS (W.L.) Mössbauer effect data center-status re-	UHLIG (M.R.) Voir FRACKOWIAK (J.E.)
port C1-138	UHLIG (M.R.), KANSY (J.) and
STRAUSS (A.) Voir WAIBEL (F.) C1-231	PANEK (T.J.) Detailed Möss- auer study of age hardening
STROINK (G.) Voir BLAAUW (C.) C1-411	of Fe-Co-Cr-Mo maraging steel
STUKAN (R.A.) Voir GOLDANSKII (V.I.) C1-43	UJIHIRA (Y.) Voir INABA (M.) C1-115
SUZDALEV (I.P.) Voir IMSHENNIK	UJIHIRA (Y.) and NOMURA (K.)
(V.K.) C1-267	Chemical state analysis of
SUZDALEV (I.P.) Voir MAKSIMOV (Yu.V.) C1-337	corrosion products on steel surface by conversion elec- tron Mössbauer spectrometry
SUZDALEV (I.P.) Voir KRUPYANSKII (Yu.F.) C1-489	(CEMS)
TAGUCHI (H.) Voir SHINJO (T.) C1-157	VAICIULIENE (O.), MAKARIUNAS (K.), DRAGUNAS (A.) and MO-
TAKACS (L.) A systematical analysis of metallic glass Möss-	ROZOVA (B.) Chemical inter- action of tin atoms, surroun- ded by cadmium and indium
bauer spectra	atoms in detrahedral struc-
TAYLOR (R.S.) and WILLIS (J.O.)	van Bürck (U.), SMIRNOV (G.V.),
Giant moments in Pd (Mn,Co) al- loys	MÖSSBAUER (R.L.), MAURUS (H. J.) and SEMIOSCHKINA (N.A.)
TEGZE (M.) Voir BALOGH (J.) C1-255	Enhanced nuclear resonance scattering in dynamical dif-
TEILLET (J.) Voir HENRY (M.) C1-279	fraction of gamma-rays C1-469
TEJADA (J.) Voir LITTERST (F.J.)C1-281	VAN DEEN (J.K.) and VAN DER WOUDE (F.) Phase diagram of the
TEJADA (J.), OBRADORS (X.), FONT- CUBERTA (J.), RODRIGUEZ (J.), RODRIGUEZ (R.) and OLIVA (M.)	order-disorder transition in Ni₃Fe C1-367
RODRIGUEZ (R.) and OLIVA (M.) Anomalous ⁵⁷ Fe ^m charge sta- tes in complexe oxides Cl-461	VANDENBERGHE (R.E.) Voir VAN- LEERBERGHE (R.) C1-179
TOPSØE (H.) Voir MØRUP (S.) C1-331	VAN DER KRAAN (A.M.), GUBBENS (P.C.M.) and BUSCHOW (K.H.J.)
TRAMMEL (G.T.) Voir HANNON (J.P.) C1-59	Magnetic behaviour of Y (Fe, Mn) ₂
TRAUTWEIN (A.) Voir MARATHE (V.R.) C1-315	VAN DER KRAAN (A.M.), GUBBENS (P.C.M.) and BUSCHOW (K.H.J.)
TRAUTWEIN (A.) Voir LAUER (S.). C1-105	- Magnetic behaviour of Hf (Fe,Co)
TRAUTWEIN (A.X.) Voir AMTHAUER	VAN DER WOUDE (F.) Voir VINCZE
(G.) C1-291	(I.)
TRAUTWEIN (A.) Voir WILLEMS (H.)	VAN DER WOUDE (F.) Voir BALOGH (J.)
TRAUTWEIN (A.) Voir BILL (E.). C1-485	VAN DER WOUDE (F.) Voir VAN

	VAN DER WOUDE (F.) and VINCZE	VOITKOVSKII (Yu.B.), GENERALOV	
	(I.) Magnetism from Möss-	(O.N.), KAZOV (M.N.), KAZOVA	
	bauer spectroscopy C1-151	(R.A.), KREININ (S.M.) and SARKULOV (J.M.) Mössbauer	
	VAN ISEGHEM (P.) Voir DE GRAVE (E.)	investigations of kinetics	
		of ferrophosphor reaction	C1-299
	VANLEERBERGHE (R.), DE GRAVE (E.), VANDENBERGHE (R.E.) and ROB-	with soda	C1 2))
	BRECHT (G.G.) Fe ⁵⁷ Mössbauer spectroscopy on titanium-rich	SHEV (D.N.)	C1-397
	iron titanates Fe _{3-X} Ti _X 0 ₄ (x=1, 0.95, 0.9) C1-179	VOITOVETSKII (V.K.), CHEREMISIN	
	VAN ROSSUM (M.), LANGOUCHE (G.),	(S.M.), SAZONOV (S.B.) and KURCHATOV (I.V.) NMR MÖSS-	
	DE BRUYN (J.), DE POTTER (M.)	bauer double resonance in tantalum	C1-467
	and COUSSEMENT (R.) Study of the amorphisation process in	VOLLAND (U.) Pressure induced	
	diamond by means of the Möss-	orbital ground state inver-	C1 200
	bauer effect	sion in Fe(H ₂ O) ₆ SiF ₆	C1-303
	VAN ROSSUM (M.) Voir DE BRUYN (J.) C1-433	VON EYNATTEN (G.) Voir DIXON	C1=25
	VAN ROSSUM (M.) Voir LANGOUCHE	(N.S.)	C1-23
	(G.)	DE WAARD (H.) Voir KEMERINK (G.J.)	C1-435
	VAPIREV (E.), DAFNI (E.), MAHNKE (H.E.), RAFAILOVICH (M.H.),	DE WAARD (H.) Concluding	
	KAMENOV (P.S.) and SPROUSE (G.D.) An in beam time gated	remarks	C1-497
	Mössbauer experiment	WAGNER (F.M.), LITTERST (F.J.),	
	VARRET (F.) Voir CEREZE (A.) C1-229	GAUBMAN (E.E. and KALVIUS (G.M.) Rayleigh scattering	
	VARRET (F.) Voir HENRY (H.) C1-279	of Mössbauer radiation (RSMR)	
	VARRET (F.) Voir MARIOT (J.P.). C1-319	on vapour-quenched Sb and Sb ₂ Te ₃	C1-261
	VARSANYI (M.) Voir LEIDHEISER	WAGNER (W.), KALVIUS (G.M.) and	01 201
	(H.Jr.)C1-351	GOROBCHENKO (V.D.) Mössbauer	
	VERBIEST (E.) Voir ODEURS (J.).C1-449	study of the frequency depen- dence of paramagnetic relaxa-	
	VERBIEST (E.), PATTYN (H.) and ODEURS (J.) Mössbauer effect	tion of Dy moments in type I	01 242
	study of the annealing of ⁵⁷ CoAl, implanted at 4.2K C1-431	superconductor thorium WAGNER (F.E.) Voir WORTMANN	C1-243
	VERGNON (P.) Voir BUSSIERE (P.) C1-147	(G.)	C1-233
	VERTES (A.) Voir LEIDHEISER	WAGNER (F.E.) Voir WAIBEL (F.)	C1-231
	(H.Jr.)	WAGNER (F.M.) Voir KRUPYANSKII	400
•	VERTES (A.) Voir MUSIC (S.) C1-305	(Yu.F.)	
	VERTES (A.) Voir PEEV (T.M.) C1-393	WAIBEL (F.), STRAUSS (A.), POTZEL (W.), WAGNER (F.E.) and WORT-	•
	VIDEAU (J.J.) Voir MENIL (F.)C1-271	MANN (G.) Tm ¹⁶⁹ Mössbauer	
	VINCZE (I.) Voir BALOGH (J.) C1-253	studies of thullium hydrides (I): T _m H _{2+x}	C1-231
	VINCZE (I.) Voir BALOGH (J.) C1-255	WALKER (J.C.) Voir DUNCAN	
7	VINCZE (I.), VAN DER WOUDE (F.) and BALOGH (J.) Short-range	(S.W.)	C1-213
	order in transition metal-	WANG (C.S.) Voir FREEMAN (A.J.)	C1-39
	metalloid glasses C1-257	WEST (K.W.) Voir COHEN (R.L.)	C1-349
7	VINCZE (I.) Voir VAN DER WOUDE (F.)	WEYER (G.) Voir DAMGAARD (S.).	C1-423
7	VISHWAMITTER Voir GARG (R.) C1-355	WEYER (G.) Voir PETERSEN (J.W.)	01 442
•	/OCHTEN (R.) Voir DE GRAVE (E.) C1-407	WEYER (G.) Voir DAMGAARD (S.)	C1-427
V	OGEL (R.). and EVANS (B.J.)	WIESER (E.) Magnetic ordering	
	57Fe Mössbauer study of the	in amorphous $(Fe_{1-x}Mn_{x})_{75}$ P_{15} C_{10} alloys	C1-259
	crystal chemistry of strun- zite, MnFe ₂ (PO ₄) ₂ (OH) ₂ .	WIESER (E.), CRUZ (C.), MÜLLER	
	6H ₂ O C1-297	(M.) and HENKE (J.) Forma-	
V	OGEL (H.) Voir KRUPYANSKII (Yu.F.)	tion of magnetic anisotropy and structural changes in An	
V	OGEL (R.H.) Voir GALLIE (D.). C1-289	Fe-Ni base alloy by annea- ling	C1. 365
	OGEL (H.) Voir NAGY (D.L.) C1-283		C1-365
	тотт (ш.) С1-283		

WIESINGER (G.), GRÖSSINGER (R.),
HILSCHER (G.) and WOHLFARTH
(E.P.) Zr ($Fe_{1-X} M_{X}$) V ($M = Co$, Al) in the transition re-
gion : spinglass or long range
magnetic order ? C1-209
WIESSINGER (G.), GRITZNER (G.) and LINERT (W.) Hyperfine inter-
actions and magnetic moments
of some Fe (III) complexes with
dimethylformamide and dimethyl-
thioformamide
WILLEMS (H.), FISCHER (H.), TRAUT-
WEIN (A.), GONSER (U.), PARAK
(F.) and MAEDA (Y.) Mössbauer investigation of deoxymyoglo-
bin single crystals with pola-
rized γ-Rays
WILLIAMSON (D.L.) Voir KRISCHEL
(K.)
WILLIS (J.O.) Voir TAYLOR
(R.D.)
WINKLER (H.) Voir HANNON (J.P.). C1-59
DE WIT (J.C.) Voir KEMERINK (G.J.)
WOHLFARTH (E.P.) Voir WIESINGER (G.)
WOLFF(T.E.) Voir FRANKEL (R.B.).C1-495
WORTMANN (G.), KALKOWSKI (G.),
HEIDEMANN (A.) and WAGNER (F.E.)
T_m^{-169} Mössbauer study of thulium hydrides (II) : T_mH_3 C1-233
WORTMANN (G.) Voir WAIBEL (F.)C1-231
WORTMANN (G.) Voir GAL (J.) C1-129
YATSIMIRSKI (V.K.) Voir MARKSI-
MOV (Yu.V.)
YEH SHUN-HAO Voir DING YING-RU. C1-341
YEN QI-JIE Voir DING YING-RU C1-341
YLÄ-JÄÄSKI (J.) Voir KATILA
(T.)
ZAK (T.) Voir SCHNEEWEISS (O.). C1-375
ZARZYCKI (J.) Voir AURIC (P.) C1-277
ZEMICK (T.), SIGUT (Z.) and SLAJS
(Z.) Mössbauer austenitometry
and magnetic properties of ste-
el
ZEMICK (T.) and KREISLEROVA (Y.)
Detection of atomic order in Ni ₃ Fe by the ¹¹⁹ Sn spectros-
Ni₃Fe by the Sh spectros- copy
ZEMICK (T.) Voir SCHNEEWEISS (O.)
ZEMSKOV (B.G.) Voir GABRILOV (B.M.)
ZHELUDEV (I.S.) Voir BARB
(D.)
ZHETBAEV (A.K.) - A Mössbauer
study of nuclear reaction after effects
ZHETBAEV (A.K.), IBRAGIMOV
(Sh.Sh.) and SHOKANOV (A.K.) A Mössbauer study of molyb-
donum ovidation kinetics C1-387



COLLOQUE Nº 2 - 1980

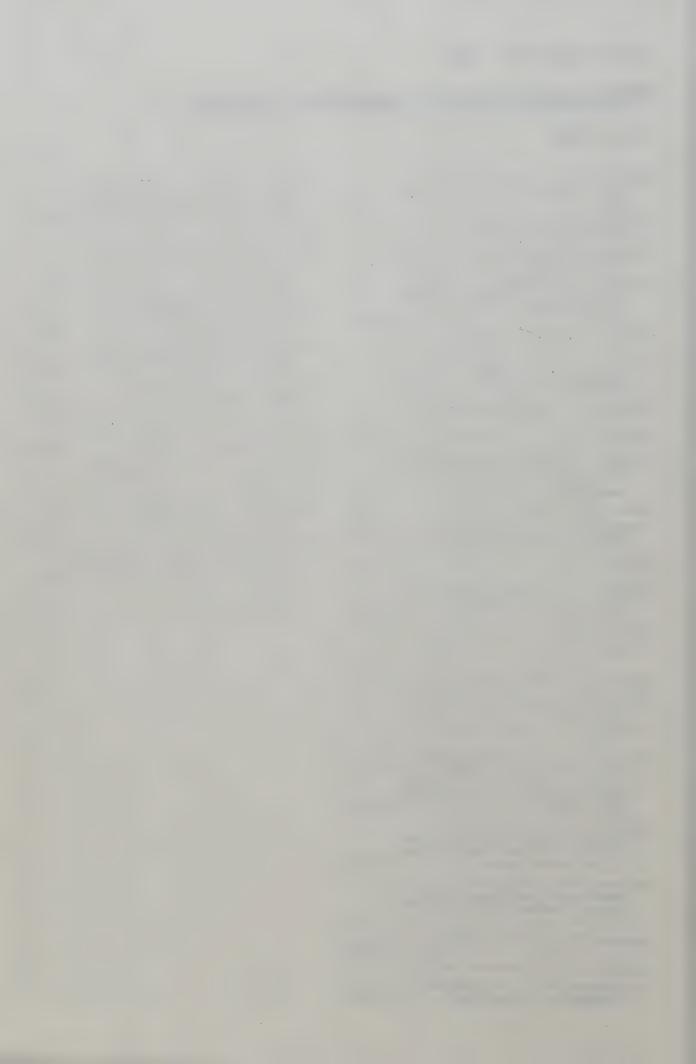
Mazurek (T.J.) .- Voir Buchler

(J.-R.) C2-159 Minoo (H.). - Voir Deutsch (C.).... C2- 65 Mochkovitch (R.). - Non explosive collapse of a white dwarf..... C2-153

Physique de la matière dense

Paris, 1979

Arnett (W.D.) Neutronization, lepton escape; and stellar hydrodynamics		Pines (D.) Pulsars and compact X-ray sources : cosmic laboratories for the study of neutron stars and hadron matter	- C2-111
Alastuey (A.), and Jancovici (B.) Pycnonuclear reactions	C2- 87	Rho (M.) Dense neutron matter	C2- 1
Alvarez (E.), and Hakim (R.) Quarks matter in neutron stars Angelie (C.), Deutsch (C.) and Signore (M.) Infinitely magne-	S	Rosenfeld (Y.) The theory of simple classical fluids: universality in the short range structure	C2- 77
tized hydrogen atom and pulsar crust	C2-133	Ruderman (M.) Astrophysical pro- blems of condensed matter in	
Barranco (M.) Voir Buchler (J.R.)	C2- 31	huge magnetic fields Schatzman (E.) Dense plasmas,	C2-125
Buchler (J.R.) and Barranco (M.) The equation of state at subnu-	•	nuclear reactions and astrophy-	C2- 89
clear densities Baus (M.) Transport coefficients	C2- 31	Shaham (J.) Superfluidity in neutron stars	C2- 9
of dense plasmas	C2- 69	Signore (M.) Voir Angelie (C.).	C2-133
Buchler (JR.) voir Livio (M.).	C2-155	Soyeur (M.) The cooling of neutron stars	02 120
Buchler (JR.), Colgate (S.A.) and Mazurek (T.J.). The afterclap of degenerate carbon ignition revisited	C2-159	Stevenson (D.J.) The condensed matter physics of planetary interiors	C2-139
Canal (R.) Stellar collapse	C2-105	Stevenson (D.J.) A eutectic in	
Choquard (Ph.) On the equation of state of the Wigner model	C2- 83	carbon-oxygen white dwarfs Van Horn (H.M.) White dwarfs	C2- 61 C2- 97
Colgate (S.A.) Voir Buchler (JR	.)	Van Paradijs (J.)On the mass- radius relationship of neutron	
<pre>Deutsch (C.), Gombert (M.M.) and Minoo (H.) Coalescence of iron in the centre of the sun</pre>		Wilson (J.) Voir Mc Crory (R.L.)	C2-147
Deutsch (C.) Voir Angelie (C.)	C2-133		
Gombert (M.M.) Voir Deutsch (C.)	C2= 65		
Hakim (R.) Voir Alvarez (E.)			
Hansen (J.P.) Phase separation of			
ionic mixtures	C2- 43		
Jancovici (B.) Voir Alastuey (A.)	C2- 87		
Kalman (G.) Superdense neutron matter with spin-2 interaction.	C2- 41		
Kalman (G.) Approximation scheme for dynamical processes in strongly coupled plasmas	_ C2- 85		
Livio (M.) and Buchler (JR.) Rayleigh-Taylor convective over- turn as a possible solution to the supernova puzzle	C2-155		
Mc Crory (R.L.) and Wilson (J.) Dense matter in laser driven fusion: laboratory experiments			
rabotatory diportiments	C2-165		



Congrès Général de la Société Française de Physique

Toulouse, 1979

Adam (J.C.), Laval (G.), Pesme (D.) - A reconsideration of quasi- linear theory	C3-383	Bondot (P.), Calas (G.), Levitz (P.), Loupias (G.), Petiau (J.) Etude par spectrométrie d'absorption X	
Allain (J.) Voir Naudon (A.)	C3-284	(EXAFS et structure des seuils) des sites du fer et du manganèse	
André (J.C.) La couche limite noc- turne : influences du transfert		dans des verres silicatés Bondot (P.) Voir Moisy - Maurice	C3-289
radiatif moyen et des intérac- tions turbulence-rayonnement	C3-319	(V.)	C3-291
Anthore (R.), Gauthier (S.), Lemonnier (M.), Lissalde (F.),		Bonhomme (R.) Etude des bilans radiatifs au niveau de diverses	
Martinet (A.), Petipas (C.),		surfaces naturelles	C3-341
Rousseaux (F.) Etude des cor- rélations dans les ferrofluides		Bosio (L.) Voir Badiali (J.P.)	C3-290
par diffusion centrale alternée		Bosshard (R.) Voir Kahn (R.)	C3-293
des rayons X sur le faisceau synchrotron	C3-285	Bouchardy (A.M.), Fontanella (J.C.) Calcul de l'influence de l'at-	
Aslanides (E.) Production cohé-		mosphère sur l'observation de la	
rente de pions	C3-161	terre à partir d'un satellite entre 0,25 et 15 µm	C3-347
Badiali (J.P.), Bosio (L.), Cortes (R.), Bondot (P.), Loupias (G.), Petiau (J.).— Etude par EXAFS de		Bouligand (Y.) Topologie des dé- fauts de symétrie	C3- 49
la phase α du gallium entre 20		Bordas (J.) Voir Koch (M.H.J.)	C3-281
et 300 K. Influence de l'orien-	C3-290	Boulmer (J.), Delpech (J.F.), Devos	
tation cristallographique	C3-230	(F.), Gauthier (J.C.)Transferts d'excitation atomique par colli-	
Barlier (F.) Voir Mainguy (A.M.).	C3-133	sions électroniques	C3-211
Barreau (G.) Voir Leroux (B.)	C3-133	Bouttes (J.) Voir Mainguy (A.M.).	C3-311
Bauer (P.) Etude de l'ionosphère par diffusion incohérente dans la perspective du projet EISCAT		Brahic (A.) Les anneaux de Saturne d'Uranus et de Jupiter	C3- 1
	C3-185	Brashears (H.C.) Voir Setser	
Baussart (N.), Viollier (M.) In-		(D.W.)	C3-195
fluence de la réflection du fond sur la télédétection de la cou-		Bruneau (B.) Voir Leroux (B.)	C3-133
leur de l'océan. Application à LANDSAT	C3-327	Brustet (J.M.), Benech (B.) Apport de la télédétection infrarouge à l'étude d'un panache issu de	
Benech (B.) Voir Brustet (J.M.)	C3-343	combustible	C3-343
Benfoughal (T.) Voir Leroux (B.).	C3-133	Burgan (J.R.), Feix (M.R.), Fijalkow	
Berland (M.), Chalmeton (V.), Dhez (P.), Esteva (J.M.) Utilisa- tion de channeltrons et de ga-		(E.), Munier (A.), Nakach (R.) Revue sur l'application des grou- pes à la résolution des équations nonlinéaires -Physique des flui-	
lettes de microcanaux dans le domaine X-UV. Amélioration de		des et physique des plasmas	C3-377
l'efficacité par utilisation d'une photocathode séparée	C3-294	Caby (M.) Voir Nguyen Hoe	C3-203
Bernard (A.) Voir Mainguy (A.M.).	C3-311	Caïtucoli (F.) Voir Leroux (B.) .	C3-133
Bertini (R.) Hypernoyaux et struc-	00 011	Calas (G.) Voir Bondot (P.)	C3-289
ture nucléaire	C3-164	Carillon (A.) Voir Jaeglé (P.)	C3-191
Bertrand (J.J.) Voir Cerf (A.)	C3-321	Cârjan (N.) Voir Leroux (B.)	C3-133
Bézanger (C.), Kandel (R.) Varia- tions diurnes et détermination du bilan radiatif de la Terre	C3-323	Carlos (P.) Etude des réactions photonucléaires effectuée avec le faisceau de photons monochro-	
Rimbot (L.) Les programmes expé-		matiques de l'ALS 600	C3-149
rimentaux auprès du synchrocy- clotron d'Orsay	C3-155	Caudron (B.) Voir Kahn (R.) Cerf (A.) et Bertrand (J.J.) Quel-	C3-293
Bohigas (0.) Resonances géantes dans les noyaux	C3-141	ques caractéristiques optiques des brumes sèches en Afrique de	
Bondot (P.) Voir Badiali (J.P.) .	C3-290	l'ouest	C3-321
Donas (20)		Chalmeton (V.) Voir Berland (M.).	C3-294

	Esteva (J.M.) Volt Dilez (F.) C3-290
Chamayou (J.) Traitement des don- nées d'histogrammes de phases et application	Estournel (C.) Voir Vehil Blanco (R.) C3-325
charpak (G.) Voir Kahn (R.) C3-293	Fabre (E.) Voir Delpech (J.F.) C3- 77
Charpak (G.) Voir Pernot (P.) C3-293	Farges (J.). de Feraudy (M.F.),
Chedin (A.), Scott (N.A.) Déter- mination de paramètres météoro- logiques à partir d'observations	Raoult (B.), Torchet (G.)Agrégats icosaédriques multicouches : stabilité et modes de formation
satellitaires C3-337	Fay (B.), Trotel (J.) Lithogra-
Chevallier (P.) Voir Tavernier (N.) C3-292	phie par rayons X C3-288
Coantic (M.) Les intéractions en-	Feix (M.R.) Voir Burgan (J.R.) C3-3 ⁻⁷
tre les transferts radiatifs et	Fijalkow (E.) Voir Burgan (J.R.). C3-377
turbulents de chaleur dans les basses couches de l'atmosphère	Fontaine (A.) Voir Dhez (P.) C3-290
claire C3-313	Fontaine (A.), Lagarde (P.), Mimault (J.), Raoux (D.), Sadoc (A.)
Comes (R.) Voir Megtert (S.) C3-286	Effet de coeur et variàtion de paramètre dans les solutions so-
Cortes (R.) Voir Badiali (J.P.). C3-290	lides. Exemple Al-Cu, Al-Zn C3-289
Coulaud (G.) Voir Nguyen Hoe C3-203	Fontaine (A.), Lagarde (P.), Raoux (D.), Sadoc (A.), Migliardo (P.) Etude par EXAFS de solutions
Curien (H.) Les moyens spatiaux au service de la recherche C3- 27	electrolytiques C3-291
Cyrot-Lackmann (F.), Gordon (II.B.) Structure électronique et stabi-	Fontan (J.) Voir Vehil Blanco (R.) C3-325
lité des petites particules mé- talliques C3-273	Fontanella (J.C.) Voir Bouchardy (A.M.)
Debrenne (P.) Voir Mathiot (A.) . C3-288	Fouquart (Y.), Fravalo (C.), Laval
De Feraudy (M.F.) Voir Farges (J.)	(K.), Rosset (R.) Modélisation des nuages stratiformes bas et interaction avec le bilan radia-
De Gennes (P.G.) Percolation :	tif
quelques systèmes nouveaux C3- 17	Fourme (R.) Voir Kahn (R.) C3-293
De Gennes (P.G.) Quelques réflexions d'ensemble C3- 37 De Kepper (P.) Voir Pacault (A.). C3- 35	Fourme (R.), Kahn (R.) Structure tridimensionnelle des protéines et rayonnement synchrotron : ac-
De Leffe Voir Tanre (D.) C3-345	quis et perspectives à moyen terme
Delpech (J.F.) Voir Boulmer (J.). C3-211	Fourme (R.) Voir Pernot (P.) C3-293
Delpech (J.F.), Fabre (E.), Pellat	Fravalo (C.) Voir Fouquart (Y.) . C3-305
(R.) Le confinement inertiel	Friedel (J.) Voir Noguera (C.) C3-289
par laser, une approche de la fusion thermonucléaire contrô-	Frisch (U.) Voir Léorat (J.) C3-359
lée	Gabriel (A.) Rayonnement synchro-
De Novion (C.H.) Voir Moisy- Maurice (V.) C3-291	tron et systèmes de détection associés
Deschamps (P.Y.) Voir Tanre (D.). C3-345	Gastaldi (J.), Jourdan (C.) Etude de la recristallisation de l'alu-
Desjonqueres (M.C.). Interactions entre adatomes sur métaux C3-243	minium : cinématique de la crois- sance d'un gros cristal dans un
Devos (F.) Voir Boulmer (J.) C3-211	milieu homogène et hétérogène,
Dhez (P.) Voir Berland (M.) C3-294	mécanisme de la formation des ma- cles de croissance
Dhez (P.), Esteva (J.M.), Fontaine	Gauthier (J.C.) Voir Boulmer (J.)
(A.), Lagarde (P.), Raoux (D.) Spectroscopie d'absorption dans	C3-211
le domaine 500-2500 eV C3-290	Gauthier (S.) Voir Anthore (R.) . C3-285
Doan (T.P.) Voir Leroux (B.) C3-133	Gay (M.O.) Voir Mathiot (A.) C3-288
Dreiling (T.D.) Voir Setser (D.W.) C3-195	Gillet (M.) Particules métalliques à symétrie pentagonale C3-269
Dubau (J.) Recombinaison di-elec- tronique. Applications à l'étude	Girerd (J.J.) Voir Michalowicz (A.)
de certains plasmas astrophysi- ques C3-181	Gordon (M.B.) Voir Cyrot-Lackmann
Esteva (J.M.) Voir Berland (M.) . C3-294	(F.)
11.7 . 63-294	Goulon (J.) - Voir Michalowicz (A) C3-202

Grappin (R.) Isotropisation et		Lemaire (Mi.) Voir Vachette (P.). C3-281
transport des Rayons Cosmicues dans le vent solaire	C3-375	Lemonnier (M.) Voir Anthore (R.) C3-285
Grumberg (J.) Voir Nguyen Hoe	C3-203	Lemonnier (M.) Voir Robelin
Guedalia (D.) Voir Vehil Blanco (R.)	C2 225	Lemonnier (M.) Voir Rousseaux
Guennou (H.) Voir Jaeglé (P.)	C3-325 C3-191	(F.) C3-283
Guéron (M.) Sur le film "Loin de	00 101	Lemonnier (11.) Voir Vachette
l'équilibre"	C3- 36	(P.) C3-281 Léorat (J.), Pouquet (A.), Frisch
Gulik (A.) Voir Vachette (P.)	C3-281	(U.) Turbulence MHD développée
Hart (M.) Crystal optics for X- ray synchrotron radiation	C3-287	et génération de champ magnéti- que
Harries (J.E.) Recent progress	00 20,	Leroux (B.), Barreau (G.), Benfoughal
in infrared and microwave at- mospheric sounding	C3-329	(T.), Bruneau (B.), Caītucoli (F.), Cârjan (N.), Doan (T.P.),
Herman (M.) Voir Tanre (D.)	C3-345	Sicre (A.) Fission nucléaire . C3-133 Levitz (P.) Voir Bondot (P.) C3-289
Jaeglé (P.), Carillon (A.), Jamelot		Libchaber (A.), Maurer (J.).— Une
(G.), Wehenkel (C.), Sureau (A.) et Guennou (H.) Etude d'ions multichargés dans les plasmas		expérience de Rayleigh-Bénard de géométrie réduite; multiplica-tion, accrochage et démultipli-
produits par Laser	C3-191	cation de fréquences C3- 51
Jamelot (G.) Voir Jaeglé (P.) Jouffrey (B.). Geometrical and	C3-191	Lissalde (F.) Voir Anthore (R.) . C3-285
chemical knowledge at high resolution	C3- 39	London (J.) Radiation problems in the earth's atmosphere C3-295
Jourdan (C.) Voir Gastaldi (J.).	C3-288	Loupias (G.) Voir Badiali (J.P.). C3-290
Jullemier (B.) Voir Vachette		Loupias (G.) Voir Bondot (P.) C3-289
(P.)	C3-281	Loupias (G.), Petiau (J.) Aniso- tropie des densités de moments
Kahn (0.) Voir Michalowicz (A.).	C3-292	électroniques dans des monocris-
Kahn (R.) Voir Fourme (R.)	C3-282	taux
(B.), Fourme (R.), Caudron (B.), Bosshard (R.), Charpak		Lowy (J.) Voir Koch (M.H.J.) C3-281 Mainguy (A.M.), Bernard (A.), Romero
(G.) Un diffractomètre à lo- calisation bidimensionnelle		(M.), Bouttes (J.) et Barlier
rapide pour la multi-acquisi- tion de données de diffraction/		(F.) Biramis : mesure du bilan radiatif de la terre par micro-
diffusion X	C3-293	accélérométrie spatiale C3-311
Kahn (R.) Voir Pernot (P.)	C3-293	Martin (F.) Introduction à l'uni- fication des interactions élec-
Kandel (R.) Voir Bézanger (C.) .	C3-323	tromagnétiques et faibles C3- 99
Klapisch (M.) The Spectroscopy	C3-187	Martinet (A.) Voir Anthore (R.) . C3-285
of Tokamaks	C3 107	Masnou-Seeuws (F.) et Philippe (M.) Méthode de potentiel modèle:
(J.), Poulsen (F.R.) Change-		application au système sodium-
ments structuraux lors de la contraction du muscle rétrac-		néon
teur de mytilus vus par mesures de diffraction rapides	C3-281	(P.) Déformation plastique de
Krop (B.) Voir Vachette (P.)	C3-281	bicristaux de germanium-Etude dynamique en rayonnement synchro-
Lagarde (P.) Voir Dhez (P.)	C3-290	tron polychromatique
Lagarde (P.) Voir Fontaine (A.).	C3-289	Maurer (J.) Voir Libchaber (A.) . C3- 51
Launois (H.) Voir Moisy - Maurice	-291	Megtert (S.), Pouget (J.P.), Comes (R.) Etude par rayons X des
(V.)	C3-291	chaînes d'iode dans le composé
Laval (G.) Voir Adam (J.C.)	C3-383	(TTT) ₂ I _{3+δ} C3-286
Laval (K.) Voir Fouquart (Y.)	C3-305	Merle (A.M.) Voir Pacault (A.) C3- 35
Leboucher (P.) Voir Pernot (P.).	C3-293	Michalowicz (A.), Goulon (J.), Girerd (J.J.), Kahn (O.), Verda-
Lecante (J.) Propriétés électro- niques des phases adsorbées et		guer (M.) Etude structurale de
des surfaces des métaux et semi-conducteurs	C3-233	complexes de métaux de transition par EXAFS C3-292
Lefort (M.) L'utilisation des		Migliardo (P.) Voir Fontaine (A.)
faisceaux d'ions lourds, "Nou-		C3-291
velle" ou "Vieille" physique Nucléaire ?	C3- 65	

Miltat (J.) Etude par topogra-		Philippe (M.) Voir Masnou - Seeuws (F.)	C3-175
phie aux rayons X du mouvement de parois magnétiques et de leurs jonctions dans des échan- tillons minocristallins de fer- silicium	C3-287	Poc (M.M.), Roulleau (M.). Interprétation des images satellitaires dans le canal de la vapeur d'eau	C3-349
Mimault (J.) Voir Fontaine (A.).	C3-289	Pons (C.H.) Voir Rousseaux (F.).	C3-283
Mimault (J.) Voir Naudon (A.)	C3-284	Pontillon (C.) Voir Vachette (P.)	
Moisy-Maurice (V.), de Novion			C3-281
(C.H.), Launois (H.), Bondot		Pouget (J.P.) Voir Megtert (S.).	C3-286
(P.) Etude par EXAFS des car- bures non-stoechiométriques de		Poulsen (F.R.) Voir Koch (M.H.J.)	C3-281
titane et de vanadium	C3-291		C3-359
Montes (C.) et Peyraud (J.) Sti- mulated ion Compton backscatte-	03-397	Pouquet (A.) Voir Léorat (J.) Ranck (J.L.), Moudden (H.) Ciné-	C3-333
ring in laser plasma interaction Moudden (H.) Voir Ranck (J.L.) .	C3-283	tique des transitions ordre-dé- sordre dans les lipides - solvant	
Munier (A.) Voir Burgan (J.R.) .	C3-377	(dipalmitoyl-lecithine)	C3-283
Mutaftschiev (B.) Stabilité et		Raoult (B.) Voir Farges (J.)	C3-263
cinétique de formation des par-		Raoux (D.) Voir Dhez (P.)	C3-290
ticules à structures pentagona- les	c3-279	Raoux (D.) Voir Fontaine (A.) C3-	-289-291
Nakach (R.) Voir Burgan (J.R.) .	C3-377	Rault (J.) Voir Robelin (E.)	C3-284
Naudon (A.), Allain (J.), Mimault (J.). Intérêt du rayonnement synchrotron dans l'étude en		Rechester (A.B.), Rosenbluth (N.M.) White (R.B.). Statistical description of stochastic orbits in	<i>a</i> 2 251
diffusion centrale des alliages		a Tokamak	C3-351
Mayyon Hoo Caby (M.) Crymberg	C3-284	Richter (J.)The state of the electrical are plasma	C3-217
Nguyen Hoe, Caby (M.), Grumberg (J.) et Coulaud (G.) Elargis-		Riglet (P.) Voir Petroff (J.F.).	C3-287
sement des raies atomiques et ioniques émises par les plasmas	G2-202	Robelin (E.), Rousseaux (F.), Lemonnier (M.), Rault (J.)	
Noguera (C.), Spanjaard (D.), Friedel (J.) Quelques problè-	C3-203	Cristallisation du polyéthylène par trempe rapide à partir du polyéthylène fondu : partie I .	C3-284
mes théoriques liés à l'EXAFS .	C3-289	Romero (M.) Voir Mainguy (A.M.).	C3-311
Pacault (A.), Vidal (C.), De Kepper (P.) et Merle (A.M.) Présen-		Roulleau (M.) Voir Poc (M.M.)	C3-349
tation du film "Loin de l'équi- libre"	C3- 35	Rosenbluth (N.M.) Voir Rechester (A.B.)	C3-351
Pellat (R.) Reconnexion en géo-		Rousseaux (F.) Voir Anthore (R.)	C3-331
métrie complexe : une approche		**************************************	C3-285
numérique	C3-371	Rousseaux (F.) Voir Robelin (E.)	
Pellat (R.) Voir Delpech (J.F.).	C3- 77	•••••	C3-284
Pernot (P.), Leboucher (P.), Kahn (R.), Fourme (R.), Charpak (G.) - Un multidétecteur de photons X à très haut taux de comptage		Rousseaux (F.), Pons (C.H.), Tchoubar (D.), Lemonnier (M.). Etude du gonflement par l'eau des	
· · · · · · · · · · · · · · · · · · ·	C3-293	smectites dioctaédriques	C3-283
Pesme (D.) Voir Adam (J.C.)	C3-383	Rousseaux (F.) Voir Vachette (P.)	C3-281
Petiau (J.) Voir Badiali (J.P.).	C3-290	Roussel (P.) Etude de la structu-	
Petiau (J.) Voir Bondot (P.)	C3-289	re des noyaux par réactions de	
Petiau (J.) Voir Loupias (G.)	C3-292	transfert : ions légers et ions lourds	C3-129
Petipas (C.) Voir Anthore (R.).	C3-285	Rosset (R.) Voir Fouquart (Y.) .	C3-305
Petroff (J.F.), Riglet (P.),		Sadoc (A.) Voir Fontaine (A.) C3	
Sauvage (M.) Topographie en onde plane : étude théorique et		Sauvage (M.) Voir Petroff (J.F.)	
expérimentale des images de dis-		***************************************	C3-287
locations d'interface dans l'hé- térojonction (Ga,Al) (As,P)/GaAs		Schaeffer (R.) Diffusion de pro-	
······································	C3-287	tons à 1 GeV et distribution de neutrons dans les noyaux	C3-139
Peyraud (J.) Voir Montes (C.)	C3-387	Scott (N.A.) Voir Chedin (A.)	C3-139
			-5 551

INDEX AUTEURS

Setser (D.W.), Brashears (H.C.), Dreiling (T.D.) Formation, relaxation and quenching of XeF, KrF and XeCl	C3-195	Vachette (P.), Tardieu (A.), Seydoux (F.), Pontillon (C.), Lemaire (M.), Krop (B.), Jullemier (B.) Gulik (A.), Rousseaux (F.),	
Seydoux (F.) Voir Vachette (P.).	C3-281	Lemonnier (M.) Etudes en solu- tion de macromolécules biologi-	
Sicre (A.) Voir Leroux (B.)	C3-133		C3-281
Spanjaard (D.). Voir Noguera (C.).	C3-289	Vannucci (F.) Les nouveaux quarks	
Stuhrmann (H.B.). Etude de la dis-			C3- 91
persion anomale des rayons X par la diffusion centrale	C3-281	<pre>Vehil Blanco (R.), Estournel (C.), Guedalia (D.), Fontan (J.)</pre>	
Sureau (A.) Voir Jaeglé (P.)	C3-191	Action de l'aérosol atmosphéri-	
Szymański (2.) Recent progress in high spin nuclear physics	C3-125	que et de constituants en tra- ces sur le bilan radiatif à l'échelle locale	C3-325
Taillet (J.) Présent et avenir des recherches sur la foudre	C3- 57	Veltman (M.) Present and future of high energy physics	C3-115
Tanre (D.), Herman (M.), Deschamps (P.Y.), De Leffe Modélisation		Verdaguer (M.) Voir Michalowicz	C3-292
des effets atmosphériques sur les mesures de reflectances de sites faites à partir de satel-		Vidal (C.) Voir Pacault (A.)	C3- 35
lites	C3-345	Viollier (M.) Voir Baussart (N.)	
Tardieu (A.) Voir Vachette (P.).	C3-281	************************	C3-327
Tavernier (M.), Chevallier (P.)		Wehenkel (C.) Voir Jaeglé (P.) .	C3-191
Etude systématique des satel- lites KL en photoionisation	C3-292	White (R.B.) Voir Rechester (A.B.)	C3-351
Tchoubar (D.) Voir Rousseaux (F.)	C3-283	Williams (F.I.B.) Two dimensional adsorbed charges	C3-249
Thirion (J.) Programme expérimental de Saturne	C3-169	Williams (D.A.) The chemical role of grains in the interstel-	
Torchet (G.) Voir Farges (J.)	C3-263	lar medium and related physical	02 225
Mrotel (J) - Voir Fav (B-)	C3-288	problems	C3-225

4.

11

M M

M

M

Me

Mi Mi

N.

Ne

No

P

Pr Pr

Pr Pr

Pi Pi

Pt

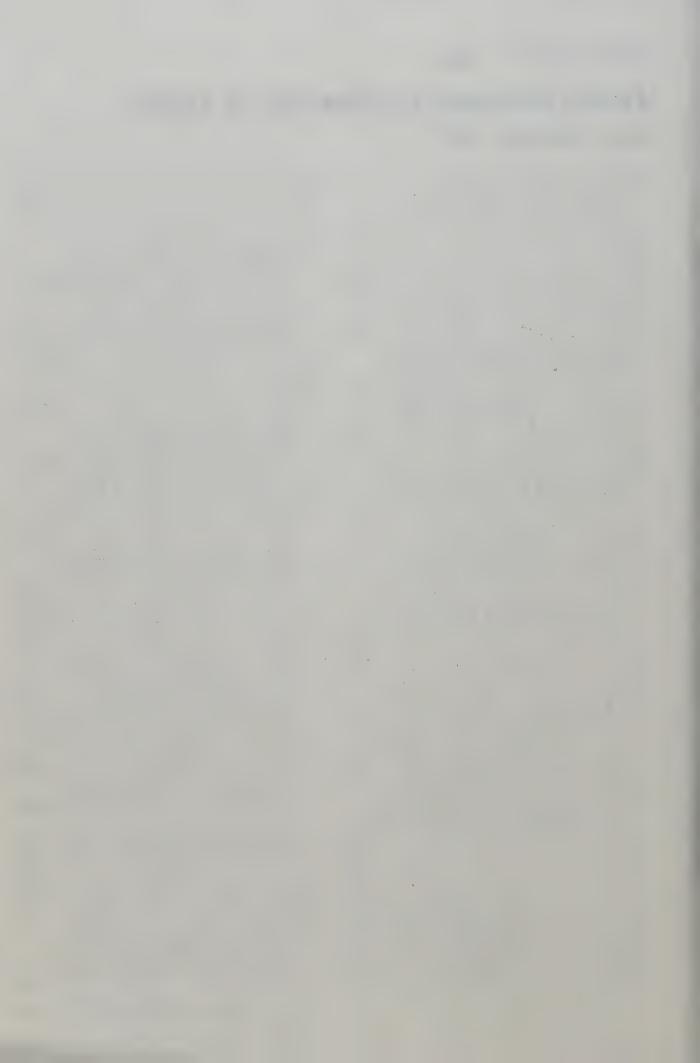
Pt

Pı

Laser induced nucleation in solids

Mons (Belgique), 1979

Andrew (R.), Baufay (L.), Laude		Luches (A.) Voir Mava (F.)	C4-97
(L.D.), Lovato (M.) and Wautelet (M.) Laser annealing		Luomajärvi (M.) Voir Makarov (V.V.)	G4 111
of elemental and compound semi-			C4-111
conductor films	C4-71	Majni (G.) Voir Nava (F.)	C4-97
Appleton (B.R.) Voir Wilson (S.R.)	C4-91	Makarov (V.V.), Tuomi (T.),	
Bartoli (F.J.) Voir Meyer (J.R.)		Naukkarinen (K.), Luomajärvi (M.) and Riihonen (M.) Laser induced	
		ordering and defects in ion-implan	
Baufay (L.) Voir Andrew (R.)	C4-71	ted hexagonal silicon carbide	C4-111
Baumgart (H.) Voir Rozgonyi (G.A.)	C4-85	Meyer (J.R.), Bartoli (F.J.) and Kruer (M.R.) Heating of crystal-	
Bertolotti (M.). Voir Vitali (G.)		line and amorphous silicon by Q-	
Binder (K.) Nucleation theory and	C4-37	switched laser radiation	C4-31
dynamics of first order phase		Narayan (J.) Voir Wilson (S.R.)	C4-91
transitions near a critical point	CA EI	Nassisi (V.) Voir Nava (F.)	C4-97
Pindon/V \ To lease induced and	C4-51	Naukkarinen (K.) Voir Makarov	04 111
Binder(K.) Is laser-induced nuclea- tion due to a bulk long-wavelength			C4-111
instability		Nava (F.), Majni (G.), Luches (A.), Nassisi (V.) and Janniti (E.)	
Borckmans (P.) Voir Dewel (G.)	C4-101	Laser and electron-beam induced	
Boroffka (H.), Krimmel (E.F.), Runge		formation of metal-silicides	C4-97
(H.) and Langfeld (R.)CO ₂ -laser		Poate (J.M.) Mechanisms of laser induced crystallisation of semi-	
annealing of buried layers produced by meV ion implantation	C4-47	conductors	C4- 1
de Jong (T.) Voir Hoonhout (D.)	C4-89	Riihonen (M.) Voir Makarov (V.V.)	
Dewel (G.), Borckmans (P.) and			C4-111
Walgraef (D.) Concepts in the		Rozgonyi (G.A.) and Baumgart (H.)	
theory of nonequilibrium phase transitions	C4-101	Time dependence of the nucleation of slip dislocations during laser	
Fogarassy (E.), Stuck (R.), Grob	0. 101	annealing of silicon	C4-85
(J.J.), Grob (A.) and Siffert (P)		Runge (H.) Voir Boroffka (H.)	C4-47
Solubility limit of impurities in laser treated silicon	C4-41	Saris (F.W.) Voir Hoonhout (D.)	C4-89
Godfrey (D.J.) Voir Hill (C.)	C4-79	Siffert (P.) Voir Fogarassy (E.) .	C4-41
Grob (A.) Voir Fogarassy (E.)	C4-73	Stuck (R.) Voir Fogarassy (E.)	C4-41
Grob (J.J.) Voir Fogarassy (E.)		Tsu (R.) Non-thermal laser induced	
Hajtó (J.) Laser induced oscilla-	C4-41	ordering and plasma life time	C4-25
tory phenomena in amorphous GeSe ₂		Tsu (R.) and Jha (S.S.) Non- thermal laser induced ordering	
films	C4-63	and plasma life time	C4-25
Hill (C.) and Godfrey (D.J.) Chan-		Tuomi (T.) Voir Makarov (V.V.)	C4-111
ges in surface topography after pulsed laser anneal of silicon	C4-79	Turnbull (D.) Comments on the me-	-4 -00
Hoonhout (D.), de Jong (T.) and	0	chanisms of laser annealing	C4-109
Saris (F.W.) Substrate orienta-		Van Vechten (J.A.) Importance of the plasma to pulsed laser annea-	
tion effect on the regrowth of amorphous silicon by laser pulses		ling	C4-15
amorphous stricon by laser purses	C4-89	Vitali (G.) and Bertolotti (M.)	
Janniti (E.) Voir Nava (F.)	C4-97	Comments on the mechanisms opera-	C4-37
		ting in laser annealing	C4-101
Jha (S.S.) Voir Tsu (R.)	C4-25	Walgraef (D.) Voir Dewel (G.)	C4-71
Krimmel (E.F.) Voir Boroffka (H.).	C4-47	Wautelet (M.) Voir Andrew (R.)	C4-91
Kruer (M.R.) Voir Meyer (J.R.)	C4-31	White (C.W.) Voir Wilson (S.R.)	C4-31
Langfeld (R.) Voir Boroffka (H.)	C4-47	Wilson (S.R.), White (C.W.), Young Jr (F.W.), Appleton (B.R.) and	
Laude (L.D.) Voir Andrew (R.)	C4-71	Narayan (J.) Nonequilibrium so-	
Lovato (M.) Voir Andrew (R.)	C4-71	lubility and segregation in ion implanted, laser annealed silicon	
		Tabel amounted billion	C4-91
		Yoffa (E.J.) Dense-plasma dynamics during pulsed laser annealing	C4- 7
		Young Jr (F.W.) Voir Wilson (S.R.)	01.00
			C4 - 91



International Meeting on Magnetic Semiconductors

Montpellier, 1979

Achard (J.C.) Voir Godart (C.) C5-205	Bonnelle (C.) Voir Lachère
Achard (J.C.) Voir Mauger A.) C5-263	(G.)
Achard (J.C.) Voir Ravot (D.) C5-357	Campagna (M.) Voir Gudat (W.) C5- 1
Allen (J.W.) and Martin (R.M.)	Capek (C.) Voir Barvik (I.) C5-293
Mixed valent semiconductors: SmB ₆	Chevalier (B.) Voir Etourneau (J.) C5-193
Alvarado (S.F.) Voir Gudat (W.). C5- 1	Cogblin (B.), Bhattacharjee (A.K.),
Aminov (T.G.), Below (K.P.), Kalin- nikov (V.T.), Koroleva (L.I.) and Tovmasjan (L.N.) Low-tem-	Jullien (R.) and Flouquet (J.) Intermediate valence: theore- tical models for anomalous rare- earth alloys and compounds C5-297
perature transition metal-semi- conductor in CdCr ₂ Se ₄ single	Cogblin (B.) Voir Jullien (R.). C5-331
crystals doped with indium and	Coutinho-Filho (M.D.) Voir Dos
gallium	Santos (R.J.V.) C5-343
Amzallag (E.) Voir Gebicki (W.). C5-339	Chvosta (P.) Voir Barvik (I.) C5-293
Averous (M.) Voir Desfours (J.P.)	Defranould (N.) Voir Paparoditis (C.)
Averous (M.) Voir Lascaray	Defranould (N.) Voir Paparoditis
(J.P.)	(C.)
Averous (M.) Voir Nadai (J.P.). C5- 87	Delvin (G.) Voir Geschwind (S.). C5-105
Avignon (11.) Voir Spronken (G.). C5-349	Descouts (P.) Voir Perrin (B.). C5-259
Avignon (M.) Voir Bennemann (K.H.)	Desfours (J.P.), Godart (C.),
Balberg (I.) Critical behavior of the electronic properties of magnetic semiconductors. I. Theory	Nadai (J.P.), Mauger (A.), Weill (G.) and Averous (M.) Electrical conductivity beha- viour of Gd doped EuO under hy- drostatic pressure
Barvik (I.), Capek (V.) and Chvosta	Desfours(J.P.) Voir Godart
(P.) Structure of the electro- nic spectrum of the ferromagne- tic s-d model using the method	(C.)
of moments	(J.P.) C5- 87
Bastard (G.), Gaj (J.A.), Planel (R.) and Rigaux (C.) Exchange interactions between localized and delocalized electrons in	Desfours (J.P.)Voir Mauger (A.). C5-263 Diouri (J.) Voir Lascaray (J.P.)
semimagnetic compounds C5-247	Dos Santos (R.J.V.) and Coutinho-
Bastard (G.) Voir Lewiner (C.) C5-289	Filho (M.D.) Free carrier absorption of radiation in fer-romagnetic semiconductors C5-343
Batlogg (B.) and Wachter (P.) Semiconductor-metal transitions in TmSe-TmTe and TmSe-EuSe C5- 59	Emin (D.) Small-polaron formation and motion in magnetic semicon-
Bauhofer (W.) Voir Güntherodt	ductors
(G.)	Escorne (M.) Voir Mauger (A.) C5-263
Below (K.P.) Voir Aminov (T.G.). C5-155	Escorne (M.) Voir Ravot (D.) C5-357
Benedek (G.) Voir Güntherodt (G.)	Etourneau (J.), Chevalier (B.) Hagenmuller (P.) and Georges
Benoit à la Guillaume (C.) Voir Planel (R.)	(R.) New magnetic semicondu- cting compounds: the rare earth oxynitrides Eu ² ± _x Ln ³ _x +O1-
Bennemann (K.H.) and Avignon (M.) Phonons in rare-earth systems with valence-transitions	$_{\rm x^{1}x^{-1}}^{\rm 1}$ (Ln ³⁺ = Nd ³⁺ , Eu ³⁺ , Gd ³⁺) C5-193 Felsch (M.) Voir Meschede (D.). C5-347
Berggren (K.F.) Voir Sernelius	Flouquet (J.), Haen (P.), Holtzberg
(B.E.)	(F.), Lapierre (F.), Mignot (J.M.) Ribault (M.) and Tournier
blin (B.)	(R.) Resistivity of TmSe under pressure at very low tempera-
Bhattacharjee (A.K.). Voil dailion	ture C5-177

	Güntherodt (G.), Merlin (R.),
Flouquet (J.), Holtzberg (F.),	Benedek (G.) and Bauhofer (W.)
Papoular (M.), Pena (O.),	Spin-dependent Raman scattering
Tournier (R.) and Vettier (C.) Magnetic properties of TmSe C5-255	from phonons in magnetic semi- conductors and insulators C5-241
Flouquet (J.) Voir Coqblin (B.) C5-297	Gurin (V.N.) Voir Weill (G.) C5-185
Fritzler (B.) Voir Kaldis (E.) C5-135	Hagenmuller (P.) Voir Etourneau
Fujita (T.) Voir Kasuya (T.) C5-161	(J.)
Gaj (J.A.) Voir Bastard (G.) C5-247	(F.), Pena (O.), Penney (T.) and
Gaj (J.A.) Voir Lewiner (C.) C5-289 Gaj (J.) Voir Planel (R.) C5-39	Tournier (R.) Magnetoresistance of $Sm_{1-x}La_{x}S$, $Sm_{1-x}Y_{x}S$ and SmS
Gebicki (M.), Amzallag (E.),	1-xAs _x alloys C5-181
Picquart (M.), Julien (Ch.) and Le Postollec (M.) Etude des	Haen (P.) Voir Flouquet (J.) C5-177 Hasegawa (A.) and Yanase (A.)
phonons dans les mélanges Mn _x Cd _{1 x} Te par diffusion Raman ^x	Electronic structure of EuB ₆ C5-377 Hedgcock (F.T.) Voir Perrin
et absorption infrarouge C5-339 Georges (R.) Voir Etourneau	(B.)
(J)	Heleskivi (J.) Voir Yamada (K.) C5-215
Geschwind (S.), Walstedt (R), Romestain (V.), Narayanamurti	Héritier (M.) and Lederer (P.)
(R.B.), Kummer and Delvin (G.) The doped semiconductor as a mo-	Remarks on the critical beha- viour of the optical absorption
del amorphous antiferromagnet C5-105	edge of a Mott ferromagnetic semiconductor C5- 93
Ghazali (A.) and Leroux-Hugon (P.) The local spin-density-functional	Héritier (M.), Lederer (P.) and
<pre>method : application to the metal- insulator transition in doped</pre>	Montambaux (G.) Solid ³ He as a magnetic semiconductor C5-353
semiconductors	Hlídek (P.), Zvára (M.), Prosser
Gibart (P.) Voir Vérié (C.) C5-367 Gibart (P.), Selmi (A.), Goldstein	(V.) and Unterricker (S.) Magneto-optical effects in the
(L.) and Vérié (C.) Electronic	impurity spectral region of CdCr ₂ Se ₄
properties of HgCr ₂ Se ₄ in con- nexion with departure from stoi-	Holtzberg (F.) Voir Flouquet
chiometry	(J.)
Gillon (J.C.) Voir Paparoditis (C.)	Holtzberg (F.) Voir Flouquet
Gillon (J.C.) Voir Paparoditis (C.)	Holtzberg (F.) Voir Haen (P.). C5-181
(C.)	Iliev (M.). Thermoreflectance, photoconductance and Raman scat-
Godart (C.) Voir Desfours	tering of ferromagnetic spinels (M=Cd, Hg; X=S, Se) near the
(J.P.) C5-219	magnetic phase transition C5- 23
Godart (C.), Mauger (A.), Desfours (J.P.) and Achard (J.C.) Phy-	Isikawa (Y.) Voir Kasuya (T.). C5-161
sical properties of EuO versus electronic concentrations C5-205	Isikawa (Y.) Voir Kamijo (A.). C5-189 Jullien (R.), Pfeuty (P.),
Goldstein (L.) Voir Gibart (P.) C5-157	Bhattacharjee (A.K.) and
Gorochov (O.) Voir Ravot (D.) C5-357	Coqblin (B.) The kondo lat- tice : a theoretical model for
Gorochov (O.) Voir Lévy- Clément (C.) C5-131	Tm Se ?
rünberg (P.) and Schwarz (B.)	Jullien (R.) Voir Coqblin (B.). C5-297 Julien (Ch.) Voir Gebicki (V.). C5-339
Light scattering from spinwaves and magnetooptic hysteresis mea-	Julien (Ch.) Voir Gebicki (W.). C5-339 Kaldis (E.) and Fritzler (B.) A ³
surements on EuO and EuS C5-243	solid state chemistry of new semiconductor with valence ins-
udat (W.), Alvarado (S.F.), Campagna (M.) and Pétroff (Y.) Fano-resonances, surface and	tabilities: $TmSe_{1-x}$ and Tm_{1-x} Eu_xSe
bulk effects in photoemission from the rare earths C5- 1	Kalinnikov (V.T.) Voir Aminov
üntherodt (G.) Electron-phonon	(T.G.)
interaction in SmS C5- 65	Kamijo (A.), Takase (A.), Isikawa (Y.), Kunii (S.), Suzuki (T.) and Kasuya (T.) Transport
	and magnetic properties of
	$Gd_{3-x}D_{x}S_{4}$ C5-189

Rasuya (T.) Voir Sarkagshara (K.).	Kasaya (M.) Voir Kasuya (T.)	C5-161	Mauger (A.), Escorne (M.) Godart	
Rasuya (T.) Voir Sera (H.).	Kasuya (T.) Voir Takagahara (K.)	C5-327	(C.), Desfours (J.P.) and Achard (J.C.) Magnetic properties of	
Kasuya (T.) Voir Samijo (A.). C5-187 Kasuya (T.). Takegahara (K.), Kasaya (N.). Isikawa (Y.) and Tujita (T.) Electronic structure of Euls, transport and magnetic properties of Ni., C5-187 Kawakami (H.) Voir Sera (H.). C5-187 Kawakami (H.) Voir Sera (H.). C5-187 Kawakami (H.) Voir Sera (H.). C5-187 Kawakami (H.) Voir Samidon (W.) Eus thin film properties in relation to stoichiometry and defects. C5-127 Kuroleva (L.I.) Voir Aminov (T.G.) Voir Sinkkonen (J.) Voir Sinkonen (J.) Voir Sinkkonen (J.) Voir Sinkkonen (J.) Voir Samijo (A.). C5-185 Kummer - Voir Geschwind (S.). C5-185 Kumid (S.) Voir Kamijo (A.). C5-189 Lachère (G.) and Bonnelle (C.) Electronic distributions of Uo by X-ray spectroscopy C5-15 Lapierre (F.) Voir Haen (P.). C5-375 Kuti (J.) Voir Taft (C.A.) C5-187 Lapierre (F.) Voir Haen (P.). C5-375 Lapierre (F.) Voir Haen (P.). C5-375 Lapierre (F.) Voir Haen (P.). C5-375 Lapierre (F.) Voir Maen (P.). C5-189 Lara (S.) Voir Taft (C.A.) C5-189 Lacearay (J.P.) Voir Nadai (J.P.) Voir Samijo (A.). C5-189 Lacearay (J.P.) Voir Maen (P.). C5-347 Laecaray (J.P.) Voir Maen (P.). C5-347 Laecaray (J.P.) Voir Maen (P.). C5-375 Leosus-Hugon (P.) Voir Meritier (M.). C5-336 Leosus-Hugon (P.) Voir Meritier (M.). C5-367 Leovas-Hugon (P.) Voir Meritier (M.). C5-367 Leovas-Hugon (P.) Voir Meritier (M.). C5-375 Mair (G.) Transport and magnetic cropoetties of Ni., C5-367 Leovas-Hugon (P.) Voir Meritier (M.) C5-187 Leovas-Hugon (P.) Voir Meritier (M.) C5-375 Mari (G.) Voir Khne (J.) C5-275 Mair (G.) Voir Khne (J.) C5-375 Mair (G.) Voir Allen (J				C5-263
Kasuya (T.) Voir Kamijo (A.). Kasuya (T.). Takegahara (K.), Kasaya (M.). Isikwa (Y.) and Tature of RNB, Electronic structure of RNB, Electronic of RNB, Electronic of RNB, Electronic of RNB, Electronic of Stribunding of C5-161 Kawakami (H.) Voir Sera (M.). C5-17 Koroleva (L.I.) Voir Aninov (T.G.) Voir Sinkkonen (J.) Voir Geschwind (S.). C5-155 Kuivalainen (P.) Voir Sinkkonen (J.) C5-185 Kummer - Voir Geschwind (S.). C5-105 Kummer - Voir Geschwind (S.). C5-105 Kunii (S.) Voir Mamijo (A.). C5-189 Lachere (G.) and Bonnelle (C.) Electronic distributions of UO ₂ by X-ray spectroscopy C5-15 Lapierre (F.) Voir Haen (F.). C5-181 Lara (S.) Voir Taft (C.A.) C5-375 Lapierre (F.) Voir Haen (F.). C5-181 Lara (S.) Voir Taft (C.A.) C5-375 Lascaray (J.P.), Nadai (J.P.), Diouri (J.) and Averous (M.) Piezotramsmission behavior of ferromagnetic End under magnetic (J.) Voir Scholaid (J.P.) Voir				
Rasuya (T.), Takegahara (K.)				C5-205
Fujita (T.) Electronic structure of BuBe, transport and magnetic properties	Kasuya (T.), Takegahara (K.),			C5- 9
Rewakami (N.) Voir Sera (N.). C5-97	Fujita (T.) Electronic stru- cture of EuB ₆ , transport and		tering from magnetic excita-	
Köhne (J.), Mair (G.), Rasula (N.) Saftic (B.) and Zinn (W.) Eus thin film properties in relation to stoichiometry and defects C5-127 Koroleva (L.I.) Voir Aminov (T.G.)		C5-161		
Saftic (B.) and Zinn (W.). Eus thin film properties in relation to stoichiometry and defects. C5-127 Koroleva (L.I.) Voir Aminov (T.G.)	Kawakami (M.) Voir Sera (M.)	C5- 97		
Kuivalainen (P.) Voir Sinkkonen (J.)	Saftic (B.) and Zinn (W.) EuS thin film properties in relation		<pre>(W.), Maletta (H.) and Zinn (W.) Specific heat of insulating spin glasses (Eu, Sr)S near the onset</pre>	-
Kutwalainen (P.) Voir Sinkkonen (J.)	Koroleva (L.I.) Voir Aminov		Mignot (J.M.) Voir Flouquet (J.)	C5-177
Kummer Voir Geschwind (S.) C5-105 Kunii (S.) Voir Kamijo (A.) C5-189 Lachère (G.) and Bonnelle (C.) Electronic distributions of UO2 by X-ray spectroscopy C5-181 Lapierre (F.) Voir Flouquet (J.) C5-177 Lapierre (F.) Voir Taft (C.A.) C5-181 Lara (S.) Voir Taft (C.A.) C5-181 Lascaray (J.P.) , Nadai (J.P.) Jiouri (J.) and Averous (M.) Piezotransmission behavior of ferromagnetic Eu0 under magnetic field C5-47 Lascaray (J.P.) Voir Nadai (J.P.) Voir Lascaray (J.P.) and Averous (M.) Piezotransmission behavior of ferromagnetic Eu0 under magnetic (W.) C5-47 Lascaray (J.P.) Voir Heritier (M.) C5-93-353 Le Postollec (M.) Voir Gebicki (W.) C5-347 Lefoux -Hugon (P.) Voir Ghazali (A.) C5-347 Leroux -Hugon (P.) Voir Ghazali (M.) C5-347 Leroux -Hugon (P.) Voir Ghazali (J.) Electronic quasiparticle spectrum of ferromagnetic semiconductors C5-267 Chial (A.), Suzuki (T.) and Kasuya (T.) Voir Lascaray (J.P.) Defranould (N.) et Richard (J.) Sparoditis (C.), Gillon (J.C.) Defranould (N.) et Richard (J.) Sparoditis (C.), Gillon (J.C.) Defranould (N.) et Richard (J.) Sparoditis (C.), Gillon (J.C.) Defranould (N.) et Richard (J.) Sparoditis (C.), Gillon (J.C.) Defranould (N.) et Richard (J.) Structure electronique de Eu0 et Eus ferromagnétiques par les spectres de thermoreflexion (TR) de thermotransmission (TT) et d'absorption C5-43 Papoular (M.) Voir LerouxHugon (P.) Voir LerouxHugon (P.) Voir LerouxHugon (P.) Voir LerouxHugon (P.) Voir Leroux Magnetic susceptibility in the insulating and metallic phases of VO2 : the contribution of electron-electron and electron-lattice interactions C5-67 Lévy-Clément (C.) and Gorochov (O.) Transport and magnetic propert		C5 - 155	Montambaux (G.) Voir Héritier	
Kummer - Voir Geschwind (S.) C5-105 Kunii (S.) - Voir Kamijo (A.) C5-189 Lachère (G.) and Bonnelle (C.) Electronic distributions of UO ₂ by X-ray spectroscopy C5-15 Lapierre (F.) - Voir Flouquet (J.) C5-181 Lapierre (F.) - Voir Haen (P.) C5-181 Lara (S.) - Voir Taft (C.A.) C5-375 Lascaray (J.P.) , Nadai (J.P.) , Diouri (J.) and Averous (M.) - Piezotransmission behavior of ferromagnetic EuO under magnetic field C5-47 Lascaray (J.P.) - Voir Haenic (M.) C5-87 Lederer (P.) - Voir Héritier (M.) C5-93-353 Le Postollec (M.) - Voir Gebicki (W.) C5-317 Leroux-Hugon (P.) and Paquet (D.) Magnetic susceptibility in the insulating and metallic phases of VO ₂ : the contribution of electron-electron and electronlattice interactions C5-67 Lévy-Clément (C.) and Gorochov (O.) - Transport and magnetic properties of N1_x(XrS with x 2**		C5=285		C5-353
Kunii (S.) Voir Kamijo (A.) C5-189 Lachère (G.) and Bonnelle (C.) Electronic distributions of UO2 by X-ray spectroscopy C5-15 Lapierre (F.) Voir Flouquet (J.) C5-177 Lapierre (F.) Voir Flouquet (J.) C5-177 Lapierre (F.) Voir Haen (P.) C5-181 Lara (S.) Voir Taft (C.A.) C5-181 Lascaray (J.P.), Nadai (J.P.), Diouri (J.) and Averous (M.) Piezotransmission behavior of ferromagnetic EuO under magnetic field C5-27 Lascaray (J.P.) Voir Nadai (J.P.), Diouri (J.) and Averous (M.) Ederer (P.) Voir Héritier (M.). C5-93-353 Leroux Hugon (P.) Voir Gebicki (W.) C5-375 Leroux Hugon (P.) Voir Ghazali (A.) C5-317 Leroux-Hugon (P.) Voir Ghazali (A.) C5-317 Leroux-Hugon (P.) Voir Ghazali (A.) C5-317 Leviner (C.). Gaj (J.A.) and Bastard (G.) Indirect exchange interaction in Hg1-x!nxTe and C1-x!nxTe and C1-x!nxTe and C1-x!nxTe alloys C5-127 Maletta (H.) Spin-glass properties of (Eu, Sr) C5-147 Maletta (H.) Voir Meschede (D.). C5-347 Mattin (R.M.) Voir Allen (J.W.). C5-161				C5-375
Lachère (G.) and Bonnelle (C.).— Electronic distributions of UO ₂ by X-ray spectroscopy Lapierre (F.) Voir Flouquet (J.) C5-15 Lapierre (F.) Voir Taft (C.A.) Lapierre (F.) Voir Taft (C.A.) Lara (S.) Voir Taft (C.A.) Lascaray (J.P.), Nadai (J.P.), Piezotransmission behavior of ferromagnetic Eu0 under magnetic field Lascaray (J.P.) Voir Nadai (J.P.) Lascaray (J.P.) Voir Nadai (J.P.) Lascaray (J.P.) Voir Madi (J.P.) Lascaray (J.P.) Voir Heritier (M.). C5-93-353 Le Postollec (M.) Voir Gebicki (W.) Leroux-Hugon (P.) Voir Gebicki (M.) Leroux-Hugon (P.) Voir Gazali (A.) Leviner (C.), Gaj (J.A.) and Bastard (G.) Indirect exchange interaction in Hg1-x!mxTe and Cd1-x!mxTe alloys		C5-105		C3-373
Electronic distributions of UO2 by X-ray spectroscopy		C5-189	cesses in magnetic and in in-	C5- 51
Lapierre (F.) Voir Flouquet (J.) C5-177 Lapierre (F.) Voir Haen (P.) C5-181 Lara (S.) Voir Taft (C.A.) C5-375 Lascaray (J.P.), Nadai (J.P.), Diouri (J.) and Averous (M.) Piezotransmission behavior of ferromagnetic Euo under magnetic field	Electronic distributions of UO2	C5- 15		C5-219
Lapierre (F.) Voir Haen (P.) C5-181 Lara (S.) Voir Taft (C.A.) C5-375 Lascaray (J.P.), Nadai (J.P.), Diouri (J.) and Averous (M.) Piezotransmission behavior of ferromagnetic Eu0 under magne- tic field C5- 47 Lascaray (J.P.) Voir Nadai (J.P.) C5- 47 Lascaray (J.P.) Voir Nadai (J.P.) C5- 87 Lederer (P.) Voir Héritier (M.). C5-93-353 Le Postollec (M.) Voir Gebicki (W.) C5-317 Leroux-Hugon (P.) Voir Ghazali (A.)	Lapierre (F.) Voir Flouquet (J.)			05 215
Lascaray (J.P.), Nadai (J.P.), Diouri (J.) and Averous (M.). Piezotransmission behavior of ferromagnetic EvO under magnetic (J.P.). Voir Nadai (J.P.). Voir School (J.P.). Voir Héritier (M.). C5-87 Lederer (P.). Voir Héritier (M.). C5-93-353 Le Postollec (M.). Voir Gebicki (W.). C5-339 Leroux Hugon (P.). Voir Ghazali (A.). C5-317 Leroux-Hugon (P.). Voir Ghazali (A.). Voir Héritier (D.). Magnetic susceptibility in the insulating and metallic phases of VO2: the contribution of electron-electron and electron-lattice interactions. C5-67 Lévy-Clément (C.) and Gorochov (O.). Transport and magnetic properties of Ni _{1-x} Cr _x S with x 2 28. C5-131 Lewiner (C.), Gaj (J.A.) and Bastard (G.). Indirect exchange interaction in Hg1-xlin _x Te and Cd1-xlin _x Te alloys. C5-127 Maletta (H.). Spin-glass properties of (Eu, Sr). C5-115 Maletta (H.). Voir Meschede (D.). C5-347 Martin (R.M.). Voir Allen (J.W.). C5-161 Transmission and resistivity near the Curie temperature. C5-87 Nadai (J.P.). Voir Lascaray (J.P.). Voir Lecurie temperature. C5-47 Nadai (J.P.). Voir Lascaray (J.P.). Voir Lecurie temperature. C5-47 Nadai (J.P.). Voir Lascaray (J.P.). Voir Lecurie temperature. C5-47 Nadai (J.P.). Voir Lascaray (J.P.). Voir Lecurie temperature. C5-47 Nadai (J.P.). Voir Vérié (C.). C5-367 Nogues (M.). Voir Vérié (C.). C5-367 Nolting (W.). Electronic quasiparticle spectrum of ferromagnetic semiconductors. C5-267 Ochiai (A.), Suzuki (T.) and Kasuya (T.). Valence fluctuation in Sm35e4. C5-70 Paparoditis (C.), Gillon (J.C.). Defranould (N.) et Richard (J.). Etudes des transitions de phases magnétiques dans la première bande d'absorption. C5-101 Paparoditis (C.), Gillon (J.C.). Defranould (N.) et Richard (J.). Structure électronique de Euo et EuS ferromagnétiques par les spectres de thermoreflexion (TS) de thermotransmission (TT) et d'absorption. C5-47 Paparoditis (C.), Gillon (J.C.) Defranould (N.) et Richard (J.). C5-101 Paparoditis (C.), Gillon (J.C.) Defranould (N.) - Voir Plouquet (J.) C5-255 Paquet (D.). Voir Haen	Lapierre (F.) Voir Haen (P.)	C5-181	Desfours (J.P.) and Averous (M.)	. –
Lascaray (J.P.), Nadai (J.P.), Diouri (J.) and Averous (M.) - Plezotransmission behavior of ferromagnetic Euo under magne- tic field	Lara (S.) Voir Taft (C.A.)	C5-375		
Piezotransmission behavior of ferromagnetic EuO under magnetic field			near the Curie temperature	C5- 87
Chwind (S.)	Piezotransmission behavior of ferromagnetic EuO under magne-		(J.P.)	C5- 47
Lederer (P.) Voir Héritier (M.).C5-93-353 Le Postollec (M.) Voir Gebicki (W.)		C5- 47	chwind (S.)	C5-105
ticle spectrum of ferromagnetic semiconductors		C5- 87	Nogues (M.) Voir Vérié (C.)	C5-367
Leroux-Hugon (P.) - Voir Gebicki (M.)	Lederer (P.) Voir Héritier (M.).	5-93-353		
Leroux-Hugon (P.) Voir Ghazali (A.)		C5=339	semiconductors	
Leroux-Hugon (P.) and Paquet (D.) Magnetic susceptibility in the insulating and metallic phases of VO ₂ : the contribution of electron-electron and electron-lattice interactions	Leroux -Hugon (P.) Voir Ghazali		(T.) Valence fluctuation in	
Magnetic susceptibility in the insulating and metallic phases of VO ₂ : the contribution of electron-electron and electron-lattice interactions	·			C3- /1
Lévy-Clément (C.) and Gorochov (O.) - Transport and magnetic properties of Ni _{1-x} Cr _x S with x 28	Magnetic susceptibility in the insulating and metallic phases of VO ₂ : the contribution of electron-electron and electron-		Defranould (N.) et Richard (J.). Etudes des transitions de phases magnétiques dans EuSe et EuTe parla spectroscopie par modula-	
O.) Transport and magnetic properties of Ni _{1-X} Cr _X S with x ≤ 2%		63 07		C5-101
Lewiner (C.), Gaj (J.A.) and Bastard (G.) Indirect exchange interaction in Hg1-xMnxTe and Cd1-xMnxTe alloys	(0.) Transport and magnetic properties of Ni _{1-X} Cr _X S with x	GE 121	Defranould (N.) et Richard (J.).	-
Bastard (G.) Indirect exchange interaction in Hg _{1-x} Mn _x Te and Cd _{1-x} Mn _x Te alloys C5-289 Mair (G.) Voir Köhne (J.) C5-127 Maletta (H.) Spin-glass properties of (Eu, Sr) C5-115 Maletta (H.) Voir Meschede (D.). C5-347 Martin (R.M.) Voir Allen (J.W.). C5-161 Martin (R.M.) Voir Allen (J.W.). C5-161		C5-131	et EuS ferromagnétiques par les	
Cd _{1-x} Mn _x Te alloys C5-289 Mair (G.) Voir Köhne (J.) C5-127 Maletta (H.) Spin-glass properties of (Eu, Sr) C5-115 Maletta (H.) Voir Meschede (D.). C5-347 Martin (R.M.) Voir Allen (J.W.). C5-161 Papoular (M.) Voir Flouquet (J.) C5-255 Papoular (M.) Voir Flouquet (J.). C5-255 Pena (O.) Voir Haen (P.) C5-181 Pena (O.) Voir Flouquet (J.) C5-255	Bastard (G.) Indirect exchange interaction in Hg _{1-x} Mn _x Te and		de thermotransmission (TT) et	C5- 43
Maletta (H.) Spin-glass properties of (Eu, Sr)				
Maletta (H.) Spin-glass proper ties of (Eu, Sr)		C5-127	-	
Maletta (H.) Voir Meschede (D.). C5-347 Pena (O.) Voir Haen (P.) C5-181 Martin (R.M.) Voir Allen (J.W.). C5-161 Pena (O.) Voir Flouquet (J.) C5-255	Maletta (H.) Spin-glass proper- ties of (Eu, Sr)	C5-115	(P.)	C5- 67
Martin (R.M.) Voir Allen (J.W.). C5-161 Pena (O.) Voir Flouquet (J.) C5-255		C5-347	Pena (0.) Voir Haen (P.)	C5-181
Mauger (A.) Voir Desfours (J.P.) C5-219 Penney (T.) Voir Haen (P.) C5-181	Martin (R.M.) Voir Allen (J.W.).	C5-161		C5-255
	Mauger (A.) Voir Desfours (J.P.)	C5-219	Penney (T.) Voir Haen (P.)	C5-181

	·	7 5
Perrin (B.), Descouts (P.) and	Stubb (H.) Voir Yamada (K.) C5-2	
Hedgook (F.T.) - NMR shift measurements of Mn doped SnTe	Stubb (T.) Voir Sinkkonen (J.). C5-2	
compounds	Suzuki (1.). Voli italia	
Pétroff (Y.) Voir Gudat (W.) C5-	_	97
Pfeuty (P.) Voir Jullien (R.) C5-3		71
Picquart (II.) Voir Gebicki (VI.) C5-3	Taft (C.A.). Moreira Xavier (R.)	
Planel (R.), Gaj (J.) and Benoit à la Guillaume (C.) Exchange induced ionization of bound excitons in Cd _{1-x} Mn _x Te C5-	and Lara (S.) Effects of the mean free path on the indirect exchange interaction in magnetic semiconductors C5-3	
Planel (R.) Voir Bastard (G.) C5-2		
Prosser (V.) Voir Hlídek (P.) C5-3	35 Takase (A.) Voir Sera (M.) C5-	97
Rasula (N.) Voir Köhne (J.) C5-1	Takegahara (K.), Yanase (A.) and	
Ravot (D.), Achard (J.C.), Gorochov (O.), Escorne (M.) and Mauger (A.) Growth and physical	Kasuya (T.) Unusual anisotropy mechanism in Ce-pnictides due to virtual valence fluctuation C5-3	327
properties of crystals of Eu _{1-x}	Takegahara (K.) Voir Kasuya (T.) C5-1	61
Yb_{x} Te (0 < x < 1)	Theodossion (A.) Volt Isacts	271
Romestain (R.) Voir Geschwind	(D.)	
(S.) C5-10 Ribault (M.) Voir Flouquet (J.) C5-177	10411101 (117)	101
Richard (J.) Voir Paparoditis	Tournier (R.) Voir Flouquet (J.) C5-1	77
(C.)	Tournier (R.) Voir Flouquet (J.) C5-2	55
Richard (J.) Voir Paproditis	Tovmasjan (L.N.) Voir Aminov (T.G.)	55
C.) C5-101 Rigaux (C.) Voir Bastard (G.) C5-247	Montin (D) and Minedanian (3)	,,,
Safran (S.A.) Raman scattering	Thermal conductivity and thermo-	
studies of spin order and fluc-	electric power in pyrrhotite (Fe ₇ S ₈)	71
tuation in the europium chalco- génides	Unhammialan (C.) Train 773 (3-1)	
Saftic (B.) Voir Köhne (J.) C5-127	(P.)	35
Schlegel (A.) and Wachter (P.)	Vérié (C.) Voir Gibart (P.) C5-1	57
Optical properties of magnetite (Fe ₃ O ₄) in the infrared C5- 19	concept in magnetic semicondu-	
Schoenes (J.) UO ₂ : a 5f-magnetic semi _c conductor	ctors C5-3	67
Schwarz (B.) Voir Grünberg (P.) C5-243	Vettier (C.) Voir Flouquet (J.) C5-2	55
Selmi (A.) Voir Gibart (P.) C5-157	Wachter (P.) Voir Schlegel (A.) C5-	19
Sera (M.), Takase (A.), Kawakami	Wachter (P.) Voir Batlogg (B.). C5-	59
(M.), Suzuki (T.) and Kasuya (T.) Magnetic impurity state	Walstedt (R.) Voir Geschwind (S.) C5-1	105
in n-type EuTe C5- 97 Sernelius (B.E.) and Berggren	Weill (G.), Smirnov (I.A.) and Gurin (V.N.) Pressure measure-	
(K.F.) Magnetoresistance in	ments of electrical transport	
n-channel Si (100)- SiO ₂ inversion layers C5-361	properties of EuB ₆	85
Sion layers C5-361 Sinkkonen (J.), Kuivalainen (P.)	Weili (G.) voir Desiours (J.P.) C5-2	19
and Stubb (T.) Stability of the magnetic polaron C5-285	Yamada (K.), Heleskivi (J.) and Stubb H.) Photoelectric ef- fects in high-resistivity	
Smirnov (I.A.) Voir Spronken	EuSe	15
(G.)	Yanase (A.) Voir Hasegawa (A.). C5-3	71
Smirnov (I.A.) Voir Weill (G.). C5-185	ranase (A.) voir Takeganara	
mirnov (I.A.) Rare-earth semi- conductors studies in the Soviet	(K.)	27
Union C5-143	Zinn (W.) Voir Meschede (D.) C5-3	
pronken (G.), Avignon (M.) and	Zinn (W.) Voir Köhne (J.) C5-1	
Smirnov (I.A.) Valence transition induced by alloying C5-349	Zvara (M.) Voir Hlídek (P.) C5-3	35
Steglich (F.) Voir Meschede		
(D.) C5-347		

Lattice defects in ionic crystals

Canterbury (U.K.), 1979

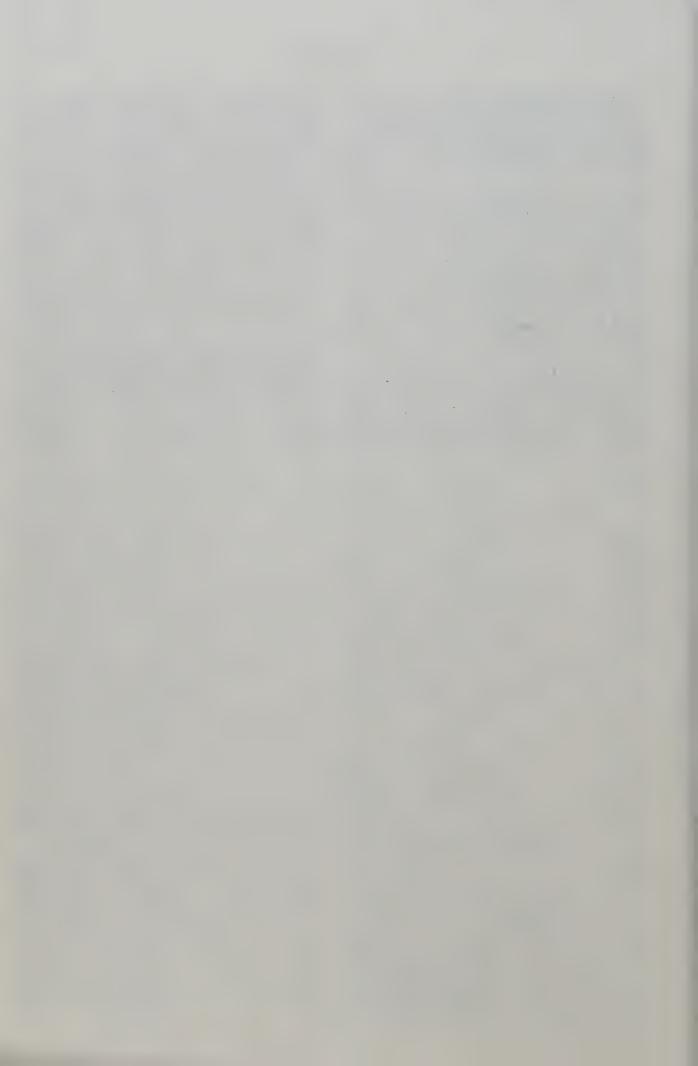
Abelard (P.). — Voir Cales (B.)	C6-462	Bhagavan Raju (I. V. K.), Strecker (H.) and Strunk (H.).	
Abraham (M. M.). — Voir Chen (Y.)	C6-398	— Transmission electron microscopy of doped NaCl	
Acharya (B. S.). — Voir Ratnam (V. V.)	C6-269	crystals	C6-37
Ackermann (H.). — Voir Buttler (W.)	C6-381	Birli (H.). — Voir Messer (R.)	C6-28
Acuña (L. A.) and Jacobs (P. W. M.). — Towards a self-		Blazey (K. W.), Koch (R.) and Bednorz (J. G.). — Colour	
consistent set of defect parameters for KCl	C6-72	centres in conducting SrTiO ₃	C6-513
Aegerter (M. A.). — Voir Mori (Y.)	C6-443	Böhm (M.), Grasser (R.), Hofstaetter (A.) and Scharmann	C0 31
Aguilar (M.), Jaque (F.) and Agulló-López (F.). — An hete-	C0-443	(A.). — Thermally and optically stimulated processes	
rogeneous nucleation model for the irradiation		in X-irradiated scheelite type crystals	C6-508
	C6 241	Boisson (M.). — Voir Gaboriaud (R. J.)	C6-17
coloring of alkali halides	C6-341	Boldu (J. L.). — Voir Chen (Y.)	C6-398
Agulló-López (F.). — Voir Aguilar (M.)	C6-341	Bonpunt (L.), Chanh (N. B.) and Haget (Y.). — Interdiffu-	C0-39
Agulló-López (F.). — Voir Townsend (P. D.)	C6-279	sion between sodium chloride and potassium chlo-	
Alcala (R.). — Voir Casas (J.)	C6-191	ride	C6-289
Alexopoulos (K.). — Voir Varotsos (P.)	C6-526	Bosi (L.). — Some effects of perturbation on F-centre	C0-20
Allnatt (A. R.) and Loftus Allnatt (E.). — Free energy and		lifetime	C6-45
point defect distribution for heavily doped AgCl by an		Boswarva (I. M.). — Voir Holt (D. B.)	C6-522
integral equation method	C6-94	Brandi (H. S.) and Koiller (B.). — Cluster-Bethe Lattice	C0-322
Alsem (W. H. M.), Sleeswyk (A. W.), Hackelöer (H. J.),		calculation for the electronic structure of hydrogen	
Münter (R.), Tamler (H.) and Kanert (O.). — Dislo-		centres in alkali-halides	C6-77
cation dynamics in alkali halide single crystals investi-		Brandt (W.) and Stern (S.). — Dynamics of positron-	C0-77
gated by nuclear spin relaxation measurements	C6-146	trapping color centers in alkali chloride crystals	C6-112
Alvarez Rivas (J. L.). — Thermoluminescence and lattice		Brivio (G. P.). — Voir Terzi (N.)	C6-84
defects in alkali halides	C6-353	Brunskill (I. H.). — Voir Edgar (A.)	C6-41:
Alvarez Rivas (J. L.). — Voir Hodgson (E. R.)	C6-351	Bücher (M.). — Voir Granzer (F.)	C6-10
Andeen (C.). — Voir Fontanella (J. J.)	C6-458	Butler (E. P.). — Voir Guerrero (A. L.)	C6-363
Aronsson (R.), Jansson (B.), Knape (H. E. G.), Lundén (A.),	C0-430	Buttler (W.), Stöckmann (HJ.), Fujara (F.), Heitjans	C0 50.
Nilsson (L.), Sjöblom (CA.) and Torell (L. M.).		(P.), Kiese (G.), Ackermann (H.), Bader (B.), Dörr	
Fast ion conductors with rotating sulphate ions	C6 25	(K.), Grupp (H.) and Lauter (H.). — Radiation	
<u> </u>	C6-35	induced point defects in CaF ₂ , SrF ₂ , BaF ₂ and MgF ₂ .	C6-38
Atkinson (A.) and Hammou (A.). — The self diffusion of	C6-323	indused point deletes in our 2, six 2, but 2 and wigi 2.	C0 30.
Ni inundoped and Al-doped NiO single crystals	C6-323		
Ayai (N.). — Voir Hagihara (T.)	C0-297	Cain (L. S.), Danieley (N.), Lee (J. CY.) and Slifkin (L.).	
n-1 (n) Y n (W)	C6-381	— Ionic space charge and dissolution of AgCl	C6-10
Bader (B.). — Voir Buttler (W.)	C0-361	Cales (B.) and Abelard (P.). — Dielectric properties of	C0-100
Baldacchini (G.), Gallerano (G.) and Lüty (F.). — Magnetic	C6-51	ionic conductors: yttria stabilized zirconia and forste-	
field effects on the F and F' centers in NaBr and NaI	C6-327	rite	C6-462
Barbezat (S.). — Voir Meyer (M.)	C6-315	Campbell (J. C.). — Voir Mackrodt (W. C.)	C6-64
Barklie (R. C.), Niklas (J. R.) and Spaeth (J. M.).	00 313	Capelletti (R.). — Voir Bertoldi (P. G.)	C6-36
ENDOR investigation of defects in sodium β -alu-		Capelletti (R.). — Voir Locatelli (M.)	C6-371
mina	C6-537	Carragher (B. O.). — Voir Comins (J. D.)	C6-166
Barr (L. W.). — Voir Rushbrook Williams (S. J. C.)			00 100
	(.6-293		
	C6-293	Casas (J.), Den Hartog (H. W.) and Alcalá (R.) Ni ⁺ and	C6-191
Bartram (R. H.), Wiltshire (M. C. K.) and Hayes (W.).		Casas (J.), Den Hartog (H. W.) and Alcalá (R.). — Ni ⁺ and Ni ³⁺ centers in X-irradiated CaF ₂	C6-191
Bartram (R. H.), Wiltshire (M. C. K.) and Hayes (W.). — Theory of F-centre Raman scattering in SrF ₂	C6-465	Casas (J.), Den Hartog (H. W.) and Alcalá (R.). — Ni ⁺ and Ni ³⁺ centers in X-irradiated CaF ₂	C6-12
Bartram (R. H.), Wiltshire (M. C. K.) and Hayes (W.). — Theory of F-centre Raman scattering in SrF ₂ Bathier (M.). — Voir Jacquet (M.)		Casas (J.), Den Hartog (H. W.) and Alcalá (R.). — Ni ⁺ and Ni ³⁺ centers in X-irradiated CaF ₂	C6-12'
Bartram (R. H.), Wiltshire (M. C. K.) and Hayes (W.). — Theory of F-centre Raman scattering in SrF ₂ Bathier (M.). — Voir Jacquet (M.) Bauer (R.) and Leutz (R. K.). — Defect pressure, formation	C6-465	Casas (J.), Den Hartog (H. W.) and Alcalá (R.). — Ni ⁺ and Ni ³⁺ centers in X-irradiated CaF ₂	C6-12' C6-53 C6-61
Bartram (R. H.), Wiltshire (M. C. K.) and Hayes (W.). Theory of F-centre Raman scattering in SrF ₂ Bathier (M.). — Voir Jacquet (M.) Bauer (R.) and Leutz (R. K.). — Defect pressure, formation volume, and temperature dependence of formation	C6-465 C6-447	Casas (J.), Den Hartog (H. W.) and Alcalá (R.). — Ni ⁺ and Ni ³⁺ centers in X-irradiated CaF ₂	C6-12' C6-53
Bartram (R. H.), Wiltshire (M. C. K.) and Hayes (W.). Theory of F-centre Raman scattering in SrF ₂ Bathier (M.). — Voir Jacquet (M.) Bauer (R.) and Leutz (R. K.). — Defect pressure, formation volume, and temperature dependence of formation properties of point defects in ionic solids	C6-465 C6-447	Casas (J.), Den Hartog (H. W.) and Alcalá (R.). — Ni ⁺ and Ni ³⁺ centers in X-irradiated CaF ₂	C6-12' C6-53 C6-61 C6-68
Bartram (R. H.), Wiltshire (M. C. K.) and Hayes (W.). Theory of F-centre Raman scattering in SrF ₂ Bathier (M.). — Voir Jacquet (M.) Bauer (R.) and Leutz (R. K.). — Defect pressure, formation volume, and temperature dependence of formation properties of point defects in ionic solids Bauer (R.). — Voir Schwan (L. O.)	C6-465 C6-447	Casas (J.), Den Hartog (H. W.) and Alcalá (R.). — Ni ⁺ and Ni ³⁺ centers in X-irradiated CaF ₂	C6-12' C6-53 C6-61 C6-68
Bartram (R. H.), Wiltshire (M. C. K.) and Hayes (W.). Theory of F-centre Raman scattering in SrF ₂ Bathier (M.). — Voir Jacquet (M.) Bauer (R.) and Leutz (R. K.). — Defect pressure, formation volume, and temperature dependence of formation properties of point defects in ionic solids Bauer (R.). — Voir Schwan (L. O.) Becker (K. D.). — Nuclear spin relaxation and correlated	C6-465 C6-447 C6-516 C6-408	Casas (J.), Den Hartog (H. W.) and Alcalá (R.). — Ni ⁺ and Ni ³⁺ centers in X-irradiated CaF ₂	C6-12' C6-53 C6-61 C6-68 C6-32
Bartram (R. H.), Wiltshire (M. C. K.) and Hayes (W.). Theory of F-centre Raman scattering in SrF ₂ Bathier (M.). — Voir Jacquet (M.) Bauer (R.) and Leutz (R. K.). — Defect pressure, formation volume, and temperature dependence of formation properties of point defects in ionic solids Bauer (R.). — Voir Schwan (L. O.) Becker (K. D.). — Nuclear spin relaxation and correlated diffusion of impurities	C6-465 C6-447 C6-516 C6-408	Casas (J.), Den Hartog (H. W.) and Alcalá (R.). — Ni ⁺ and Ni ³⁺ centers in X-irradiated CaF ₂	C6-12' C6-53 C6-61 C6-68
Bartram (R. H.), Wiltshire (M. C. K.) and Hayes (W.). Theory of F-centre Raman scattering in SrF ₂ Bathier (M.). — Voir Jacquet (M.) Bauer (R.) and Leutz (R. K.). — Defect pressure, formation volume, and temperature dependence of formation properties of point defects in ionic solids Bauer (R.). — Voir Schwan (L. O.) Becker (K. D.). — Nuclear spin relaxation and correlated diffusion of impurities Becker (L.). — Voir Kleemann (W.)	C6-465 C6-447 C6-516 C6-408 C6-249 C6-199	Casas (J.), Den Hartog (H. W.) and Alcalá (R.). — Ni ⁺ and Ni ³⁺ centers in X-irradiated CaF ₂	C6-12' C6-53 C6-61 C6-68 C6-32
Bartram (R. H.), Wiltshire (M. C. K.) and Hayes (W.). Theory of F-centre Raman scattering in SrF ₂ Bathier (M.). — Voir Jacquet (M.) Bauer (R.) and Leutz (R. K.). — Defect pressure, formation volume, and temperature dependence of formation properties of point defects in ionic solids Bauer (R.). — Voir Schwan (L. O.) Becker (K. D.). — Nuclear spin relaxation and correlated diffusion of impurities Becker (L.). — Voir Kleemann (W.) Bednorz (J. G.). — Voir Blazey (K. W.)	C6-465 C6-447 C6-516 C6-408	Casas (J.), Den Hartog (H. W.) and Alcalá (R.). — Ni ⁺ and Ni ³⁺ centers in X-irradiated CaF ₂	C6-12' C6-53 C6-61 C6-68 C6-32
Bartram (R. H.), Wiltshire (M. C. K.) and Hayes (W.). Theory of F-centre Raman scattering in SrF ₂ Bathier (M.). — Voir Jacquet (M.) Bauer (R.) and Leutz (R. K.). — Defect pressure, formation volume, and temperature dependence of formation properties of point defects in ionic solids Bauer (R.). — Voir Schwan (L. O.) Becker (K. D.). — Nuclear spin relaxation and correlated diffusion of impurities Becker (L.). — Voir Kleemann (W.) Bednorz (J. G.). — Voir Blazey (K. W.) Bendall (P. J.) and Catlow (C. R. A.). — Disorder in pure	C6-465 C6-447 C6-516 C6-408 C6-249 C6-199 C6-511	Casas (J.), Den Hartog (H. W.) and Alcalá (R.). — Ni ⁺ and Ni ³⁺ centers in X-irradiated CaF ₂	C6-12°C6-53 C6-61 C6-68 C6-32 C6-216 C6-289 C6-468
Bartram (R. H.), Wiltshire (M. C. K.) and Hayes (W.). Theory of F-centre Raman scattering in SrF ₂ Bathier (M.). — Voir Jacquet (M.). Bauer (R.) and Leutz (R. K.). — Defect pressure, formation volume, and temperature dependence of formation properties of point defects in ionic solids Bauer (R.). — Voir Schwan (L. O.). Becker (K. D.). — Nuclear spin relaxation and correlated diffusion of impurities Becker (L.). — Voir Kleemann (W.). Bednorz (J. G.). — Voir Blazey (K. W.). Bendall (P. J.) and Catlow (C. R. A.). — Disorder in pure and doped strontium chloride	C6-465 C6-447 C6-516 C6-408 C6-249 C6-199 C6-511	Casas (J.), Den Hartog (H. W.) and Alcalá (R.). — Ni ⁺ and Ni ³⁺ centers in X-irradiated CaF ₂	C6-12' C6-53 C6-61 C6-68 C6-32 C6-216 C6-289 C6-468 C6-391
Bartram (R. H.), Wiltshire (M. C. K.) and Hayes (W.). Theory of F-centre Raman scattering in SrF ₂ Bathier (M.). — Voir Jacquet (M.) Bauer (R.) and Leutz (R. K.). — Defect pressure, formation volume, and temperature dependence of formation properties of point defects in ionic solids. Bauer (R.). — Voir Schwan (L. O.). Becker (K. D.). — Nuclear spin relaxation and correlated diffusion of impurities. Becker (L.). — Voir Kleemann (W.). Bednorz (J. G.). — Voir Blazey (K. W.). Bendall (P. J.) and Catlow (C. R. A.). — Disorder in pure and doped strontium chloride. Bénière (F.). — Voir Bénière (M.).	C6-465 C6-447 C6-516 C6-408 C6-249 C6-199 C6-511 C6-61 C6-213	Casas (J.), Den Hartog (H. W.) and Alcalá (R.). — Ni ⁺ and Ni ³⁺ centers in X-irradiated CaF ₂	C6-12' C6-53 C6-61 C6-68 C6-32 C6-216 C6-289 C6-468 C6-391 C6-213
Bartram (R. H.), Wiltshire (M. C. K.) and Hayes (W.). Theory of F-centre Raman scattering in SrF ₂ Bathier (M.). — Voir Jacquet (M.) Bauer (R.) and Leutz (R. K.). — Defect pressure, formation volume, and temperature dependence of formation properties of point defects in ionic solids. Bauer (R.). — Voir Schwan (L. O.). Becker (K. D.). — Nuclear spin relaxation and correlated diffusion of impurities. Becker (L.). — Voir Kleemann (W.). Bednorz (J. G.). — Voir Blazey (K. W.). Bendall (P. J.) and Catlow (C. R. A.). — Disorder in pure and doped strontium chloride. Bénière (F.). — Voir Bénière (M.) Bénière (F.). — Voir Kostopoulos (D.).	C6-465 C6-447 C6-516 C6-408 C6-249 C6-199 C6-511	Casas (J.), Den Hartog (H. W.) and Alcalá (R.). — Ni ⁺ and Ni ³⁺ centers in X-irradiated CaF ₂	C6-12' C6-53 C6-61 C6-68 C6-32 C6-216 C6-289 C6-468 C6-391 C6-213
Bartram (R. H.), Wiltshire (M. C. K.) and Hayes (W.). Theory of F-centre Raman scattering in SrF2 Bathier (M.). — Voir Jacquet (M.) Bauer (R.) and Leutz (R. K.). — Defect pressure, formation volume, and temperature dependence of formation properties of point defects in ionic solids. Bauer (R.). — Voir Schwan (L. O.). Becker (K. D.). — Nuclear spin relaxation and correlated diffusion of impurities. Becker (L.). — Voir Kleemann (W.). Bednorz (J. G.). — Voir Blazey (K. W.). Bendall (P. J.) and Catlow (C. R. A.). — Disorder in pure and doped strontium chloride. Bénière (F.). — Voir Kostopoulos (D.). Bénière (M.), Chemla (M.) and Bénière (F.). — Self-diffu-	C6-465 C6-447 C6-516 C6-408 C6-249 C6-199 C6-511 C6-61 C6-213 C6-252	Casas (J.), Den Hartog (H. W.) and Alcalá (R.). — Ni ⁺ and Ni ³⁺ centers in X-irradiated CaF ₂	C6-12' C6-53 C6-61 C6-68 C6-32 C6-216 C6-289 C6-468 C6-391 C6-213
Bartram (R. H.), Wiltshire (M. C. K.) and Hayes (W.). Theory of F-centre Raman scattering in SrF2 Bathier (M.). — Voir Jacquet (M.) Bauer (R.) and Leutz (R. K.). — Defect pressure, formation volume, and temperature dependence of formation properties of point defects in ionic solids Bauer (R.). — Voir Schwan (L. O.). Becker (K. D.). — Nuclear spin relaxation and correlated diffusion of impurities Becker (L.). — Voir Kleemann (W.). Bednorz (J. G.). — Voir Blazey (K. W.). Bendall (P. J.) and Catlow (C. R. A.). — Disorder in pure and doped strontium chloride Bénière (F.). — Voir Kostopoulos (D.). Bénière (M.), Chemla (M.) and Bénière (F.). — Self-diffusion and ionic conductivity in SrCl2	C6-465 C6-447 C6-516 C6-408 C6-249 C6-199 C6-511 C6-61 C6-213	Casas (J.), Den Hartog (H. W.) and Alcalá (R.). — Ni ⁺ and Ni ³⁺ centers in X-irradiated CaF ₂	C6-12' C6-53 C6-61 C6-68 C6-32 C6-216 C6-289 C6-468 C6-391 C6-213 C6-319
Bartram (R. H.), Wiltshire (M. C. K.) and Hayes (W.). Theory of F-centre Raman scattering in SrF2 Bathier (M.). — Voir Jacquet (M.) Bauer (R.) and Leutz (R. K.). — Defect pressure, formation volume, and temperature dependence of formation properties of point defects in ionic solids Bauer (R.). — Voir Schwan (L. O.). Becker (K. D.). — Nuclear spin relaxation and correlated diffusion of impurities Becker (L.). — Voir Kleemann (W.). Bednorz (J. G.). — Voir Blazey (K. W.). Bendall (P. J.) and Catlow (C. R. A.). — Disorder in pure and doped strontium chloride Bénière (F.). — Voir Kostopoulos (D.). Bénière (M.), Chemla (M.) and Bénière (F.). — Self-diffusion and ionic conductivity in SrCl2 Bennett (R. W.) and Fredericks (W. J.). — Defect kinetics	C6-465 C6-447 C6-516 C6-408 C6-249 C6-199 C6-511 C6-61 C6-213 C6-252	Casas (J.), Den Hartog (H. W.) and Alcalá (R.). — Ni ⁺ and Ni ³⁺ centers in X-irradiated CaF ₂	C6-12' C6-53 C6-61 C6-68 C6-32 C6-216 C6-289 C6-319 C6-319
Bartram (R. H.), Wiltshire (M. C. K.) and Hayes (W.). Theory of F-centre Raman scattering in SrF2 Bathier (M.). — Voir Jacquet (M.) Bauer (R.) and Leutz (R. K.). — Defect pressure, formation volume, and temperature dependence of formation properties of point defects in ionic solids. Bauer (R.). — Voir Schwan (L. O.). Becker (K. D.). — Nuclear spin relaxation and correlated diffusion of impurities. Becker (L.). — Voir Kleemann (W.). Bednorz (J. G.). — Voir Blazey (K. W.) Bendall (P. J.) and Catlow (C. R. A.). — Disorder in pure and doped strontium chloride Bénière (F.). — Voir Kostopoulos (D.). Bénière (M.), Chemla (M.) and Bénière (F.). — Self-diffusion and ionic conductivity in SrCl2 Bennett (R. W.) and Fredericks (W. J.). — Defect kinetics in KCl single crystals	C6-465 C6-447 C6-516 C6-408 C6-249 C6-199 C6-511 C6-61 C6-213 C6-252	Casas (J.), Den Hartog (H. W.) and Alcalá (R.). — Ni ⁺ and Ni ³⁺ centers in X-irradiated CaF ₂	C6-12' C6-53 C6-61 C6-68 C6-32 C6-216 C6-289 C6-319 C6-319
Bartram (R. H.), Wiltshire (M. C. K.) and Hayes (W.). Theory of F-centre Raman scattering in SrF2 Bathier (M.). — Voir Jacquet (M.) Bauer (R.) and Leutz (R. K.). — Defect pressure, formation volume, and temperature dependence of formation properties of point defects in ionic solids. Bauer (R.). — Voir Schwan (L. O.). Becker (K. D.). — Nuclear spin relaxation and correlated diffusion of impurities. Becker (L.). — Voir Kleemann (W.). Bednorz (J. G.). — Voir Blazey (K. W.). Bendall (P. J.) and Catlow (C. R. A.). — Disorder in pure and doped strontium chloride Bénière (F.). — Voir Kostopoulos (D.). Bénière (M.), Chemla (M.) and Bénière (F.). — Self-diffusion and ionic conductivity in SrCl2. Bennett (R. W.) and Fredericks (W. J.). — Defect kinetics in KCl single crystals Bertoldi (P. G.). Capelletti (R.), Fermi (F.), Manfredi (M.)	C6-465 C6-447 C6-516 C6-408 C6-249 C6-199 C6-511 C6-61 C6-213 C6-252	Casas (J.), Den Hartog (H. W.) and Alcalá (R.). — Ni ⁺ and Ni ³⁺ centers in X-irradiated CaF ₂	C6-12' C6-53 C6-61 C6-68 C6-32 C6-216 C6-289 C6-315 C6-319 C6-398 C6-398 C6-398 C6-232
Bartram (R. H.), Wiltshire (M. C. K.) and Hayes (W.). Theory of F-centre Raman scattering in SrF2 Bathier (M.). — Voir Jacquet (M.) Bauer (R.) and Leutz (R. K.). — Defect pressure, formation volume, and temperature dependence of formation properties of point defects in ionic solids. Bauer (R.). — Voir Schwan (L. O.). Becker (K. D.). — Nuclear spin relaxation and correlated diffusion of impurities. Becker (L.). — Voir Kleemann (W.). Bednorz (J. G.). — Voir Blazey (K. W.) Bendall (P. J.) and Catlow (C. R. A.). — Disorder in pure and doped strontium chloride Bénière (F.). — Voir Kostopoulos (D.) Bénière (M.), Chemla (M.) and Bénière (F.). — Self-diffusion and ionic conductivity in SrCl2 Bennett (R. W.) and Fredericks (W. J.). — Defect kinetics in KCl single crystals Bertoldi (P. G.), Capelletti (R.), Fermi (F.), Manfredi (M.) and Graveris (V. J.). — Growth of Suzuki-like occlu-	C6-465 C6-447 C6-516 C6-408 C6-249 C6-199 C6-511 C6-61 C6-213 C6-252	Casas (J.), Den Hartog (H. W.) and Alcalá (R.). — Ni ⁺ and Ni ³⁺ centers in X-irradiated CaF ₂	C6-12' C6-53 C6-61 C6-68 C6-32 C6-216 C6-289 C6-315 C6-319 C6-398 C6-398 C6-398 C6-232
Bartram (R. H.), Wiltshire (M. C. K.) and Hayes (W.). Theory of F-centre Raman scattering in SrF2 Bathier (M.). — Voir Jacquet (M.) Bauer (R.) and Leutz (R. K.). — Defect pressure, formation volume, and temperature dependence of formation properties of point defects in ionic solids. Bauer (R.). — Voir Schwan (L. O.). Becker (K. D.). — Nuclear spin relaxation and correlated diffusion of impurities. Becker (L.). — Voir Kleemann (W.). Bednorz (J. G.). — Voir Blazey (K. W.). Bendall (P. J.) and Catlow (C. R. A.). — Disorder in pure and doped strontium chloride Bénière (F.). — Voir Kostopoulos (D.). Bénière (M.), Chemla (M.) and Bénière (F.). — Self-diffusion and ionic conductivity in SrCl2. Bennett (R. W.) and Fredericks (W. J.). — Defect kinetics in KCl single crystals Bertoldi (P. G.). Capelletti (R.), Fermi (F.), Manfredi (M.)	C6-465 C6-447 C6-516 C6-408 C6-249 C6-199 C6-511 C6-61 C6-213 C6-252	Casas (J.), Den Hartog (H. W.) and Alcalá (R.). — Ni ⁺ and Ni ³⁺ centers in X-irradiated CaF ₂	C6-12' C6-53 C6-61 C6-68 C6-32 C6-216 C6-289 C6-468 C6-391 C6-319 C6-232 C6-166

		Fujara (F.). — Voir Buttler (W.)	C6-381
Corish (J.), Quigley (J. M.), Catlow (C. R. A.) and Jacobs		Funke (K.), Höch (A.) and Lechner (R. E.). — Quasielastic	
(P. W. M.) Dopant aggregation and precipitation		neutron scattering from a single crystal of α-AgI	C6-17
in alkali halides doped with divalent ions	C6-68	neutron scattering from a shigh crystal of a right crystal of	
Crawford Jr. (J. H.) and Eisenberg (D. J.). — Dielectric			
polarization of thermochemically treated MgO : Li ⁺		Gaboriaud (R. J.) and Boisson (M.) Dissociation of the	
	C6-394	dislocation and plasticity of the yttrium sesquioxyde:	
ci jourio :	C6-438	Y ₂ O ₃	C6-171
Crummet (w. P.). — Von Nickiow (K. W.)	00 100	Y_2O_3	C6-51
		Gallerano (G.). — Voir Baldacchini (G.)	
Damerey (111)	C6-106	Gartia (R. K.). — Voir Ratnam (V. V.)	C6-269
Datta (S.). — Voir Holt (D. B.)	C6-522	Geigle (W.). — Voir Schwan (L. O.)	C6-408
Davenas (J.), Dupin (J. P.), Vu Thien Binh and Dupuy		Georgiev (M.), Martinov (N.) and Ouroushev (D.).	
(C. H. S.). — Characterization of different aggrega-		Maxwell-Boltzmann periodic structures by point	
	C6-385	defects in ionic crystals	C6-496
	C6-351	Ghomi (M.). — Voir Taurel (L.)	C6-468
Dempsey (M. J.) and Freer (R.). — Novel rapid technique		Gillan (M. J.). — Voir Dixon (M.)	C6-24
for the simulation of thermal vibration figures and		Glasbeek (M.) Voir Hond (R.)	C6-540
	C6-257	Gomes (L.). — Voir Morato (S. P.)	C6-155
	C0-237	Goovaerts (E.), De Schepper (L.) and Schoemaker (D.)	
Den Hartog (H. W.). — Electric dipole-dipole interaction		Inelastic light scattering of the V _K - and H-centre in	
in CaF ₂ : R ³⁺ and SrF ₂ : R ³⁺ : results of ITC and	01.005	alkali halides	C6-472
	C6-275	Graham (G.). — Voir Smith (D. Y.)	C6-80
Den Hartog (H. W.). — Voir Casas (J.)	C6-191	Granzer (F.), Bücher (M.), Heuser (HG.), Petrasch (P.)	
De Schepper (L.). — Voir Goovaerts (E.)	C6-472	and Potstada (H. H.). — Formation energies of point	
de Souza (M. F.). — Voir Pinatti (D. M. G.)	C6-455	defects in silver halides : comparison of atomistically	
Differt (K.). — Voir Messer (R.)	C6-28	calculated values with values obtained by measure-	
Dixon (M.) and Gillan (M. J.). — Computer simulation		ment of surface potentials	C6-101
	C6-24	Grassano (U. M.). — Two-photon spectroscopy of point	C 0-101
*	C6-381		C6-359
Doukhan (N.), Duclos (R.) and Escaig (B.). — Effect of	0000	defects	C6-508
crystal orientation on the high temperature defor-		Grasser (R.). — Voir Böhm (M.)	
	C6-139	Graveris (V. J.). — Voir Bertoldi (P. G.)	C6-367
	C6-425	Grawe (E.). — Voir Kleemann (W.)	C6-199
	C6-139	Grupp (H.). — Voir Buttler (W.)	C6-381
	C6-385	Guerrero (A. L.), Butler (E. P.) and Pratt (P. L.). — The	01010
	C6-385	Suzuki phase in NaCl : Cd ²⁺ and NaCl : Mg ²⁺	C6-363
Dupuy (C. H. S.). — VOIT Davenas (J.)	C0-303	Guillot (G.). — Voir Nouailhat (A.)	C6-308
Durand (D.) Sagranda do Carmo (I. C.) and Luty (E.)			
Durand (D.), Scavarda do Carmo (L. C.) and Luty (F.). —			
Raman and infrared studies of librational-trans-	C6 427		
Raman and infrared studies of librational-trans- lational modes in stress-aligned ferroelastic KCN		Hackelöer (H. J.). — Voir Alsem (W. H. M.)	C6-146
Raman and infrared studies of librational-translational modes in stress-aligned ferroelastic KCN (DuVarney (R. C.), Niklas (J. R.) and Spaeth (J. M.). —		Hackelöer (H. J.). — Voir Alsem (W. H. M.) Haget (Y.). — Voir Bonpunt (L.)	C6-146 C6-289
Raman and infrared studies of librational-translational modes in stress-aligned ferroelastic KCN (DuVarney (R. C.), Niklas (J. R.) and Spaeth (J. M.).		Hackelöer (H. J.). — Voir Alsem (W. H. M.) Haget (Y.). — Voir Bonpunt (L.) Hagihara (T.), Iwamoto (K.), Fukumoto (K.) and Ayai (N.).	
Raman and infrared studies of librational-translational modes in stress-aligned ferroelastic KCN (DuVarney (R. C.), Niklas (J. R.) and Spaeth (J. M.). — ENDOR study of the F center in KMgF ₃		Hackelöer (H. J.). — Voir Alsem (W. H. M.) Haget (Y.). — Voir Bonpunt (L.) Hagihara (T.), Iwamoto (K.), Fukumoto (K.) and Ayai (N.). — Chemical reactions and transport processes in lead	C6-289
Raman and infrared studies of librational-translational modes in stress-aligned ferroelastic KCN (DuVarney (R. C.), Niklas (J. R.) and Spaeth (J. M.). — ENDOR study of the F center in KMgF ₃	C6-48	Hackelöer (H. J.). — Voir Alsem (W. H. M.) Haget (Y.). — Voir Bonpunt (L.) Hagihara (T.), Iwamoto (K.), Fukumoto (K.) and Ayai (N.). — Chemical reactions and transport processes in lead iodide single crystals	C6-289 C6-297
Raman and infrared studies of librational-translational modes in stress-aligned ferroelastic KCN (DuVarney (R. C.), Niklas (J. R.) and Spaeth (J. M.). — ENDOR study of the F center in KMgF ₃	C6-48	Hackelöer (H. J.). — Voir Alsem (W. H. M.) Haget (Y.). — Voir Bonpunt (L.) Hagihara (T.), Iwamoto (K.), Fukumoto (K.) and Ayai (N.). — Chemical reactions and transport processes in lead iodide single crystals Hahn (K.). — Voir Winnacker (A.)	C6-289 C6-297 C6-39
Raman and infrared studies of librational-translational modes in stress-aligned ferroelastic KCN (DuVarney (R. C.), Niklas (J. R.) and Spaeth (J. M.). — ENDOR study of the F center in KMgF ₃	C6-48 C6-531	Hackelöer (H. J.). — Voir Alsem (W. H. M.) Haget (Y.). — Voir Bonpunt (L.) Hagihara (T.), Iwamoto (K.), Fukumoto (K.) and Ayai (N.). — Chemical reactions and transport processes in lead iodide single crystals Hahn (K.). — Voir Winnacker (A.) Haider (Y.). — Voir Edgar (A.)	C6-289 C6-297
Raman and infrared studies of librational-translational modes in stress-aligned ferroelastic KCN (DuVarney (R. C.), Niklas (J. R.) and Spaeth (J. M.). — ENDOR study of the F center in KMgF ₃ (Edel (P.), Henderson (B.), Merle d'Aubigné (Y.) and Romestain (R.). — Origin of the luminescence excited in the F absorption band in MgO (Edgar (A.), Brunskill (I. H.), Manson (N. B.) and Haider	C6-48 C6-531	Hackelöer (H. J.). — Voir Alsem (W. H. M.) Haget (Y.). — Voir Bonpunt (L.) Hagihara (T.), Iwamoto (K.), Fukumoto (K.) and Ayai (N.). — Chemical reactions and transport processes in lead iodide single crystals Hahn (K.). — Voir Winnacker (A.) Haider (Y.). — Voir Edgar (A.) Hammou (A.). — Voir Atkinson (A.)	C6-289 C6-297 C6-39
Raman and infrared studies of librational-translational modes in stress-aligned ferroelastic KCN (DuVarney (R. C.), Niklas (J. R.) and Spaeth (J. M.). — ENDOR study of the F center in KMgF ₃	C6-48 C6-531	Hackelöer (H. J.). — Voir Alsem (W. H. M.) Haget (Y.). — Voir Bonpunt (L.) Hagihara (T.), Iwamoto (K.), Fukumoto (K.) and Ayai (N.). — Chemical reactions and transport processes in lead iodide single crystals Hahn (K.). — Voir Winnacker (A.) Haider (Y.). — Voir Edgar (A.) Hammou (A.). — Voir Atkinson (A.) Harju (R.) and Laiho (R.). — Electron-lattice interaction	C6-289 C6-297 C6-39 C6-415
Raman and infrared studies of librational-translational modes in stress-aligned ferroelastic KCN (DuVarney (R. C.), Niklas (J. R.) and Spaeth (J. M.). — ENDOR study of the F center in KMgF ₃	C6-48 C6-531	Hackelöer (H. J.). — Voir Alsem (W. H. M.) Haget (Y.). — Voir Bonpunt (L.) Hagihara (T.), Iwamoto (K.), Fukumoto (K.) and Ayai (N.). — Chemical reactions and transport processes in lead iodide single crystals Hahn (K.). — Voir Winnacker (A.) Haider (Y.). — Voir Edgar (A.) Hammou (A.). — Voir Atkinson (A.) Harju (R.) and Laiho (R.). — Electron-lattice interaction of the Au ⁻ centre in KBr and RbCl	C6-289 C6-297 C6-39 C6-415
Raman and infrared studies of librational-translational modes in stress-aligned ferroelastic KCN (DuVarney (R. C.), Niklas (J. R.) and Spaeth (J. M.). — ENDOR study of the F center in KMgF ₃	C6-48 C6-531	Hackelöer (H. J.). — Voir Alsem (W. H. M.) Haget (Y.). — Voir Bonpunt (L.) Hagihara (T.), Iwamoto (K.), Fukumoto (K.) and Ayai (N.). — Chemical reactions and transport processes in lead iodide single crystals Hahn (K.). — Voir Winnacker (A.) Haider (Y.). — Voir Edgar (A.) Hammou (A.). — Voir Atkinson (A.) Harju (R.) and Laiho (R.). — Electron-lattice interaction of the Au ⁻ centre in KBr and RbCl Harris (L. B.). — Impurity precipitation and grain	C6-289 C6-297 C6-39 C6-415 C6-323
Raman and infrared studies of librational-translational modes in stress-aligned ferroelastic KCN	C6-48 C6-531 C6-415 C6-394 C6-327	Hackelöer (H. J.). — Voir Alsem (W. H. M.) Haget (Y.). — Voir Bonpunt (L.) Hagihara (T.), Iwamoto (K.), Fukumoto (K.) and Ayai (N.). — Chemical reactions and transport processes in lead iodide single crystals Hahn (K.). — Voir Winnacker (A.) Haider (Y.). — Voir Edgar (A.) Hammou (A.). — Voir Atkinson (A.) Harju (R.) and Laiho (R.). — Electron-lattice interaction of the Au ⁻ centre in KBr and RbCl Harris (L. B.). — Impurity precipitation and grain boundary diffusion in NaCl	C6-289 C6-297 C6-39 C6-415 C6-323
Raman and infrared studies of librational-translational modes in stress-aligned ferroelastic KCN	C6-48 C6-531 C6-415 C6-394 C6-327	Hackelöer (H. J.). — Voir Alsem (W. H. M.) Haget (Y.). — Voir Bonpunt (L.) Hagihara (T.), Iwamoto (K.), Fukumoto (K.) and Ayai (N.). — Chemical reactions and transport processes in lead iodide single crystals Hahn (K.). — Voir Winnacker (A.) Haider (Y.). — Voir Edgar (A.) Hammou (A.). — Voir Atkinson (A.) Harju (R.) and Laiho (R.). — Electron-lattice interaction of the Au centre in K Br and RbCl Harris (L. B.). — Impurity precipitation and grain boundary diffusion in NaCl Haydar (A.) and Coret (A.). — Excitonic photoconducti-	C6-289 C6-297 C6-39 C6-415 C6-323 C6-195
Raman and infrared studies of librational-translational modes in stress-aligned ferroelastic KCN	C6-48 C6-531 C6-415 C6-394 C6-327	Hackelöer (H. J.). — Voir Alsem (W. H. M.) Haget (Y.). — Voir Bonpunt (L.) Hagihara (T.), Iwamoto (K.), Fukumoto (K.) and Ayai (N.). — Chemical reactions and transport processes in lead iodide single crystals Hahn (K.). — Voir Winnacker (A.) Haider (Y.). — Voir Edgar (A.) Hammou (A.). — Voir Atkinson (A.) Harju (R.) and Laiho (R.). — Electron-lattice interaction of the Au centre in K Br and RbCl Harris (L. B.). — Impurity precipitation and grain boundary diffusion in NaCl Haydar (A.) and Coret (A.). — Excitonic photoconducti-	C6-289 C6-297 C6-39 C6-415 C6-323 C6-195
Raman and infrared studies of librational-translational modes in stress-aligned ferroelastic KCN	C6-48 C6-531 C6-415 C6-394 C6-327 C6-139	Hackelöer (H. J.). — Voir Alsem (W. H. M.) Haget (Y.). — Voir Bonpunt (L.) Hagihara (T.), Iwamoto (K.), Fukumoto (K.) and Ayai (N.). — Chemical reactions and transport processes in lead iodide single crystals Hahn (K.). — Voir Winnacker (A.) Haider (Y.). — Voir Edgar (A.) Hammou (A.). — Voir Atkinson (A.) Harju (R.) and Laiho (R.). — Electron-lattice interaction of the Au ⁻ centre in KBr and RbCl. Harris (L. B.). — Impurity precipitation and grain boundary diffusion in NaCl. Haydar (A.) and Coret (A.). — Excitonic photoconductivity and structural defects in Cu ₂ O crystals Hayes (W.). — Superionics	C6-289 C6-297 C6-39 C6-415 C6-323 C6-195 C6-285
Raman and infrared studies of librational-translational modes in stress-aligned ferroelastic KCN	C6-48 C6-531 C6-415 C6-394 C6-327 C6-139	Hackelöer (H. J.). — Voir Alsem (W. H. M.) Haget (Y.). — Voir Bonpunt (L.) Hagihara (T.), Iwamoto (K.), Fukumoto (K.) and Ayai (N.). — Chemical reactions and transport processes in lead iodide single crystals Hahn (K.). — Voir Winnacker (A.) Haider (Y.). — Voir Edgar (A.) Hammou (A.). — Voir Atkinson (A.) Harju (R.) and Laiho (R.). — Electron-lattice interaction of the Au ⁻ centre in KBr and RbCl. Harris (L. B.). — Impurity precipitation and grain boundary diffusion in NaCl. Haydar (A.) and Coret (A.). — Excitonic photoconductivity and structural defects in Cu ₂ O crystals Hayes (W.). — Superionics	C6-289 C6-297 C6-39 C6-415 C6-323 C6-195 C6-285 C6-504
Raman and infrared studies of librational-translational modes in stress-aligned ferroelastic KCN	C6-48 C6-531 C6-415 C6-394 C6-327 C6-139	Hackelöer (H. J.). — Voir Alsem (W. H. M.) Haget (Y.). — Voir Bonpunt (L.) Hagihara (T.), Iwamoto (K.), Fukumoto (K.) and Ayai (N.). — Chemical reactions and transport processes in lead iodide single crystals Hahn (K.). — Voir Winnacker (A.) Haider (Y.). — Voir Edgar (A.) Hammou (A.). — Voir Atkinson (A.) Harju (R.) and Laiho (R.). — Electron-lattice interaction of the Au ⁻ centre in KBr and RbCl Harris (L. B.). — Impurity precipitation and grain boundary diffusion in NaCl Haydar (A.) and Coret (A.). — Excitonic photoconductivity and structural defects in Cu ₂ O crystals Hayes (W.). — Superionics Hayes (W.). — Voir Bartram (R. H.)	C6-289 C6-297 C6-39 C6-415 C6-323 C6-195 C6-285 C6-504 C6-7 C6-465
Raman and infrared studies of librational-translational modes in stress-aligned ferroelastic KCN	C6-48 C6-531 C6-415 C6-394 C6-327 C6-139	Hackelöer (H. J.). — Voir Alsem (W. H. M.) Haget (Y.). — Voir Bonpunt (L.) Hagihara (T.), Iwamoto (K.), Fukumoto (K.) and Ayai (N.). — Chemical reactions and transport processes in lead iodide single crystals Hahn (K.). — Voir Winnacker (A.) Haider (Y.). — Voir Edgar (A.) Hammou (A.). — Voir Atkinson (A.) Harju (R.) and Laiho (R.). — Electron-lattice interaction of the Au ⁻ centre in KBr and RbCl Harris (L. B.). — Impurity precipitation and grain boundary diffusion in NaCl Haydar (A.) and Coret (A.). — Excitonic photoconductivity and structural defects in Cu ₂ O crystals Hayes (W.). — Superionics Hayes (W.). — Voir Bartram (R. H.) Heitjans (P.). — Voir Buttler (W.)	C6-289 C6-297 C6-39 C6-415 C6-323 C6-195 C6-285 C6-504 C6-7 C6-465 C6-381
Raman and infrared studies of librational-translational modes in stress-aligned ferroelastic KCN	C6-48 C6-531 C6-415 C6-394 C6-327 C6-139 C6-352 C6-367	Hackelöer (H. J.). — Voir Alsem (W. H. M.) Haget (Y.). — Voir Bonpunt (L.) Hagihara (T.), Iwamoto (K.), Fukumoto (K.) and Ayai (N.). — Chemical reactions and transport processes in lead iodide single crystals Hahn (K.). — Voir Winnacker (A.) Haider (Y.). — Voir Edgar (A.) Hammou (A.). — Voir Atkinson (A.) Harju (R.) and Laiho (R.). — Electron-lattice interaction of the Au ⁻ centre in KBr and RbCl Harris (L. B.). — Impurity precipitation and grain boundary diffusion in NaCl Haydar (A.) and Coret (A.). — Excitonic photoconductivity and structural defects in Cu ₂ O crystals Hayes (W.). — Superionics Hayes (W.). — Voir Bartram (R. H.) Heitjans (P.). — Voir Buttler (W.) Henderson (B.). — Voir Edel (P.)	C6-289 C6-297 C6-39 C6-415 C6-323 C6-195 C6-285 C6-504 C6-7 C6-465 C6-381 C6-531
Raman and infrared studies of librational-translational modes in stress-aligned ferroelastic KCN	C6-48 C6-531 C6-415 C6-394 C6-327 C6-139 C6-352 C6-367 C6-451	Hackelöer (H. J.). — Voir Alsem (W. H. M.) Haget (Y.). — Voir Bonpunt (L.) Hagihara (T.), Iwamoto (K.), Fukumoto (K.) and Ayai (N.). — Chemical reactions and transport processes in lead iodide single crystals Hahn (K.). — Voir Winnacker (A.) Haider (Y.). — Voir Edgar (A.) Hammou (A.). — Voir Atkinson (A.) Harju (R.) and Laiho (R.). — Electron-lattice interaction of the Au ⁻ centre in KBr and RbCl Harris (L. B.). — Impurity precipitation and grain boundary diffusion in NaCl Haydar (A.) and Coret (A.). — Excitonic photoconductivity and structural defects in Cu ₂ O crystals Hayes (W.). — Superionics Hayes (W.). — Voir Bartram (R. H.) Heitjans (P.). — Voir Buttler (W.) Henderson (B.). — Voir Edel (P.) Heuser (HG.). — Voir Granzer (F.)	C6-289 C6-297 C6-39 C6-415 C6-323 C6-195 C6-285 C6-504 C6-7 C6-465 C6-381 C6-531 C6-101
Raman and infrared studies of librational-translational modes in stress-aligned ferroelastic KCN	C6-48 C6-531 C6-415 C6-394 C6-327 C6-139 C6-352 C6-367 C6-451	Hackelöer (H. J.). — Voir Alsem (W. H. M.) Haget (Y.). — Voir Bonpunt (L.) Hagihara (T.), Iwamoto (K.), Fukumoto (K.) and Ayai (N.). — Chemical reactions and transport processes in lead iodide single crystals Hahn (K.). — Voir Winnacker (A.) Haider (Y.). — Voir Edgar (A.) Hammou (A.). — Voir Atkinson (A.) Harju (R.) and Laiho (R.). — Electron-lattice interaction of the Au ⁻ centre in KBr and RbCl Harris (L. B.). — Impurity precipitation and grain boundary diffusion in NaCl Haydar (A.) and Coret (A.). — Excitonic photoconductivity and structural defects in Cu ₂ O crystals Hayes (W.). — Superionics Hayes (W.). — Voir Bartram (R. H.) Heitjans (P.). — Voir Buttler (W.) Henderson (B.). — Voir Edel (P.) Heuser (HG.). — Voir Granzer (F.) Hillier (I. H.). — Voir Mackrodt (W. C.)	C6-289 C6-297 C6-39 C6-415 C6-323 C6-195 C6-285 C6-504 C6-7 C6-465 C6-381 C6-531
Raman and infrared studies of librational-translational modes in stress-aligned ferroelastic KCN	C6-48 C6-531 C6-415 C6-394 C6-327 C6-139 C6-352 C6-367 C6-451 C6-419	Hackelöer (H. J.). — Voir Alsem (W. H. M.) Haget (Y.). — Voir Bonpunt (L.) Hagihara (T.), Iwamoto (K.), Fukumoto (K.) and Ayai (N.). — Chemical reactions and transport processes in lead iodide single crystals Hahn (K.). — Voir Winnacker (A.) Haider (Y.). — Voir Edgar (A.) Hammou (A.). — Voir Atkinson (A.) Harju (R.) and Laiho (R.). — Electron-lattice interaction of the Au ⁻ centre in KBr and RbCl Harris (L. B.). — Impurity precipitation and grain boundary diffusion in NaCl Haydar (A.) and Coret (A.). — Excitonic photoconductivity and structural defects in Cu ₂ O crystals Hayes (W.). — Superionics Hayes (W.). — Voir Bartram (R. H.) Heitjans (P.). — Voir Buttler (W.) Henderson (B.). — Voir Edel (P.) Heuser (HG.). — Voir Granzer (F.) Hillier (I. H.). — Voir Mackrodt (W. C.) Hirai (M.), Suzuki (Y.) and Okumura (M.). — Formation	C6-289 C6-297 C6-39 C6-415 C6-323 C6-195 C6-285 C6-504 C6-7 C6-465 C6-381 C6-531 C6-101
Raman and infrared studies of librational-translational modes in stress-aligned ferroelastic KCN	C6-48 C6-531 C6-415 C6-394 C6-327 C6-139 C6-352 C6-367 C6-451 C6-419 C6-513	Hackelöer (H. J.). — Voir Alsem (W. H. M.) Haget (Y.). — Voir Bonpunt (L.) Hagihara (T.), Iwamoto (K.), Fukumoto (K.) and Ayai (N.). — Chemical reactions and transport processes in lead iodide single crystals Hahn (K.). — Voir Winnacker (A.) Haider (Y.). — Voir Edgar (A.) Hammou (A.). — Voir Atkinson (A.) Harju (R.) and Laiho (R.). — Electron-lattice interaction of the Au ⁻ centre in KBr and RbCl Harris (L. B.). — Impurity precipitation and grain boundary diffusion in NaCl Haydar (A.) and Coret (A.). — Excitonic photoconductivity and structural defects in Cu ₂ O crystals Hayes (W.). — Superionics Hayes (W.). — Voir Bartram (R. H.) Heitjans (P.). — Voir Buttler (W.) Henderson (B.). — Voir Edel (P.) Heuser (HG.). — Voir Granzer (F.) Hillier (I. H.). — Voir Mackrodt (W. C.) Hirai (M.), Suzuki (Y.) and Okumura (M.). — Formation of F centers and STE's in RbBr, RbI and KBr in pico-	C6-289 C6-297 C6-39 C6-415 C6-323 C6-195 C6-285 C6-504 C6-7 C6-465 C6-381 C6-531 C6-64
Raman and infrared studies of librational-translational modes in stress-aligned ferroelastic KCN	C6-48 C6-48 C6-415 C6-394 C6-327 C6-139 C6-367 C6-451 C6-451 C6-419 C6-513 C6-159	Hackelöer (H. J.). — Voir Alsem (W. H. M.) Haget (Y.). — Voir Bonpunt (L.) Hagihara (T.), Iwamoto (K.), Fukumoto (K.) and Ayai (N.). — Chemical reactions and transport processes in lead iodide single crystals Hahn (K.). — Voir Winnacker (A.) Haider (Y.). — Voir Edgar (A.) Hammou (A.). — Voir Atkinson (A.) Harju (R.) and Laiho (R.). — Electron-lattice interaction of the Au ⁻ centre in KBr and RbCl Harris (L. B.). — Impurity precipitation and grain boundary diffusion in NaCl Haydar (A.) and Coret (A.). — Excitonic photoconductivity and structural defects in Cu ₂ O crystals Hayes (W.). — Superionics Hayes (W.). — Voir Bartram (R. H.) Heitjans (P.). — Voir Buttler (W.) Henderson (B.). — Voir Granzer (F.) Hillier (I. H.). — Voir Granzer (F.) Hillier (I. H.). — Voir Mackrodt (W. C.) Hirai (M.), Suzuki (Y.) and Okumura (M.). — Formation of F centers and STE's in RbBr, Rbl and KBr in picosecond range	C6-289 C6-297 C6-39 C6-415 C6-323 C6-195 C6-285 C6-504 C6-7 C6-465 C6-381 C6-531 C6-64 C6-305
Raman and infrared studies of librational-translational modes in stress-aligned ferroelastic KCN	C6-48 C6-48 C6-415 C6-394 C6-327 C6-139 C6-367 C6-451 C6-451 C6-419 C6-513 C6-159	Hackelöer (H. J.). — Voir Alsem (W. H. M.) Haget (Y.). — Voir Bonpunt (L.) Hagihara (T.), Iwamoto (K.), Fukumoto (K.) and Ayai (N.). — Chemical reactions and transport processes in lead iodide single crystals Hahn (K.). — Voir Winnacker (A.) Haider (Y.). — Voir Edgar (A.) Hammou (A.). — Voir Atkinson (A.) Harju (R.) and Laiho (R.). — Electron-lattice interaction of the Au ⁻ centre in KBr and RbCl Harris (L. B.). — Impurity precipitation and grain boundary diffusion in NaCl Haydar (A.) and Coret (A.). — Excitonic photoconductivity and structural defects in Cu ₂ O crystals Hayes (W.). — Superionics Hayes (W.). — Voir Bartram (R. H.) Heitjans (P.). — Voir Buttler (W.) Henderson (B.). — Voir Granzer (F.) Hillier (I. H.). — Voir Mackrodt (W. C.) Hirai (M.), Suzuki (Y.) and Okumura (M.). — Formation of F centers and STE's in RbBr, RbI and KBr in picosecond range Hirth (J. P.). — Voir Yacamán (J. M.)	C6-289 C6-297 C6-39 C6-415 C6-323 C6-195 C6-285 C6-504 C6-7 C6-465 C6-381 C6-531 C6-64
Raman and infrared studies of librational-translational modes in stress-aligned ferroelastic KCN	C6-48 C6-48 C6-415 C6-394 C6-327 C6-139 C6-367 C6-451 C6-451 C6-419 C6-513 C6-159	Hackelöer (H. J.). — Voir Alsem (W. H. M.) Haget (Y.). — Voir Bonpunt (L.) Hagihara (T.), Iwamoto (K.), Fukumoto (K.) and Ayai (N.). — Chemical reactions and transport processes in lead iodide single crystals Hahn (K.). — Voir Winnacker (A.) Haider (Y.). — Voir Edgar (A.) Hammou (A.). — Voir Atkinson (A.) Harju (R.) and Laiho (R.). — Electron-lattice interaction of the Au ⁻ centre in KBr and RbCl Harris (L. B.). — Impurity precipitation and grain boundary diffusion in NaCl Haydar (A.) and Coret (A.). — Excitonic photoconductivity and structural defects in Cu ₂ O crystals Hayes (W.). — Superionics Hayes (W.). — Voir Bartram (R. H.) Heitjans (P.). — Voir Buttler (W.) Henderson (B.). — Voir Granzer (F.) Hillier (I. H.). — Voir Mackrodt (W. C.) Hirai (M.), Suzuki (Y.) and Okumura (M.). — Formation of F centers and STE's in RbBr, Rbl and KBr in picosecond range Hirth (J. P.). — Voir Yacamán (J. M.) Hobbs (L. W.) and Clinard Jr. (F. W.). — Faulted defect	C6-289 C6-297 C6-39 C6-415 C6-323 C6-195 C6-285 C6-504 C6-7 C6-465 C6-381 C6-531 C6-101 C6-64 C6-305 C6-485
Raman and infrared studies of librational-translational modes in stress-aligned ferroelastic KCN	C6-48 C6-48 C6-415 C6-394 C6-327 C6-139 C6-367 C6-451 C6-451 C6-419 C6-513 C6-159	Hackelöer (H. J.). — Voir Alsem (W. H. M.) Haget (Y.). — Voir Bonpunt (L.) Hagihara (T.), Iwamoto (K.), Fukumoto (K.) and Ayai (N.). — Chemical reactions and transport processes in lead iodide single crystals Hahn (K.). — Voir Winnacker (A.) Haider (Y.). — Voir Edgar (A.) Hammou (A.). — Voir Atkinson (A.) Harju (R.) and Laiho (R.). — Electron-lattice interaction of the Au centre in KBr and RbCl Harris (L. B.). — Impurity precipitation and grain boundary diffusion in NaCl Haydar (A.) and Coret (A.). — Excitonic photoconductivity and structural defects in Cu2O crystals Hayes (W.). — Superionics Hayes (W.). — Voir Bartram (R. H.) Heitjans (P.). — Voir Buttler (W.) Henderson (B.). — Voir Granzer (F.) Hillier (I. H.). — Voir Mackrodt (W. C.) Hirai (M.), Suzuki (Y.) and Okumura (M.). — Formation of F centers and STE's in RbBr, RbI and KBr in picosecond range Hirth (J. P.). — Voir Yacamán (J. M.) Hobbs (L. W.) and Clinard Jr. (F. W.). — Faulted defect aggregates in neutron-irradiated MgAl ₂ O ₄ spinel.	C6-289 C6-297 C6-39 C6-415 C6-323 C6-195 C6-285 C6-504 C6-7 C6-465 C6-381 C6-531 C6-64 C6-305
Raman and infrared studies of librational-translational modes in stress-aligned ferroelastic KCN	C6-48 C6-415 C6-394 C6-327 C6-139 C6-352 C6-367 C6-451 C6-451 C6-419 C6-513 C6-159 C6-186	Hackelöer (H. J.). — Voir Alsem (W. H. M.) Haget (Y.). — Voir Bonpunt (L.) Hagihara (T.), Iwamoto (K.), Fukumoto (K.) and Ayai (N.). — Chemical reactions and transport processes in lead iodide single crystals Hahn (K.). — Voir Winnacker (A.) Haider (Y.). — Voir Edgar (A.) Hammou (A.). — Voir Atkinson (A.) Harju (R.) and Laiho (R.). — Electron-lattice interaction of the Au centre in KBr and RbCl Harris (L. B.). — Impurity precipitation and grain boundary diffusion in NaCl Haydar (A.) and Coret (A.). — Excitonic photoconductivity and structural defects in Cu2O crystals Hayes (W.). — Superionics Hayes (W.). — Voir Bartram (R. H.) Heitjans (P.). — Voir Buttler (W.) Henderson (B.). — Voir Granzer (F.) Hillier (I. H.). — Voir Mackrodt (W. C.) Hirai (M.), Suzuki (Y.) and Okumura (M.). — Formation of F centers and STE's in RbBr, Rbl and KBr in picosecond range Hirth (J. P.). — Voir Yacamán (J. M.) Hobbs (L. W.) and Clinard Jr. (F. W.). — Faulted defect aggregates in neutron-irradiated MgAl ₂ O ₄ spinel. Hobbs (L. W.) and Pascucci (M. R.). — Radiolysis and	C6-289 C6-297 C6-39 C6-415 C6-323 C6-195 C6-285 C6-504 C6-7 C6-465 C6-381 C6-531 C6-101 C6-64 C6-305 C6-485
Raman and infrared studies of librational-translational modes in stress-aligned ferroelastic KCN	C6-48 C6-48 C6-531 C6-415 C6-394 C6-327 C6-139 C6-352 C6-367 C6-451 C6-451 C6-419 C6-513 C6-159 C6-186	Hackelöer (H. J.). — Voir Alsem (W. H. M.) Haget (Y.). — Voir Bonpunt (L.) Hagihara (T.), Iwamoto (K.), Fukumoto (K.) and Ayai (N.). — Chemical reactions and transport processes in lead iodide single crystals Hahn (K.). — Voir Winnacker (A.) Haider (Y.). — Voir Edgar (A.) Hammou (A.). — Voir Atkinson (A.) Harju (R.) and Laiho (R.). — Electron-lattice interaction of the Au ⁻ centre in KBr and RbCl Harris (L. B.). — Impurity precipitation and grain boundary diffusion in NaCl Haydar (A.) and Coret (A.). — Excitonic photoconductivity and structural defects in Cu ₂ O crystals Hayes (W.). — Superionics Hayes (W.). — Voir Bartram (R. H.) Heitjans (P.). — Voir Buttler (W.) Henderson (B.). — Voir Granzer (F.) Hillier (I. H.). — Voir Mackrodt (W. C.) Hirai (M.), Suzuki (Y.) and Okumura (M.). — Formation of F centers and STE's in RbBr, RbI and KBr in picosecond range Hirth (J. P.). — Voir Yacamán (J. M.) Hobbs (L. W.) and Clinard Jr. (F. W.). — Faulted defect aggregates in neutron-irradiated MgAl ₂ O ₄ spinel. Hobbs (L. W.) and Pascucci (M. R.). — Radiolysis and defect structure in electron-irradiated α-quartz.	C6-289 C6-297 C6-39 C6-415 C6-323 C6-195 C6-285 C6-504 C6-7 C6-465 C6-381 C6-531 C6-101 C6-64 C6-305 C6-485
Raman and infrared studies of librational-translational modes in stress-aligned ferroelastic KCN	C6-48 C6-48 C6-531 C6-415 C6-394 C6-327 C6-139 C6-352 C6-367 C6-451 C6-451 C6-419 C6-458 C6-458 C6-335	Hackelöer (H. J.). — Voir Alsem (W. H. M.) Haget (Y.). — Voir Bonpunt (L.) Hagihara (T.), Iwamoto (K.), Fukumoto (K.) and Ayai (N.). — Chemical reactions and transport processes in lead iodide single crystals Hahn (K.). — Voir Winnacker (A.) Haider (Y.). — Voir Edgar (A.) Hammou (A.). — Voir Atkinson (A.) Harju (R.) and Laiho (R.). — Electron-lattice interaction of the Au ⁻ centre in KBr and RbCl Harris (L. B.). — Impurity precipitation and grain boundary diffusion in NaCl Haydar (A.) and Coret (A.). — Excitonic photoconductivity and structural defects in Cu ₂ O crystals Hayes (W.). — Superionics Hayes (W.). — Voir Bartram (R. H.) Heitjans (P.). — Voir Buttler (W.) Henderson (B.). — Voir Granzer (F.) Hillier (I. H.). — Voir Mackrodt (W. C.) Hirai (M.), Suzuki (Y.) and Okumura (M.). — Formation of F centers and STE's in RbBr, RbI and KBr in picosecond range Hirth (J. P.). — Voir Yacamán (J. M.) Hobbs (L. W.) and Clinard Jr. (F. W.). — Faulted defect aggregates in neutron-irradiated MgAl ₂ O ₄ spinel. Hobbs (L. W.) and Pascucci (M. R.). — Radiolysis and defect structure in electron-irradiated α-quartz. Hobbs (L. W.). — Voir Youngman (R. A.)	C6-289 C6-297 C6-39 C6-415 C6-323 C6-195 C6-285 C6-504 C6-7 C6-465 C6-381 C6-531 C6-101 C6-64 C6-305 C6-485 C6-232
Raman and infrared studies of librational-translational modes in stress-aligned ferroelastic KCN (DuVarney (R. C.), Niklas (J. R.) and Spaeth (J. M.). — ENDOR study of the F center in KMgF3 (Control of the State of Control of the Luminescence excited in the F absorption band in MgO (Control of the State of Control of of	C6-48 C6-48 C6-531 C6-415 C6-394 C6-327 C6-139 C6-352 C6-367 C6-451 C6-451 C6-419 C6-513 C6-186 C6-458 C6-335 C6-432	Hackelöer (H. J.). — Voir Alsem (W. H. M.) Haget (Y.). — Voir Bonpunt (L.) Hagihara (T.), Iwamoto (K.), Fukumoto (K.) and Ayai (N.). — Chemical reactions and transport processes in lead iodide single crystals Hahn (K.). — Voir Winnacker (A.) Haider (Y.). — Voir Edgar (A.) Hammou (A.). — Voir Atkinson (A.) Harju (R.) and Laiho (R.). — Electron-lattice interaction of the Au ⁻ centre in KBr and RbCl Harris (L. B.). — Impurity precipitation and grain boundary diffusion in NaCl Haydar (A.) and Coret (A.). — Excitonic photoconductivity and structural defects in Cu ₂ O crystals Hayes (W.). — Superionics Hayes (W.). — Voir Bartram (R. H.) Heitjans (P.). — Voir Buttler (W.) Henderson (B.). — Voir Granzer (F.) Hillier (I. H.). — Voir Mackrodt (W. C.) Hirai (M.), Suzuki (Y.) and Okumura (M.). — Formation of F centers and STE's in RbBr, RbI and KBr in picosecond range Hirth (J. P.). — Voir Yacamán (J. M.) Hobbs (L. W.) and Clinard Jr. (F. W.). — Faulted defect aggregates in neutron-irradiated MgAl ₂ O ₄ spinel. Hobbs (L. W.) and Pascucci (M. R.). — Radiolysis and defect structure in electron-irradiated α-quartz. Hobbs (L. W.). — Voir Funke (K.)	C6-289 C6-297 C6-39 C6-415 C6-323 C6-195 C6-285 C6-504 C6-7 C6-465 C6-381 C6-531 C6-101 C6-64 C6-305 C6-485 C6-232 C6-237
Raman and infrared studies of librational-translational modes in stress-aligned ferroelastic KCN (DuVarney (R. C.), Niklas (J. R.) and Spaeth (J. M.). — ENDOR study of the F center in KMgF3 (Control of the State of Control of the Luminescence excited in the F absorption band in MgO (Control of the State of Control of Control of State of Control o	C6-48 C6-48 C6-531 C6-415 C6-394 C6-327 C6-139 C6-352 C6-367 C6-451 C6-451 C6-419 C6-458 C6-458 C6-335	Hackelöer (H. J.). — Voir Alsem (W. H. M.) Haget (Y.). — Voir Bonpunt (L.) Hagihara (T.), Iwamoto (K.), Fukumoto (K.) and Ayai (N.). — Chemical reactions and transport processes in lead iodide single crystals Hahn (K.). — Voir Winnacker (A.) Haider (Y.). — Voir Edgar (A.) Hammou (A.). — Voir Atkinson (A.) Harju (R.) and Laiho (R.). — Electron-lattice interaction of the Au ⁻ centre in KBr and RbCl Harris (L. B.). — Impurity precipitation and grain boundary diffusion in NaCl Haydar (A.) and Coret (A.). — Excitonic photoconductivity and structural defects in Cu ₂ O crystals Hayes (W.). — Superionics Hayes (W.). — Voir Bartram (R. H.) Heitjans (P.). — Voir Buttler (W.) Henderson (B.). — Voir Granzer (F.) Hillier (I. H.). — Voir Mackrodt (W. C.) Hirai (M.), Suzuki (Y.) and Okumura (M.). — Formation of F centers and STE's in RbBr, RbI and KBr in picosecond range Hirth (J. P.). — Voir Yacamán (J. M.) Hobbs (L. W.) and Clinard Jr. (F. W.). — Faulted defect aggregates in neutron-irradiated MgAl ₂ O ₄ spinel. Hobbs (L. W.) and Pascucci (M. R.). — Radiolysis and defect structure in electron-irradiated α-quartz. Hobbs (L. W.). — Voir Funke (K.) Höch (A.). — Voir Funke (K.)	C6-289 C6-297 C6-39 C6-415 C6-323 C6-195 C6-285 C6-504 C6-7 C6-465 C6-381 C6-531 C6-101 C6-64 C6-305 C6-485 C6-232 C6-237 C6-227
Raman and infrared studies of librational-translational modes in stress-aligned ferroelastic KCN	C6-48 C6-48 C6-531 C6-415 C6-394 C6-327 C6-139 C6-352 C6-367 C6-451 C6-451 C6-419 C6-513 C6-186 C6-458 C6-335 C6-432	Hackelöer (H. J.). — Voir Alsem (W. H. M.) Haget (Y.). — Voir Bonpunt (L.) Hagihara (T.), Iwamoto (K.), Fukumoto (K.) and Ayai (N.). — Chemical reactions and transport processes in lead iodide single crystals Hahn (K.). — Voir Winnacker (A.) Haider (Y.). — Voir Edgar (A.) Hammou (A.). — Voir Atkinson (A.) Harju (R.) and Laiho (R.). — Electron-lattice interaction of the Au ⁻ centre in KBr and RbCl Harris (L. B.). — Impurity precipitation and grain boundary diffusion in NaCl Haydar (A.) and Coret (A.). — Excitonic photoconductivity and structural defects in Cu ₂ O crystals Hayes (W.). — Superionics Hayes (W.). — Voir Bartram (R. H.) Heitjans (P.). — Voir Buttler (W.) Henderson (B.). — Voir Granzer (F.) Hillier (I. H.). — Voir Mackrodt (W. C.) Hirai (M.), Suzuki (Y.) and Okumura (M.). — Formation of F centers and STE's in RbBr, RbI and KBr in picosecond range Hirth (J. P.). — Voir Yacamán (J. M.) Hobbs (L. W.) and Clinard Jr. (F. W.). — Faulted defect aggregates in neutron-irradiated MgAl ₂ O ₄ spinel. Hobbs (L. W.) and Pascucci (M. R.). — Radiolysis and defect structure in electron-irradiated α-quartz. Hobbs (L. W.). — Voir Funke (K.) Höch (A.). — Voir Funke (K.)	C6-289 C6-297 C6-39 C6-415 C6-323 C6-195 C6-285 C6-504 C6-7 C6-465 C6-381 C6-531 C6-101 C6-64 C6-305 C6-485 C6-232 C6-237 C6-227
Raman and infrared studies of librational-translational modes in stress-aligned ferroelastic KCN	C6-48 C6-48 C6-531 C6-415 C6-394 C6-327 C6-139 C6-352 C6-367 C6-451 C6-451 C6-419 C6-513 C6-186 C6-458 C6-335 C6-432	Hackelöer (H. J.). — Voir Alsem (W. H. M.) Haget (Y.). — Voir Bonpunt (L.) Hagihara (T.), Iwamoto (K.), Fukumoto (K.) and Ayai (N.). — Chemical reactions and transport processes in lead iodide single crystals Hahn (K.). — Voir Winnacker (A.) Haider (Y.). — Voir Edgar (A.) Hammou (A.). — Voir Atkinson (A.) Harju (R.) and Laiho (R.). — Electron-lattice interaction of the Au ⁻ centre in KBr and RbCl Harris (L. B.). — Impurity precipitation and grain boundary diffusion in NaCl Haydar (A.) and Coret (A.). — Excitonic photoconductivity and structural defects in Cu ₂ O crystals Hayes (W.). — Superionics Hayes (W.). — Voir Bartram (R. H.) Heitjans (P.). — Voir Buttler (W.) Henderson (B.). — Voir Granzer (F.) Hillier (I. H.). — Voir Mackrodt (W. C.) Hirai (M.), Suzuki (Y.) and Okumura (M.). — Formation of F centers and STE's in RbBr, RbI and KBr in picosecond range Hirth (J. P.). — Voir Yacamán (J. M.) Hobbs (L. W.) and Clinard Jr. (F. W.). — Faulted defect aggregates in neutron-irradiated MgAl ₂ O ₄ spinel. Hobbs (L. W.) and Pascucci (M. R.). — Radiolysis and defect structure in electron-irradiated α-quartz. Hobbs (L. W.). — Voir Funke (K.)	C6-289 C6-297 C6-39 C6-415 C6-323 C6-195 C6-285 C6-504 C6-7 C6-465 C6-381 C6-531 C6-101 C6-64 C6-305 C6-485 C6-232 C6-237 C6-227

Holt (D. B.), Datta (S.) and Boswarva (I. M.). — SEM cathodoluminescence studies of heat-treated MgO		Laiho (R.). — Voir Harju (R.)	C6-195
crystals	C6-522	Laredo (E.), Figueroa (D. R.) and Puma (M.). — Pola-	
Hond (R.) and Glasbeek (M.). — Spin dephasing in the	C0-322	rizable complexes in barium floride doped with tri-	06.451
excited triplet state of F ⁺ -center pairs in CaO	C6-540	valent ions	C6-451 C6-265
Hsu (F. H.). — Voir Mallard (W. C.)	C6-501	Lauter (H.). — Voir Buttler (W.)	C6-381
Hughes (A. E.). — Voir Welch (L. S.)	C6-533	Lechner (R. E.). — Voir Funke (K.)	C6-17
, , , , , , , , , , , , , , , , , , , ,	00000	Lee (J. CY.). — Voir Cain (L. S.)	C6-106
Ikeya (M.) and Miki (T.). — Defect formation of LiH at		Lefrant (S.) and Rzepka (E.). — Raman study of V-centres	
low temperature	C6-312	in X-irradiated KI and RbI	C6-476
Imanaka (K.). — Voir Ohkura (H.)	C6-42	Leutz (R. K.). — Voir Bauer (R.)	C6-516
Itoh (M.). — Voir Kan'no (K.)	C6-301	Lévy (M.), Fouletier (J.) and Kleitz (M.). — Electronic	
Itoh (N.). — Voir Toriumi (K.)	C6-348	conductivity of non stoichiometry yttria-doped ceria.	C6-335
Iverson (M. V.). — Voir Sibley (W. A.)	C6-163	Levy (P. W.), Swyler (K. J.) and Klaffky (R. W.). — Radiation induced color center and colloid formation in	
Iwahana (K.). — Voir Ohkura (H.)	C6-42	synthetic NaCl and natural rock salt	C6-344
Iwamoto (K.). — Voir Hagihara (T.)	C6-297	Lidiard (A. B.) and McKee (R. A.). — Kinetics and thermo-	
Jacoard (C) Voir Mani (V)	06.442	dynamics of the migration of interstitial defects	C6-91
Jacobs (P. W. M.). — Matter transport in ionic crystals	C6-443	Lilley (E.). — Clustering of divalent cation-vacancy pairs	
Jacobs (P. W. M.). — Voir Acuña (L. A.)	C6-207 C6-72	in alkali halide crystals	C6-429
Jacobs (P. W. M.). — Voir Corish (J.)	C6-68	Locatelli (M.), Zecchi (E.) and Capelletti (R.). — Corre-	
Jacquet (M.) and Bathier (M.). — A study of impurity-		lated thermal conductivity and ionic thermocurrents measurements to study lead induced effects in KCl.	C6-371
vacancy complexes in SrCl ₂ doped with Na ⁺ , K ⁺ or		Loftus Allnatt (E.). — Voir Allnatt (A. R.)	C6-94
Rb ⁺ ions by the ionic thermocurrent method	C6-447	Lundén (A.). — Voir Aronsson (R.)	C6-35
Jansson (B.). — Voir Aronsson (R.)	C6-35	Lüty (F.). — Voir Baldacchini (G.)	C6-51
Janszky (J.), Turchányi (G.), Mátrai (M.) and Tarján (I.).		Luty (F.). — Voir Durand (D.)	C6-437
Dislocation influence on F-centre optical pro- perties	C6-179		
perties Jaque (F.). — Voir Aguilar (M.)	C6-179	Mackrodt (W. C.), Stewart (R. F.), Campbell (J. C.) and	
Jaroszkiewicz (G. A.) and Strange (J. H.). — ¹⁹ F N.M.R.	C0 341	Hillier (I. H.). — The calculated defect structure of	
studies of LaF ₃	C6-246	ZnO	C6-64
		Mali (M.). — Voir Kanert (O.)	C6-404
		Mallard (W. C.), Hsu (F. H.) and Vance (E. R.). — Effect	
Kabler (M. N.). — Voir Williams (R. T.)	C6-439	of the $V^- \leftrightarrow V^-$ transformation on positron annihilation lifetime spectra in MgO.	C6-501
Kamikawa (T.). — Voir Nagasaka (S.)	C6-412	lation lifetime spectra in MgO	C6-272
Kanert (O.). — Voir Alsem (W. H. M.)	C6-146	Manfredi (M.). — Voir Bertoldi (P. G.)	C6-367
gation of the dynamic properties of off-center Ag ⁺ -		Manson (N. B.). — Voir Edgar (A.)	C6-415
defects in RbCl	C6-404	Martinov (N.). — Voir Georgiev (M.)	C6-496
	CU-4U4		
Kan'no (K.), Itoh (M.) and Nakai (Y.). — Color center	C0-404	Mátrai (M.). — Voir Janszky (J.)	C6-179
Kan'no (K.), Itoh (M.) and Nakai (Y.). — Color center formation in KBr under polarized UV-laser irra-		Mátrai (M.). — Voir Janszky (J.)	C6-179 C6-91
formation in KBr under polarized UV-laser irradiation	C6-301	Mátrai (M.). — Voir Janszky (J.)	C6-179 C6-91 C6-513
formation in KBr under polarized UV-laser irradiation		Mátrai (M.). — Voir Janszky (J.). McKee (R. A.). — Voir Lidiard (A. B.). Mecseki (A.). — Voir Morlin (Z.). Mercier (E.). — Voir Nouailhat (A.).	C6-179 C6-91 C6-513 C6-308
formation in KBr under polarized UV-laser irradiation	C6-301	Mátrai (M.). — Voir Janszky (J.)	C6-179 C6-91 C6-513
formation in KBr under polarized UV-laser irradiation		Mátrai (M.). — Voir Janszky (J.). McKee (R. A.). — Voir Lidiard (A. B.). Mecseki (A.). — Voir Morlin (Z.). Mercier (E.). — Voir Nouailhat (A.). Merle d'Aubigné (Y.). — Voir Edel (P.).	C6-179 C6-91 C6-513 C6-308
formation in KBr under polarized UV-laser irradiation	C6-301	Mátrai (M.). — Voir Janszky (J.). McKee (R. A.). — Voir Lidiard (A. B.). Mecseki (A.). — Voir Morlin (Z.). Mercier (E.). — Voir Nouailhat (A.). Merle d'Aubigné (Y.). — Voir Edel (P.). Messer (R.), Birli (H.) and Differt (K.). — NMR-study of structure and diffusion processes in Li ₃ N	C6-179 C6-91 C6-513 C6-308 C6-531
formation in KBr under polarized UV-laser irradiation	C6-301	Mátrai (M.). — Voir Janszky (J.). McKee (R. A.). — Voir Lidiard (A. B.). Mecseki (A.). — Voir Morlin (Z.). Mercier (E.). — Voir Nouailhat (A.). Merle d'Aubigné (Y.). — Voir Edel (P.). Messer (R.), Birli (H.) and Differt (K.). — NMR-study of structure and diffusion processes in Li ₃ N. Meyer (M.), Barbezat (S.), El Houch (C.) and Talon (R.).	C6-179 C6-91 C6-513 C6-308 C6-531
formation in KBr under polarized UV-laser irradiation Kapphan (S.) and Koppitz (J.). — Temperature dependence of the reorientation behavior of <110 > off-center Ag+ defects in RbBr Kataoka (T.) and Yamada (T.). — Solution hardening and softening in KCl-KBr single crystals at low temperatures Kessler (A.). — Discharge of ions and space charge for-	C6-301 C6-401	Mátrai (M.). — Voir Janszky (J.). McKee (R. A.). — Voir Lidiard (A. B.). Mecseki (A.). — Voir Morlin (Z.). Mercier (E.). — Voir Nouailhat (A.). Merle d'Aubigné (Y.). — Voir Edel (P.). Messer (R.), Birli (H.) and Differt (K.). — NMR-study of structure and diffusion processes in Li ₃ N. Meyer (M.), Barbezat (S.), El Houch (C.) and Talon (R.). — Diffusion study of oxygen implanted in nickel oxide	C6-179 C6-91 C6-513 C6-308 C6-531
formation in KBr under polarized UV-laser irradiation Kapphan (S.) and Koppitz (J.). — Temperature dependence of the reorientation behavior of < 110 > off-center Ag ⁺ defects in RbBr Kataoka (T.) and Yamada (T.). — Solution hardening and softening in KCl-KBr single crystals at low temperatures	C6-301 C6-401 C6-150	Mátrai (M.). — Voir Janszky (J.). McKee (R. A.). — Voir Lidiard (A. B.). Mecseki (A.). — Voir Morlin (Z.). Mercier (E.). — Voir Nouailhat (A.). Merle d'Aubigné (Y.). — Voir Edel (P.). Messer (R.), Birli (H.) and Differt (K.). — NMR-study of structure and diffusion processes in Li ₃ N. Meyer (M.), Barbezat (S.), El Houch (C.) and Talon (R.).	C6-179 C6-91 C6-513 C6-308 C6-531 C6-28
formation in KBr under polarized UV-laser irradiation Kapphan (S.) and Koppitz (J.). — Temperature dependence of the reorientation behavior of ⟨110⟩ off-center Ag⁺ defects in RbBr Kataoka (T.) and Yamada (T.). — Solution hardening and softening in KCl-KBr single crystals at low temperatures Kessler (A.). — Discharge of ions and space charge formation in CdF₂ crystals with different kinds of electrodes.	C6-301 C6-401 C6-150	Mátrai (M.). — Voir Janszky (J.). McKee (R. A.). — Voir Lidiard (A. B.). Mecseki (A.). — Voir Morlin (Z.). Mercier (E.). — Voir Nouailhat (A.). Merle d'Aubigné (Y.). — Voir Edel (P.). Messer (R.), Birli (H.) and Differt (K.). — NMR-study of structure and diffusion processes in Li ₃ N. Meyer (M.), Barbezat (S.), El Houch (C.) and Talon (R.). — Diffusion study of oxygen implanted in nickel oxide Miki (T.). — Voir Ikeya (M.).	C6-179 C6-91 C6-513 C6-308 C6-531 C6-28
formation in KBr under polarized UV-laser irradiation Kapphan (S.) and Koppitz (J.). — Temperature dependence of the reorientation behavior of < 110 > off-center Ag+ defects in RbBr Kataoka (T.) and Yamada (T.). — Solution hardening and softening in KCl-KBr single crystals at low temperatures Kessler (A.). — Discharge of ions and space charge formation in CdF2 crystals with different kinds of electrodes Kiese (G.). — Voir Buttler (W.)	C6-301 C6-401 C6-150 C6-492 C6-381	Mátrai (M.). — Voir Janszky (J.). McKee (R. A.). — Voir Lidiard (A. B.). Mecseki (A.). — Voir Morlin (Z.). Mercier (E.). — Voir Nouailhat (A.). Merle d'Aubigné (Y.). — Voir Edel (P.). Messer (R.), Birli (H.) and Differt (K.). — NMR-study of structure and diffusion processes in Li ₃ N. Meyer (M.), Barbezat (S.), El Houch (C.) and Talon (R.). — Diffusion study of oxygen implanted in nickel oxide Miki (T.). — Voir Ikeya (M.). Mitchell (T. E.). — Voir Youngman (R. A.). Montserrat Benavent (W. E.). — Voir Felix (F. W.). Monty (C.). — Voir Perinet (F.)	C6-179 C6-91 C6-513 C6-308 C6-531 C6-28 C6-327 C6-312 C6-227
formation in KBr under polarized UV-laser irradiation Kapphan (S.) and Koppitz (J.). — Temperature dependence of the reorientation behavior of ⟨110⟩ off-center Ag⁺ defects in RbBr Kataoka (T.) and Yamada (T.). — Solution hardening and softening in KCl-KBr single crystals at low temperatures Kessler (A.). — Discharge of ions and space charge formation in CdF₂ crystals with different kinds of electrodes Kiese (G.). — Voir Buttler (W.) Kimble Jr. (R. J.). — Voir Fontanella (J. J.)	C6-401 C6-492 C6-381 C6-458	Mátrai (M.). — Voir Janszky (J.). McKee (R. A.). — Voir Lidiard (A. B.). Mecseki (A.). — Voir Morlin (Z.). Mercier (E.). — Voir Nouailhat (A.). Merle d'Aubigné (Y.). — Voir Edel (P.). Messer (R.), Birli (H.) and Differt (K.). — NMR-study of structure and diffusion processes in Li ₃ N. Meyer (M.), Barbezat (S.), El Houch (C.) and Talon (R.). — Diffusion study of oxygen implanted in nickel oxide Miki (T.). — Voir Ikeya (M.). Mitchell (T. E.). — Voir Youngman (R. A.). Montserrat Benavent (W. E.). — Voir Felix (F. W.). Monty (C.). — Voir Perinet (F.). Morato (S. P.) and Gomes (L.). — Kinetics of U ₂ to H ₂ O	C6-179 C6-91 C6-513 C6-308 C6-531 C6-28 C6-327 C6-312 C6-227 C6-352 C6-315
formation in KBr under polarized UV-laser irradiation Kapphan (S.) and Koppitz (J.). — Temperature dependence of the reorientation behavior of ⟨110⟩ off-center Ag⁺ defects in RbBr Kataoka (T.) and Yamada (T.). — Solution hardening and softening in KCl-KBr single crystals at low temperatures Kessler (A.). — Discharge of ions and space charge formation in CdF₂ crystals with different kinds of electrodes Kiese (G.). — Voir Buttler (W.) Kimble Jr. (R. J.). — Voir Fontanella (J. J.) Kirby (S. H.). — Voir Veyssière (P.)	C6-401 C6-492 C6-381 C6-458 C6-175	Mátrai (M.). — Voir Janszky (J.). McKee (R. A.). — Voir Lidiard (A. B.). Mecseki (A.). — Voir Morlin (Z.). Mercier (E.). — Voir Nouailhat (A.). Merle d'Aubigné (Y.). — Voir Edel (P.). Messer (R.), Birli (H.) and Differt (K.). — NMR-study of structure and diffusion processes in Li ₃ N. Meyer (M.), Barbezat (S.), El Houch (C.) and Talon (R.). — Diffusion study of oxygen implanted in nickel oxide Miki (T.). — Voir Ikeya (M.). Mitchell (T. E.). — Voir Youngman (R. A.). Montserrat Benavent (W. E.). — Voir Felix (F. W.). Monty (C.). — Voir Perinet (F.) Morato (S. P.) and Gomes (L.). — Kinetics of U ₂ to H ₂ O ⁻ defects conversion in OH ⁻ doped KCl and KBr	C6-179 C6-91 C6-513 C6-308 C6-531 C6-28 C6-327 C6-312 C6-227 C6-352
formation in KBr under polarized UV-laser irradiation Kapphan (S.) and Koppitz (J.). — Temperature dependence of the reorientation behavior of ⟨110⟩ off-center Ag⁺ defects in RbBr Kataoka (T.) and Yamada (T.). — Solution hardening and softening in KCl-KBr single crystals at low temperatures Kessler (A.). — Discharge of ions and space charge formation in CdF₂ crystals with different kinds of electrodes Kiese (G.). — Voir Buttler (W.) Kimble Jr. (R. J.). — Voir Fontanella (J. J.) Kirby (S. H.). — Voir Veyssière (P.) Kirkwood (F. G.). — Voir Chadwick (A. V.)	C6-401 C6-492 C6-381 C6-458	Mátrai (M.). — Voir Janszky (J.). McKee (R. A.). — Voir Lidiard (A. B.). Mecseki (A.). — Voir Morlin (Z.). Mercier (E.). — Voir Nouailhat (A.). Merle d'Aubigné (Y.). — Voir Edel (P.). Messer (R.), Birli (H.) and Differt (K.). — NMR-study of structure and diffusion processes in Li ₃ N Meyer (M.), Barbezat (S.), El Houch (C.) and Talon (R.). — Diffusion study of oxygen implanted in nickel oxide Miki (T.). — Voir Ikeya (M.). Mitchell (T. E.). — Voir Youngman (R. A.). Montserrat Benavent (W. E.). — Voir Felix (F. W.) Monty (C.). — Voir Perinet (F.). Morato (S. P.) and Gomes (L.). — Kinetics of U ₂ to H ₂ O ⁻ defects conversion in OH ⁻ doped KCl and KBr Mori (Y.), Jaccard (C.), Von der Weid (J. P.) and Aegerter	C6-179 C6-91 C6-513 C6-308 C6-531 C6-28 C6-327 C6-312 C6-227 C6-352 C6-315
formation in KBr under polarized UV-laser irradiation Kapphan (S.) and Koppitz (J.). — Temperature dependence of the reorientation behavior of < 110 > off-center Ag+ defects in RbBr Kataoka (T.) and Yamada (T.). — Solution hardening and softening in KCl-KBr single crystals at low temperatures Kessler (A.). — Discharge of ions and space charge formation in CdF2 crystals with different kinds of electrodes Kiese (G.). — Voir Buttler (W.) Kimble Jr. (R. J.). — Voir Fontanella (J. J.) Kirby (S. H.). — Voir Veyssière (P.) Kirkwood (F. G.). — Voir Chadwick (A. V.) Klaffky (R. W.). — Voir Levy (P. W.)	C6-301 C6-401 C6-150 C6-492 C6-381 C6-458 C6-175 C6-216	Mátrai (M.). — Voir Janszky (J.). McKee (R. A.). — Voir Lidiard (A. B.). Mecseki (A.). — Voir Morlin (Z.). Mercier (E.). — Voir Nouailhat (A.). Merle d'Aubigné (Y.). — Voir Edel (P.). Messer (R.), Birli (H.) and Differt (K.). — NMR-study of structure and diffusion processes in Li ₃ N Meyer (M.), Barbezat (S.), El Houch (C.) and Talon (R.). — Diffusion study of oxygen implanted in nickel oxide Miki (T.). — Voir Ikeya (M.). Mitchell (T. E.). — Voir Youngman (R. A.). Montserrat Benavent (W. E.). — Voir Felix (F. W.) Monty (C.). — Voir Perinet (F.). Morato (S. P.) and Gomes (L.). — Kinetics of U ₂ to H ₂ O ⁻ defects conversion in OH ⁻ doped KCl and KBr Mori (Y.), Jaccard (C.), Von der Weid (J. P.) and Aegerter (M. A.). — Relaxation processes of the triplet state	C6-179 C6-91 C6-513 C6-308 C6-531 C6-28 C6-327 C6-312 C6-227 C6-352 C6-315 C6-155
formation in KBr under polarized UV-laser irradiation Kapphan (S.) and Koppitz (J.). — Temperature dependence of the reorientation behavior of ⟨110⟩ off-center Ag⁺ defects in RbBr Kataoka (T.) and Yamada (T.). — Solution hardening and softening in KCl-KBr single crystals at low temperatures Kessler (A.). — Discharge of ions and space charge formation in CdF₂ crystals with different kinds of electrodes Kiese (G.). — Voir Buttler (W.) Kimble Jr. (R. J.). — Voir Fontanella (J. J.) Kirby (S. H.). — Voir Veyssière (P.) Kirkwood (F. G.). — Voir Chadwick (A. V.)	C6-401 C6-492 C6-498 C6-458 C6-175 C6-216 C6-344	Mátrai (M.). — Voir Janszky (J.). McKee (R. A.). — Voir Lidiard (A. B.). Mecseki (A.). — Voir Morlin (Z.). Mercier (E.). — Voir Nouailhat (A.). Merle d'Aubigné (Y.). — Voir Edel (P.). Messer (R.), Birli (H.) and Differt (K.). — NMR-study of structure and diffusion processes in Li ₃ N Meyer (M.), Barbezat (S.), El Houch (C.) and Talon (R.). — Diffusion study of oxygen implanted in nickel oxide Miki (T.). — Voir Ikeya (M.). Mitchell (T. E.). — Voir Youngman (R. A.). Montserrat Benavent (W. E.). — Voir Felix (F. W.) Monty (C.). — Voir Perinet (F.). Morato (S. P.) and Gomes (L.). — Kinetics of U ₂ to H ₂ O ⁻ defects conversion in OH ⁻ doped KCl and KBr Mori (Y.), Jaccard (C.), Von der Weid (J. P.) and Aegerter (M. A.). — Relaxation processes of the triplet state of self-trapped excitons in alkali-halide crystals	C6-179 C6-91 C6-513 C6-308 C6-531 C6-28 C6-327 C6-312 C6-227 C6-352 C6-315
formation in KBr under polarized UV-laser irradiation Kapphan (S.) and Koppitz (J.). — Temperature dependence of the reorientation behavior of < 110 > off-center Ag+ defects in RbBr Kataoka (T.) and Yamada (T.). — Solution hardening and softening in KCl-KBr single crystals at low temperatures Kessler (A.). — Discharge of ions and space charge formation in CdF2 crystals with different kinds of electrodes Kiese (G.). — Voir Buttler (W.) Kimble Jr. (R. J.). — Voir Fontanella (J. J.) Kirby (S. H.). — Voir Veyssière (P.) Kirkwood (F. G.). — Voir Chadwick (A. V.) Klaffky (R. W.). — Voir Levy (P. W.) Kleemann (W.), Grawe (E.) and Becker (L.). — Optical properties of cubic and tetragonal Cu ⁻ centers in alkali halides	C6-301 C6-401 C6-150 C6-492 C6-381 C6-458 C6-175 C6-216 C6-344 C6-199	Mátrai (M.). — Voir Janszky (J.). McKee (R. A.). — Voir Lidiard (A. B.). Mecseki (A.). — Voir Morlin (Z.). Mercier (E.). — Voir Nouailhat (A.). Merle d'Aubigné (Y.). — Voir Edel (P.). Messer (R.), Birli (H.) and Differt (K.). — NMR-study of structure and diffusion processes in Li ₃ N Meyer (M.), Barbezat (S.), El Houch (C.) and Talon (R.). — Diffusion study of oxygen implanted in nickel oxide Miki (T.). — Voir Ikeya (M.). Mitchell (T. E.). — Voir Youngman (R. A.). Montserrat Benavent (W. E.). — Voir Felix (F. W.) Monty (C.). — Voir Perinet (F.). Morato (S. P.) and Gomes (L.). — Kinetics of U ₂ to H ₂ O defects conversion in OH doped KCl and KBr Mori (Y.), Jaccard (C.), Von der Weid (J. P.) and Aegerter (M. A.). — Relaxation processes of the triplet state of self-trapped excitons in alkali-halide crystals Morlin (Z.), Péter (Á.), Földvári (I.) and Mecseki (A.). —	C6-179 C6-91 C6-513 C6-308 C6-531 C6-28 C6-327 C6-312 C6-227 C6-352 C6-315 C6-155
formation in KBr under polarized UV-laser irradiation Kapphan (S.) and Koppitz (J.). — Temperature dependence of the reorientation behavior of < 110 > off-center Ag+ defects in RbBr Kataoka (T.) and Yamada (T.). — Solution hardening and softening in KCl-KBr single crystals at low temperatures Kessler (A.). — Discharge of ions and space charge formation in CdF2 crystals with different kinds of electrodes Kiese (G.). — Voir Buttler (W.) Kimble Jr. (R. J.). — Voir Fontanella (J. J.) Kirbwood (F. G.). — Voir Veyssière (P.) Kirkwood (F. G.). — Voir Levy (P. W.) Kleemann (W.), Grawe (E.) and Becker (L.). — Optical properties of cubic and tetragonal Cu centers in alkali halides Kleitz (M.). — Voir Lévy (M.)	C6-301 C6-401 C6-450 C6-492 C6-381 C6-458 C6-175 C6-216 C6-344 C6-199 C6-335	Mátrai (M.). — Voir Janszky (J.). McKee (R. A.). — Voir Lidiard (A. B.). Mecseki (A.). — Voir Morlin (Z.). Mercier (E.). — Voir Nouailhat (A.). Merle d'Aubigné (Y.). — Voir Edel (P.). Messer (R.), Birli (H.) and Differt (K.). — NMR-study of structure and diffusion processes in Li ₃ N Meyer (M.), Barbezat (S.), El Houch (C.) and Talon (R.). — Diffusion study of oxygen implanted in nickel oxide Miki (T.). — Voir Ikeya (M.). Mitchell (T. E.). — Voir Youngman (R. A.). Montserrat Benavent (W. E.). — Voir Felix (F. W.) Monty (C.). — Voir Perinet (F.). Morato (S. P.) and Gomes (L.). — Kinetics of U ₂ to H ₂ Odefects conversion in OHdoped KCl and KBr Mori (Y.), Jaccard (C.), Von der Weid (J. P.) and Aegerter (M. A.). — Relaxation processes of the triplet state of self-trapped excitons in alkali-halide crystals Morlin (Z.), Péter (Á.), Földvári (I.) and Mecseki (A.). — An X-ray study of defective ionic single crystals	C6-179 C6-91 C6-513 C6-308 C6-531 C6-28 C6-327 C6-312 C6-227 C6-315 C6-155 C6-155
formation in KBr under polarized UV-laser irradiation Kapphan (S.) and Koppitz (J.). — Temperature dependence of the reorientation behavior of < 110 > off-center Ag+ defects in RbBr Kataoka (T.) and Yamada (T.). — Solution hardening and softening in KCl-KBr single crystals at low temperatures Kessler (A.). — Discharge of ions and space charge formation in CdF2 crystals with different kinds of electrodes Kiese (G.). — Voir Buttler (W.) Kimble Jr. (R. J.). — Voir Fontanella (J. J.) Kirby (S. H.). — Voir Veyssière (P.) Kirkwood (F. G.). — Voir Chadwick (A. V.) Klaffky (R. W.). — Voir Levy (P. W.) Kleemann (W.), Grawe (E.) and Becker (L.). — Optical properties of cubic and tetragonal Cu centers in alkali halides Kleitz (M.). — Voir Lévy (M.) Knape (H. E. G.). — Voir Aronsson (R.)	C6-301 C6-401 C6-450 C6-492 C6-381 C6-458 C6-175 C6-216 C6-344 C6-199 C6-335 C6-35	Mátrai (M.). — Voir Janszky (J.). McKee (R. A.). — Voir Lidiard (A. B.). Mecseki (A.). — Voir Morlin (Z.). Mercier (E.). — Voir Nouailhat (A.). Merle d'Aubigné (Y.). — Voir Edel (P.). Messer (R.), Birli (H.) and Differt (K.). — NMR-study of structure and diffusion processes in Li ₃ N. Meyer (M.), Barbezat (S.), El Houch (C.) and Talon (R.). — Diffusion study of oxygen implanted in nickel oxide Miki (T.). — Voir Ikeya (M.). Mitchell (T. E.). — Voir Youngman (R. A.). Montserrat Benavent (W. E.). — Voir Felix (F. W.). Monty (C.). — Voir Perinet (F.). Morato (S. P.) and Gomes (L.). — Kinetics of U ₂ to H ₂ Odefects conversion in OHdoped KCl and KBr. Mori (Y.), Jaccard (C.), Von der Weid (J. P.) and Aegerter (M. A.). — Relaxation processes of the triplet state of self-trapped excitons in alkali-halide crystals. Morlin (Z.), Péter (Á.), Földvári (I.) and Mecseki (A.). — An X-ray study of defective ionic single crystals. Mostoller (M.). — Voir Nicklow (R. M.).	C6-179 C6-91 C6-513 C6-308 C6-531 C6-28 C6-327 C6-312 C6-227 C6-352 C6-315 C6-155
formation in KBr under polarized UV-laser irradiation Kapphan (S.) and Koppitz (J.). — Temperature dependence of the reorientation behavior of < 110 > off-center Ag+ defects in RbBr Kataoka (T.) and Yamada (T.). — Solution hardening and softening in KCl-KBr single crystals at low temperatures Kessler (A.). — Discharge of ions and space charge formation in CdF2 crystals with different kinds of electrodes Kiese (G.). — Voir Buttler (W.) Kimble Jr. (R. J.). — Voir Fontanella (J. J.) Kirby (S. H.). — Voir Veyssière (P.) Kirkwood (F. G.). — Voir Chadwick (A. V.) Klaffky (R. W.). — Voir Levy (P. W.) Kleemann (W.), Grawe (E.) and Becker (L.). — Optical properties of cubic and tetragonal Cu ⁻ centers in alkali halides Kleitz (M.). — Voir Lévy (M.) Knape (H. E. G.). — Voir Aronsson (R.) Koch (R.). — Voir Blazey (K. W.)	C6-301 C6-401 C6-401 C6-492 C6-381 C6-458 C6-175 C6-216 C6-344 C6-199 C6-335 C6-35 C6-35	Mátrai (M.). — Voir Janszky (J.). McKee (R. A.). — Voir Lidiard (A. B.). Mecseki (A.). — Voir Morlin (Z.). Mercier (E.). — Voir Nouailhat (A.). Merle d'Aubigné (Y.). — Voir Edel (P.). Messer (R.), Birli (H.) and Differt (K.). — NMR-study of structure and diffusion processes in Li ₃ N Meyer (M.), Barbezat (S.), El Houch (C.) and Talon (R.). — Diffusion study of oxygen implanted in nickel oxide Miki (T.). — Voir Ikeya (M.). Mitchell (T. E.). — Voir Youngman (R. A.). Montserrat Benavent (W. E.). — Voir Felix (F. W.) Monty (C.). — Voir Perinet (F.). Morato (S. P.) and Gomes (L.). — Kinetics of U ₂ to H ₂ O ⁻ defects conversion in OH ⁻ doped KCl and KBr Mori (Y.), Jaccard (C.), Von der Weid (J. P.) and Aegerter (M. A.). — Relaxation processes of the triplet state of self-trapped excitons in alkali-halide crystals Morlin (Z.), Péter (Á.), Földvári (I.) and Mecseki (A.). — An X-ray study of defective ionic single crystals	C6-179 C6-91 C6-513 C6-308 C6-531 C6-28 C6-327 C6-312 C6-227 C6-315 C6-155 C6-155
formation in KBr under polarized UV-laser irradiation Kapphan (S.) and Koppitz (J.). — Temperature dependence of the reorientation behavior of < 110 > off-center Ag+ defects in RbBr Kataoka (T.) and Yamada (T.). — Solution hardening and softening in KCl-KBr single crystals at low temperatures Kessler (A.). — Discharge of ions and space charge formation in CdF2 crystals with different kinds of electrodes Kiese (G.). — Voir Buttler (W.) Kimble Jr. (R. J.). — Voir Fontanella (J. J.) Kirby (S. H.). — Voir Veyssière (P.) Kirkwood (F. G.). — Voir Chadwick (A. V.) Klaffky (R. W.). — Voir Levy (P. W.) Kleemann (W.), Grawe (E.) and Becker (L.). — Optical properties of cubic and tetragonal Cu ⁻ centers in alkali halides Kleitz (M.). — Voir Lévy (M.) Knape (H. E. G.). — Voir Aronsson (R.) Koch (R.). — Voir Blazey (K. W.) Koiller (B.). — Voir Brandi (H. S.)	C6-301 C6-401 C6-450 C6-492 C6-381 C6-458 C6-175 C6-216 C6-344 C6-199 C6-335 C6-35	Mátrai (M.). — Voir Janszky (J.). McKee (R. A.). — Voir Lidiard (A. B.). Mecseki (A.). — Voir Morlin (Z.). Mercier (E.). — Voir Nouailhat (A.). Merle d'Aubigné (Y.). — Voir Edel (P.). Messer (R.), Birli (H.) and Differt (K.). — NMR-study of structure and diffusion processes in Li ₃ N. Meyer (M.), Barbezat (S.), El Houch (C.) and Talon (R.). — Diffusion study of oxygen implanted in nickel oxide Miki (T.). — Voir Ikeya (M.). Mitchell (T. E.). — Voir Youngman (R. A.). Montserrat Benavent (W. E.). — Voir Felix (F. W.). Monty (C.). — Voir Perinet (F.). Morato (S. P.) and Gomes (L.). — Kinetics of U ₂ to H ₂ Odefects conversion in OHdoped KCl and KBr. Mori (Y.), Jaccard (C.), Von der Weid (J. P.) and Aegerter (M. A.). — Relaxation processes of the triplet state of self-trapped excitons in alkali-halide crystals. Morlin (Z.), Péter (Á.), Földvári (I.) and Mecseki (A.). — An X-ray study of defective ionic single crystals. Mostoller (M.). — Voir Nicklow (R. M.). Mousa (M.), Oei (Y. S.) and Richtering (H.). — NMR investigations of cation diffusion in some solids with antifluorite structure	C6-179 C6-91 C6-513 C6-308 C6-531 C6-28 C6-312 C6-312 C6-227 C6-315 C6-155 C6-443 C6-513 C6-438 C6-223
formation in KBr under polarized UV-laser irradiation Kapphan (S.) and Koppitz (J.). — Temperature dependence of the reorientation behavior of < 110 > off-center Ag+ defects in RbBr Kataoka (T.) and Yamada (T.). — Solution hardening and softening in KCl-KBr single crystals at low temperatures Kessler (A.). — Discharge of ions and space charge formation in CdF2 crystals with different kinds of electrodes Kiese (G.). — Voir Buttler (W.) Kimble Jr. (R. J.). — Voir Fontanella (J. J.) Kirby (S. H.). — Voir Veyssière (P.) Kirkwood (F. G.). — Voir Chadwick (A. V.) Klaffky (R. W.). — Voir Levy (P. W.) Kleemann (W.), Grawe (E.) and Becker (L.). — Optical properties of cubic and tetragonal Cu ⁻ centers in alkali halides Kleitz (M.). — Voir Lévy (M.) Knape (H. E. G.). — Voir Aronsson (R.) Koch (R.). — Voir Blazey (K. W.) Koiller (B.). — Voir Brandi (H. S.)	C6-301 C6-401 C6-401 C6-492 C6-381 C6-458 C6-175 C6-216 C6-344 C6-199 C6-335 C6-35 C6-511 C6-77	Mátrai (M.). — Voir Janszky (J.). McKee (R. A.). — Voir Lidiard (A. B.). Mecseki (A.). — Voir Morlin (Z.). Mercier (E.). — Voir Nouailhat (A.). Merle d'Aubigné (Y.). — Voir Edel (P.). Messer (R.), Birli (H.) and Differt (K.). — NMR-study of structure and diffusion processes in Li ₃ N. Meyer (M.), Barbezat (S.), El Houch (C.) and Talon (R.). — Diffusion study of oxygen implanted in nickel oxide Miki (T.). — Voir Ikeya (M.). Mitchell (T. E.). — Voir Youngman (R. A.). Montserrat Benavent (W. E.). — Voir Felix (F. W.). Monty (C.). — Voir Perinet (F.). Morato (S. P.) and Gomes (L.). — Kinetics of U ₂ to H ₂ Odefects conversion in OHdoped KCl and KBr. Mori (Y.), Jaccard (C.), Von der Weid (J. P.) and Aegerter (M. A.). — Relaxation processes of the triplet state of self-trapped excitons in alkali-halide crystals. Morlin (Z.), Péter (Á.), Földvári (I.) and Mecseki (A.). — An X-ray study of defective ionic single crystals. Mostoller (M.). — Voir Nicklow (R. M.). Mousa (M.), Oei (Y. S.) and Richtering (H.). — NMR investigations of cation diffusion in some solids with antifluorite structure. Müller (K. A.). — Voir Siegel (E.).	C6-179 C6-91 C6-513 C6-308 C6-531 C6-28 C6-312 C6-312 C6-227 C6-315 C6-155 C6-443 C6-513 C6-438 C6-223 C6-203
formation in KBr under polarized UV-laser irradiation Kapphan (S.) and Koppitz (J.). — Temperature dependence of the reorientation behavior of < 110 > off-center Ag+ defects in RbBr Kataoka (T.) and Yamada (T.). — Solution hardening and softening in KCl-KBr single crystals at low temperatures Kessler (A.). — Discharge of ions and space charge formation in CdF2 crystals with different kinds of electrodes Kiese (G.). — Voir Buttler (W.) Kimble Jr. (R. J.). — Voir Fontanella (J. J.) Kirby (S. H.). — Voir Veyssière (P.) Kirkwood (F. G.). — Voir Chadwick (A. V.) Klaffky (R. W.). — Voir Levy (P. W.) Kleemann (W.), Grawe (E.) and Becker (L.). — Optical properties of cubic and tetragonal Cu ⁻ centers in alkali halides Kleitz (M.). — Voir Lévy (M.) Knape (H. E. G.). — Voir Aronsson (R.) Koch (R.). — Voir Blazey (K. W.) Koiller (B.). — Voir Brandi (H. S.)	C6-301 C6-401 C6-401 C6-492 C6-381 C6-458 C6-175 C6-216 C6-344 C6-199 C6-335 C6-35 C6-511 C6-77 C6-401	Mátrai (M.). — Voir Janszky (J.). McKee (R. A.). — Voir Lidiard (A. B.). Mecseki (A.). — Voir Morlin (Z.). Mercier (E.). — Voir Nouailhat (A.). Merle d'Aubigné (Y.). — Voir Edel (P.). Messer (R.), Birli (H.) and Differt (K.). — NMR-study of structure and diffusion processes in Li ₃ N. Meyer (M.), Barbezat (S.), El Houch (C.) and Talon (R.). — Diffusion study of oxygen implanted in nickel oxide Miki (T.). — Voir Ikeya (M.). Mitchell (T. E.). — Voir Youngman (R. A.). Montserrat Benavent (W. E.). — Voir Felix (F. W.). Monty (C.). — Voir Perinet (F.). Morato (S. P.) and Gomes (L.). — Kinetics of U ₂ to H ₂ Odefects conversion in OHdoped KCl and KBr. Mori (Y.), Jaccard (C.), Von der Weid (J. P.) and Aegerter (M. A.). — Relaxation processes of the triplet state of self-trapped excitons in alkali-halide crystals. Morlin (Z.), Péter (Á.), Földvári (I.) and Mecseki (A.). — An X-ray study of defective ionic single crystals. Mostoller (M.). — Voir Nicklow (R. M.). Mousa (M.), Oei (Y. S.) and Richtering (H.). — NMR investigations of cation diffusion in some solids with antifluorite structure. Müller (K. A.). — Voir Siegel (E.). Müller (M.). — Voir Felix (F. W.).	C6-179 C6-91 C6-513 C6-308 C6-531 C6-28 C6-312 C6-312 C6-227 C6-352 C6-315 C6-443 C6-155 C6-443 C6-513 C6-223 C6-203 C6-352
formation in KBr under polarized UV-laser irradiation Kapphan (S.) and Koppitz (J.). — Temperature dependence of the reorientation behavior of < 110 > off-center Ag+ defects in RbBr Kataoka (T.) and Yamada (T.). — Solution hardening and softening in KCl-KBr single crystals at low temperatures Kessler (A.). — Discharge of ions and space charge formation in CdF2 crystals with different kinds of electrodes. Kiese (G.). — Voir Buttler (W.) Kimble Jr. (R. J.). — Voir Fontanella (J. J.) Kirby (S. H.). — Voir Veyssière (P.) Kirkwood (F. G.). — Voir Chadwick (A. V.) Klaffky (R. W.). — Voir Levy (P. W.) Kleemann (W.), Grawe (E.) and Becker (L.). — Optical properties of cubic and tetragonal Cu-centers in alkali halides. Kleitz (M.). — Voir Lévy (M.) Knape (H. E. G.). — Voir Aronsson (R.) Koch (R.). — Voir Blazey (K. W.) Kojller (B.). — Voir Brandi (H. S.) Kostopoulos (D.), Reddy (K. V.) and Bénière (F.). — Arrhenius law for self-diffusion and ionic conductivity in	C6-301 C6-401 C6-401 C6-492 C6-381 C6-458 C6-175 C6-216 C6-344 C6-199 C6-335 C6-35 C6-511 C6-77	Mátrai (M.). — Voir Janszky (J.). McKee (R. A.). — Voir Lidiard (A. B.). Mecseki (A.). — Voir Morlin (Z.). Mercier (E.). — Voir Nouailhat (A.). Merle d'Aubigné (Y.). — Voir Edel (P.). Messer (R.), Birli (H.) and Differt (K.). — NMR-study of structure and diffusion processes in Li ₃ N. Meyer (M.), Barbezat (S.), El Houch (C.) and Talon (R.). — Diffusion study of oxygen implanted in nickel oxide Miki (T.). — Voir Ikeya (M.). Mitchell (T. E.). — Voir Youngman (R. A.). Montserrat Benavent (W. E.). — Voir Felix (F. W.). Monty (C.). — Voir Perinet (F.). Morato (S. P.) and Gomes (L.). — Kinetics of U ₂ to H ₂ Odefects conversion in OHdoped KCl and KBr. Mori (Y.), Jaccard (C.), Von der Weid (J. P.) and Aegerter (M. A.). — Relaxation processes of the triplet state of self-trapped excitons in alkali-halide crystals. Morlin (Z.), Péter (Á.), Földvári (I.) and Mecseki (A.). — An X-ray study of defective ionic single crystals. Mostoller (M.). — Voir Nicklow (R. M.). Mousa (M.), Oei (Y. S.) and Richtering (H.). — NMR investigations of cation diffusion in some solids with antifluorite structure. Müller (K. A.). — Voir Siegel (E.). Müller (M.). — Voir Alsem (W. H. M.).	C6-179 C6-91 C6-513 C6-308 C6-531 C6-28 C6-312 C6-312 C6-227 C6-352 C6-315 C6-155 C6-443 C6-438 C6-223 C6-223 C6-203
formation in KBr under polarized UV-laser irradiation Kapphan (S.) and Koppitz (J.). — Temperature dependence of the reorientation behavior of < 110 > off-center Ag+ defects in RbBr Kataoka (T.) and Yamada (T.). — Solution hardening and softening in KCl-KBr single crystals at low temperatures Kessler (A.). — Discharge of ions and space charge formation in CdF2 crystals with different kinds of electrodes. Kiese (G.). — Voir Buttler (W.) Kimble Jr. (R. J.). — Voir Fontanella (J. J.) Kirby (S. H.). — Voir Veyssière (P.) Kirkwood (F. G.). — Voir Chadwick (A. V.) Klaffky (R. W.). — Voir Levy (P. W.) Kleemann (W.), Grawe (E.) and Becker (L.). — Optical properties of cubic and tetragonal Cu-centers in alkali halides. Kleitz (M.). — Voir Lévy (M.) Knape (H. E. G.). — Voir Aronsson (R.) Koch (R.). — Voir Blazey (K. W.) Kojller (B.). — Voir Brandi (H. S.) Koppitz (J.). — Voir Kapphan (S.) Kostopoulos (D.), Reddy (K. V.) and Bénière (F.). — Arrhenius law for self-diffusion and ionic conductivity in NaI. Kristianpoller (N.) and Trieman (B.). — Defects induced	C6-301 C6-401 C6-492 C6-381 C6-458 C6-175 C6-216 C6-344 C6-199 C6-335 C6-35 C6-511 C6-77 C6-401 C6-252	Mátrai (M.). — Voir Janszky (J.). McKee (R. A.). — Voir Lidiard (A. B.). Mecseki (A.). — Voir Morlin (Z.). Mercier (E.). — Voir Nouailhat (A.). Merle d'Aubigné (Y.). — Voir Edel (P.). Messer (R.), Birli (H.) and Differt (K.). — NMR-study of structure and diffusion processes in Li ₃ N. Meyer (M.), Barbezat (S.), El Houch (C.) and Talon (R.). — Diffusion study of oxygen implanted in nickel oxide Miki (T.). — Voir Ikeya (M.). Mitchell (T. E.). — Voir Youngman (R. A.). Montserrat Benavent (W. E.). — Voir Felix (F. W.). Monty (C.). — Voir Perinet (F.). Morato (S. P.) and Gomes (L.). — Kinetics of U ₂ to H ₂ O defects conversion in OH doped KCl and KBr Mori (Y.), Jaccard (C.), Von der Weid (J. P.) and Aegerter (M. A.). — Relaxation processes of the triplet state of self-trapped excitons in alkali-halide crystals. Morlin (Z.), Péter (Á.), Földvári (I.) and Mecseki (A.). — An X-ray study of defective ionic single crystals. Mostoller (M.). — Voir Nicklow (R. M.). Mousa (M.), Oei (Y. S.) and Richtering (H.). — NMR investigations of cation diffusion in some solids with antifluorite structure. Müller (K. A.). — Voir Siegel (E.). Müller (M.). — Voir Felix (F. W.). Münter (R.). — Voir Alsem (W. H. M.). Murali Dhara Rao (S.). — Identification of Z ₂ - and asso-	C6-179 C6-91 C6-513 C6-308 C6-531 C6-28 C6-312 C6-312 C6-227 C6-352 C6-315 C6-443 C6-155 C6-443 C6-513 C6-223 C6-203 C6-352
formation in KBr under polarized UV-laser irradiation Kapphan (S.) and Koppitz (J.). — Temperature dependence of the reorientation behavior of < 110 > off-center Ag+ defects in RbBr Kataoka (T.) and Yamada (T.). — Solution hardening and softening in KCl-KBr single crystals at low temperatures Kessler (A.). — Discharge of ions and space charge formation in CdF2 crystals with different kinds of electrodes. Kiese (G.). — Voir Buttler (W.) Kimble Jr. (R. J.). — Voir Fontanella (J. J.) Kirby (S. H.). — Voir Veyssière (P.) Kirkwood (F. G.). — Voir Chadwick (A. V.) Klaffky (R. W.). — Voir Levy (P. W.) Kleemann (W.), Grawe (E.) and Becker (L.). — Optical properties of cubic and tetragonal Cu-centers in alkali halides. Kleitz (M.). — Voir Lévy (M.) Knape (H. E. G.). — Voir Aronsson (R.) Koch (R.). — Voir Blazey (K. W.). Kojller (B.). — Voir Brandi (H. S.) Koppitz (J.). — Voir Kapphan (S.) Kostopoulos (D.), Reddy (K. V.) and Bénière (F.). — Arrhenius law for self-diffusion and ionic conductivity in NaI. Kristianpoller (N.) and Trieman (B.). — Defects induced in NaMgF3 crystals by X- and VUV-irradiation.	C6-301 C6-401 C6-492 C6-381 C6-458 C6-175 C6-216 C6-344 C6-199 C6-335 C6-35 C6-511 C6-77 C6-401 C6-252 C6-109	Mátrai (M.). — Voir Janszky (J.). McKee (R. A.). — Voir Lidiard (A. B.). Mecseki (A.). — Voir Morlin (Z.). Mercier (E.). — Voir Nouailhat (A.). Merle d'Aubigné (Y.). — Voir Edel (P.). Messer (R.), Birli (H.) and Differt (K.). — NMR-study of structure and diffusion processes in Li ₃ N. Meyer (M.), Barbezat (S.), El Houch (C.) and Talon (R.). — Diffusion study of oxygen implanted in nickel oxide Miki (T.). — Voir Ikeya (M.). Mitchell (T. E.). — Voir Youngman (R. A.). Montserrat Benavent (W. E.). — Voir Felix (F. W.). Monty (C.). — Voir Perinet (F.). Morato (S. P.) and Gomes (L.). — Kinetics of U ₂ to H ₂ O defects conversion in OH doped KCl and KBr Mori (Y.), Jaccard (C.), Von der Weid (J. P.) and Aegerter (M. A.). — Relaxation processes of the triplet state of self-trapped excitons in alkali-halide crystals. Morlin (Z.), Péter (Á.), Földvári (I.) and Mecseki (A.). — An X-ray study of defective ionic single crystals. Mostoller (M.). — Voir Nicklow (R. M.). Mousa (M.), Oei (Y. S.) and Richtering (H.). — NMR investigations of cation diffusion in some solids with antifluorite structure. Müller (K. A.). — Voir Siegel (E.). Müller (M.). — Voir Felix (F. W.). Murali Dhara Rao (S.). — Identification of Z ₂ - and associated Z-centres in LiF through a correlation of	C6-179 C6-91 C6-513 C6-308 C6-531 C6-28 C6-312 C6-312 C6-227 C6-352 C6-315 C6-443 C6-155 C6-443 C6-513 C6-223 C6-203 C6-352
formation in KBr under polarized UV-laser irradiation Kapphan (S.) and Koppitz (J.). — Temperature dependence of the reorientation behavior of < 110 > off-center Ag+ defects in RbBr Kataoka (T.) and Yamada (T.). — Solution hardening and softening in KCl-KBr single crystals at low temperatures Kessler (A.). — Discharge of ions and space charge formation in CdF2 crystals with different kinds of electrodes. Kiese (G.). — Voir Buttler (W.) Kimble Jr. (R. J.). — Voir Fontanella (J. J.) Kirby (S. H.). — Voir Veyssière (P.) Kirkwood (F. G.). — Voir Chadwick (A. V.) Klaffky (R. W.). — Voir Levy (P. W.) Kleemann (W.), Grawe (E.) and Becker (L.). — Optical properties of cubic and tetragonal Cu-centers in alkali halides. Kleitz (M.). — Voir Lévy (M.) Knape (H. E. G.). — Voir Aronsson (R.) Koch (R.). — Voir Blazey (K. W.) Kojller (B.). — Voir Brandi (H. S.) Koppitz (J.). — Voir Kapphan (S.) Kostopoulos (D.), Reddy (K. V.) and Bénière (F.). — Arrhenius law for self-diffusion and ionic conductivity in NaI. Kristianpoller (N.) and Trieman (B.). — Defects induced	C6-301 C6-401 C6-492 C6-381 C6-458 C6-175 C6-216 C6-344 C6-199 C6-335 C6-35 C6-511 C6-77 C6-401 C6-252	Mátrai (M.). — Voir Janszky (J.). McKee (R. A.). — Voir Lidiard (A. B.). Mecseki (A.). — Voir Morlin (Z.). Mercier (E.). — Voir Nouailhat (A.). Merle d'Aubigné (Y.). — Voir Edel (P.). Messer (R.), Birli (H.) and Differt (K.). — NMR-study of structure and diffusion processes in Li ₃ N. Meyer (M.), Barbezat (S.), El Houch (C.) and Talon (R.). — Diffusion study of oxygen implanted in nickel oxide Miki (T.). — Voir Ikeya (M.). Mitchell (T. E.). — Voir Youngman (R. A.). Montserrat Benavent (W. E.). — Voir Felix (F. W.). Monty (C.). — Voir Perinet (F.). Morato (S. P.) and Gomes (L.). — Kinetics of U ₂ to H ₂ O defects conversion in OH doped KCl and KBr Mori (Y.), Jaccard (C.), Von der Weid (J. P.) and Aegerter (M. A.). — Relaxation processes of the triplet state of self-trapped excitons in alkali-halide crystals. Morlin (Z.), Péter (Á.), Földvári (I.) and Mecseki (A.). — An X-ray study of defective ionic single crystals. Mostoller (M.). — Voir Nicklow (R. M.). Mousa (M.), Oei (Y. S.) and Richtering (H.). — NMR investigations of cation diffusion in some solids with antifluorite structure. Müller (K. A.). — Voir Siegel (E.). Müller (M.). — Voir Felix (F. W.). Münter (R.). — Voir Alsem (W. H. M.). Murali Dhara Rao (S.). — Identification of Z ₂ - and asso-	C6-179 C6-91 C6-513 C6-308 C6-531 C6-28 C6-312 C6-312 C6-227 C6-352 C6-315 C6-443 C6-155 C6-443 C6-513 C6-223 C6-203 C6-352

Nagasaka (S.) and Kamikawa (T.). — Off-centre instability		Sastry (S. B. S.) and Sapru (S.). — On the luminescence of	CC 520
induced by exchange forces	C6-412	RbI: Pb ²⁺ at liquid helium temperature	C6-520
Nagel (D. J.). — Voir Williams (R. T.)	C6-439	Saxena (R. D.). — Voir Toriumi (K.)	C6-348
Nagel (W.). — Voir Schwan (L. O.)	C6-408	Scavarda do Carmo (L. C.). — Voir Durand (D.)	C6-437
Nakai (Y.). — Voir Kan'no (K.)	C6-301	Scharmann (A.). — Voir Böhm (M.)	C6-508
Nicklow (R. M.), Crummet (W. P.), Wood (R. F.) and		Scheu (W.). — Voir Paus (H. J.)	C6-116
Mostoller (M.). — Neutron scattering study of		Schirmer (O. F.). — Small polaron aspects of defects in	C(470
coupled defect-phonon modes in $KCl_{1-x}(KCN)_x$	C6-438	oxide materials	C6-479
Niklas (J. R.). — Voir Barklie (R. C.)	C6-537	Schoemaker (D.). — Voir Goovaerts (E.)	C6-472
Niklas (J. R.). — Voir DuVarney (R. C.)	C6-48	Schoonheydt (R. A.). — Cationic motion in dehydrated	06.063
Nilsson (L.). — Voir Aronsson (R.)	C6-35	zeolites	C6-261
Nölting (J.). — Voir Schröter (W.)	C6-20	Schröter (W.) and Nölting (J.). — Specific heats of crystals	G(00
Norris (D. I. R.). — The relationship between oxygen		with the fluorite structure	C6-20
thermomigration and defect structure in some non-		Schwan (L. O.), Geigle (W.), Nagel (W.), Bauer (R.) and	
stoichiometric oxides	C6-331	Stoll (H.). — EPR of (LiH) ⁺ and (AgH) ⁺ centers in	GC 100
Nouailhat (A.), Guillot (G.) and Mercier (E.). — Limiting		KCl	C6-408
processes for the defect accumulation under electron		Shu Shiu-Ying, Kuo Zhoun-Zhung and Fong Duan. — A	
irradiation in KBr at 4 K	C6-308	study of dislocations and inclusions in yttrium alumi-	0(10(
Nowick (A. S.). — Voir Toulouse (J.)	C6-243	num garnet crystals with birefringence topography.	C6-186
THORICA (IN SO)		Sibley (W. A.) and Iverson (M. V.). — Energy transfer in	
Oei (Y. S.). — Voir Mousa (M.)	C6-223	unirradiated and irradiated RbMnF ₃ and RbMnF ₃ :	0(1(2
Ohkura (H.), Imanaka (K.), Iwahana (K.), Wada (T.) and		Er	C6-163
Tanaka (M.). — Magnetic circular polarization of the		Siegel (E.) and Müller (K. A.). — Local position of Fe ³⁺	C(202
F center emission	C6-42	in ferroelectric BaTiO ₃	C6-203
Okumura (M.). — Voir Hirai (M.)	C6-306	Sjöblom (CA.). — Voir Aronsson (R.)	C6-35
Ong (C. K.). — Energy levels of F _B (Na)-centre in KCl	C6-88	Sleeswyk (A. W.). — Voir Alsem (W. H. M.)	C6-146 C6-106
Orera (V. M.). — Voir Chen (Y.)	C6-398	Slifkin (L.), — Voir Cain (L. S.)	C0-100
Ouroushev (D.). — Voir Georgiev (M.)	C6-496	Smith (D. Y.) and Graham (G.). — Oscillator strengths of	
		defects in insulators: the generalization of Smakula's equation	C6-80
Pascucci (M. R.) Voir Hobbs (L. W.)	C6-237	Smith (M. K.). — Voir Fontanella (J. J.)	C6-458
Paus (H. J.) and Scheu (W.). — The excited state of \mathbb{Z}_2 and		Soda (K.). — Voir Toriumi (K.)	C6-348
Z ₂ ⁺ centres	C6-116	Spaeth (J. M.). — Recent developments in magnetic	0000
Paus (H. J.). — Voir Strohm (K. M.)	C6-119	resonance studies of defects in ionic crystals	C6-13
Pells (G. P.). — Voir Welch (L. S.)	C6-533	Spaeth (J. M.). — Voir Barklie (R. C.)	C6-537
Perinet (F.), Barbezat (S.) and Monty (C.). — New investi-	06.015	Spaeth (J. M.). — Voir DuVarney (R. C.)	C6-48
gation of oxygen self-diffusion in Cu ₂ O	C6-315	Stern (S.). — Voir Brandt (W.)	C6-112
Péter (A.). — Voir Morlin (Z.)	C6-513	Stewart (R. F.). — Voir Mackrodt (W. C.)	C6-64
Peterson (N. L.) and Chen (W. K.). — Isotope effect for	C6-319	Stöckmann (HJ.). — Voir Buttler (W.)	C6-380
cation diffusion in CoO Petrasch (P.). — Voir Granzer (F.)	C6-101	Stoebe (T. G.), Wolfenstine (J. B.) and Las (W. C.).	
Petrenko (V. F.) and Whitworth (R. W.). — Charged	C0-101	Titanium-related defects in LiF: Mg, Ti	C6-265
dislocations and the plastic deformation of II-VI		Stoll (H.). — Voir Schwan (L. O.)	C6-408
compounds	C6-182	Strange (J. H.). — Voir Jaroszkiewicz (G. A.)	C6-246
Pick (H.). — Fifty years of colour centre physics	C6-162	Strecker (H.). — Voir Bhagavan Raju (I. V. K.)	C6-376
Pinatti (D. M. G.) and de Souza (M. F.). — Point defects in	001	Strohm (K. M.) and Paus (H. J.). — Z ₂ centres in the	
NaCl: NaF: Pb++ single crystals	C6-455	triplet state	C6-119
Potstada (H. H.). — Voir Granzer (F.)	C6-101	Strunk (H.). — Voir Bhagavan Raju (I. V. K.)	C6-376
Pratt (P. L.). — Voir Guerrero (A. L.)	C6-363	Suzuki (Y.). — Voir Hirai (M.)	C6-305
Puls (M. P.). — Atomistic calculations of interaction		Swyler (K. J.). — Voir Levy (P. W.)	C6-344
energies between point defect complexes and dis-			
locations in ionic crystals	C6-135	Talon (R.) Voir Meyer (M.)	C6-327
Puma (M.). — Voir Laredo (E.)	C6-451	Tamler (H.). — Voir Alsem (W. H. M.)	C6-146
0.11 (7.34)		Tanaka (M.). — Voir Ohkura (H.)	C6-42
Quigley (J. M.). — Voir Corish (J.)	C6-68	Tanimura (K.). — Voir Toriumi (K.)	C6-348
Dakies (I) Well W (I)		Tarján (I.). — Voir Janszky (J.)	C6-179
Rabier (J.). — Voir Veyssière (P.)	C6-175	Tasker (P. W.). — The structure and properties of fluorite	
Ram (P. N.). — Voir Tiwari (M. D.).	C6-272	crystal surfaces	C6-488
Ratuam (V. V.), Gartia (R. K.) and Acharya (B. S.).		Taurel (L.), Ghomi (M.), Rzepka (E.) and Chapelle (J. P.).	
Monochromatic thermoluminescence and models of recombination kinetics in ionic solids	06.260	- Study of aggregation of F-centers in NaCl by	
Reddy (K. V.). — Voir Kostopoulos (D.)	C6-269	Raman scattering	C6-468
Reyher (H. J.). — Voir Winnacker (A.)	C6-252	Terzi (N.) and Brivio (G. P.). — Lattice dynamics of KI	
Richtering (H.). — Voir Mousa (M.)	C6-39 C6-223	perturbed by Jahn-Teller centres	C6-84
Romestain (R.). — Voir Edel (P.)	C6-531	Tiwari (M. D.), Ram (P. N.) and Manchanda (V. K.).	
Rushbrook Williams (S. J. C.) and Barr (L. W.). — Kinetics	C0-331	Anomalous behaviour of the low-temperature heat	
of bromine release during the photodecomposition of		capacity for KCl crystals with heavy univalent	06.000
lead and silver bromide	C6-293	impurities Torell (L. M.). — Voir Aronsson (R.)	C6-272
Rzepka (E.). — Voir Lefrant (S.)	C6-476	Toriumi (K.) Savena (P. D.) Sada (K.) Taringan (K.)	C6-35
Rzepka (E.). — Voir Taurel (L.)	C6-468	Toriumi (K.), Saxena (R. D.), Soda (K.), Tanimura (K.) and Itoh (N.) — Pulse radiolysis of transient defects in	
	00 100	Itoh (N.). — Pulse radiolysis of transient defects in KBr at high temperatures	CC 240
Saghafian (R.). — Voir Chadwick (A. V.)	C6-216	Toulouse (J.) and Nowick (A. S.). — Atom transport in	C6-348
Sapru (S.). — Voir Sastry (S. B. S.)	C6-520	LiF-doped MgF ₂ crystals	C6 242
		appearings 2 or you as	C6-243

Townsend (P. D.) and Agulló-López (F.). — Primary		Welch (L. S.), Hughes (A. E.) and Pells (G. P.). — Pola-	
processes in radiation damage	C6-279	rized luminescence of an aggregate defect centre in	
Treilleux (M.) and Chassagne (G.). — Comparative		Al ₂ O ₃	C6-533
evolution of thermal colloids developed in MgO		Whitworth (R. W.). — Voir Petrenko (V. F.)	C6-182
crystals implanted with alkali metal ions	C6-391	Williams (R. T.), Nagel (D. J.) and Kabler (M. N.).	
Trieman (B.). — Voir Kristianpoller (N.)	C6-109	Reflectance, fluorescence yield, and photoelectron	
Turchányi (G.). — Voir Janszky (J.)	C6-179	spectroscopy of CaF ₂ in the 10 to 100 eV range	C6-439
		Wiltshire (M. C. K.). — Voir Bartram (R. H.)	C6-465
Vance (E. R.). — Voir Mallard (W. C.)	C6-501	Winnacker (A.), Hahn (K.), Reyher (H. J.) and Vetter (Th.).	
Varotsos (P.) and Alexopoulos (K.). — On the connection		— Electron spin resonance in different states of the	
between the specific heat of a Schottky defect and the		relaxed configuration of F-centres	C6-39
curvature observed in the Arrhenius plots in ionic		Wintersgill (M. C.). — Voir Fontanella (J. J.)	C6-458
materials	C6-526	Wolf (D.). — On the energy of $\langle 100 \rangle$ coincidence twist	
Vetter (Th.). — Voir Winnacker (A.)	C6-39	boundaries in transition metal oxides	C6-142
Veyssière (P.), Kirby (S. H.) and Rabier (J.). — Plastic		Wolfenstine (J. B.). — Voir Stoebe (T. G.)	C6-265
deformation of MgO: nAl ₂ O ₃ spinels at tempe-		Wood (R. F.). — Voir Nicklow (R. M.)	C6-438
ratures below 1 000 °C (0.5 $T_{\rm m}$)	C6-175	Wright (J. C.). — Laser spectroscopy of defect equilibria	
Von der Weid (J. P.). — Voir Mori (Y.)	C6-443	in fluorite materials	C6-434
Voszka (R.). — Voir Watterich (A.)	C6-159		
Vu Thien Binh. — Voir Davenas (J.)	C6-385		
		Yacamán (J. M.) and Hirth (J. P.). — Electrostatic charge	
Wada (T.). — Voir Ohkura (H.),	C6-42	effects on surface defects in alkali halide crystals	C6-485
Walker (J. R.) and Catlow (C. R. A.). — Defect properties		Yamada (T.). — Voir Kataoka (T.)	C6-150
and ionic transport in layered compounds	C6-32	Youngman (R. A.), Hobbs (L. W.) and Mitchell (T. E.). —	
Wapenaar (K. E. D.). — Enhanced ionic motion in some		Electron irradiation damage in MgO	C6-227
fluorite-structured solid solutions	C6-220		
Watterich (A.), Földvári (I.) and Voszka (R.). — Colour			
centres in LiF: Mg crystals	C6-159	Zecchi (E.) Voir Locatelli (M.)	C6-371



COLLOQUE Nº 7 - 1980

Spin polarized quantum systems

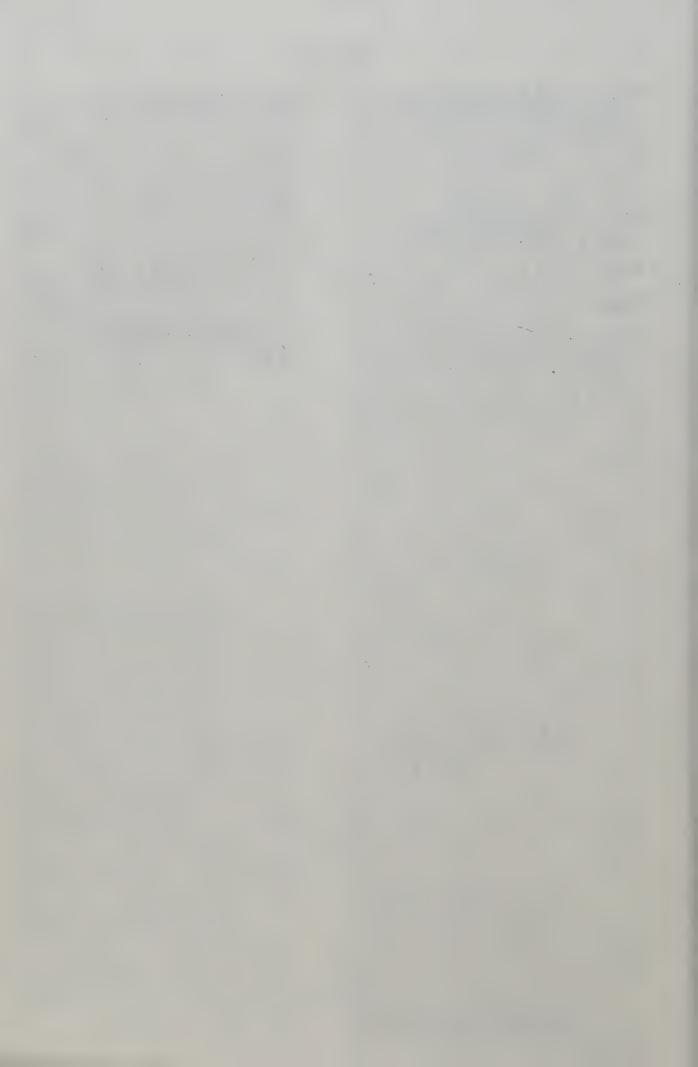
Aussois, 1980

Akaishi (Y.) Voir Lim (T.K.) C7-189	Ferrante (R.F.) Voir Stwalley
Alder (B.J.) Voir Ceperley	(W.C.)
(D.M.) C7– 295	(R.W.H.)
Andreev (A.F.) Equilibrium shape	Fortson (E.N.), Platt (C.E.) and
and oscillation of surfaces of solid helium (crystallization	Vilches (O.E.) An experimental
and melting of helium) C7-299	system for the study of thermal
Bashkin (E.P.) and Meyerovich	properties of spin polarized par- ticles
(A.E.) Spin-polarized guan-	Freed (J.) Voir Yurke (B.) C7-177
tum ³ He- ⁴ He solutions C7-61	
Béal-Monod (M.T.) Voir Green- berg (A.S.)	Frossati (G.) Observation of strongly polarized liquid and solid ³ He using the Castaing-
Berlinsky (A.J.) Elementary scat-	Nozières effect and Pomeranchuk cooling
tering processes in a low tempe-	
rature atomic hydrogen gas C7-43	Frossati (G.) Voir Godfrin (H.). C7-125
Berlinsky (A.J.) Voir Hardy (W.N.)	Frossati (G.) Voir Godfrin (H.). C7-275
Bonfait (G.) Voir Thoulouze	Godfrin (H.), Frossati (G.), Green-
(D.)	berg (A.S.), Hébral (B.) and Thoulouze (D.) Phase diagram
Brewer (D.F.) Voir Truscott	of ³ He at melting pressures and
(W.S.) C7-267	high magnetic fields C7-125
Brooks (J.S.) Voir Zimmerman	Godfrin (H.), Frossati (G.), Hébral
(G.O.) C7- 83	(B.) and Thoulouze (D.). Surface magnetic relaxation-relation to
Castaing (B.) A model for the	³ He↑ experiments C7-275
exchange in liquid He ³ C7-227	Graf (E.H.) Voir Del Cueto (J.). C7-133
Ceperley (D.M.) and Alder (B.J.)	
The low density phases of the electron gas C7-295	Greenberg (A.S.), Hébral (B.), Papoular (M.) and Béal-Monod
	(M.T.) Experimental considera-
Chabre (Y.) Voir Thoulouze (D.) C7-111	tions on producing highly polari-
Chapellier (M.) NMR aspects in high field ³ He at the li-	zed liquid ³ He in a matrix of solid ⁴ He
quid solid transition C7-119	
Clark (J.W.), Krotscheck (E.)	Greenberg (A.S.) Voir Godfrin (H.)
and Panoff (R.M.) Ground-	Greytak (T.J.) Voir Cline (R.W.).C7-151
state properties of 3He+ and	
Dt within the method of correlated basis functions C7-197	Hammel (C.) Voir Yurke (B.) C7-177
	Hardy (W.N.), Morrow (M.), Jochem- sen (R.), Statt (B.W.), Kubik
Cline (R.W.), Greytak (T.J.), Kleppner (D.) and Smith (D.A.)	(P.R.), Marsolais (R.M.), Berlin-
Production and magnetic confi-	sky (A.J.) and Landesman (A.)
nement of spin polarized hy-	Magnetic resonance studies of atomic hydrogen gas at low tem-
drogen	peratures C7-157
Crampton (S.B.) Resonance studies of H atoms adsorbed on	Hébral (B.) Voir Godfrin (H.) C7-125
frozen H ₂ surfaces C7-249	Hébral (B.) Voir Godfrin (H.) C7-275
Del Cueto (J.), Johnson (R.L.),	Hébral (B.) Voir Greenberg (A.S.)
Rohde (T.), Wirth (F.H.) and	
Graf (E.H.) Experiments in	Hetherington (J.H.) Voir Delrieu
³ He- ⁴ He liquid mixtures near the tricritical point C7-133	(J.M.)
Delrieu (J.M.), Roger (M.) and	Hetherington (J.H.) Voir Roger
Hetherington (J.H.) Physical	(M.) C7- 241
origin of multiple three and	Hietkamp (G.A.) Voir Peschka
four spin (or atoms) exchange	(W.) C7-165
in quantum solids with some consequences	Hohenberg (P.C.) An introduction
Delrieu (J.M.) Voir Roger (M.). C7-241	to Bose condensation C7-13
Denker (J.) Voir Yurke (B.) C7-177	Igner (D.) Voir Yurke (B.) C7-177
	Jochemsen (R.) Voir Hardy (W.N.).C7-15
Edwards (D.O.) and Mantz (I.B.) The adsorption of atomic hydro-	Johnson (B.) Voir Yurke (B.) C7-17

Johnson (R.L.) Voir Del Cueto	Nozières (P.) Phase transitions in a spin polarized fluid :
(J.)	thermal equilibrium and kine-
Kleppner (D.) Voir Cline (R.W.) C7-151	tic phenomena C7-299
Krotscheck (E.) Voir Clark (J.W.) C7-197	Panoff (R.M.) Voir Clark (J.W.).C7- 197 Papoular (M.) Voir Greenberg
Kubik (P.R.) Voir Hardy (W.N.). C7-157	(A.S.) C7-79
Laloë (F.) Voir Leduc (M.) C7-75	Peschka (W.), Sänger (G.) and Hiet-
Laloë (F.) Voir Lhuillier (C.). C7-51	kamp (G.A.) Results of experi- ments with spin-stabilised hydro-
Lam (P.M.) Voir Ristig (M.L.) C7-213	gen and hydrogen compounds C7-165
Landesman (A.) Voir Hardy (W.N.)	Platt (C.E.) Voir Fortson (E.N.).C7-163
c7- 157	Polturak (E.) Voir Yurke (B.) C7-129
Lantto (L.J.) and Nieminen (R.M.) Calculated properties of two- dimensional spin-polarized atomic hydrogen C7-49	Rasmussen(F.B.) Production of nighly polarized solid ³ He in a Pomeranchuk cell C7-89
Lantto (L.J.) Spatial correlations in spin-polarized ³ He liquid C7- 223	Ristig (M.L.), Lam (P.M.) and Nollert (H.P.) Ground state fluctuations in polarized ³ He C7-213
Leduc (M.), Trenec (G.) and	Roger (M.) Voir Delrieu (J.M.) C7-231
Laloë (F.) - Nuclear polariza-	Roger (M.), Delrieu (J.M.) and
tion of a ³ He gas by laser optical pumping C7-75	Hetherington (J.H.) The new experimental results on magnetic
Lee (D.M.) Voir Yurke (B.) C7-129	order in bcc solid ³ He are well explained by planar four spin
Lee (D.M.) Voir Yurke (B.) C7-177	exchange
Leggett (A.J.) Cooper pairing in spin-polarized Fermi systems C7-19	Rohde (T.) Voir Del Cueto (J.) C7-133
Levesque (D.) and Lhuillier (C.)	Ruckenstein (A.E.) Voir Siggia
Ground state of polarized and	(E.D.)
unpolarized ³ He	Sänger (G.) Voir Peschka (W.) C7-165
Lhuillier (C.) and Laloë (F.) Quantum properties of spin polarized ³ He (³ He†) C7-51	Siggia (E.D.) and Ruckenstein (A.E.) Bose condensation in
Lhuillier (C.) Voir Levesque (D.) C7-191	spin polarized atomic hydrogen C7-15
Lim (T.K.), Nakaichi (S.), Akaishi	Silvera (I.F.) Voir Walraven (J.T.M.) C7-147
(Y.) and Tanaka (H.) Small clusters of pure and admixed H [†] , ³ He [†] , T [†] , and ⁴ He atoms C7- 18 9	Silvera (I.F.) and Walraven (J.T.M.) The stabilization of atomic hydrogen: A new boseqaz C7-137
Lim (T.K.) Voir Yuan (J.M.) C7-39	Smith (D.A.) Voir Cline (R.W.) C7-151
Mantz (I.B.) Voir Edwards (D.O.)	Smith (E.) Voir Yurke (B.) C7-177
Marsolais (R.M.) Voir Hardy	Statt (B.W.) Voir Hardy (W.N.) C7-157
(W.N.)	Stwalley (W.C.), Uang (Y.H.), Fer-
Meservey (R.) Voir Zimmerman (G.O.) C7-83	rante (R.F.) and Webeler (R.W.H.) - Theoretical issues concerning
Meyerovich (A.E.) Voir Bashkin (E.P.) C7- 61	the stability of electron spin- polarized hydrogen C7-27
Miller (M.D.) The effects of	Stwalley (W.C.) Voir Webeler (R.W.H.) C7-161
large fields on isotopic fermion-boson mixtures C7- 185	Stwalley (W.C.) Voir Uang (Y.H.).C7-33
Morrow (M.) Voir Hardy (W.N.) C7- 157	Tanaka (H.) Voir Lim (T.K.) C7-189
Mysyrowicz (A.) Excitons as a	Tedrow (P.M.) Voir Zimmerman (G.O.) C7-83
new quantum system C7-281	Thoulouze (D.), Bonfait (G.) and
Nakaichi (S.) Voir Lim (T.K.)C7- 189 Nosanow (L.H.) Quantum theorem of corresponding states and	Chabre (Y.) Highly polarized liquid ³ He : some experimental aspects of fast melting of pola-
spin-polarized quantum systems	rized solid 'He
Nieminen (R.M.) Voir Lantto	Thoulouze (D.) Voir Godfrin (H.) C7-125
(L.J.)	Thoulouze (D.) Voir Godfrin (H.) C7- 275
Nollert (H.P.) Voir Ristig	Trenec (G.) Voir Leduc (M.) C7-75
(M.L.) C7- 213	Truscott (W.S.) and Brewer (D.F.) Melting and solidification of helium in restricted geometries

..... C7- 267

Uang (Y.H.) and Stwalley (W.C.) Effective range theory and many- body perturbation theory applied to electron spin-polarized atomic hydrogen (H [↑])	C7- 33	Yuan (J.M.) and Lim (T.K.) Sta- bility of spin-polarized atomic hydrogen against recombination reactions	39
Uang (Y.H.) Voir Stwalley (W.C.)	C7- 27	Yurke (B.), Igner (D.), Smith (E.), Johnson (B.), Denker (J.), Hammel (C.), Lee (D.) and Freed (J.)	
Vilches (O.E.) Voir Fortson (E.N.)	C7- 163	Spin-aligned hydrogen : some considerations for ESR VS. NMR experiments and preliminary	
<pre>Walraven (J.T.M.) and Silvera (I.F.) The magnetization and density of spin polarized atomic</pre>		observations of Ht at low temperatures	77
hydrogen		Yurke (B.), Polturak (E.), Sagan (D.) and Lee (D.M.). Studies of rapid melting and freezing of ³ He in high magnetic fields	
Webeler (R.W.H.) Voir Stwalley		C7-1	29
(W.C.)	C7- 27	Zimmerman (G.O.), Brooks (J.S.),	
Webeler (R.W.H.), Ferrante (R.F.) and Stwalley (W.C.) The Uni- versity of Iowa apparatus for production of stabilized atomic		Tedrow (P.M.) and Meservey (R.) - Influence of high magnetic fields on the coexistence curve of He ³ at 1.2 K	3
hydrogen	C7- 161		
Wirth (F.H.) Voir Del Cueto (J.)	C7= 133		



Fourth International Conference on Liquid and Amorphous metals

Grenoble, 1980

Ackermann (H.) See Heitjans (P.) C8-409	Amamou (A.) See Krill (G.)	C8-799
Ackermann (K.P.) See Güntherodt (H.J.)	Antonione (C.), Battezzati (L.), Lucci (A.), Riontino (G.), Tabas- so (M.C.) and Venturello (G.) Ef fect of composition in (Fe, Ni, Cr (P,B) and (Fe, Ni, Mo) B metallic	Ē- :)
Alblas (B.P.), van der Lugt (W.), Mensies (O.) and de Hosson(J.Th.M)	glasses	C8-131
X-Ray diffraction of liquid potas- sium-caesium alloys C8-153	Arnold (W.) See Thomas (N.)	C8-751
Alekseev (V.A.), Ovcharenko (V.G.)	Arnold (W.) See Weiss (G.)	C8-742
and Ryzhkov (Yu. F.) Conductivity of selenium in semiconductor - metal transition region at high tempera-	Asami (K.) See Naka (M.)	C8-862
tures and pressures C8-89	Asano (S.) See Ishida (Y.)	C8-81
Alekseev (V.A.), Blaqonravov (L.A.) and Philippov (L.P.). The heat capacity measurements of liquid Cs up to 2000 K with density de- creasing up to ρ crit C8-607	Askenazy (S.) See Ousset (J.C.) Asomoza (R.), Bieri (J.B.), Fert (A.) Boucher (B.) and Ousset (J.C.) Hall effect in silver - rare earth amorphous alloys	
Alekseev (V.A.), Ovcharenko (V.G.), and Ryzhkov (Yu.F.) Metal - non-	Asomoza (R.) See Ousset (J.C.).	C8-470
metal - dense plasma transition in mercury at high temperatures up to 2200 K and high pressures up to 0.35 GPa C8-91	Audouard (A.), Jousset (J.C.) and Dural (J.) Low temperature ir- radiations of some Fe-B metallic glasses	C8-835
Algra (H.A.), Buschow (K.H.J.) and Henskens (R.A.) On the anisotropy in amorphous Gd- based alloys C8-646	Aur (S.) and Egami (T.) Structure of (Pt 8 Ni 2)73 P27 determined by EDXD technique	C8-234
Aliaga-Guerra (D.), Panissod (P.) and Durand (J.) Nuclear spin - lattice relaxation time anomalies on ³¹ P and ¹¹ B in amorphous Ni P B alloys	Babić (E.), Očko (M.), Marohnić (Ž.), Schaafsma (A.S.) and Vincze (I.)Magnetic resistivity of Fe Ni 80-2	*C8-473
Aliaga-Guerra (D.) See Amamou (A.) C8-396	Babić (E.) See Hamzić (A.)	C8-694
Allia (P.) and Vinai (F.) Annea-	Bacci (D.) See De Crescenzi (M.)	C8-238
ling effects on permeability re- laxation in amorphous ferroma-	Bader (B.) See Heitjans (P.) Badiali (J.P.), Bosio (L.), Cortes (F	
Amokrane (S.), Badiali (J.P.), Rosinberg (M.L.) and Goodisman	Bondot (P.), Loupias (G.) and Petiau (J.) EXAFS study of liqui and solid gallium. Temperature and	.đ
(J.) A model for the calculation of surface energy and surface ten-	anisotropy effects	C8-211
sion of liquid metals C8-783	Badiali (J.P.) See Regnaut (C.)	C8-603
Amamou (A.) Manganese impurities and spin glass like properties	Badiali (J.P.) See Amokrane (S.)	C8-783
in CuZr glassy metals C8-6/0	Bagi (T.) See Cziráky (À.)	C8-141
Amamou (A.), Aliaga-Guerra (D.), Panissod (P.), Krill (G.) and	Bakonyi (I.) See Cziráky (À.)	C8-141
Kuentzler (R.) Electronic structure in amorphous and crystalline nickel phosphoborides through photoemission, NMR and specific heat	Balanzat (E.), Mairy (C.) and Hillairet (J.) Quenched - in resistivit relation to atomic movements in amphous Fe ₄₀ Ni ₄₀ P ₁₄ B ₆ and Cu ₅₀	y in

Balanzat (E.) See Hillairet (J.)	C8-854	Berrada (A.) See Friedt (J.M.).	0-030
Ballentine (L.E.) Skew scattering		Berrada (A.) See Hassanain (N.) C8	8-770
and the hall effect in liquid metals	C8-458	Berrada (A.) See Krill (G.) C8	8-799
Balzarotti (A.) See De Crescen-		Bertrand (Y.) See Rivory (J.) C8	8-430
zi (M.)	C8-238	Bethoux (0.), Laborde (0.), Lasjaunias (J.C.) and Ravex (A.) Supercon-	
Bansil (A.) See Huisman (L.)	C8-441	ductivity of a La-Zn 22 at % amor-	8-754
Barbara (B.) See Chappert (J.).	C8-634	-	
Basak (S.) See Carini (J.P.)	C8-463	Bhattacharjee (A.K.) and Coqblin (B.). Induced magnetism in amorphous rare earth alloys	- 8-626
Bath (A.), Gasser (J.G.), Bretonnet (J.L.), Bianchin (R.) and Kleim			8-519
(R.) Electrical resistivity an thermoelectric power of liquid	a C8~519		8-470
Ge-Sb and Pb-Sb alloys	CO 313		8-467
Battezzati (L.) See Antonione (C.)	C8-131		8-854
Beck (H.) and Oberle (R.) Pair			8-114
potential and structure factor of polyvalent simple liquid	C8-289		8-218
metals	C8-175	Blagonravov (L.A.) See Alek-	
Beck (H.) See Suck (J.B.)	C0-173		8-607
Belevtsev (B.I.) See Komnik (Yu. F.)	C8-493	Bletry (J.) See Lemarchand (J.L.) C8	8-163
Belin (E.), Fargues (D.), Bonnelle	,	Bletry (J.) See Favre Bonte (M.) C8	8-156
(C.), Flechon (J.), Machizaud (F and Rivory (J.). Nickel and co-		Boge (M.) See Chappert (J.) C8	8-634
balt electron distribution in am phous metallic Ni-P and Co-P Bellessa (G.) Low-energy excitati	C8-427	Böhnke (G.) and Rosenberg (M.) Resistivity and magnetoresistance of Fe-Ni-P-B amorphous alloys.	8-481
in amorphous metals	C8-723	· · · · · · · · · · · · · · · · · · ·	8-427
Bellissent (R.) See Bellissent- Funel (M.C.)	C8-262	Bonot (P.) See Badiali (J.P.) C8	3-211
Bellissent - Funel (M.C.), Bellissen	t (R.)	Bosio (L.) See Badiali (J.P.) C	8-211
and Tourand (G.) Resistivity o liquid Ga between 303 K and 573	f	Bosio (L.) See Bererhi (A.) C	8-218
from structure factor measure- ments	C8-262	Bosse (J.), Quitmann (D.) and	
Bennemann (K.H.) See Güntherodt		Wetzel (C.) Temperature dependenc of quadrupolar relaxation rate	e
(H.J.)	C8-381	in liquids C	8-378
Bererhi (A.), Bizid (A.), Bosio (L. Cortes (R.), Defrain (A.) and Se),	Boucher (B.) Neutron and x - Ray smal angle scattering (S.A.S.) study of	.1
gaud (C.) X - Ray diffraction son liquid and non crystalline so	tudy	the amorphous alloy Tb. 25 Cu. 75 C	8-135
gallium, bismuth and mercury	C8-218	Boucher (B.) See Chappert (J.). C	8-634
Bergersen (R.) See Hunderi (O.)	C8-867	Boucher (B.) See Asomoza (R.) C	8-467
Bergman (C.), Chastel (R.), Gilbert Castanet (R.) and Mathieu (J.C.	(M.)	Bouchet (B.) See Rivory (J.) C	8-430
Short - range order and thermodyn behaviour of Pd-Si melts	amic	Breitschwerdt (K.G.) See Schmidt (W.W.)	8-12
Bernas (H.), Traverse (A.), Zawisla Chaumont (J.) and Dumoulin (L.).	k (F.C.)	Bretonnet (J.L.) See Bath (A.).	8-519
Amorphous Pd-Si alloys and hydri prepared by low-temperature ion-	tes	Bros (J.P.) See Hayer (E.)	8-590
implantation	C8-859	Brouers (F.), Holzhey (C.) and Franz (Calculation of the electrical conductivity of liquid alkali metal-	
		gold alloys	18-56

ty diffusion in liquid metals. C8-349	Chen (H.S.): - See Naka (M.) C8-839
Bruson (A.) See Gerl (M.) C8-335	Chevalier (J.P.) See Calvayrac (Y.) C8-114
Bucher (G.) See Sommer (F.) C8-563	Cheynet (M.C.) See Lemaignan
Buntaine (J.R.) and Sienko (M.J.) Metal-nonmetal transition and the	(C1.)
miscibility gap in lithium-methy- lamine C8-36	Chieux (P.) and Ruppersberg (H.) The observation of Chemical short range order in liquid and amorphous
Buschow (K.H.J.) and van Engen (P.G.) Magnetic properties and Kerr rota- tion in amorphous Ce-Fe and Pr-	metallic systems by diffraction methods C8-145
Fe alloys C8-650	Chieux (P.) See Jal (J.F.) C8-257
Buschow (K.H.J.) Thermal stability of amorphous alloys C8-559	Coker (A.) See Heitjans (P.). C8-403
Buschow (K.H.J.) See Algra (H.A.) C8-646	Colbourne (D.), Gardiner (M.K.), Krizek (J.) and Norris (C.) Photoemission from liquid Li-Pb
Buttler (W.) See Heitjans (P.). C8-409	alloys C8-422
Calvayrac (Y.), Harmelin (M.), Quivy	Comin (F.) See De Crescenzi (M.) C8-238
<pre>(A.), Chevalier (J.P.) and Bigot (J.) A comparison of the repro- ducibility and homogeneity of a-</pre>	Continentino (M.A.) Longitudinal excitations in amorphous magnets C8-714
morphous Cu-Zr alloys prepared by roller-quenching and melt spin-ning C8-114	Cook (J.G.) The Lorenz function of liquid potassium C8-544
Calvayrac (Y.) See Garoche (P.) C8-766	Copestake (A.), Evans (R.) and Telo da Gama (M.M.) A model for
Carini (J.P.), Basak (S.) and Nagel (S.R.) Thermoelectric	the structure of some semiconducting liquid alloys : evidence for
power of metallic glasses C8-463	ionic bonding C8-321
Castanet (R.) See Bergman (C.). C8-590	Copley (J.R.D.) See Söderström (0.) C8-230
C	
Cavaille (J.Y.) See Perez (J.). C8-850	Cogblin (B.) See Bhattacharjee
Chamberod (A.) See Chambron (W.) C8-710	(A.K.) C8-626
Chamberod (A.) See Chambron (W.) C8-710 Chambron (W.) and Chamberod (A.)	
Chamberod (A.) See Chambron (W.) C8-710 Chambron (W.) and Chamberod (A.) Quenching effects in a Fe ₄₀ Ni ₄₀ P ₁₄ B ₆ amorphous alloy studied by magnetic anisotropy measure-	(A.K.)
Chamberod (A.) See Chambron (W.) C8-710 Chambron (W.) and Chamberod (A.) Quenching effects in a Fe ₄₀ Ni ₄₀ P ₁₄ B ₆ amorphous alloy studied by magnetic anisotropy measure- ments	(A.K.)
Chamberod (A.) See Chambron (W.) C8-710 Chambron (W.) and Chamberod (A.) Quenching effects in a Fe ₄₀ Ni ₄₀ P ₁₄ B ₆ amorphous alloy studied by magnetic anisotropy measure- ments	(A.K.)
Chamberod (A.) See Chambron (W.) C8-710 Chambron (W.) and Chamberod (A.) Quenching effects in a Fe ₄₀ Ni ₄₀ P ₁₄ B ₆ amorphous alloy studied by magnetic anisotropy measure- ments	(A.K.)
Chamberod (A.) See Chambron (W.) C8-710 Chambron (W.) and Chamberod (A.) Quenching effects in a Fe ₄₀ Ni ₄₀ P ₁₄ B ₆ amorphous alloy studied by magnetic anisotropy measure- ments	(A.K.)
Chamberod (A.) See Chambron (W.) C8-710 Chambron (W.) and Chamberod (A.) Quenching effects in a Fe ₄₀ Ni ₄₀ P ₁₄ B ₆ amorphous alloy studied by magnetic anisotropy measure- ments	(A.K.)
Chamberod (A.) See Chambron (W.) C8-710 Chambron (W.) and Chamberod (A.) Quenching effects in a Fe ₄₀ Ni ₄₀ P ₁₄ B ₆ amorphous alloy studied by magnetic anisotropy measure- ments	(A.K.)
Chamberod (A.) See Chambron (W.) C8-710 Chambron (W.) and Chamberod (A.) Quenching effects in a Fe ₄₀ Ni ₄₀ P ₁₄ B ₆ amorphous alloy studied by magnetic anisotropy measure- ments	(A.K.)
Chamberod (A.) See Chambron (W.) C8-710 Chambron (W.) and Chamberod (A.) Quenching effects in a Fe ₄₀ Ni ₄₀ P ₁₄ B ₆ amorphous alloy studied by magnetic anisotropy measure- ments	(A.K.)
Chamberod (A.) See Chambron (W.) C8-710 Chambron (W.) and Chamberod (A.) Quenching effects in a Fe ₄ Ni ₄ Or P ₁₄ B ₆ amorphous alloy studied by magnetic anisotropy measurements	Cornelison (S.G.).— See Hadji— panayis (G.)
Chamberod (A.) See Chambron (W.) C8-710 Chambron (W.) and Chamberod (A.) Quenching effects in a Fe ₄ Ni ₄ Or P ₁₄ B ₆ amorphous alloy studied by magnetic anisotropy measurements	(A.K.)
Chamberod (A.) See Chambron (W.) C8-710 Chambron (W.) and Chamberod (A.) Quenching effects in a Fe ₄₀ Ni ₄₀ P ₁₄ B ₆ amorphous alloy studied by magnetic anisotropy measure- ments	Cornelison (S.G.) See Hadji- panayis (G.)

Chen (H.S.).- See Moorjani (K.).. C8-718

101 (7.6.)		Donald (I.W.) See Kemeny (T.)	C8-878
Dahlborg (U.) and Olsson (L.G.) Static structure factors at small momentum transfers for some li-	L	Dorner (B.) See Söderström (O.)	C8-230
quid metals by neutron diffrac-	28-214	Dörr (K.) See Heitjans (P.)	C8-409
Damay (P.), Lelieur (J.P.) and		Drijver (J.W.) See Spit (F.H.M.)	C8-890
Devolder (P.) Conduction electr spin resonance of lithium ammonia	1	Drijver (J.W.) See Mulder (A.L.)	C8-843
solutions in the range of the met	al 28-24	Dumoulin (L.) See Bernas (H.)	C8-859
Das (T.P.) See Heitjans (P.) C	28-403	Dupont (M.) See Regnaut (C.)	C8-603
Davies (H.A.) See Donald (I.W.)	28-118	Duoree (R.) and Gardner (J.A.) 209 _{Bi} NMR in Molten Bi-BiBr ₃	
Davies (H.A.) See Sakata (M.).	28-190	mixtures	C8-20
Davies (H.A.) See Kemény (T.).	28-878	Dupree (R.), Kirby (D.J.), Freyland (W.) and Warren (W.W.), Jr 133Cs	3
Davidović (M.) See Jović (Dj.)	28-276	NMR investigation of liquid Cs-Au alloys	C8-16
De Crescenzi (M.), Balzarotti (A.), Comin (F.), Incoccia (L.), Mobili	lo	Dupree (R.) See Warren (W.W.),Jr	C8-85
(S.) and Bacci (D.) EXAFS spectroscopy of amorphous Fe-Ni		Dupuy (J.) See Jal (J.F.)C8-2	257-367
	28-238	Dural (J.) See Audouard (A.)	C8-835
202222 (200,0 200 2020200 (200,0 200)	28-218	Durand (J.) Magnetic properties of amorphous metallic alloys related	
De Hosson (J.Th.M.) See Alblas (B.P.)	28-153	to their atomic - scale structure	C8-609
Delley (B.), Ellis (D.E.) and Freeman (A.J.) Embedded molecul	lar	Durand (J.) See Friedt (J.M.)	C8-638
cluster approach to the electroni structure of amorphous and liqui	lc	Durand (J.J.) See Aliaga-Guerra (D.)	C8-674
metals C		Durand (J.) See Hassanain (N.).	C8-770
Delley (B.) See Güntherodt (H.J.) C	28-381	Durand (J.) See Krill (G.)	C8-799
Derrien(J.) See Cros (A.)	28-795	Dzugutov (M.M.) See Poluchin (V.A.)	C8-284
	156-586	Ebbsjö (I.) See Kinell (T.)	C8-301
Desre (P.) See Lemarchand (J.L.) C	28-163	Eder (O.J.), Kunsch (B.), Suck (J.B.))
	28-305	and Suda (M.) The scattering law $S(\Omega, \omega)$ of liquid aluminum	Ñ
	C8-787	Egami (T.), Maeda (K.), Srolovitz (D.	.)
	C8-24	and Vitek (V.) Local atomic structure of amorphous metals.	C8-272
Dey (S.), Gorres (U.), Nielsen (H.J. Rosenberg (M.) and Sostarich (M.)		Egami (T.) See Aur (S.)	C8-234
Magnetic and Mössbauer investigat of amorphous Fe _{100-y-x} Cr _y B _{allovs}		Egelstaff (P.A.), Suck (J.B.), Gläse	er
	C8-678	<pre>(W.), Mc Pherson (R.) and Teitsma (A.) Nuclear - nuclear correlation</pre>	
Djemili (B.), Martin-Garin (L.), Martin-Garin (R.) and Hicter		in liquid rubidium	C8-222
(P.) Viscosity of Cd-Im liquid alloys C	28-363	Ejima (I.) and Yamamura (T.) Imour diffusion in liquid aluminum and	ity
Dmowski (W.), Jagielinski (T.),		copper	C8-345
Walecki (T.) and Martyja (H.) Compositional effects on some physical properties on Fe-Si-B		Ellis (D.E.) See Delley (B.)	C8-437
moballia alaman	08-127	Endo (H.) See Suzuki (K.)	C8-66
Donald (I.W.) and Davies (H.A.) The formation and stabilities		Endo (H.) See Hoshino (H.)	C8-52
of Fe-Ni and Co-based metallic	70 110	Endo (H.) See Yao (M.) C8	-28-58
J	C8 ~ 118	Endo (H.) - See Mushiage (M.)	C9-560

Endo (H.) See Misonou (M.)	C8-540	Franz (G.), Freyland (W.) and Hensel	
Eriksson (P.E.) See Persson (T.)	C8-374	(F.). Thermodynamic and electric transport properties of fluid	
Etienne (S.) See Perez (J.)	C8-850	cesium and rubidium in the M-NM transition region	C8-70
Evans (R.) The surface properties	C8-110	Franz (G.), Freyland (W.), Gläser (W.) Hensel (F.) and Schneider (E.) Structure of expanded liquid rubi dium by neutron diffraction	a)
or liquid metals	C8-775	Franz (J.R.) and Jonson (M.)	0-194
Evans (R.) See Copestake (A.).	C8-321	Simple theory for alloy density of states including local ato-	
Evetts (J.E.) See Gibbs (M.R.J) Fargues (D.) See Belin (E.)	C8-706	mic configurations	C8-44
	C8-427	Franz (J.) See Brouers (F.)	C8-56
Favre-Bonte (M.), Bletry (J.), Hicter (P.) and Desre (P.J.) Neutron diffraction by liquid segragated copper - lead alloys	C8-156	Freeman (A.J.) See Delley (B.) . Freyland (W.) Electronic correlation and the M-NM transition in	C8-437
Favre-Bonte (M.), Joud (J.C.),		fluid alkalimetals	C8-74
Hicter (P.) and Desre (P.) Calculation of the partial struc	-	Freyland (W.) See Franz (G.) C8-	70-194
ture factors in binary liquid alloys by a thermodynamical		Freyland (W.) See Dupree (R.)	C8-16
approach	C8-586	Friedt (J.M.), Maurer (M.), Sanchez (J.P.), Berrada (A.), Qachaou (A.) Panissod (P.) and Durand (J.).	,
effects and magnetic interaction in amorphous Ce ₈₉ ^{A1} 11 ·······	c8-630	Electronic, magnetic and structural properties of amorphous Eu 80 Au 20 alloys from hyperfine interactions at europium	09_639
Fert (A.) See Ousset (J.C.)	C8-470		C8-638
Fert (A.) See Asomoza (R.)	C8-467	Fritsch (T.) See Schmidt (H.J.).	C8-886
Fischer (M.) See Güntherodt	00-201	Froböse (K.) See Jäckle (J.)	C8-507
(H.J.)	C8-381	Fujara (F.) See Heitjans (P.)	C8-409
Fisson (S.) See Nguyen Van (V.). Flanck (A.M.) and Naudon (A.)	C8-489	Fujiwara (T.) and Ishii (Y.) Amorphous alloy Fe-P: structural model, vibrational spectra and	
In situ measurements in mettalic glasses by small-angle scatte-		electronic states	C8-408
In situ measurements in mettalic glasses by small-angle scatte- ring of X-Rays	C8-123	electronic states	C8-408
In situ measurements in mettalic glasses by small-angle scatte-	C8-123	electronic states Fujiwaka (S.) See Suzuki (K.)	
In situ measurements in mettalic glasses by small-angle scatte- ring of X-Rays	C8-123 C8-427	electronic states Fujiwaka (S.) See Suzuki (K.) Fukunaga (T.) See Suzuki (K.)	C8-66
In situ measurements in mettalic glasses by small-angle scattering of X-Rays	C8-123 C8-427 C8-250	electronic states Fujiwaka (S.) See Suzuki (K.) Fukunaga (T.) See Suzuki (K.) Gardiner (M.K.) See Cobourne (D.)	C8-66 C8-179
In situ measurements in mettalic glasses by small-angle scattering of X-Rays	C8-123 C8-427 C8-250	electronic states	C8-66 C8-179 C8-422
In situ measurements in mettalic glasses by small-angle scattering of X-Rays	C8-123 C8-427 C8-250 e f	electronic states	C8-66 C8-179 C8-422
In situ measurements in mettalic glasses by small-angle scattering of X-Rays	C8-123 C8-427 C8-250 e f C8-443 C8-878	electronic states	C8-66 C8-179 C8-422 C8-20
In situ measurements in mettalic glasses by small-angle scattering of X-Rays	C8-123 C8-427 C8-250 e f C8-443 C8-878 C8-141	electronic states Fujiwaka (S.) See Suzuki (K.) Fukunaga (T.) See Suzuki (K.) Gardiner (M.K.) See Cobourne (D.) Gardner (J.A.) See Dupree (R.) Garoche (P.), Calvayrac (Y.) and Veyssié (J.J.) Electronic properties of amorphous Cu ₆₀ Zr ₄₀ alloy Garoche (P.) See Liénard (A.) Gaskell (T.) and Mason (P.E.)	C8-66 C8-179 C8-422 C8-20 C8-766 C8-658
In situ measurements in mettalic glasses by small-angle scattering of X-Rays	C8-123 C8-427 C8-250 e f C8-443 C8-878	electronic states	C8-66 C8-179 C8-422 C8-20 C8-766 C8-658
In situ measurements in mettalic glasses by small-angle scattering of X-Rays	C8-123 C8-427 C8-250 e f C8-443 C8-878 C8-141	electronic states	C8-66 C8-179 C8-422 C8-20 C8-766 C8-658 C8-330 s
In situ measurements in mettalic glasses by small-angle scattering of X-Rays	C8-123 C8-427 C8-250 e f C8-443 C8-878 C8-141	electronic states	C8-66 C8-179 C8-422 C8-20 C8-766 C8-658
In situ measurements in mettalic glasses by small-angle scattering of X-Rays	C8-123 C8-427 C8-250 e f C8-443 C8-878 C8-141 C8-207	electronic states	C8-66 C8-179 C8-422 C8-20 C8-766 C8-658 C8-330 s C8-414
In situ measurements in mettalic glasses by small-angle scattering of X-Rays	C8-123 C8-427 C8-250 e f C8-443 C8-878 C8-141 C8-207	electronic states	C8-66 C8-179 C8-422 C8-20 C8-766 C8-658 C8-330 s C8-414 C8-795

Gerl (M.) and Bruson (A.) Diffusion in liquid metals and simple liquids	C8-335	Güntherodt (H.J.), Oelhafen (P.), Lapka (R.), Künzi (H.U.), Indlekofer (G.), Krieg (J.), Laubscher (T.), Rudin (H.), Gubler (U.), Rösel (F.)
Gerl (M.) See Bruson (A.)	C8-349	Ackermann (K.P.), Delley (5.),
Ghafari (M.) See Wagner (H.G.)	C8-199	(E.), Liard (M.), Müller (M.), Kübler (J.), Bennemann (K.H.) and
Ghatak (S.K.) See Moorjani (K.).	C8-718	Hague (C.F.) Electronic structure of liquid and amorphous metals. C8-381
Gibbs (M.R.J.), Evetts (J.E.) and Horton (M.E.) Domain wall pinn in inhomogeneously deformed amor- phous alloys	-	Hackstein (K), Sotier (S.) and Lüscher (E.) Magnetic susceptibility of liquid alloys Na-Sb, Na-Bi, Li-Sb,
Giessen (B.C.) and Whang (S.)		Li-Bi and Li-Pb C8-49
formation and characterization of amorphous metals	C8-95	Hadjipanayis (G.), Cornelison (S.G.) Sellmyer (D.J.) Magnetic and electronic properties of rare
Gilbert (M.) See Bergman (C.)	C8-591	earth rich metallic glasses C8-642
Gilman (J.J.) Overview of the technology and significance of metallic glasses	C8-811	<pre>Hafner (J.), Gratz (E.) and Günthe- rodt (H.J.) The electrical resis- tivity of molten and glassy Mg-Zn alloys</pre>
Girt (E.), Tomić (P.), Kuršumović (A.) and Mihać-Kosanović (T.) Free volume change of metallic		Hafner (J.) Why do metallic glasses form ?
glasses studied by thermal expansion measurements	C8-875	Hague (C.F.) Partial densities of
Gläser (W.) See Egelstaff (P.A.)	C8-222	states in liquid Pb _{100-x} Si _x Cu _{100-x} C8-433
Gläser (W.) See Suck (J.B.)	C8-175	Hague (C.F.) See Güntherodt (H.J.) C8-381
Gläser (W) - See Franz (G.)	C8-194	Hamzić (A.), Babić (E.) and Marohnić
Gmelin (E.) See Thomas (N.)	C8-751	(Z.) Magnetoresistance of Fe-No amorphous alloys C8-694
Gompf (F.) See Schmidt (H.J.)	C8-886	Handstein (A.) See Schneider (J) C8-682
Gonser (U.) See Nasu (S.)	C8-690	
Gonser (U.) See Wagner (H.G.)	C8-199	
Goodisman (J.) See Amokrane (S.)	C8-783	Hartrott (M.V.) See Weihreter (D.) C8-160
Gorres (U.) See Dey (S.)	C8-678	Hasegawa (M.) and Young (W.H.) Bulk moduli of liquid metals by
Goto (T.) See Misonou (M.)	C8-540	the homogeneous deformation and long wave methods C8-567
Goumiri (L.), Laty (P.), Joud (J.C. and Desre (P.) A.E.S. studies)	
of surface composition of Al-Sn and Al-Cu liquid alloys	C8-787	Hasegawa (R.) Magnetic properties of glassy (Fe-Ni) 86B14 alloys C8-701
Gratz (E.) See Hafner (S.)		Hashimoto (K.) See Masumoto (T.) C8-894
Gray (P.) Size effects in regular		Hashimoto (K.) See Naka (M.) C8-862
solution theory applied to some molten alloys	C8-577	Hassanain (N.), Loegel (B.), Berra-
Grest (G.S.), Nagel (S.R.) and Rahm (A.) Quench echoes in Lennard- Jones and rubidium frozen fluids		da (A.) and Durand (J.) Super- conducting and bulk magnetic properties of amorphous La _{80-x}
temperature dependence of the anharmonic behavior		Sm _x Au ₂₀ alloys C8-770
Greuter (F.) See Güntherodt (H.S)	C8-293	Hassanain (N.) See Krill (G.) $C8-799$ Hatta (S.) See Mizoguchi (T.) $C8-705$
Grupp (H.) See Heitjans (P.)	C8-409	Hanger (T.)
Gubler (U.) See Güntherodt (H.J)	C8-381	Hayer (E.), Komarek (K.), Bros (J.P.)
Guckelsberger (K) See Thomas (N)	C8-751	and Gaune-Escard (M.) Anomalies of excess heat capacities in the
Güntherodt (H.J.) See Hafner (J)	C8-512	liquid alloys Au-Sn C8-590
Güntherodt (H.J.) See Suck (J.B)	C8-175	Hefner (W.), Schmutzler (R.W.) and Hensel (F.) Optical reflectivity
Güntherodt (H.J.) See Weiss (G.)		measurements on fluid mercury C8-62

Güntherodt (H.J.).- See Weiss (G.) C8-742

Hegedüs (Z.) See Cziraky (A.)	C8-141	Hoshino (H.) See Mushiage (M.) .	C8-569
Heitjans (P.)-, Coker (A.), Lee (T.) and Das (T.P.) Theory of tempe-		Hoshino (H.) See Yao (M.)	C8-28
rature dependence of knight shifts and spin-lattice relaxation times	S	Hosokawa (S.) See Hoshino (H.) . (C8-52
in liquid lithium and sodium	C8-403	Hubberstey (P.) and Dadd (A.T.) The electrical resitivities of	
Heitjans (P.), Kiese (G.), Ackermann (H.), Bader (B.), Buttler (W.),		solutions of Li ₂₂ Si ₅ and of Li ₂₂	C8-531
Dörr (K.), Fujara (F.), Grupp (H. Körblein (A.) and Stöckmann (H.J.		Hübsch (J.). See Marchal (G.)	C8-662
Nuclear spin-lattice relaxation in liquid Li-Na, Li-Mg and Li-Pb		Huisman (L.), Schwartz (L.) and Bansil (A.) Calculations of	
	C8-409	electronic states in the muffin tin model of a liquid metal	C8-441
Heitjans(P.) See Ruppersberg (H)	C8-595	Hunderi (O.) and Bergersen (R.)	CO 441
	C8-682	Auger and ellipsometric investigation of the oxidation kinetics	
	C8-886	of some metallic glasses	C8-867
	C8-8	Ichimura (T.) See Shiotani (T.)	C8-313
Hensel (F.) See Franz (G.) C8-	70-194	Incoccia (L.) See De Crescenzi	30 000
Hensel (F.) See Hefner (W.)	C8-62	(M.)	C8-238
Henskens (R.A.) See Algra (H.A.)	C8-646	Indlekofer (G.) See Güntherodt (H.J.)	C8-381
Herold (U.) See Köster (U.)	C8-352	Inoue (A.), Masumoto (T.), Suryana-	
Hicter (P.) See Djemili (B.)	C8-363	rayana (C.) and Hoshi (A.) Superconductivity of ductile	
Hicter (P.) See Favre-Bonte (M.)C8-	-156-586	titanium-niobium- based amorphous alloys	C8-758
Hicter (P.) See Khanna (S.N.) (C8-582	<pre>Inoue(A.), Kobayashi(K), Nose (M.) and Masumoto (T.) Mechanical properties of (Fe, Co, Ni)-M-B</pre>	
Hillairet (J.), Balanzat (E.), Bigot (J.) and Künzi (H.U.)		(M=Ti, Zr, Hf, V, Nb, Ta and Mo) amorphous alloys with low Boron concentration	C8-831
Electron radiation damage of some metal-metal amorphous	C8-854	Inutake (M.) See Suzuki (K.)	C8-66
		Ishida (Y.), Asano (S.) and Yonezawa	
	C8-871	(F.) Pseudogap and anomalous dispersion of expanded liquid	-0.00
	C8-803	mercury	C8-81
	C8-485	Ishii (Y.) See Fujiwara (T.)	C8-408
110223100111	C8-171	Itoh (M.), Niizeki (K.) and Watabe (M.) Theory of transport pro-	
Holzhey (C.) See Brouers (F.)	C8-56	perties of liquid non-simple metals in the effective medium	
Honda (T.) See Itoh (F.)	C8-418	approximation	C8-508
Horton (M.E.) See Gibbs (M.R.J.)	C8-706	Itoh (F.), Honda (T.) and Suzuki (K). Gamma-ray Compton scattering of	, -
Hoshi (A.) See Inoue (A.)	C8-758	germanium and selenium in solid and liquid state	C8-418
Hoshino (H.), Tamura (K.), Hosokawa (S.), Suzuki (K.), Misonou (M.)		Itoh (F.) See Suzuki (K.)	C8-179
and Endo (H.) Pressure effect on the properties of liquid Bi-		Jäckle (J.) and Froböse (K.) The	
BiBr ₃ mixtures near the miscibility gap	C8-52	electron-phonon coupling constant of amorphous metals	C8-507
Hoshino (K.) and Young (W.H.)		Jagielinski (T.) See Dmowski (W)	C8-127
Entropy of liquid pseudobinary alloys	C8-581	Jal (J.F.), Dupuy (J.), Chaussemy	
	C8-540	<pre>(G.), Kaddoun (A.) and Fornazero (J.) Analysis of the viscosity of molten K-KCl mixture in the metallic range in connection with</pre>	
		structure	C8-367

Jal (J.F.), Dupuy (J.) and Chieux		Komarek (K.) See Hayer (E.)	C8-590
(P.) On the pertubation of the atomic structure of liquid po-		Komnik (Yu.F.) and Belevtsev (B.I.).	-
tassium by the addition of KCI.	C8-257	Temperature dependence of the electric resistivity of amorphous	
Janot (Chr.) See Marchal (G.) .C8-	477-662	bismuth films	C8-493
Janot (Chr.) See Nikolov (S.)	C8-666	Körblein (A.) See Heitjans (P.).	C6-409
John (W.) and Keller (W.) Density of electronic states in liquid metals: an effective medium	G9 400	Köster (U.) and Herold (U.) Diffusion in some iron-nickel- boron glasses	C8-352
approach	C8-400	Kramer (B.) See Moorjani (K.)	C8-718
Johnson (W.L.) Superconductivity in metallic glasses	C8-731	Krebs (J.J.) See Forester (D.W.)	C8-882
Johnson(L.A.) See Luborsky (F.E)	C8-820	Krieg (J.) See Güntherodt (H.J.)	C8-381
Johson (D.C) See Stacy (A.)	C8- 45	<pre>Krill (G.), Amamou (A.), Berrada (A.) Durand (J.) and Hassanain (N.)</pre>	,
Jonson (M.) See Franz (J.R.)	C8- 44	Mixed valence state of Sm on the	
Joud (J.C.) See Goumiri (L.)	C8-787	surface of amorphous La _{80-x} Sm _x Au ₂₀ alloys	C8-799
Joud (J.C.) See Favre-Bonte (M.)	C8-586	Krill (G.) See Amamou (A.)	C8-396
Jousset (J.C.) See Audouard (A.)	C8-835	Krizek (J.) See Colbourne (D.)	C8-422
Jović (Dj.); Davidović (M.) and Chaturvedi (D.K.) The transport coefficient for non-transition elements	C8-276	Kronmüller (H.) Magnetization proce and the microstructure in amorphou metals	
	C8-367	Kübler (J.) See Güntherodt (H.J)	C8-381
Kaddoun (A.) See Jal (J.F.)		Kudo (T.) See Mizoguchi (T.) C8-	183-501
Kakinuma (F.) See Ohno (S.)	C8-527	Kuentzler (R.) See Amamou (A.)	C8-396
<pre>Kemény (T.), Schaafsma (A.S.), Donald (I.W.), Davies (H.A.), Fogarassy (B.), Vincze (I.) and Van der Wou (F.) Structural relaxation in</pre>	đe	Kuhnast (F.A.), Machizaud (F.) et Flee (J.)Modèle structural des alliag amorphes Ni ₆₆ B ₃₄ et Ni ₇₁ B ₂₉	ges
<pre>(I.W.), Davies (H.A.), Fogarassy (B.), Vincze (I.) and Van der Wou (F.) Structural relaxation in ferromagnetic metallic glasses.</pre>	de C8-878		ges
(I.W.), Davies (H.A.), Fogarassy (B.), Vincze (I.) and Van der Wou (F.) Structural relaxation in ferromagnetic metallic glasses. Kemény (T.) See Schaafsma (A.S.)	de C8-878 C8-246	(J.)Modèle structural des alliag amorphes Ni ₆₆ B ₃₄ et Ni ₇₁ B ₂₉ Kunsch (B.) See Eder (O.J.) Künzi (H.U.) See Güntherodt	c8-250
(I.W.), Davies (H.A.), Fogarassy (B.), Vincze (I.) and Van der Wou (F.) Structural relaxation in ferromagnetic metallic glasses. Kemény (T.) See Schaafsma (A.S.) Keller (W.) See John (W.)	de C8-878	(J.)Modèle structural des alliagements Ni ₆₆ B ₃₄ et Ni ₇₁ B ₂₉ Kunsch (B.) See Eder (O.J.)	c8-250
<pre>(I.W.), Davies (H.A.), Fogarassy (B.), Vincze (I.) and Van der Wou (F.) Structural relaxation in ferromagnetic metallic glasses. Kemény (T.) See Schaafsma (A.S.) Keller (W.) See John (W.) Khanna (S.N.) and Cyrot- Lackmann (F.) On the bulk and surface</pre>	de C8-878 C8-246	(J.)Modèle structural des alliag amorphes Ni ₆₆ B ₃₄ et Ni ₇₁ B ₂₉ Kunsch (B.) See Eder (O.J.) Künzi (H.U.) See Güntherodt	c8-250
(I.W.), Davies (H.A.), Fogarassy (B.), Vincze (I.) and Van der Wou (F.). Structural relaxation in ferromagnetic metallic glasses. Kemény (T.). See Schaafsma (A.S.) Keller (W.). See John (W.) Khanna (S.N.) and Cyrot Lackmann	de C8-878 C8-246	(J.)Modèle structural des alliac amorphes Ni ₆₆ B ₃₄ et Ni ₇₁ B ₂₉ Kunsch (B.) See Eder (O.J.) Künzi (H.U.) See Güntherodt (H.J.) Künzi (H.U.) See Hillairet (J.). Kurlat (D.H.) See Rosen (M.)	C8-226 C8-381
<pre>(I.W.), Davies (H.A.), Fogarassy (B.), Vincze (I.) and Van der Wou (F.) Structural relaxation in ferromagnetic metallic glasses. Kemény (T.) See Schaafsma (A.S.) Keller (W.) See John (W.) Khanna (S.N.) and Cyrot- Lackmann (F.) On the bulk and surface electronic structure of amorphous transition metals</pre> Khanna (S.M.), Cyrot-Lackmann (F.)	C8-878 C8-246 C8-400	(J.)Modèle structural des alliac amorphes Ni ₆₆ B ₃₄ et Ni ₇₁ B ₂₉ Kunsch (B.) See Eder (O.J.) Künzi (H.U.) See Güntherodt (H.J.) Künzi (H.U.) See Hillairet (J.).	C8-250 C8-226 C8-381 C8-854
<pre>(I.W.), Davies (H.A.), Fogarassy (B.), Vincze (I.) and Van der Wou (F.) Structural relaxation in ferromagnetic metallic glasses. Kemény (T.) See Schaafsma (A.S.) Keller (W.) See John (W.) Khanna (S.N.) and Cyrot- Lackmann (F.) On the bulk and surface electronic structure of amorphous transition metals</pre> Khanna (S.M.), Cyrot-Lackmann (F.) and Hicter (P.) Electronic contribution to the entropy of mixing	C8-878 C8-246 C8-400	(J.)Modèle structural des alliac amorphes Ni ₆₆ B ₃₄ et Ni ₇₁ B ₂₉ Kunsch (B.) See Eder (O.J.) Künzi (H.U.) See Güntherodt (H.J.) Künzi (H.U.) See Hillairet (J.). Kurlat (D.H.) See Rosen (M.)	C8-250 C8-226 C8-381 C8-854 C8-356
<pre>(I.W.), Davies (H.A.), Fogarassy (B.), Vincze (I.) and Van der Wou (F.) Structural relaxation in ferromagnetic metallic glasses. Kemény (T.) See Schaafsma (A.S.) Keller (W.) See John (W.) Khanna (S.N.) and Cyrot- Lackmann (F.) On the bulk and surface electronic structure of amorphous transition metals</pre> Khanna (S.M.), Cyrot-Lackmann (F.) and Hicter (P.) Electronic con- tribution to the entropy of mixing of liquid transition metal based	C8-878 C8-246 C8-400	(J.)Modèle structural des alliace amorphes Ni ₆₆ B ₃₄ et Ni ₇₁ B ₂₉ Kunsch (B.) See Eder (O.J.) Künzi (H.U.) See Güntherodt (H.J.) Künzi (H.U.) See Hillairet (J.). Kurlat (D.H.) See Rosen (M.) Kursumović (A.) See Girt (E.)	C8-250 C8-226 C8-226 C8-381 C8-854 C8-356 C3-875
(I.W.), Davies (H.A.), Fogarassy (B.), Vincze (I.) and Van der Wou (F.) Structural relaxation in ferromagnetic metallic glasses. Kemény (T.) See Schaafsma (A.S.) Keller (W.) See John (W.) Khanna (S.N.) and Cyrot- Lackmann (F.) On the bulk and surface electronic structure of amorphous transition metals Khanna (S.M.), Cyrot-Lackmann (F.) and Hicter (P.) Electronic contribution to the entropy of mixing of liquid transition metal based alloys	C8-878 C8-246 C8-400 C8-423	(J.)Modèle structural des alliac amorphes Ni ₆₆ B ₃₄ et Ni ₇₁ B ₂₉ Kunsch (B.) See Eder (O.J.) Künzi (H.U.) See Güntherodt (H.J.)	C8-250 C8-226 C8-381 C8-854 C8-356 C3-875 C8-630
(I.W.), Davies (H.A.), Fogarassy (B.), Vincze (I.) and Van der Wou (F.). Structural relaxation in ferromagnetic metallic glasses. Kemény (T.). See Schaafsma (A.S.) Keller (W.). See John (W.) Khanna (S.N.) and Cyrot Lackmann (F.). On the bulk and surface electronic structure of amorphous transition metals Khanna (S.M.), Cyrot Lackmann (F.) and Hicter (P.). Electronic contribution to the entropy of mixing of liquid transition metal based alloys Kiese (G.). See Heitjans (P.)	C8-878 C8-246 C8-400 C8-423 G C8-582 C8-409	(J.)Modèle structural des alliace amorphes Ni ₆₆ B ₃₄ et Ni ₇₁ B ₂₉ Kunsch (B.) See Eder (O.J.) Künzi (H.U.) See Güntherodt (H.J.) Künzi (H.U.) See Hillairet (J.). Kurlat (D.H.) See Rosen (M.) Kursumović (A.) See Girt (E.) Kushnir (S.G.) See Felsch (W.) Laborde (O.) See Bethoux (O.)	C8-250 C8-226 C8-381 C8-854 C8-356 C3-875 C8-630 C8-754
(I.W.), Davies (H.A.), Fogarassy (B.), Vincze (I.) and Van der Wou (F.). Structural relaxation in ferromagnetic metallic glasses. Kemény (T.). See Schaafsma (A.S.) Keller (W.). See John (W.) Khanna (S.N.) and Cyrot Lackmann (F.). On the bulk and surface electronic structure of amorphous transition metals Khanna (S.M.), Cyrot Lackmann (F.) and Hicter (P.). Electronic contribution to the entropy of mixing of liquid transition metal based alloys Kiese (G.). See Heitjans (P.) Kinell (T.) and Ebbsjö (I.). Change in the static structure factor by varying the pair potential	C8-878 C8-246 C8-400 C8-423 G C8-582 C8-409 S	(J.)Modèle structural des alliac amorphes Ni ₆₆ B ₃₄ et Ni ₇₁ B ₂₉ Kunsch (B.) See Eder (O.J.) Künzi (H.U.) See Güntherodt (H.J.) Künzi (H.U.) See Hillairet (J.). Kurlat (D.H.) See Rosen (M.) Kursumović (A.) See Girt (E.) Kushnir (S.G.) See Felsch (W.) Laborde (O.) See Bethoux (O.) Lagarde (P.) See Raoux (D.)	C8-250 C8-226 C8-381 C8-854 C8-356 C3-875 C8-630 C8-754 C8-207
(I.W.), Davies (H.A.), Fogarassy (B.), Vincze (I.) and Van der Wou (F.) Structural relaxation in ferromagnetic metallic glasses. Kemény (T.) See Schaafsma (A.S.) Keller (W.) See John (W.) Khanna (S.N.) and Cyrot- Lackmann (F.) On the bulk and surface electronic structure of amorphous transition metals Khanna (S.M.), Cyrot-Lackmann (F.) and Hicter (P.) Electronic contribution to the entropy of mixing of liquid transition metal based alloys	C8-878 C8-246 C8-400 C8-423 G C8-582 C8-409	(J.)Modèle structural des alliag amorphes Ni ₆₆ B ₃₄ et Ni ₇₁ B ₂₉ Kunsch (B.) See Eder (O.J.) Künzi (H.U.) See Güntherodt (H.J.) Künzi (H.U.) See Hillairet (J.). Kurlat (D.H.) See Rosen (M.) Kursumović (A.) See Girt (E.) Kushnir (S.G.) See Felsch (W.) Laborde (O.) See Bethoux (O.) Lagarde (P.) See Raoux (D.) Lai (S.K.) See Wang (S.)	C8-250 C8-226 C8-226 C8-381 C8-854 C8-356 C3-875 C8-630 C8-754 C8-207 C8-535
(I.W.), Davies (H.A.), Fogarassy (B.), Vincze (I.) and Van der Wou (F.) Structural relaxation in ferromagnetic metallic glasses. Kemény (T.) See Schaafsma (A.S.) Keller (W.) See John (W.) Khanna (S.N.) and Cyrot- Lackmann (F.) On the bulk and surface electronic structure of amorphous transition metals Khanna (S.M.), Cyrot-Lackmann (F.) and Hicter (P.) Electronic contribution to the entropy of mixing of liquid transition metal based alloys Kiese (G.) See Heitjans (P.) Kinell (T.) and Ebbsjö (I.) Change in the static structure factor by varying the pair potential studied by computer simulation. Kirby (D.J.) See Dupree (R.)	C8-878 C8-246 C8-400 C8-423 G C8-582 C8-409 S	(J.)Modèle structural des alliag amorphes Ni ₆₆ B ₃₄ et Ni ₇₁ B ₂₉ Kunsch (B.) See Eder (O.J.) Künzi (H.U.) See Güntherodt (H.J.) Künzi (H.U.) See Hillairet (J.). Kurlat (D.H.) See Rosen (M.) Kurśumović (A.) See Girt (E.) Kushnir (S.G.) See Felsch (W.) Laborde (O.) See Bethoux (O.) Lagarde (P.) See Raoux (D.) Lai (S.K.) See Wang (S.)	C8-250 C8-226 C8-226 C8-381 C8-854 C8-356 C3-875 C8-630 C8-754 C8-207 C8-535 C3-795
(I.W.), Davies (H.A.), Fogarassy (B.), Vincze (I.) and Van der Wou (F.) Structural relaxation in ferromagnetic metallic glasses. Kemény (T.) See Schaafsma (A.S.) Keller (W.) See John (W.) Khanna (S.N.) and Cyrot- Lackmann (F.) On the bulk and surface electronic structure of amorphous transition metals Khanna (S.M.), Cyrot-Lackmann (F.) and Hicter (P.) Electronic contribution to the entropy of mixing of liquid transition metal based alloys Kiese (G.) See Heitjans (P.) Kinell (T.) and Ebbsjö (I.) Change in the static structure factor by varying the pair potential studied by computer simulation. Kirby (D.J.) See Dupree (R.) Kleim (R.) See Bath (A.)	C8-878 C8-246 C8-400 C8-423 G C8-423 G C8-582 C8-409 G C8-301	(J.)Modèle structural des alliage amorphes Ni ₆₆ B ₃₄ et Ni ₇₁ B ₂₉ Kunsch (B.) See Eder (O.J.) Künzi (H.U.) See Güntherodt (H.J.) Künzi (H.U.) See Hillairet (J.). Kurlat (D.H.) See Rosen (M.) Kursumović (A.) See Girt (E.) Kushnir (S.G.) See Felsch (W.) Laborde (O.) See Bethoux (O.) Lagarde (P.) See Raoux (D.) Lai (S.K.) See Wang (S.) Lambin (P.) See Cros (A.)	C8-250 C8-226 C8-226 C8-381 C8-854 C8-356 C3-875 C8-630 C8-754 C8-207 C8-535 C3-795 C8-186
(I.W.), Davies (H.A.), Fogarassy (B.), Vincze (I.) and Van der Wou (F.) Structural relaxation in ferromagnetic metallic glasses. Kemény (T.) See Schaafsma (A.S.) Keller (W.) See John (W.) Khanna (S.N.) and Cyrot - Lackmann (F.) On the bulk and surface electronic structure of amorphous transition metals Khanna (S.M.), Cyrot - Lackmann (F.) and Hicter (P.) Electronic contribution to the entropy of mixing of liquid transition metal based alloys Kiese (G.) See Heitjans (P.) Kinell (T.) and Ebbsjö (I.) Change in the static structure factor by varying the pair potential studied by computer simulation. Kirby (D.J.) See Dupree (R.) Kleim (R.) See Bath (A.) Kleppa (O.J.) See Yokokawa (H.).	C8-878 C8-246 C8-246 C8-400 C8-423 G C8-423 G C8-409 S C8-301 C8- 16	(J.)Modèle structural des alliage amorphes Ni66B34 et Ni71B29 Kunsch (B.) See Eder (O.J.) Künzi (H.U.) See Güntherodt (H.J.) Künzi (H.U.) See Hillairet (J.). Kurlat (D.H.) See Rosen (M.) Kursumović (A.) See Girt (E.) Kushnir (S.G.) See Felsch (W.) Laborde (O.) See Bethoux (O.) Lagarde (P.) See Raoux (D.) Lai (S.K.) See Wang (S.) Lambin (P.) See Cros (A.) Lamparter (P.) See Nold (E.) Lapka (R.) See Güntherodt (H.J.) Lasjaunias (J.C.) See Bethoux	C8-250 C8-226 C8-226 C8-381 C8-854 C8-356 C3-875 C8-630 C8-754 C8-207 C8-535 C3-795 C8-186 C8-381 C8-749
(I.W.), Davies (H.A.), Fogarassy (B.), Vincze (I.) and Van der Wou (F.).— Structural relaxation in ferromagnetic metallic glasses. Kemény (T.).— See Schaafsma (A.S.) Keller (W.).— See John (W.) Khanna (S.N.) and Cyrot— Lackmann (F.).— On the bulk and surface electronic structure of amorphous transition metals Khanna (S.M.), Cyrot—Lackmann (F.) and Hicter (P.).— Electronic contribution to the entropy of mixing of liquid transition metal based alloys Kiese (G.).— See Heitjans (P.) Kinell (T.) and Ebbsjö (I.).— Change in the static structure factor by varying the pair potential studied by computer simulation. Kirby (D.J.).— See Dupree (R.) Kleim (R.).— See Bath (A.) Kleppa (O.J.).— See Yokokawa (H.).	C8-878 C8-246 C8-246 C8-400 C8-423 G C8-423 G C8-582 C8-409 S C8-301 C8-16 C8-519	(J.)Modèle structural des alliage amorphes Ni ₆₆ B ₃₄ et Ni ₇₁ B ₂₉ Kunsch (B.) See Eder (O.J.) Künzi (H.U.) See Güntherodt (H.J.) Künzi (H.U.) See Hillairet (J.). Kurlat (D.H.) See Rosen (M.) Kursumović (A.) See Girt (E.) Kushnir (S.G.) See Felsch (W.) Laborde (O.) See Bethoux (O.) Lagarde (P.) See Raoux (D.) Lai (S.K.) See Wang (S.) Lambin (P.) See Cros (A.) Lamparter (P.) See Nold (E.) Lapka (R.) See Güntherodt (H.J.) Lasjaunias (J.C.) See Bethoux (O.)	C8-250 C8-226 C8-226 C8-381 C8-854 C8-356 C3-875 C8-630 C8-754 C8-207 C8-535 C3-795 C8-186 C8-381 C8-749 C8-754
(I.W.), Davies (H.A.), Fogarassy (B.), Vincze (I.) and Van der Wou (F.) Structural relaxation in ferromagnetic metallic glasses. Kemény (T.) See Schaafsma (A.S.) Keller (W.) See John (W.) Khanna (S.N.) and Cyrot - Lackmann (F.) On the bulk and surface electronic structure of amorphous transition metals Khanna (S.M.), Cyrot - Lackmann (F.) and Hicter (P.) Electronic contribution to the entropy of mixing of liquid transition metal based alloys Kiese (G.) See Heitjans (P.) Kinell (T.) and Ebbsjö (I.) Change in the static structure factor by varying the pair potential studied by computer simulation. Kirby (D.J.) See Dupree (R.) Kleim (R.) See Bath (A.) Kleppa (O.J.) See Yokokawa (H.).	C8-878 C8-246 C8-246 C8-400 C8-423 G C8-423 G C8-582 C8-409 S C8-301 C8-16 C8-519 C8-555	(J.)Modèle structural des alliage amorphes Ni66B34 et Ni71B29 Kunsch (B.) See Eder (O.J.) Künzi (H.U.) See Güntherodt (H.J.) Künzi (H.U.) See Hillairet (J.). Kurlat (D.H.) See Rosen (M.) Kursumović (A.) See Girt (E.) Kushnir (S.G.) See Felsch (W.) Laborde (O.) See Bethoux (O.) Lagarde (P.) See Raoux (D.) Lai (S.K.) See Wang (S.) Lambin (P.) See Cros (A.) Lamparter (P.) See Nold (E.) Lapka (R.) See Güntherodt (H.J.) Lasjaunias (J.C.) See Bethoux	C8-250 C8-226 C8-226 C8-381 C8-854 C8-356 C3-875 C8-630 C8-754 C8-207 C8-535 C3-795 C8-186 C8-381 C8-749

Laugier (A.) See Chaussemy (G.).	C8-371	Marchal (G.), Teirlinck (D.), Mangin	
Lee (D.) See Wagner (C.N.J.)	C8-242	(ph.), Janot (Chr.) and Hübsch (J.) Magnetic behaviour of	
Lee (T.) See Heitjans (P.)	C8-403	vapour quenched Co _x Sn _{1-x} alloys	C8-662
Lelieur (J.P.) See Damay (P.)	C8- 24	Marchal (G.) See Nikolov (S.)	C8-666
Lemaignan (C1.), Cheynet (M.C.) and Eustathopoulos (N.) Liquid to		Marohnić (Ž.) See Babić (E.)	C8-473
solid nucleation in metal-semi-		Marohnić (Z.) See Hamzić (A.)	C8-694
Conductor entectic alloys	C8-110	Martin-Garin (R.) See Djemili (B.)	C8-363
Lemaignan (Cl.) and Desre (P.) Excess volume of mixing induced		Martin-Garin (L) See Djemili	
<pre>by size effect in liquid alloys. A hard sphere simulation</pre>	C8-305	(B.)	C8-363
Lemarchand (J.L.), Bletry (J.) and		Mason (P.E.) See Gaskell (T.)	C8-330
Desre (P.) Study of liquid nickel-vanadium alloys by neutron		Masumoto (T.), Ohnuma (S.), Shirakawa (K.), Nose (M.) and Kobayashi (K.)	
diffraction and model simula- tion	C8-163	Magnetic properties of metal- me amorphous alloys	
Levesque (D.), Nixon (J.H.), Silbert (M.) and Weis (J.J.) Non-additiv	re	Masumoto (T.) See Nishi (Y.)	C8-359
hard sphere mixtures- Numerical results for negative non-additive		Masumoto (T.) See Naka (M.) C8-8	339-862
parameter	C8-317	Masumoto (T.) See Inoue (A.)c8-7	758-831
Liard (M.) See Güntherodt (H.J.)	C8-381	Masumoto (T.) and Hashimoto (K.)	
Liénard (A.), Rebouillat (J.P.), Garoche (P.) and Veyssié (J.J.)		Corrosion properties of amorphous metals	C8-894
Magnetic clusters in Y-Ni amorphou alloys near the critical concen-	ıs	Mathieu (J.C.) See Bergman (C.).	C8-591
tration	C8-658	Matsuura (M.).~ See Suzuki (K.)	C8-179
Lindström (L.) See Persson (T.).	C8-374	Matsubara (T.) See Ogawa (T.)	C8- 77
Loegel (B.) See Hassanain (N.) .	C8-770	Matyja (H.) See Dmowski (W.)	C8-127
Loupias (G.) See Badiali (J.P.).	C8-211	Maurer (M.) See Friedt (J.M.)	C8-638
Lovas (A.) See Schaafsma (A.S.).	C8-246	Mensies (O.) See Alblas (B.P.)	C8-153
Luborsky (F.E.) and Johnson (L.A.)		Meyer (J.D.) Investigation of	
Applications of magnetic amorphous alloys	C8-820	Ti-Cu, Zr-Cu, Hf-Cu alloys after low temperature ion implanta-	
Lucci (A.) See Antonione (C.)	C8-131		C8-762
Lüscher (E.) See Hackstein (K.).	C8- 49	Mihac-Kosanović (T.) See Girt (E.)	C8-875
Machizaud (F.) See Belin (E.)	C8-427	Misawa (M.) and Suzuki (K.) Pair	
Machizaud (F.) See Kuhnast (F.A)	C8-250	ordering in disordered chain molecules of Se 75 liquid by pulsed neutron total scatte-	
McPherson (R.) See Egelstaff	G0_222		C8-203
(P.A.)	C8-222	Wilson (M.) Coo Complet (W.)	C8-179
Maeda (K.) See Egami (T.)	C8-272	Misonou (M.), Goto (T.), Endo (H.)	
Maeda (K.) See Mizoguchi (T.)	C8-705	and Hoshino (H.) Electronic properties of liquid Te-Se	
Mairy (C.) See Balanzat (E.)	C8-871		C8-540
Maisch (W.G.) See Forester (D.W)	C8-882	Misonou (M.) See Hoshino (H.)	C8- 52
Makarenko (I.N.) See Stishov (S.M.)	C8-573	Mizoguchi (T.), Hatta (S.) and Maeda (K.) Magnetic relaxation in amorphous	
Mangin (Ph.) See Marchal (G.) C8-4	477-662	Mizoguchi (T.), Akimitsu (M.) and	C8-705
Marchal (G.), Geny (J.F.), Mangin (Ph.) and Janot (Chr.) Electrical		Takayama (S.) Recoilless fractio of Mössbauer absorption in	
transport and stability of TM Sn 1- amorphous alloys (TM=Fe, Co,NI)	X C8-477		C8-698
amorphous arroys (In-re) co, ar	30 4//	Mizoguchi (T.), Shiotani (N.), Mizuta (U.), Kudo (T.) and Yamada (S.)	111

Structure and physical properties		Naka (M.) See Wagner (H.G.)	C8-199
of a simple metal-metal amorphous alloy Mg70 Zn 30	C8-183	Naka (M.), Masumoto (T.) and Chen (H.S.) Effect of metalloidal	
Mizutani (U.) See Mizoguchi (T.)	C8-183	elements on strength and thermal stability of iron-base glasses.	C8-839
Mizoguchi (T.), Kudo (T.) and Takayama (S.). Lorenz number in metallic glasses	C8-501	Nakamura (Y.), Niibe (M.) and Shimoj: (M.) NMR studies of concentrated lithium-Ammonia solutions	i d C8- 32
Mobilio (S.) See De Crescenzi (M.)	C8-238	Nara (S.) See Ogawa (T.)	C8- 77
Mogro-Campero (A.) and Walter (J.L.).		Nassif (E.) See Rosen (M.)	C8-356
Effect of remnant crystallinity on resistivity of amorphous alloys	C8-497	Nasu (S.) and Gonser (U.) Simultaneous transmission and scattering	ng
Mohs (E.) See Schmidt (H.J.)	C8-886	Mössbauer study on amorphous Fe ₄₀ Ni ₄₀ P ₁₄ B ₆ ······	C8-690
Moorjani (K.), Ghatak (S.K.), Rao (K.V.), Kramer (B.) and Chen (H.S.) .=	Naudon (A.) See Flank (A.M.)	C8-123
Spin glass-paramagnetic phase boundary in amorphous magnetic	. , •	Neuhäuser (H.) See Woldt (E.)	C8-846
alloys	C8-718	Nguyen Van (V.), Thèye (M.L.) and Fisson (S.). Stability and elec-	
Morkel (C.) See Suck (J.B.)	C8-175	tronic properties of vacuum- evaporated amorphous metallic	
Morris (D.G.). The mechanical properties of compacted metallic	20 050	Au-Ge alloy films	C8-489
glass	C8-858	Nielsen (H.J.V.) See Dey (S.)	C8-678
Mott (N.F.) Liquid and amorphous metals	C8- i	Niibe (M.) See Nakamura (Y.)	C8- 32
Mountain (R.D.) Effective pair potentials from structure	G0 207	Niizeki (K.) See Itoh (M.) Nikolaenko (A.M.) See Stishov (S.M.)	C8-508
	C8-297	Nikolov (S.), Piecuch (M.), Marchal	C8-573
Mrafko (P.) Homogeneous and iso- tropic hard sphere model of	00 793	(G.), and Janot (Chr.) Experi- mental evidences of magnetic clust	ters
	C8-322	in an amorphous Fe 0.34 Sn 0.66 alloys	C8-666
Mühlbach (J.), Recknagel (E.) and Sattler (K.) Nucleation of Sb- microcrystals in an inertgas atmosphere	C8-103	Nishi (Y.), Watanabe (H.), Suzuki (K.) and Masumoto (T.) Viscosities of Fe-C, Fe-P and Fe-P-C eutectic liquid alloys by a capillary method under reduced	
Mulder (A.L.), Drijber (J.W.) and Radelaar (S.) Creep and iso-con-	_	pressure	C8-359
figurational flow of metglas	C8-843	Nixon (J.H.) See Levesque (D.)	C8-317
Müller (M.) See Güntherodt (H.J)	C8-381	Nold (E.), Steeb (S.), Lamparter (P.) and Rainer-Harbach (G.) Expe-)
Mushiage (M.), Hoshino (H.), Tamura (K.) and Endo (H.) Pressure		rimental evidence for two kinds of defects in amorphous Fe 80	C8-186
variation of the two-phase region in liquid binary mixtures containing metals	C9 E60	Norris (C.) See Colbourne (D.) .	C8-422
	C8-569	Nose (M.) See Inoue (A.)	C8-831
	C8-682	Nose (M.) See Masumoto (T.)	C8-686
1 /2 - 1	C8-293	Oberle (R.) See Beck (H.)	C8-289
	C8-463	Očko (M.) See Babić (E.)	C8-473
Naka (M.), Hashimoto (K.), Asami (K.) and Masumoto (T.) corrosion	,	Oelhafen (P.) See Güntherodt	
behavior of amorphous iron- base alloys	C8-862	(H.J.)	C8-381
		Ogawa (T.), Nara (S.) and Matsubara (T.). The metal-insulator tran-	

sition in the expandet metals .	C8- 77	Popescu (M.A.) Modelling of the	
Ogino (Y.) Surface catalysis by liquid metals	C8-791	short-range order in glassy metallic alloys	C8-309
Ohkoshi (I.), Yokoyama (I.), Waseda	00 / 51	Predel (B.) See Sommer (F.)	C8-563
<pre>(Y.) and Young (W.H.) Theories of entropies of liquid metals;</pre>		Prinz (G.A.) See Forester (D.W.)	C8-882
phonons versus packing	C8-599	Qachaou (A.) See Friedt (J.M.) .	C8-638
Ohno (S.) and Kakinuma (F.) Electrical resistivities of rare eart	:h	Quitmann (D.) See Weihreter (E.)	C8-160
solutes in liquid indium and tin	C8-527	Quitmann (D.) See Soltwisch (M.)	C8-167
Ohnuma (S.) See Masumoto (T.)	C8-686	Quitmann (D.) See Bosse (J.)	C8-378
Olsson (L.G.) See Dahlborg (U.).	C8-214	Quivy (A.) See Calvayrac (Y.)	C8-114
Orton (B.R.) A double hard sphere	00-214	Radelaar (S.) See Spit (F.H.M.).	C8-890
model for molten semiconductors and semimetals	an ano	Radelaar (S.) See Mulder (A.L.).	C8-843
Ousset (J.C.), Ulmet (J.P.), Asomoza	C8-280	Rahman (A.) See Grest (G.S.)	C8-293
(R.), Bieri (J.B.), Askenazy (S.) and Fert (A.). Resistivity and		Rainer-Harbach (G.) See Nold (E)	C8-186
magnetoresistance of silver-rare-		Rao (K.V.) See Moorjani (K.)	C8-718
earth amorphous alloys	C8-470	Raoux (D.); Sadoc (J.F.), Lagarde (P	.),
Ousset (J.C.) See Asomoza (R.) .	C8-467	Sadoc (A.) and Fontaine (A.) Local structure in a Cu ₂ Ti amor-	
Ovcharenko (V.G.). – See Alekseev (V.A.)	-89- 91	phous alloy by EXAFS and X - ray scattering	C8-207
Panissod (P.) See Friedt (J.M.).	C8-638	Ravex (A.), Lasjaunias (J.C.) and	
Panissod (P.) See Amamou (A.)	C8-396	Thoulouze (D.) Heat relaxation phenomena at very low temperature	
Panissod (P.) See Aliaga-Guerra		and specific heat of the amorphou superconductor La _{0.78} ^{Zn} _{0.22}	s C8-749
(D.)	C9-674	Ravex (A.) See Bethoux (O.)	C8-754
Perez (J.), Cavaille (J.Y.), Etienne (S.) and Fouquet (F.) Visco-		Rebouillat (J.P.) See Liénard	
elastic and plastic behaviour of metallic and other glasses near		(A.)	C8-658
. 1	C8-850	Recknagel (E.) See Mühlbach (J.)	C8-103
Personn (T.), Eriksson (P.E.) and Lindström (L.) Convection and		Regnaut (C.), Badiali (J.P.) and Dupont (M.) Structural and ther	-
other disturbing effects in diffusion experiments in liquid		modynamic properties of liquid Zn Ga, Sn from pair potentials	C8-603
	C8-374	Renker (B.) See Schmidt (H.J.)	C8-886
Petiau (J.) See Badiali (J.P.) .	C8-211	Riontino (G.) See Antonione (C.)	C8-131
Philippov (L.P.) See Alekseev (V.A.)	C8-607	Rivory (J.), Bouchet (B.) and Bertra (Y.) Electronic structure of	nd
Piecuch (M.) - See Nikolov (S.)	C8-666	amorphous Co-P and Ni-P metallic alloys: evidence for short-range	
Platte (M.) See V.Löhneysen (H).	C8-745		C8-430
Poluchin (V.A.), Dzugutov (M.M.),		Rivory (J.) See Belin (E.)	C8-427
Uchov (V.F.) and Vatolin (N.A.). The statistical geometry of the	_	Rosenberg (M.) See Böhnke (G.)	C8-481
structure of the molecular dynamic model of liquid and amorphous		Rosenberg (M.) See Dey (S.)	C8-678
	C8-284	Rösel (F.) See Güntherodt (H.J)	C8-381
Popescu (M.A.) Computer simulation of the structure of amorphous metallic clusters deposited on		Rosen (M.), Nassif (E.) and Kur- lat (D.H.) Self-diffusion in liquid tin-telluride	C8-356
various surfaces	C8-807	Rosinberg (M.L.) See Amokrane	
		KOSINDELY (M.L.). Bee AMORIANE	C8-783

Rossbach (J.) See Weihreter (E.)	C8-160	Schneider (J.), Handstein (A.), Henke (I.), Zaveta (K.) and Mydlarz (T.) Inhomogeneous magnetization in amo	or-
Roth (L.M.) and Singh (V.A.) Transport properties in liquid and amount phous metals	s- or- C8-459	phous Ni-Fe based alloys Schneider (E.) See Franz (G.)	C8-194
	00_201		
Rudin (H.) See Güntherodt (H.J.) Rudin (H.) See Suck (J.B.)	C8-381 C8-175	Schönherr (G.) and Hensel (F.) Thermodynamic and electron trans- port properties of indium-amalgame	o g
		in the density range of metal-non	
Ruppersberg (H.), Saar (J.), Speich (W.) and Heitjans (P.). Density	er ,	metal transition	C8- 8
compressibility, specific heat a diffraction data of lithium - mag	nd	Schwarzl (S.) See Stobiecki (F.)	C8-171
alloys	C8-595	Schwartz (L.) See Huisman (L.)	C8-441
Ruppersberg (H.) See Chieux (P.)	C8-145	Segaud (C.) See Bererhi (A.)	C8-218
Ruppersberg (H.) See Soltwisch (M.)	C8-167	Sellmyer (D.J.) See Hadjipanayis (G.)	C8-642
Ryzhkov (Yu.F.) See Alekseev		Shimoji (M.) Thermodynamic aspects	-0 545
(V.A.)	-89- 91	of liquid and amorphous metals.	C8-547
Saar (J.) See Ruppersberg (H.).	C8-595	Shimoji (M.) See Nakamura (Y.)	C8- 32
Sadoc (J.) Amorphous structural mo dels using regular tessellation o		Shimoji (M.) See Nakamura (Y.)	C8- 32
curved spaces	C8-326	Shimoji (M.) Thermodynamic aspects of liquid and amorphous metals	C8-547
Sadoc (A.) See Raoux (D.)	C8-207	Shiotani (T.), Ichimura (T.) and	
Sadoc (J.F.) See Raoux (D.)	C8-207	Ueda (A.) Phase separation and thermodynamic properties of binary soft - core mixture	C8-313
Sakata (M.), Cowlam (N.) and Davies (H.A.) Measurements of composi-		Shiotani (N.) See Mizoguchi (T.)	C8-183
tional order in binary metallic glasses	C8-190	Shirakawa (K.) See Masumoto (T.)	C8-686
Salvan (F.) See Cros (A.)	C8-795	Sienko (M.J.) See Stacy (A.)	C8- 45
Samwer (K.) See V. Löhneysen H.).	C8-745	Sienko (M.J.) See Buntaine (J.R.)	C8- 36
Samwer (K.) See Felsch (W.)	C8-630	Silbert (M.) See Levesque (D.)	C8-317
Sanchez (J.P.) See Friedt (J.M.)	C8-638	Singh (V.A.) See Roth (L.M.)	C8-459
Sander (W.)See V.Löhneysen (H.).	C8-745	Smedskjear (L.C.) See Fluss	
Sattler (K.) See Mühlbach (J.).	C8-103	(M.J.)	C8-443
Schaafsma (A.S.), Vincze (I.), van		Söderström (O.), Copley (J.R.D.), Suck (J.B.) and Dorner (B.) Tes	sts
der Woude (F.), Kemény (T.) and Lovas (A.) Short range order of		of criteria for the existence of	
metallic glasses	C8-246	collective excitations in liquid metals	C8-230
Schaafsma (A.S.) See Babić (E.)	C8-473	Soltwisch (M.), Quitmann (D.), Ruppe	
Schaafsma (A.S.) See Kemény (T.)	C8-878	berg (H.) and Suck (J.B.) Dynamical concentration fluctuations	a-
Schink (H.J.)SeeV.Löhneysen (H.)	C8-745	liquid Li ₄ P _b	C8-167
Schmidt (W.W.) and Breitschwerdt (K.G.) Electronic Transport in Metal-Ammonia solutions	C9- 12	Sommer (F.), Bucher (G.) and Predel (B.). Thermodynamic investigation of Mg-Cu and Mg-Ni metallic	ons
	C8~ 12	glasses	C8-563
Schmidt (H.J.), Henrich (E.), Fritsc (T.), Gompf (F.), Renker (B.) and Mohs (E.) Are amorphous alloys		Sostarich (M.) See Dey (S.)	C8-678
suitable as a storage matrix for fission product krypton ?	C8-886	Sotier (S.) and Warren (W.W.), Jr NMR studies of liquid Cs-I solutions	00 44
Schmutzler (R.W.) See Hefner (W.)	C8- 62		C8- 40
		Sotier (S.) See Hackstein (K.)	C8-49
		Speicher (W.) See Ruppersberg (H.)	C8-595

Spit (F.H.M.), Drijver (J.W.), Tur- kenburg (W.C.) and Radelaar (S.). Hydrogen sorption by some early-		Takada (J.) See Ueda (A.)	C8-803
	C8-890	Takayama (S.) See Mizoguchi (T.) C8-	
Srolovitz (D.) See Egami (T.).	C8-272	Tamura (K.) See Hoshino (H.)	C8- 52
Stacy (A.), Johnson (D.C.) and		Tamura (K.) See Mushiage (M.)	C8-569
Sienko (M.J.) Strange magnetic behavior in the lithium-methy-		Teirlinck (D.) See Marchal (G.).	C8-662
	C8- 45	Teitsma (A.) See Egelstaff (P.A.)	C8-222
Stishov (S.M.), Makarenko (I.N.) and	C8-186	Telo da Gama (M.M.) See Copesta- ke (A.)	C8-321
Nikolaenko (A.M.) On the equation of state of solid and liquid alkal	on Li	Teo (B.K.) Chen (H.S.)	C8-254
ma+a1-	C8-573	Thèye (M.L.) See Nguyen Van (V.)	C8-489
Stobiecki (F.), Schwartzl (S.), Stobiecki (T.) and Hoffmann (H.) Preparation and structure of thin Fe _{1-x} B _x sputter films	C8-171	Thomas (N.), Arnold (W.), Gmelin (E. Guckelsberger (K.), Weiss (G.) an Löhneysen (H.). Ultrasonic and specific heat measurements in que superconducting NbZr	nd V.
Stobiecki (T.) See Stobiecki (F.)	C8-171		C8-749
Stobiecki (T.) and Hoffmann (H.) Th		Tomanek (D.) See Suck (J.B.)	C8-175
resistivity of the amorphous Fe _{1-x}	C8-485	Tomić (P.) See Girt (E.)	C8-875
Stöckmann (H.J.) See Heitjans		Tompa (K.) See Cziráky (À)	C8-141
(P.)	C8-409	Tourand (G.) See Bellissent- Funel (M.C.)	C8-262
Suck (J.B.), Rudin (H.), Güntherodt (H.J.), Tomanek (D.), Beck (H.), Morkel (C.) and Gläser (W.) Fre-		Traverse (A.) See Bernas (H.).	C8-859
quency distribution and dynamical structure factor of a metallic	00 175	Turkenburg (W.C.) See Spit (F.H.M.)	C8-890
	C8-175	Uchov (V.F.) See Poluchin (V.A)	C8-284
Suck (J.B.) See Egelstaff (P.A.)	C8-222	Ueda (A.), Takada (J.) and Hiwatari	
Suck (J.B.) See Söderström (O.).	C8-230	(Y.) Molecular dynamics studies of solid-liquid interface of soft	
Suck (J.B.) See Eder (0.J.)	C8-226	core model	C8-803
	C8-167	Ueda (A.) See Shiotani (T.)	C8-313
Suda (M.) See Eder (O.J.)	C8-226	Ulmet (J.P.) See Ousset (J.C.)	C8-470
Suryanarayana (C.) See Inoue (A.)	C8-758	Van der Lugt (W.) See Alblas (B.P.)	C8-153
Suzuki (K.), Itoh (F.), Misawa (M.), Matsuura (M.) and Fukunaga (T.)		Van der Lugt (W.) See Van der	
A correlation between atomic and electronic structure of Fe-B amor-		Marel (C.)	516-524
phous alloys	C8-179	Van der Marel (C.) and Van der Lugt (W.) Knight shift and electri-	
Suzuki (K.), Inutake (M.), Fujiwaka (Suzuki (M.) and Endo (H.). Sound velocity and thermodynamic properties		cal resistivity of some liquid lithium alloys	C8-516
of expanded fluid mercury	C8- 66	Van der Marel (C.) and Van der Lugt (W.) The thermoelectric power	
Suzuki (K.) See Hoshino (H.)	C8- 52	of liquid lithium-sodium alloys	C8-524
Susuki (K.) See Yao (M.)	C8- 28	Van der Woude (F.) See Schaafsma (A.S.)	C8-246
Suzuki (K.) See Itoh (F.)	C8-418		00 240
Suzuki (K.) See Nishi (Y.)	C8-359	Van der Woude (F.) See Kemény (T.)	C9-978
Suzuki (K.) See Misawa (M.)	C8-203	Van Engen (P.G.) See Buschow	C9 (E0
Tabasso (M.C.) See Antonione (C.)	C8-131	(K.H.J.)	C8-650

V.Löhneysen (H.), Platte (M.), Sander (W.), Schink (H.J.), V.Minnigerode (G.) and Samwer (K.). Low temperature thermal properties of amorphous superconducting ZrCu	e C8-745	Weihreter (E.), Hartrott (M.V.), Qui (D.), Rossbach (J.) and Willeke (F.) Short range order and qua- drupolar nuclear spin relaxation in liquid alloys	C8-160
V.Löhneysen(H.)See Thomas (N.)	C8-751	Weis (J.J.) See Levesque (D.)	C8-317
V.Minnigerode (G.) See V.Löhney- sen (H.)	C8-745	Weiss (G.), Arnold (W.) and Günthero (H.J.) Ultrasonic measurements super -conducting amorphous PdZr	of C8-742
Van Zytveld (J.B.) Electrical res	is-	Weiss (G.) See Thomas (N.)	C8-751
tivities of liquid transition metals	C8-503	Wetzel (C.) See Bosse (J.)	C8-378
Vatolin (N.A.) See Poluchin (V.A.)	C8-284	Whang (S.) See Giesen (B.C.)	C8- 95
Veyssié (J.J.) See Garoche (P.)	C8-766	Willeke (F.) See Weihreter (E.)	C8-160
Veyssié (J.J.) See Liénard (A.)	C8-658	Woldt (E.) and Neuhäuser (H.) Anel- relaxation of metallic glasses	astic C8-846
Venturello (G.) See Antonione	-0.00	Yamada (S.) See Mizoguchi (T.).	C8-183
(C.)	C8-131	Yamamura (T.) See Ejima (T.)	C8-345
Vincze (I.)See Schaafsma (A.S.)	C8-246	Yao (M.), Suzuki (K.), Hoshino (H.) and Endo (H.) Pressure - induced	
Vincze (I.) See Babić (E.)	C8-473	semi conductor - to-metal transiti in liquid Te-Se mixtures	
Vincze (I.) See Kemény (T.)	C8-878	Yao (M.) See Suzuki (K.)	C8- 66
Vitek (V.) See Egami (T.)	C8-272	Yao (M.) and Endo (H.) Electrical	
Vittoria (C.) See Forester (D.W)	C8-882	and thermodynamic properties of liquid Hg and dilute amalgams at	
Wagner (H.G.), Ghafari (M.), Gonser and Naka (M.) Mössbauer invest	i-	high temperatures and high pressures	C8-58
gations of amorphous metals	C8-199	Yokoyama (I.) See Ohkoshi (I.)	C8-599
Wagner (C.N.J.) and Lee (D.) Topological and chemical short range order in metal-metal glasses	C8-242	Yokokawa (H.) and Kleppa (O.J.) Thermodynamic properties of liqui cesium - cesium halide mixtures at	
Walecki (T.) See Dmowski (W.)	C8-127	925 K	C8-555
Walter (J.L.) See Mogro-Campero (A.)	C8-497	Yonezawa (F.) Transport properties liquid non-simple metals	Of C8-447
Wang (S.) and Lai (S.K.) Electron		Yonezawa (F.) See Ishida (Y.).	C8- 81
transport in liquid lithium- lead allows	C8-535	Young(W.H.) See Hasegawa (M.).	C8-567
Wang (R.) See Chen (H.S.)	C8-254	Young (W.H.) See Hoshino (K.).	C8-581
Warren (W.W.), Jr. and Duoree (R.).	_	Young (W.H.) See Ohkoshi (I.).	C8-599
NMR study of the metal-nonmetal transition in expanded liquid		Závěta (K.) See Schneider (J.)	C8-682
selenium	C8- 85	Zawislak (F.C.) See Bernas (H.)	C8-859
Warren (W.W.), Jr See Sotier (S) Warren (W.W.), Jr See Dupree (R)	C8- 40		
Waseda (Y.) See Ohkoshi (I.)	C8- 16		
Watabe (M.) See Itoh (M.)	C8-599		
Watanabe (H.) See Nishi (Y.)	C8-508		
Webb (D.C.) See Forester (D.W.)	C8-359		

Third International Symposium on gasflow and chemical lasers

Marseille, 1980

Almaev (R.K.), Pinchuk (S.D.), Semenov (L.P.) and Volkovitsky (O.A.) Propagation of CO2-laser radiation in a turbulent cloud medium C9-107	Bousselet (P.) Voir Gastaud (M.) C9-26 Braglia (G.L.) Voir Bruzzese (R.) C9-36
a turbulent cloud medium C9-107	Brinkmann (U.) and Kluge (J.) Metastable
Anafi (D.) Voir Freeman(R.H.) C9-405	atoms in gasdynamic jets: laser dia- gnostics and studies for molecular
Anctil (J.C.) Voir MacPherson (R.W.) C9- 95	electronic transition lasers C9-29
Arai (T.), Mori (Y.), Imai (Y.), Sugino (K.), Obara (M.) and Fujioka (T.)	Brown (R.C.) Voir Kerber (R.L.) C9-
cw x-ray preionized pulsed gas la- sers C9-237	Brunet (H.) Voir Galy (J.) C9-28
Aref'ev (V.N.), Sizov (N.I.), Dianov- Klokov (V.I.) and Ivanov (V.M.) CO laser radiation absorption in 1000 cm 1 water vapor conti-	Brunet (H.), Mabru (M.), Chauvet (P.), Rocca Serra (J.) and Vincent (P.) A theoretical and experimental study of a c.w. HCl chemical laser C9- 25
Autric (M.), Caressa (J.P.), Vigliano (P.), Bournot (Ph.), Dufresne (D.) and Inglesakis (G.). Experimental and computa-	Brunné (M.), Zieliński (A.), Milewski (J.), Volkov (A.Yu.), Demin (A.I.) and Kudriavt sev (E.M.).— Analytical modelling of the influence of the nozzle geometry and stagnation conditions on parameters of
tional investigation of pulsed laser energy transmission through the	a CW CO ₂ 18.4 μm gasdynamic laser C9-18:
atmosphere	Bruzzese (R.), Solimeno (S.), Braglia (G.L.), Martellucci (S.) and Quartieri (J.) Plasma instability in high-power CO ₂
Baily (P.K.) Voir Wang (J.H.S.) C9-463	laser amplifiers
Baker (H.J.) and King (T.A.) High ave- rage power operation of the 1.3 μm	Bullock (D.L.) Saturation of the gain and index of refraction in HF CW chemical lasers
iodine laser	Caressa (J.P.) Voir Autric (M.) C9-12
Baranov (V.Y.), Malyuta (D.D.), Mezhe- vov (V.S.) and Napartovich (A.P.)	Caressa (J.P.) Voir Bournot (Ph.) C9- 8
The influence of gasdynamic distur- bances on stability of a self-sustained discharge in a high-repetition-rate pulsed CO ₂ -laser	Cason (C.C.),Jones (R.W.) and Perkins (J.F.) Optical quality of tilted spherical mirror unstable resonators C9-38
Billard (M.) Voir Philbert (M.) C9-149	Cason (C.) Voir Perkins (J.F.) C9-39
Birot (A.) Voir Galy (J.) C9-281	Cason (C.) Voir Shih (C.C.) C9-34
Bissonnette (L.R.) Propagation of adap- tively corrected laser beams through a turbulent atmosphere C9-415	Champagne (L.F.) and Chang (R.S.F.) Transient absorption studies in pure rare gases from 2500 Å to 4000 Å. C9-44
Bonnet (J.) Voir Fournier (G.) C9-449	Chang (R.S.F.) Voir Champagne (L.F.) C9-44
Bosca (G.) Voir Bournot (Ph.) C9- 81	Chauvet (P.) Voir Brunet (H.) C9- 2
Bournot (Ph.) Voir Autric (M.) C9-129	Christiansen (W.H.) High energy laser optics
Sournot (Ph.), Caressa (J.P.), Créput (C.), Inglesakis (G.), Dufresne (D.), David (J.) et Bosca (G.) Mesure de la pres- sion induite sur une cible métallique par un laser CO2 impulsionnel C9- 81	Christiansen (W.H.), Wasserstrom (E.) and Hertzberg (A.). The degree of phase compensation of laser beams using gas jets

Créput (C.) Voir Bournot (Ph.) C9- 81	Fujioka (T.) Voir Watanabe (K.) C9-243
Crispin (Y.) and Wasserstrom (E.) Constriction and striations in electric	Fujisawa (A.) Voir Hara (H.) C9- 203
discharges	Gaffard (J.P.), Davila (C.), De Miscault (J.C.) and Roger (G.) Adaptative
David (J.) Voir Bournot (Ph.) C9- 81	optics with segmented mirror or deformable mirror C9- 269
Davila (C.) Voir Gaffard (J.P.) C9-269	Galy (J.), Birot (A.), Brunet (H.), Dijols (H.), Millet (P.) and Salamero (Y.)
Deka (B.K.), Dyer (P.E.) and Sayers (J.A.) Investigation of laser sup- ported detonation waves and thermal coupling using 2.8 µm HF laser ir-	Kinetics of the energy transfers in ArXe mixtures C9-281
radiated metal targets C9- 75	Gastaud (M.), Voignier (F.), Bousselet (P.) and Regnier (P.) Small-signal gain measurements at the center line in a
Demin (A.I.) Voir Brunné (M.) C9-183	C.W. DF laser
De Miscault (J.C.) Voir Gaffard (J.P.)	Gautier (B.G.) Voir Joeckle (R.C.). C9-275
Dianov-Klokov (V.I.) Voir Aref'ev	Gross (P.) Voir Fontaine (B.) C9-287
(V.N.) C9-101	Gross (P.) Voir Forestier (B.) C9-455
Dijols (H.) Voir Galy (J.) C9-281 Duchet (M.), Flocon (B.) and Sap (J.)	Hara (H.) and Fujisawa (A.) The high gain CO ₂ laser by effective mixing
Laser beam propagation through fog C9-115	of N_2 and CO_2 gas $C9-203$ Hertzberg (A.) Voir Christiansen
Dufresne (D.) Voir Autric (M.) C9-129	(W.H.)
Dufresne (D.) Voir Bournot (Ph.) C9- 81	Hoffmann (P.) Voir Hügel (H.) C9-335
Dyer (P.E.) Voir Deka (B.K.) C9- 75	Hoffmann (P.) Voir Schall (W.) C9-217
Emmony (D.C.) Diagnostics of the laser- liquid interaction C9-231	Holleman (G.W.) Voir Wang (J.H.S.). C9-463
Fertin (G.) Voir Philbert (M.) C9-149	Horioka (K.) Voir Kasuya (K.) C9-175
Finzi (J.) Voir Wang (J.H.S.) C9-463	Hügel (H.) Voir Schall (W.) C9-217
Flocon (B.) Voir Duchet (M.) C9-115	Hügel (H.), Schall (W.) and Hoffmann (P.) Experimental investigations of gasdy- namic N ₂ /CO ₂ mixing lasers C9-335
Fontaine (B.) Voir Forestier (B.) C9-455	Hugenschmidt (M.), Baca (W.) and Wey (J.)
Fontaine (B.), Forestier (B.), Gross (P.) and Koudriavtsev (E.M.) Laser emissions from CO ₂ vibrational transi-	Transient optical properties of target induced laser supported absorption waves
tions in a low temperature supersonic flow excited by a pulsed electron beam stabilized discharge C9-287	Hui (K.K.) Voir Wang (J.H.S.) C9-463
	Imai (Y.) Voir Arai (T.) C9-237
Forestier (B.) Voir Fontaine (B.) C9-287 Forestier (B.), Fontaine (B.) and Gross	Inglesakis (G.) Voir Autric (M.) C9-129
(P.) Supersonic flow low temperature electronic transition excimer	Inglesakis (G.) Voir Bournot (Ph.). C9- 81
lasers C9- 455	Ivanov (E.V.), Korovin (V.Y.), Tolstikov (Y.V.) and Volkovitsky (O.A.) Se-
Fournier (G.), Bonnet (J.) and Pigache (D.). A potential atomic iodine laser pumped by electrically generated $^1\Delta$	condary condensation as CO2-laser beam propagates through cloud medium C9-293
oxygen	Ivanov (V.M.); - Voir Aref'ev (V.N.) C9-101
Freeman (R.H.), Spinhirne (J.M.) and Anafi (D.) Intracavity adaptive	Iyer (P.A.) Voir Shen (P.I.W.) C9-137
optics	Joeckle (R.C.) and Gautier (B.G.) Boiling of organic liquids induced by
Fujioka (T.) Voir Arai (T.) C9-237	bulk absorption of CO ₂ laser radiation C9-275
Fujioka (T.) Voir Saito (S.) C9-167	

Jones (R.W.) Voir Cason (C.C.) C9-3	385 Namba (S.) Voir Toyoda (K.) C9-2
<pre>Kasuya (K.), Minami (Y.), Horioka (K.) and Niu (K.) Small signal gain coefficien and power output calculations of</pre>	Napartovich (A.P.) Voir Baranov
high temperature CO gasdynamic laser without flow stagnation C9-1	Nikerov (V.A.) Voir Sholin (G.V.) C9-3
Kerber (R.L.) and Brown (R.C.) - An analysi	Niu (K) - Voir Kagura (K)
of the role of kinetic mechanisms affecting H ₂ + F ₂ laser performance C9-	Obara (M) - Voir Arai (M)
Khait (Y.L.) Kinetic aspects and some	Obara (M.) Voir Saito (S.) C9-1
applications of diffuse gas discharges in turbulent flows	
King (T.A.) Voir Baker (H.J.) C9-3	Oguchi (H.) Voir Maeno (K.) C9-2
Kluge (J.) Voir Brinkmann (U.) C9-2	Osada (H.) Voir Toyoda (K.) C9-2
Korotchenko (A.I.) and Samokhin (A.A.)	Pearson (P.R.) Voir Wood (J.D.L.H.) C9-3
Response of radiation-induced evapo- ration to thermal and hydrodynamic	Perkins (J.F.) Voir Cason (C.C.) C9-3
perturbations	aberration-free unstable resonator
Koudriavtsev (E.M.) Voir Fontaine	Philbert (M.), Billard (M.), Fertin (G.) a
(B.)	Lefèvre (J.) Thermal blooming of high power laser beams C9-1
spectral region extending and efficiency increasing	Pigache (D.) Voir Fournier (G.) C9-4
Kudriavtsev (E.M.) Voir Brunné (M.) C9-1	Pinchuk (S.D.) Voir Almaev (R.K.) C9-1
Lee (C.H.) Voir Watanabe (K.) C9-2	Quartieri (J.) Voir Bruzzese (R.) C9-3
Lefèvre (J.) Voir Philbert (M.) C9-1	Regan (D.R.) Voir Shen (P.I.W.) C9-1
Leporcq (B.) Voir Verdier (C.) C9-	Regnier (P.) Voir Gastaud (M.) C9-2
Mabru (M.) Voir Brunet (H.) C9-	Regnier (P.) Voir Voignier (F.) C9-
MacPherson (R.W.) and Anctil (J.C.)	Rocca Serra (J.) Voir Brunet (H.) C9-
Surface failure of CO ₂ laser irradiated glass C9-	actormatic milital c.o.n.i. sys
Maeno (K.) and Oguchi (H.) Study on N2/CO	
mixing gasdynamic laser by means of synchronized operation of two shock	Roger (G.) Voir Gaffard (J.P.) C9-2
tubes C9-2	and mechanical coupling to targets C9-
Malyuta (D.D.) Voir Baranov (V.Y.). C9-3	Ruguist (R.) Variable atmosphere effects
Martellucci (S.) Voir Bruzzese (R.) C9-3	
Masuda (W.) and Yuasa (M.) Experimental study of a free-vortex aerodynamic	Rusanov (V.D.) Voir Sholin (G.V.) C9-3
window	Saito (S.), Suzuki (K.), Obara (M.) and Fujioka (T.) Theoretical analysis of 16-µm CO ₂ gasdynamic laser C9-1
dynamic lasers C9-1	155 Salamero (Y.) Voir Galy (J.) C9-2
Mezhevov (V.S.) Voir Baranov (V.Y.) C9-3	Samokhin (A.A.) Voir Korotchenko
Milewski (J.) Voir Brunné (M.) C9-1	183 (A.I.)
Millet (P.) Voir Galy (J.) C9-2	281
Minami (Y.) Voir Kasuya (K.) C9-1	175 Sato (Y.) Voir Watanabe (K.)
Mori (Y.) - Voir Arai (T.) C9-2	237

Schall (W.) Theory of a cw supersonic nitrogen recombination laser C9-471	Verdier (C.) and Leporcq (B.) Combustion driven atomic fluorine generators for DF chemical lasers
Schall (W.), Hoffmann (P.), Schock (W.) and Hügel (H.) cw carbon monoxide	Vigliano (P.) Voir Autric (M.) C9-129
laser with microwave excitation in the supersonic flow C9-217	Vincent (P.) Voir Brunet (H.) C9- 25
Schall (W.) Voir Hügel (H.) C9-335	Voignier (F.) Voir Gastaud (M.) C9-263
Schock (W.) Voir Schall (W.) C9-217	Voignier (F.) and Regnier (P.) Combustion driven chemical laser performances
Semenov (L.P.) Voir Almaev (R.K.) C9-107	study
Sentman (L.H.) Rotational nonequilibrium effects in cwchemical lasers C9-17	Volkov (A.Yu.) Voir Brunné (M.) C9-183
Shen (P.I.W.), Iyer (P.A.) and Regan (D.R.)	Volkovitsky (O.A.) Voir Almaev (R.K.)C9-107
Experimental and analytical investigations of thermal blooming in axial	Volkovitsky (O.A.) Voir Ivanov (E.V.)C9-293
pipe flow	Wang (J.H.S.), Finzi (J.), Baily (P.K.), Hui (K.K.) and Holleman (G.W.) cw
Shih (C.C.) and Cason (C.) Analysis of fluid and heat flows in a closed	optical resonance transfer lasers (ORTL)
cycle circulator for high energy pulsed lasers C9-343	Wasserstrom (E.) Voir Christiansen
Sholin (G.V.), Nikerov (V.A.) and Rusanov	(W.H.)
(V.D.) The role of the translational nonequilibrium of reacting particles	Wasserstrom (E.) Voir Crispin (Y.). C9-325
in the HF-laser kinetics C9-305	Watanabe (K.), Sato (Y.), Lee (C.H.), Obara (M.) and Fujioka (T.). An $H_2(D_2)/F_2$
Silvfast (W.T.) and Wood II (O.R.) New laser systems C9-439	chemical laser initiated with a novel teflon surface spark UV flash C9-243
Sizov (N.I.) Voir Aref'ev (V.N.) C9-101	Wey (J.) Voir Hugenschmidt (M.) C9- 87
Solimeno (S.) Voir Bruzzese (R.) C9-363	Wilson (L.E.) Deuterium fluoride cw chemical lasers
Spinhirne (J.M.) Voir Freeman (R.H.) C9-405	Wood (J.D.L.H.) and Pearson (P.R.) A
Sugino (K.) Voir Arai (T.) C9-237	repetitively pulsed carbon dioxide laser with mean power output in excess
Suzuki (K.) Voir Saito (S.) C9-167	of 30 kW
<pre>Sze (R.C.) Operating parameters of a miniature, high-repetition rate</pre>	Wood II (W.T.) Voir Silvfast (W.T.) C9-439
rare-gas halide läser C9-479	Yang (T.T.) Modeling of CW HF chemical lasers with rotational nonequili-
Tolstikov (Y. V.) Voir Ivanov (E.V.) C9-293	brium
Toyoda (K.), Osada (H.) and Namba (S.) High power and single line operations	Yuasa (M.) Voir Masuda (W.) C9- 423
of an HBr chemical laser C9-251	<pre>Zappoli (B.) On asymptotic solutions of diatomic Boltzmann's equation C9- 225</pre>
	Zielinski (A.) Voir Brunné (M.) C9-183

International Conference on nuclear behaviour at high angular momentum

Strasbourg, 1980

Ader (B.) Voir Gerschel (C.) C10-239	Dewald (A.), Kaup (U.), Gast (W.), Gelberg	
Alburger (D.E.) Voir Heusch (B.) . C10-229	(A.), Schuh (HW.), Zell (K.O.) and Von Brentano (P.) Band structure	
Alexander (J.M.) Voir Cabot (C.) . C10-234	in ⁸ 'Sr C10-163	
Babinet (R.) Voir Guerreau (D.) C10-217	Døssing (T.), Neergard (K.) and Sagawa (H.) On the structure and deformation of wract states in 14604 14704	
Baktash (C.) Voir Horn (D.) C10- 39	tion of yrast states in ¹⁴⁶ Gd, ¹⁴⁷ Gd, and ¹⁵² Dy	
Barker (J.H.) Voir Sarantites (D.G.) C10-269	Dracoulis (G.D.) Rotation aligned nega- tive parity side bands in light tung- sten and osmium nuclei C10-66	
Beck (F.) Voir Béraud (R.) C10-159	Dudek (J.) Single-particle structure	
Beck (F.A.) Voir Byrski (T.) C10- 98	effect on high-spin nuclear sta- tes	
Beck (C.) Voir Heusch (B.) C10-229	Duffait (R.) Voir Béraud (R.) C10-159	
Beck (F.A.) Voir Vivien (J.P.) C10-135	F. Will Standard Control of St. Mar.	
Bengtsson (R.) Quasiparticle spectra	1691 022202 11 91 A12201 1 191 32500	
above the yrast line, band crossings and backbending phenomena C10- 84	Dünnweber (W.) Voir Trautmann (W.) C10-249	
Béraud (R.), Charvet (A.), Duffait (R.),	Elze (Th.W.) Voir Ower (H.) C10-102	
Meyer (M.), Genevey (J.), Tréherne (J.), Genoux-Lubain (A.), Beck (F.)	Emling (H.) Voir Ower (H.) C10-102	
and Byrski (T.) High spin states of the odd-odd 110 In nucleus C10-159	England (J.B.A.) Voir Morrison (G.C.) C10-243	
Bhowmik (R.K.) Voir Morrison (G.C.) C10-243	Faessler (A.) Description of high spin states C10-143	
Butler (P.A.) Voir Daniel (R.) C10-155	Fleury (A.) Voir Cabot (C.) C10-234	
Byrski (T.), Beck (F.A.), Gehringer (C.), Merdinger (J.C.), Schutz (Y.)	Freeman (R.M.) Voir Heusch (B.) C10-229	
and Vivien (J.P.) Irregularities in the yrast line of 156Er C10- 98	Fuchs (P.) Voir Ower (H.) C10-102	
Byrski (T.) Voir Béraud (R.) C10-159	Gallmann (A.) Voir Heusch (B.) C10-229	
Byrski (T.) Voir Vivien (J.P.) ClO-135	Gast (W.) Voir Dewald (A.) C10-163	
Cabot (C.), Gauvin (H.), Le Beyec (Y.),	Gauvin (H.) Voir Cabot (C.) C10-234	
Delagrange (H.), Dufour (J.P.), Fleury (A.), Llabador (Y.) and	Gehringer (C.) Voir Byrski (T.) C10- 98	
Alexander (J.M.) Evaporation residue and fission cross-sections for the system: 40Ar + 110Pd C10-234	Gehringer (C.) Voir Vivien (J.P.). C10-135	
ght-cut (A) bloom slow - class to 1002	Gelberg (A.) Voir Dewald (A.) C10-163	
Chan (Y.D.) Voir Sarantites (D.G.) C10-269	Genevey (J.) Voir Béraud (R.) C10-159	
Charvet (A.) Voir Béraud (R.) C10-159	Genoux-Lubain (A.) Voir Béraud (R.) C10-159	
Coffin (J.P.) Voir Heusch (B.) C10-229	Gerschel (C.), Perrin (N.), Valentin	
Dahme (W.) Voir Trautmann (W.) C10-249	(L.), Tricoire (H.), Ader (B.) and Paya (D.) How fast α particles	
Daniel (R.), Butler (P.A.), Irving (A.D.), Nolan (P.J.) and Sharpey-Schafer	are emitted in "massive transfer" reactions? C10-239	
(J.F.) Decay modes of high spin states in light nuclei C10-155	Grégoire (C.), Lucas (R.), Ngô (C.), Ngô (H.) and Schürmann (B.) Fast	
Delagrange (H.) Voir Cabot (C.) C10-234	fission phenomena in heavy ion	

Grosse (E.) Voir Ower (H.) C10-102	Mennrath (P.) Voir Hubert (Ph.) C10-139
Guerreau (D.) and Babinet (R.) Spin	Merdinger (J.C.) Voir Byrski (T.). ClO- 98
determination of highly excited nuclei from light particle emission studies	Merdinger (J.C.) Voir Vivien (J.P.) C10-135
	Meyer (M.) Voir Béraud (R.) C10-159
Haas (F.) Voir Heusch (B.) C10-229	Morrison (G.C.), Bhowmik (R.K.), Pollacco
Halbert (M.L.) Voir Sarantites (D.G.)	(E.C.), England (J.B.A.) and Sanderson (N.E.) Alpha emission with 10 MeV/A 14N projectiles C10-243
Hensley (D.C.) Voir Sarantites (D.G.) C10-269	Mosel (U.) Nuclei at high spins : a summary C10-253
Hering (W.) Voir Trautmann (W.) C10-249	Neergard (K.) Voir Døssing (T.) C10- 79
Herskind (B.) Experimental studies	The state of the s
of very high spin states C10-106	The same of the root store at all the same
Heusch (B.), Beck (C.), Coffin (J.P.), Freeman (R.M.), Gallmann (A.), Haas	1190 (11.7)
(F.), Rami (F.), Wagner (P.) and Alburger (D.E.). The $^{18}O + ^{12}C$ fusion-	Nolan (P.J.) Voir Daniel (R.) C10-155
evaporation reaction C10-229	Nörenberg (W.) Dissipative collision and compound-nucleus formation C10-167
Hood (J.T.) Voir Sarantites (D.G.) C10-269	Ower (H.), Elze (Th. W.), Idzko (J.),
Horn (D.), Young (G.R.), Lister (C.J.) and Baktash (C.). High spin isomers in 153Er	Stelzer (K.), Emling (H.), Fuchs (P.), Grosse (E.), Schwalm (D.), Wollersheim (H.J.), Kaffrell (N.)
Hubert (Ph.), Leccia (F.), Liotta (R.),	and Trautmann (N.) High spin states of 232 Th, 234 U and 236 U C10-102
Mennrath (P.) and Villard (M.M.) Calculations of the continuum γ-ray	Paya (D.) Voir Gerschel (C.) C10-239
spectra in (HI, xn) reactions C10-139	Perrin (N.) Voir Gerschel (C.) C10-239
Idzko (J.) Voir Ower (H.) C10-102	Plasil (F.) Angular momentum effects
Irving (A.D.) Voir Daniel (R.) C10-155	in fusion-fission and fusion-evapo- ration reactions
Jääskeläinen (M.) Voir Sarantites (D.G.) C10-269	Pollacco (E.C.) Voir Morrison (G.C.) C10- 243
Kaffrell (N.) Voir Ower (H.) C10-102	Puchta (H.) Voir Trautmann (W.) C10-249
Kaup (U.) Voir Dewald (A.) C10-163	Rami (F.) Voir Heusch (B.) C10- 229
Khoo (T.L.) Yrast spectroscopy:	Sagawa (H.) Voir Døssing (T.) C10- 79
status of yrast isomers, oblate shapes and feeding of yrast sta-	Sanderson (N.E.) Voir Morrison
tes C10- 9	(G.C.) C10-243
Kleinheinz (P.)- Particle octupole exchange coupling in the yrast lines of terbium and dysprosium nuclei	Sarantites (D.G.), Jääskeläinen (M.), Hood (J.T.), Woodward (R.), Barker (J.H.), Hensley (D.C.), Halbert
Kühn (W.) Voir Trautmann (W.) C10-249	(M.L.) and Chan (Y.D.) The spin spectrometer at the Holifield heavy-ion research facility and some plan-
Lauterbach (C.) Voir Trautmann (W.) C10-249	ned experiments C10-269
Le Beyec (Y.) Voir Cabot (C.) C10-234	Schuh (HW.) Voir Dewald (A.) C10-163
Leccia (F.) Voir Hubert (Ph.) C10-139	Schürmann (B.) Voir Grégoire (C.). C10-247
Liotta (R.) Voir Hubert (Ph.) C10-139	Schutz (Y.) Voir Byrski (T.) C10- 98
	Schutz (Y.) Voir Vivien (J.P.) C10-135
	Schwalm (D.) Voir Ower (H.) C10-102
	Sharpey-Schafer (J.F.) Voir Daniel
Lucas (R.) Voir Grégoire (C.) C10- 247	(R.)

INDEX AUTEURS

imon (R.S.) The Darmstadt-Heidelberg crystal ball C10-281	Von Brentano (P.) Voir Dewald (A.) C10-16
Stelzer (K.) Voir Ower (H.) ClO-102	Wagner (P.) Voir Heusch (B.) C10-22
Stephens (F.S.) Nuclear structure at high spins ClO- 1	Ward (D.) Electromagnetic properties of high spin states C10-4
Trautmann (W.), Dahme (W.), Dünnweber	Wollersheim (H.J.) Voir Ower (H.). C10-10
(W.), Hering (W.), Lauterbach (C.), Puchta (H.), Kühn (W.) and Wurm (J.P.) - Spin polarization of light	Woodward (R.) Voir Sarantites (D.G.) C10-26
(J.P.) Spin polarization of light fragments from ¹⁶ 0 + ⁵⁸ Ni reactions C10-249	Wurm (J.P.) Light-particle emission at high angular momentum C10-20
Trautmann (N.) Voir Ower (H.) C10-102	Wurm (J.P.) Voir Trautmann (W.) C10-24
Tréherne (J.) Voir Béraud (R.) C10-159	
Tricoire (H.) Voir Gerschel (C.) . C10-239	Young (G.R.) Voir Horn (D.) C10- 3
Valentin (L.) Voir Gerschel (C.) . C10-239	Zell (K.O.) Voir Dewald (A.) C10-16
Villard (M.M.) Voir Hubert (Ph.) . C10-139	
Vivien (J.P.) Voir Byrski (T.) C10- 98	
Vivien (J.P.), Schutz (Y.), Beck (F.A.), Byrski (T.), Gehringer (C.) and Merdinger (J.C.) Gamma-ray tran- sition energy correlation in 156Er and 160Yb	
and 10	